

GM 68545

RESULTATS DE LA CAMPAGNE D'ECHANTILLONNAGE, ETE 2014, PROPRIETE FLAVRIAN, PROJET 17903

Documents complémentaires

Additional Files



Licence



Licence

Cette première page a été ajoutée
au document et ne fait pas partie du
rapport tel que soumis par les auteurs.

Énergie et Ressources
naturelles

Québec 



Résultats de la campagne d'échantillonnage, Été 2014
PROPRIÉTÉ FLAVRIAN

Projet No 17903
Cantons Duprat et Beauchastel
SNRC 32D/03-06

GM 68545

Novembre 2014



Guillaume Beaudoin, géo.



1462561

Ressources Falco Ltée.

Résultats de la campagne d'échantillonnage, Été 2014, PROPRIÉTÉ FLAVRIAN

TABLE DES MATIÈRES

1	INTRODUCTION	1
1.1	Général	1
1.2	Objectif.....	1
1.3	Logistique.....	1
2	ANALYSES GÉOCHIMIQUES ET CONTRÔLE DE QUALITÉ	2
3	LOCALISATION ET ACCÈS	2
4	DROITS MINIERS	2
5	TRAVAUX ANTÉRIEURS (Modifié de Savard, 2006).....	3
6	CONTEXTE GÉOLOGIQUE RÉGIONAL	6
7	CONTEXTE GÉOLOGIQUE DE LA PROPRIÉTÉ.....	6
8	GÉOLOGIE ÉCONOMIQUE.....	10
8.1	Filons mésothermaux de quartz-Au.....	10
8.2	Stockworks à Au-Cu-Mo.....	10
8.3	Sulfures massifs volcanogènes.....	11
9	RÉSULTATS DE LA CAMPAGNE D'ÉCHANTILLONNAGE 2014 ET DE PROSPECTION AU BEEP MAT.....	13
9.1	Phase 1.....	13
9.2	Phase 2.....	13
10	SYNTHÈSE DES OBSERVATIONS	17
10.1	Phase 1.....	17
10.2	Phase 2.....	18
11	CONCLUSIONS ET RECOMMANDATIONS	20
11.1	Secteur de la phase 1	20
11.2	Secteur de la phase 2	20

LISTE DES ANNEXES

Annexe I	Titres miniers
Annexe II	Historique des travaux antérieurs
Annexe III	Légende géoscientifique
Annexe IV	Description des échantillons
Annexe V	Certificats d'analyses INAA (Au35) + Cu
Annexe VI	Certificats d'analyses lithogéochimiques
Annexe VII	Contrôle de la qualité

LISTE DES FIGURES

Figure 1 - Localisation à l'échelle du Québec.....	4
Figure 2 - Localisation de la propriété	5
Figure 3 - Géologie régionale.....	8
Figure 4 - Géologie de la propriété	9
Figure 5 - Résultats des travaux de terrain, Phase 1.....	14
Figure 6 - Résultats des travaux de terrain, Phase 1 (Secteur Nora).....	15
Figure 7 - Résultats des travaux de terrain, Phase 2.....	16

LISTE DES TABLEAUX

Tableau 1: Meilleurs résultats d'analyses Phase 1	17
Tableau 2 : Meilleurs résultats d'analyses Phase 2	18
Tableau 3 : Titres miniers de la propriété Flavrian.....	Annexe I
Tableau 4 : Historique des travaux antérieurs (modifié de Savard, 2006).....	Annexe II
Tableau 5.1 : Description des échantillons, Phase 1	Annexe IV
Tableau 5.2 : Description des échantillons, Phase 2.....	Annexe IV

LISTE DES CARTES

Carte 1	Localisation des claims	1 : 24000 (en pochette)
---------	-------------------------------	-------------------------

1 INTRODUCTION

1.1 Général

Ce rapport décrit les résultats de la campagne d'échantillonnage et de prospection au Beep Mat exécutée à l'été 2014 sur les propriétés Rivière Mouilleuse et Flavrian. Il s'agit d'une campagne totalisant 317 échantillons prélevés sur le terrain. Les travaux ont été réalisés en deux phases. Une première phase fut réalisée du 16 juillet 2014 au 31 juillet 2014 inclusivement sur le secteur de la syénite de Duprat et le secteur des indices de Nora (158 échantillons au total dont 25 sur Rivière Mouilleuse et 133 sur Flavrian). Une deuxième phase fut réalisée du 13 août 2014 au 18 septembre 2014 inclusivement sur le secteur du linéament RG (159 échantillons au total tous sur Flavrian).

1.2 Objectif

La phase 1 de la campagne d'échantillonnage visait à couvrir la portion nord-ouest de la propriété Flavrian le long de lignes préalablement coupées pour la géophysique (Été 2014). Le mandat était d'investiguer la syénite de Duprat reconnue pour avoir la même signature magnétique que la syénite de «Queenston's Upper Beaver » de Kirkland Lake.

La phase 1 visait aussi le secteur des indices Nora 1 et Nora 2 situés à 3 kilomètres à l'est de la syénite de Duprat. Pour ce faire, il s'agissait de réexaminer et ré-échantillonner les décapages effectués sur les indices Nora et d'en explorer les extensions possibles.

La phase 2, quant à elle, visait un secteur de 2km² récemment buché permettant ainsi une meilleure exposition des potentiels affleurements ou blocs erratiques. Ce secteur, situé au centre sud de la propriété Flavrian, est connu pour son linéament RG, structure aurifère orientée nord-ouest sud-est. Il s'agissait alors de réexaminer et ré-échantillonner les décapages effectués sur ce linéament et d'en explorer les extensions possibles.

1.3 Logistique

Les travaux d'échantillonnage ont été effectués par Services Technominex Inc. pour le compte de Ressources Falco Ltée. Les travaux se sont réalisés sous la supervision de M. Hugues de Corta (M. Sc., géo.), géologue de projets sénior et de M. Guillaume Beaudoin (B. Sc., géo.), géologue de projets.

L'échantillonnage de terrain a été effectué par Mme. Chloé Esnault (M. Sc., géo. stag.) et M. Pierre Grondin LeBlanc (B. Sc., géo. stag), géologues d'exploration et par M. Francis Paré et M. Gerald Jr. Harrisson, techniciens d'exploration. L'échantillonnage s'est effectué selon des traverses piétonnes couvrant trois secteurs distincts de la propriété. Deux Beep Mat ont aussi été utilisés durant les traverses afin de cibler d'éventuelles zones conductrices. Le transport jusqu'au lieu de travail fut réalisé par camion et en quad.

2 ANALYSES GÉOCHIMIQUES ET CONTRÔLE DE QUALITÉ

Le programme d'exploration a été supervisé par M. Guillaume Beaudoin (B. Sc., géo.), géologue de projets, et vérifié par M. Richard Nieminen (B. Sc., géo.), géologue senior, personne qualifiée selon la norme canadienne NI 43-101.

Un total de 291 échantillons de terrain, incluant 11 standards et 11 blancs, ont été analysés chez Techni-Lab Abitibi Inc. à Sainte-Germaine-Boulé, pour l'or et 35 autres éléments (Ag, As, Ba, Br, Ca, Co, Cr, Cs, Fe, Hf, Hg, Ir, Mo, Na, Ni, Rb, Sb, Sc, Se, Sn, Sr, Ta, Th, U, W, Zn, La, Ce, Nd, Sm, Eu, Tb, Yb et Lu) en plus du cuivre alors que 26 autres échantillons ont été envoyés au même laboratoire pour des analyses lithogéochimiques.

Le programme de contrôle de la qualité inclut le suivi analytique de blancs de chimie et de standards certifiés minéralisés, placés de manière aléatoire parmi les échantillons, qui ont été analysés pour vérifier les méthodes d'analyse du laboratoire pour chaque envoi d'échantillons. L'annexe VII présente les résultats d'analyse des différents standards utilisés. Les résultats d'analyse des blancs de chimie donnent des valeurs négligeables et bien dessous du seuil limite jugé comme acceptable. Les certificats d'analyses des métaux et de la lithogéochimie sont présentés respectivement à l'annexe V et VI.

3 LOCALISATION ET ACCÈS

La propriété Flavrian se situe dans les cantons de Duprat et de Beauchastel, à environ 15 km au nord-ouest de la ville de Rouyn-Noranda (Figures 1 et 2). La propriété est accessible en empruntant la route transcanadienne 117 depuis Rouyn-Noranda en direction ouest jusqu'à la ville d'Évain (9,3km). À Évain, il faut prendre l'avenue de l'église direction nord jusqu'à l'intersection avec le chemin des 9^e et 10^e Rang Ouest (3,6km).

Le secteur de la phase 2 est accessible par un chemin forestier qui croise le chemin des 9^e et 10^e Rang Ouest à 6,2 km de son intersection avec l'avenue de l'église.

Les secteurs des deux grilles géophysiques de la phase 1 sont accessibles en poursuivant sur le chemin des 9^e et 10^e Rang Ouest jusqu'à l'intersection avec le chemin du lac Flavrian.

2,3km sur le chemin du lac Flavrian mène à l'intersection avec le chemin du 1 & 2 Rang. Ce dernier, de direction nord nord-est, mène directement à la grille géophysique du secteur de l'indice Nora. 4,3km sur le chemin du lac Flavrian mène à une intersection avec un chemin forestier de direction nord nord-est, lequel traverse la grille géophysique du secteur de la syénite de Duprat.

4 DROITS MINIERS

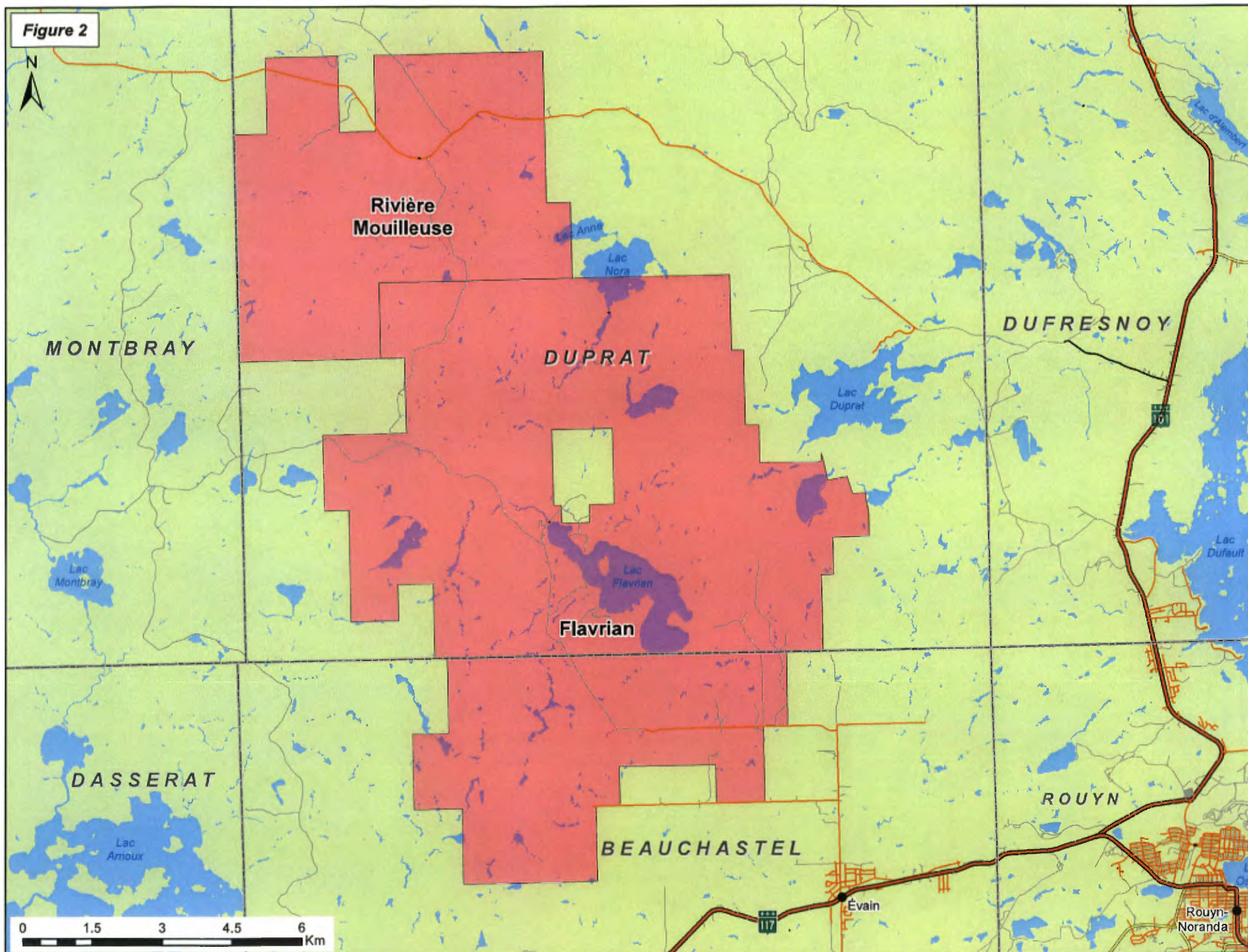
La propriété Flavrian se compose de 218 claims situés dans les rangs 8, 9 et 10 du canton de Beauchastel et les rangs 1 à 5 du canton de Duprat. La propriété couvre une superficie de 9,779.5 hectares et est détenue à 100 % par Ressources Falco Ltée. Une carte des claims est disponible en pochette (Carte 1) et la liste des claims est à l'annexe I.

5 TRAVAUX ANTÉRIEURS (MODIFIÉ DE SAVARD, 2006)

La propriété Flavrian a été intensément prospectée depuis le début des années 30 alors qu'on découvrait des indices aurifères associés au pluton de Flavrian. Au-delà de la prospection, la grande majorité des travaux fut concentrée autour d'indices de surface. Les travaux antérieurs effectués sur la propriété sont trop nombreux pour être tous énumérés dans le cadre de ce rapport. Nous nous limiterons aux travaux antérieurs cités dans le rapport de Claude Savard (2006) intitulé : « Résultats de la campagne d'exploration été-automne 2006, Propriété Flavrian » ainsi qu'aux travaux subséquents. Cet historique des travaux antérieurs est résumé dans le tableau inséré en annexe II.



Figure 2



6 CONTEXTE GÉOLOGIQUE RÉGIONAL

La propriété Flavrian est localisée dans la partie centrale du Groupe de Blake River dans le camp minier de Noranda (figure 3). Le Groupe de Blake River se compose de séquences volcaniques bimodales (andésite-rhyolite) d'affinités tholéitiques à calco-alcalines. Ce groupe est délimité au nord et au sud par deux failles majeures, celles de Porcupine-Destor et celle de Larder Lake-Cadillac respectivement. Ces deux failles séparent le Groupe de Blake River d'un ensemble de roches sédimentaires, la Formation de Duparquet au nord et la Formation de Pontiac au sud.

Le cœur du complexe est occupé par les intrusions synvolcaniques du Flavrian et de Powell ainsi que d'une intrusion syn à tarditectonique nommée intrusion du Lac Dufault. L'âge du complexe volcanique est estimé à 2700 Ma. Au total, cinq cycles volcaniques felsiques caractérisent le camp minier de Noranda dont le cycle 3, qui occupe la caldeira de Noranda.

L'alternance de coulées andésitiques et rhyolitiques permet de contenir sur plusieurs niveaux stratigraphiques les gisements de sulfures massifs volcanogènes. Ces derniers sont associés à des niveaux exhalatifs chertoux qui marquent les contacts entre les laves de composition andésitique et rhyolitique et représentent des pauses dans le volcanisme.

Dans la partie centrale du camp minier de Noranda, à l'intérieur du troisième cycle felsique, quatre interfaces (exhalites) favorables sont présentes: le Tuf de Corbet (sommet de l'andésite de Flavrian, Mine Corbet), l'Exhalite de Lewis (sommet de la rhyolite North-West, Mine Ansil), le 'C' Contact (sommet de l'andésite silicifiée d'Amulet, Mine Amulet C) et le 'Main' Contact (sommet du QFP Millenbach, rhyolite de Waite, Mines Millenbach, Norbec, Old East-Waite, Vauze et Amulet). La mine Gallen se situe à l'intérieur du cycle IV et la Mine Bouchard-Hébert dans le cycle V. Les Mines Horne, Quémont et Joliet se trouvent dans une séquence rhyolitique distincte au sud des cycles III et IV.

7 CONTEXTE GÉOLOGIQUE DE LA PROPRIÉTÉ

(Tiré du rapport de Claude Savard, 2006)

Les deux tiers de la superficie de la propriété sont occupés par le pluton de Flavrian, une intrusion polyphasée, sub-volcanique dont les phases anciennes sont co-magmatiques des séries volcaniques sus-jacentes (figure 4). Ces phases anciennes comprennent une série complexe de tonalites, de diorites et de leucotonalites (âgées d'environ 2700 Ma) qui occupent deux masses principales localisées au nord et au sud du pluton. Elles ont une signature aéromagnétique caractéristique en pelure d'oignon qui traduit leur morphologie en filon-couche plus ou moins étagé. Les phases jeunes, essentiellement des leucotonalites et des aplites, n'ont aucun équivalent volcanique connu. Leur signature aéromagnétique est plus uniforme. Elles forment une masse ovoïde localisée au cœur du pluton et une variété de dykes felsiques injectés dans les phases anciennes et les roches volcaniques environnantes. Leur âge demeure inconnu, mais serait contemporain de celui de

l'intrusion de Lac Dufault, laquelle est nettement tardi-volcanique (environ 2690Ma). Le stock de St-Jude, auquel est associé un complexe annulaire de brèches et des veines polymétalliques, appartient à la série des phases jeunes. Contrairement aux phases anciennes qui forment globalement un filon-couche incliné faiblement vers le sud-est, les stocks des phases jeunes sont enracinés, percent la stratigraphie et ont développé des systèmes hydrothermaux propres qui altèrent et minéralisent les roches qu'elles recourent.

Le pluton de Flavrian s'est mis en place dans les roches volcaniques du Groupe de Blake River. À l'est, les phases anciennes sont en contact avec la série des mines qui renferme les principaux gisements de sulfures massifs volcanogènes du Camp de Noranda. C'est alors un contact normal de type filon-couche dont le pendage épouse celui des lithologies volcaniques (soit environ 30° à 50° vers l'est), les phases anciennes étant surmontées d'une alternance de formations volcaniques mafiques et felsiques.

Le contact ouest est moins bien connu. Dans la partie sud, les phases anciennes sont présumées en contact de filon-couche avec les séries volcaniques. Dans ce secteur, ces dernières forment un grand complexe volcanique felsique qui s'étend à l'ouest du pluton entre le stock de St-Jude au nord et la syénite d'Aldermac au sud. Cette dernière est une intrusion alcaline tardi-tectonique (environ 2680Ma).

Les phases jeunes (stock de St-Jude, et le plagiogranite de Flavrian) forment des intrusions enracinées recoupant à la fois les phases anciennes et les roches volcaniques. Une série d'intrusions aplitiques dont l'expression principale est constituée de dykes ou de masses irrégulières de petites dimensions, sont fréquentes dans toute la région, particulièrement dans l'environnement immédiat de plusieurs anciens gisements (Quesabe, Ansil, Halliwell, Buffam, etc.). Ces aplites ne se distinguent vraiment des coulées rhyolitiques que par leur nature intrusive.

Les roches de la région sont affectées par deux principaux réseaux de failles. Un réseau NO représenté notamment par les failles Mouilleuse et McDougall, et un réseau orienté NE comme les failles Beauchastel, Quesabe et Ruisseau Hunter. Cette dernière marque en outre la limite nord du pluton de Flavrian.

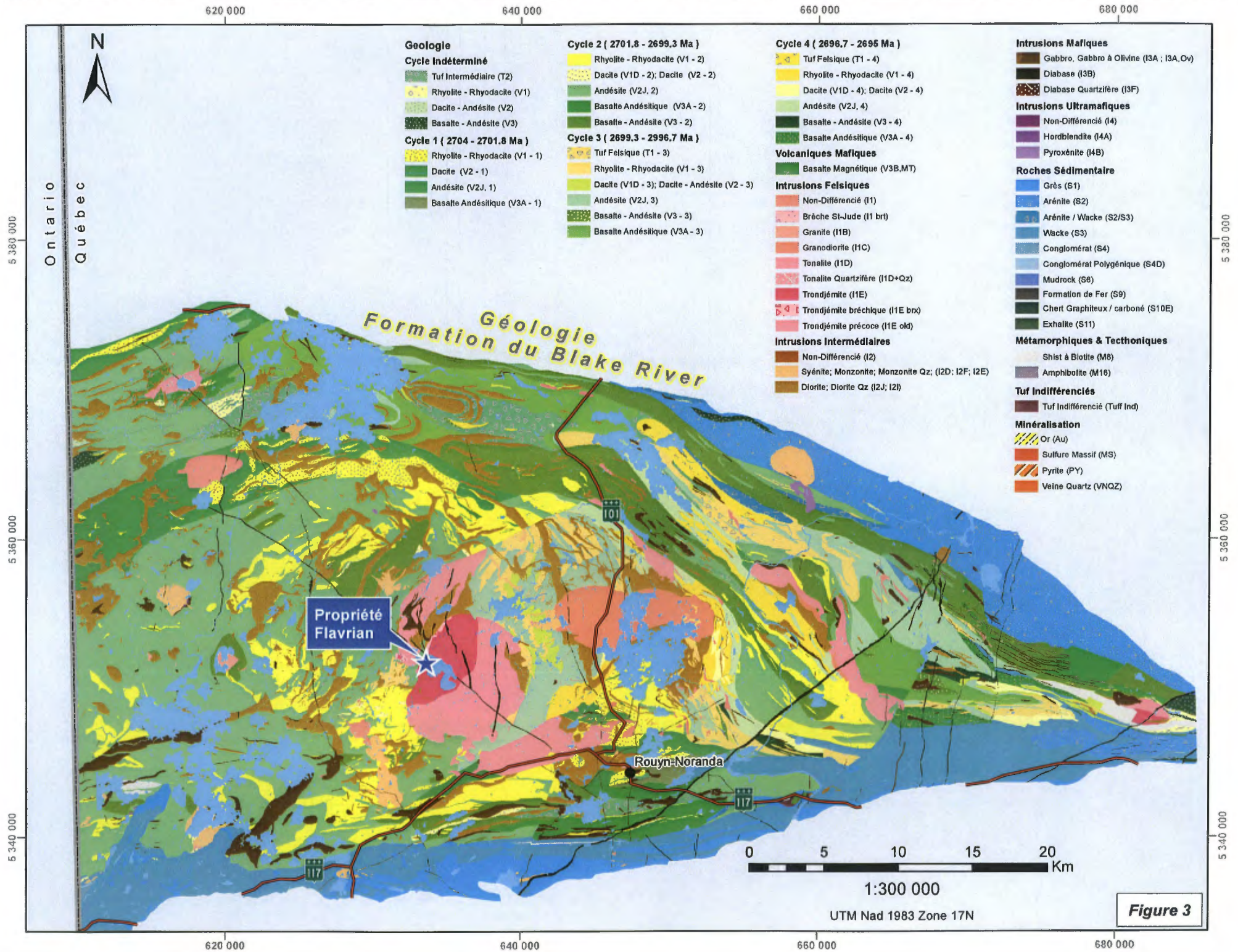


Figure 3

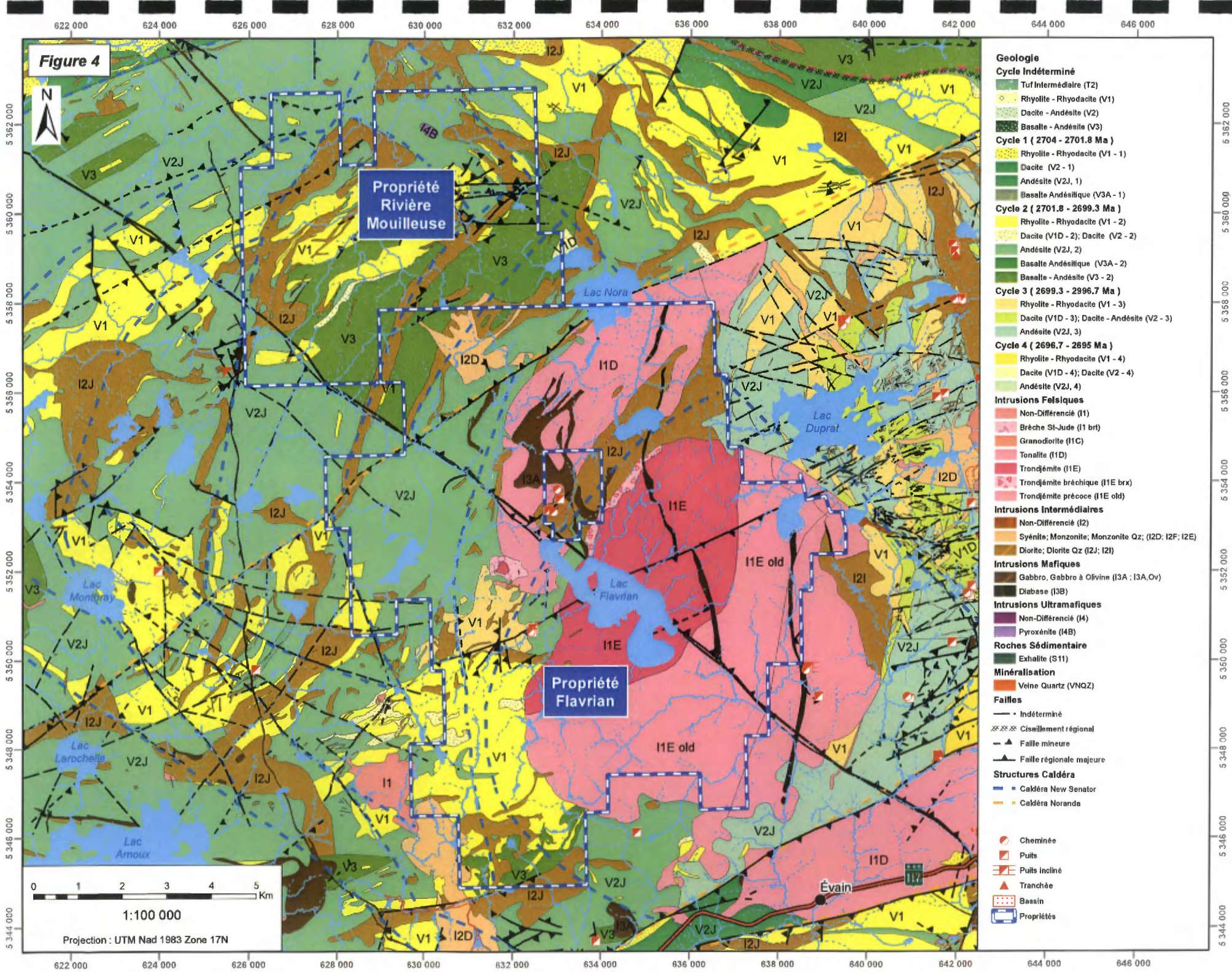


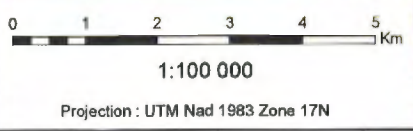
Figure 4



Propriété
Rivière
Mouilleuse

Propriété
Flavian

- Geologie**
- Cycle Indéterminé**
- Tuf Intermédiaire (T2)
 - Rhyolite - Rhyodacite (V1)
 - Dacite - Andésite (V2)
 - Basalte - Andésite (V3)
- Cycle 1 (2704 - 2701.8 Ma)**
- Rhyolite - Rhyodacite (V1 - 1)
 - Dacite (V2 - 1)
 - Andésite (V2J, 1)
 - Basalte Andésitique (V3A - 1)
- Cycle 2 (2701.8 - 2699.3 Ma)**
- Rhyolite - Rhyodacite (V1 - 2)
 - Dacite (V1D - 2); Dacite (V2 - 2)
 - Andésite (V2J, 2)
 - Basalte Andésitique (V3A - 2)
 - Basalte - Andésite (V3 - 2)
- Cycle 3 (2699.3 - 2996.7 Ma)**
- Rhyolite - Rhyodacite (V1 - 3)
 - Dacite (V1D - 3); Dacite - Andésite (V2 - 3)
 - Andésite (V2J, 3)
- Cycle 4 (2696.7 - 2695 Ma)**
- Rhyolite - Rhyodacite (V1 - 4)
 - Dacite (V1D - 4); Dacite (V2 - 4)
 - Andésite (V2J, 4)
- Intrusions Felsiques**
- Non-Différencié (I1)
 - Brèche St-Jude (I1 brt)
 - Granodiorite (I1C)
 - Tonalite (I1D)
 - Trondjémite (I1E)
 - Trondjémite bréchique (I1E brx)
 - Trondjémite précoce (I1E old)
- Intrusions Intermédiaires**
- Non-Différencié (I2)
 - Syénite; Monzonite; Monzonite Qz; (I2D; I2F; I2E)
 - Diorite; Diorite Qz (I2J; I2I)
- Intrusions Mafiques**
- Gabbro, Gabbro à Olivine (I3A; I3A.Ov)
 - Diabase (I3B)
- Intrusions Ultramafiques**
- Non-Différencié (I4)
 - Pyroxénite (I4B)
- Roches Sédimentaire**
- Exhalite (S11)
- Minéralisation**
- Veine Quartz (VNQZ)
- Failles**
- Indéterminé
 - Cisaillement régional
 - Faïlle mineure
 - Faïlle régionale majeure
- Structures Caldéra**
- Caldéra New Senator
 - Caldéra Noranda
- Autres symboles :**
- Cheminée
 - Puits
 - Puits incliné
 - Tranchée
 - Bassin
 - Propriétés



8 GÉOLOGIE ÉCONOMIQUE

(Tiré du rapport de Claude Savard, 2006)

Le projet Flavrian est caractérisé par un environnement volcano-plutonique propice à des minéralisations en Au, Cu et Mo d'origine volcanique, magmatique ou métamorphique. D'ailleurs, tous ces types de minéralisation sont connus dans le secteur.

8.1 Filons mésothermaux de quartz-Au

Les phases anciennes du pluton de Flavrian renferment plusieurs gisements et indices d'or filonien logés dans des zones de cisaillement ductile-fragile inverses et localisées le long de dykes mafiques : Eider (1947-66, 2,1Mt à 5,1 g/t Au); Eldrich (0,7Mt à 4,8 g/t Au); Beauchemin (1986-93, 2,0Mt à 5,1 g/t Au). L'orientation du principal réseau filonien varie selon le patron en pelure d'oignon observé dans les roches hôtes. Ces gisements sont tout à fait identiques à ceux anciennement exploités par les mines Silidor, Powell-Rouyn, Stadacona, New-Marion et Anglo-Rouyn ailleurs dans le camp minier de Rouyn-Noranda. Globalement, ils représentent tous des minéralisations aurifères de type mésothermal développées assez tardivement durant l'évolution géologique de la région. Ils occupent des zones cisailées développées préférentiellement le long d'anisotropies préexistantes durant la déformation régionale. Ces zones cisailées sont caractérisées par des halos d'altération en carbonate de fer et recourent toutes les lithologies. Elles sont synchrones à la déformation et au métamorphisme régional.

8.2 Stockworks à Au-Cu-Mo

Les secteurs ouest et sud-ouest de la propriété Flavrian se caractérisent par de nombreux indices filoniens polymétalliques et des stockworks à Au-Cu-Mo d'affinité magmatique-hydrothermale (Giant Quartz Vein, Sylvie, Brèche de St-Jude, Buffam, McDonald, Martin, etc.). Ces minéralisations se retrouvent à l'intérieur d'un croissant d'au moins 1 km d'épaisseur ceinturant le flanc sud-ouest du pluton et s'étendant depuis le stock de St-Jude, au nord, jusqu'au moins à l'ancienne mine Halliwell au sud du pluton. Voici, plus en détail, celui de la brèche de St-Jude.

Secteur de la brèche de St-Jude :

Le complexe de brèche de St-Jude est certainement le système minéralisé le plus important dans cette catégorie. Il s'agit d'un complexe de brèches magmatiques et hydrothermales d'environ 800 mètres de diamètre en surface et associé à la mise en place du stock de St-Jude, une petite intrusion quasi circulaire de leucotonalite. Les divers faciès de brèches témoignent d'une mise en place violente du stock de St-Jude. Les faciès hydrothermaux (brèche à matrice de quartz) renferment une minéralisation disséminée en chalcopryrite, molybdénite et est faiblement aurifère.

Cette minéralisation est recoupée de filons de quartz fréquemment riches en or de dimensions restreintes. Ils ont fait l'objet de certains travaux d'exploration, notamment par St-Judes Gold Mines. Le principal indice d'or est situé en bordure nord du complexe de brèches et fut l'objet de travaux d'exploration, lesquels ont surtout visé la veine Sylvie un filon est-ouest très riche en Au-Ag-Cu mais très discontinu. D'autres veines riches en or ont été évaluées par la même compagnie au sud-ouest de la brèche.

8.3 Sulfures massifs volcanogènes

À l'est du pluton de Flavrian, les séries volcaniques sont hôtes des principaux gisements volcanogènes du camp minier de Rouyn-Noranda qui a produit plus de 1 M tonnes de cuivre, 0.5M tonnes de zinc, 300 tonnes d'or et 1000 tonnes d'argent. (Home, Ansil, Corbet, Millenbach, Vause, Amulet, etc.) Ce sont des amas lenticulaires de sulfures massifs d'origine volcanogène mis en place dans un complexe bi-modal tholéiitique à calco-alkalin, contemporains aux phases anciennes du pluton de Flavrian daté à (2700Ma). Au moins deux indices sont associés à ce type de minéralisation.

Indice Dasson Copper :

Cet indice cuprifère avait été mis à jour puis foré par la compagnie du même nom dans les années 60. Il fut décapé et cartographié par Azimut en 2000. Il s'agit d'un corridor grossièrement N-S et sub-vertical de stringers à chlorite-magnétite-chalcopryrite-pyrite à l'intérieur de rhyolites fortement altérées en chlorite-albite, et injectées de dykes à porphyre de quartz orientés NNE. Ce corridor d'altération s'étend vers le sud sur au moins 2 km et bute sur le pluton de Flavrian au nord de l'indice. Les meilleures teneurs en cuivre atteignent 3,7% Cu en surface et 1% Cu/10 cm en forage. Les journaux de sondage mentionnent la présence de jaspe rouge qui correspond probablement aux petits dykes d'aplite hématitisés observés en surface.

Tuffite nord :

Il s'agit d'un niveau de tuf felsique laminaire atteignant 3,5 mètres de large, logé au contact rhyolite-rhyodacite. L'attitude générale de cet horizon est N 070/60°, s'incurvant vers le NE.

L'affleurement décapé par Exploration Azimut inc. expose une alternance de lits centimétriques blancs à brun rouille. Il comprend environ 10% de pyrite disséminée et en lamines millimétriques. Sa bordure nord-ouest, qui bute contre un dyke d'aplite hématisé, est enrichie en stringers de chalcopryrite et comprend des amas lenticulaires massifs de chalcopryrite, pyrite et magnétite, atteignant 15 cm d'envergure. La meilleure valeur ponctuelle a retourné 3,25% Cu et 740 ppb Au et une rainure a retourné 2,1% Cu sur 25cm. Le tuf semble localement fortement chloritisé mais la chimie indique plutôt une forte albitisation. Près du contact avec les rhyodacites, les lits ont subi de fortes perturbations et sont même tronqués par ces dernières. L'allure très irrégulière du contact et le style de déformation du tuf au contact suggère qu'il n'était pas consolidé lorsque les rhyodacites se sont mises en place. Il est donc probable qu'elles étaient effusives et qu'elles se sont déposées par-dessus les tufs, indiquant un sommet stratigraphique vers le sud-est.

De la minéralisation en chalcopryrite et pyrite disséminées est également présente au nord-ouest du décapage, soit dans le mur stratigraphique de la tuffite. Elle est associée à des altérations en chlorite-albite et des teneurs anormales en cuivre. La roche hôte est une rhyolite bréchique. Tous ces éléments suggèrent une minéralisation cuprifère exhalative logée à un contact favorable.

9 RÉSULTATS DE LA CAMPAGNE D'ÉCHANTILLONNAGE 2014 ET DE PROSPECTION AU BEEP MAT

L'ensemble des échantillons prélevés et le tracé Beep Mat sont représentés sur les figures 5, 6 et 7 des pages 14, 15 et 16.

9.1 Phase 1

Les travaux de prospection de la phase 1 ont été réalisés entre le 16 et le 31 juillet 2014 inclusivement dont 7 jours travaillés sur la grille géophysique de la syénite de Duprat (ouest) et 3 jours travaillés sur la grille géophysique des indices Nora (est). Un total de 158 échantillons a été prélevé incluant 5 standards, 5 blancs et 22 échantillons lithogéochimiques. La description détaillée des échantillons se trouve dans le tableau 5.1 en annexe IV.

9.2 Phase 2

Les travaux de prospection de la phase 2 ont été réalisés en deux étapes soit du 13 au 21 août 2014 inclusivement et du 15 au 18 septembre 2014 inclusivement. Un total de 159 échantillons a été prélevé incluant 6 standards, 6 blancs et 4 échantillons lithogéochimiques. La description détaillée des échantillons se trouve dans le tableau 5.2 en annexe IV.

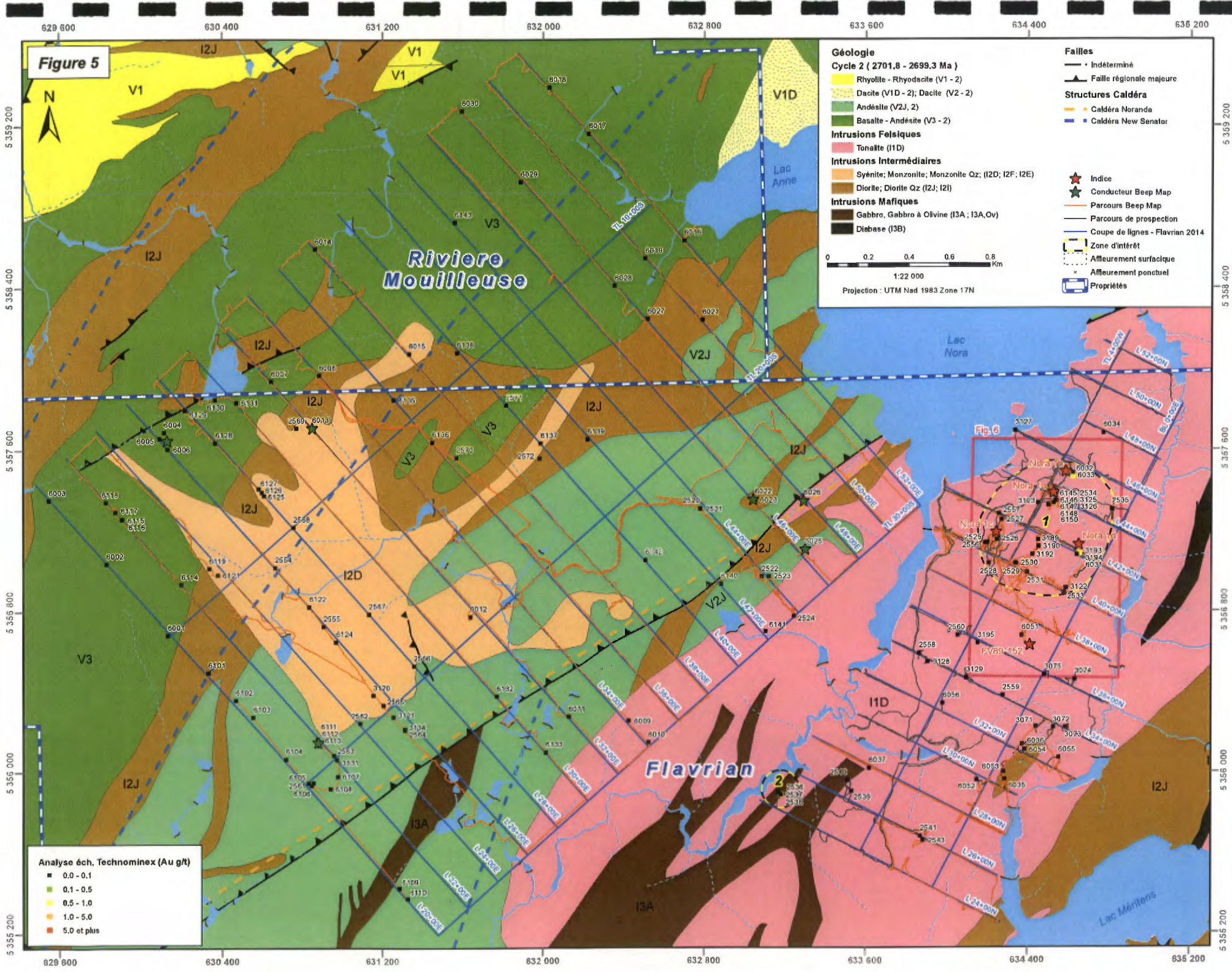
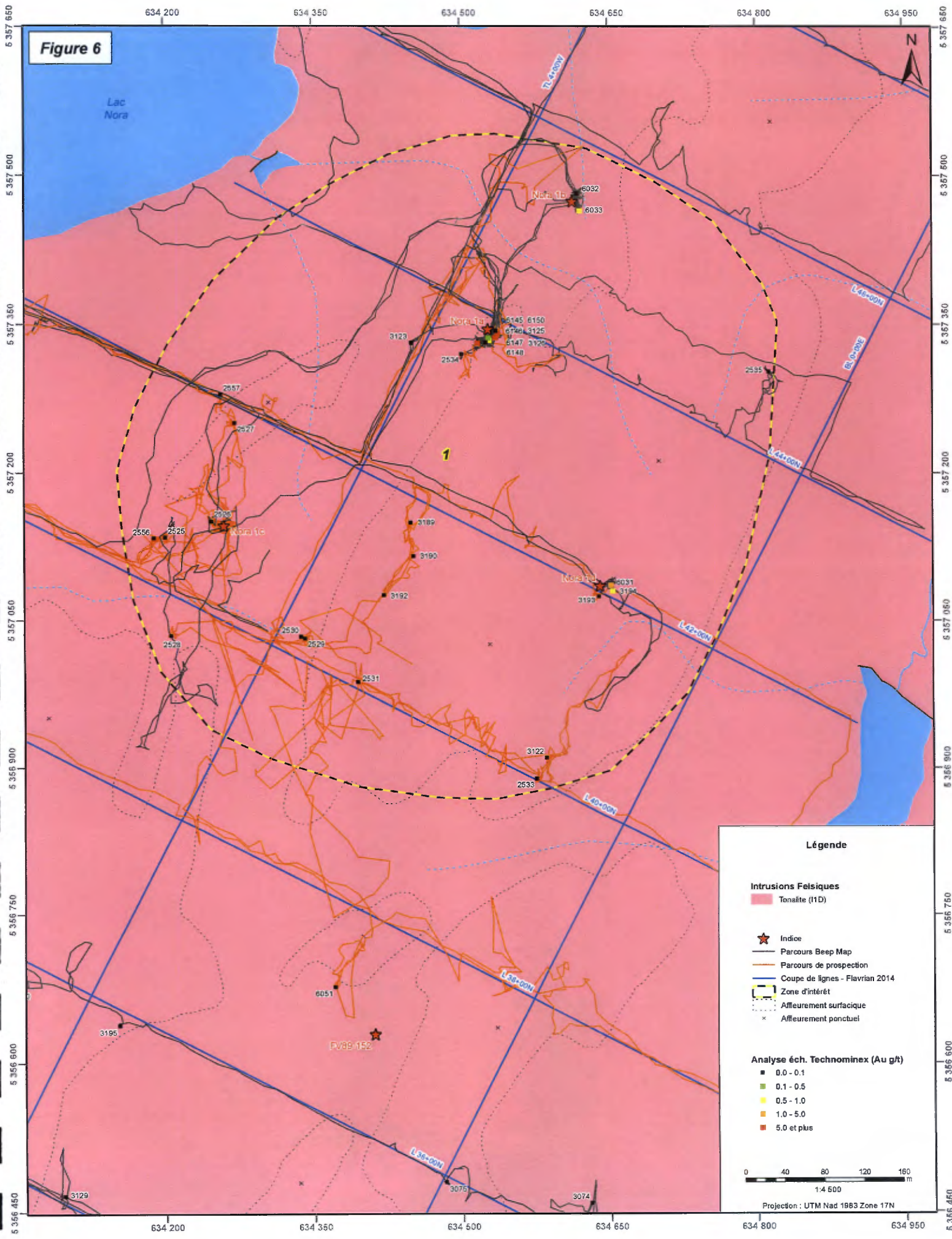


Figure 6



Légende

Intrusions Felsiques

- Tonalite (I1D)
- Indice
- Parcours Beep Map
- Parcours de prospection
- Coupe de lignes - Flavian 2014
- Zone d'intérêt
- Affleurement surfacique
- Affleurement ponctuel

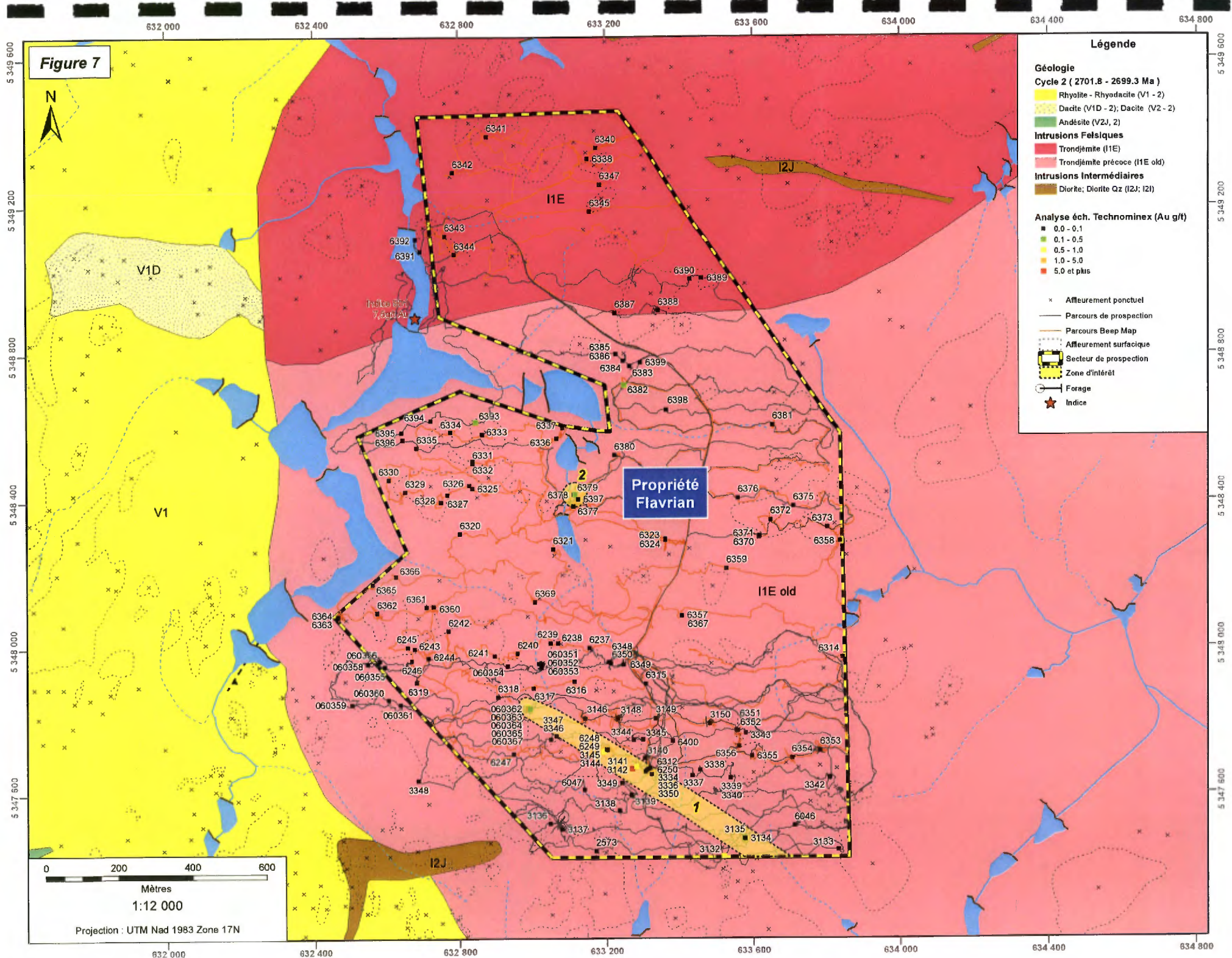
Analyse éch. Technominex (Au g/t)

- 0.0 - 0.1
- 0.1 - 0.5
- 0.5 - 1.0
- 1.0 - 5.0
- 5.0 et plus



1:4 500

Projection: UTM Nad 1983 Zone 17N



10 SYNTHÈSE DES OBSERVATIONS

10.1 Phase 1

Au total, neuf (9) échantillons rapportent des teneurs en or intéressantes. Il s'agit tous d'échantillons de veines de quartz rapportant des teneurs en or entre 296ppb et >30000ppb. Huit (8) des neuf (9) échantillons ont été récoltés sur d'anciens décapages connus alors qu'un seul échantillon (#2538) se situe dans un nouveau secteur.

Voici un tableau contenant les résultats d'analyse et la description des échantillons les plus prometteurs.

#Éch.	UTM Nad83		Au (ppb)	Description
	zn17 Est	Nord		
2538	633184	5355883	360	Vn-Qz-Cb-Cl + encaissant, 2-3% Py fine à moyenne automorphe, Si ⁺⁺ de l'encaissant.
3125	634517	5357331	>30000	Vn de Qz-Cl orientée 043°/modéré, encaissée dans I1B (décapage 1a), 5% Py moyennement grenue distribuée le long d'horizons fumés dans Vn Qz-Cl
3126	634529	5357336	296	Vn de Qz 1 à 2 cm démembrées par le cisaillement dans I1B (décapage 1a), Cl ⁺ , Sr ⁺ , Fortement cisailé (277/modéré à abrupte)
3194	634653	5357080	713	Vn de Qz de forme et d'orientation irrégulière encaissée dans I1B (décapage 1d), 3% Py cubique à l'intérieur et dans les épontes de Vn Qz, Si ⁺⁺
6031	634652	5357086	2450	Vn Qz-Cl (décapage 1d), 2-3% Py moyenne automorphe dans Vn, Cl ⁺
6033	634621	5357464	501	Ve discontinue Qz-Cb (décapage 1b), 1% Py moyenne disséminée ou en amas, Cl ⁺ , Si ⁺ , foliation modérée
6145	634538	5357340	17800	Vn Qz-Py boudinée dans I1B (décapage 1a), 2% Py grossière disséminée et en amas dans la veine, Hm ⁻ , Cl ⁻
6147	634535	5357336	10600	Vn Qz translucide, discontinue (décapage 1a), 3% Py moyenne disséminée et Py fine en amas, Cb ⁻ , Cl ⁻ localement
6148	634529	5357334	592	Vn de Qz discontinue dans I1B grenu (décapage 1a), tr Py, chloritisé

Suite aux observations sur le terrain et aux résultats d'analyse, 2 zones d'intérêts ont été ciblées et sont représentées sur les figures 5 et 6 des pages 14 et 15.

Zone 1 :

Cette zone est localisée sur la grille géophysique est et correspond à l'indice Nora. Trois anciens décapages (1a, 1b, 1d) exposant des veines de Qz-pyrite cisailées (2-5% Py moyenne disséminée et en amas dans les veines) et d'orientation variable, ont été échantillonnés. Seul le décapage 1c, actuellement sous couvert végétal, n'a pas été observé et échantillonné. Les veines apparaissent irrégulières et discontinues de par la présence de dykes de diorites et de failles et cisaillements qui provoquent un décalage de ces veines.

Zone 2 :

Une veine de Qtz-Cb-Cl contenant 2 à 3% de pyrite fine à moyenne automorphe, relativement similaire à celles de l'indice Nora, fut observée dans la partie sud de la grille géophysique est sur un affleurement de petite taille ne permettant pas d'observer sa continuité ni son orientation. Les résultats d'analyse de cette veine rapportent des teneurs aurifères anormales de 360ppb.

10.2 Phase 2

Au total, treize (13) échantillons rapportent des teneurs en or intéressantes. Il s'agit de trois (3) blocs et dix (10) échantillons en affleurement rapportant des teneurs en or entre 146ppb et 5380ppb. Neuf (9) des dix (10) échantillons en affleurement ont été récoltés sur le linéament RG déjà connu alors qu'un seul échantillon (#6379) se situe dans un nouveau secteur.

Voici un tableau contenant les résultats d'analyse et la description des échantillons les plus prometteurs.

Tableau 2 : Meilleurs résultats d'analyses Phase 2				
#Éch	UTM Nad83		Au (ppb)	Description
	zn17 Est	Nord		
3132	633519	5347427	579	Bloc de I1, VN de QZ 1 à 3 cm, 1% Py disséminée, EP+, CL+, HM spéculaire +, foliation faible
3134	633576	5347476	490	Décapage, VN QZ-AK-HM spéculaire, VN de QZ-AK-HM spéculaire métrique, seulement un contact est observé avec l'encaissant, soit du Décapage, I1, 10% Py distribuée en bandes, CL+, HM-
3141	633270	5347669	5380	Décapage, I1, VN de CL <1 à 2 mm, 25% Py cubique en amas et disséminée
3142	633281	5347675	597	Décapage, I1, VN de QZ discontinues et irrégulière, VN de CL anastomosée ~3 cm, 5% Py en amas et disséminée, CL++, HM+, schistosité moyenne (254/subvertical)
60363	632985	5347837	983	I1, VN de QZ ~1 mm, VN d'HM spéculaire 1 à 10 mm, 1% Py disséminée et associée aux VN d'HM spéculaire, HM spéculaire++, Py partiellement altérée
60364	632986	5347834	146	I1, VN de QZ 1 à 5 cm, ~1 mm, 1% Py disséminée et associée aux VN de QZ et VN de HM spéculaire, HM spéculaire+
60365	632986	5347833	1500	I1, VN de QZ-CB ~10 cm, 5% Py disséminée en marge de VN de QZ-CB, HM spéculaire +, Py partiellement oxydée
60367	632990	5347831	484	I1, VN de QZ 1 à 30 mm, 1% Py associée aux VN de QZ, SI-, HM spéculaire-

ID	Coord. X	Coord. Y	Altitude	Description
6248	633196	5347719	1020	Vn Qz dans I1, ensemble de veines de Qz, 2% Py moyenne disséminée dans Vn et l'encaissant, CL+, Vn(161)
6249	633192	5347715	724	I1, 2% Py moyenne en amas, disséminée et dans les fines fractures.
6379	633114	5348416	423	I1, VN de QZ 1 à 3 cm, VN de CL-CB 1 à 3 mm, 1% Py disséminée et à l'intérieur de VN de QZ et de CL, tr Cp disséminée, SI++, HM+, CL-, fractures (240°/subvertical)
6382	633247	5348716	423	Bloc de I1, VN de CL <1 mm, 2% Py disséminée, HM spéculaire+,
6393	632844	5348615	221	Bloc de I3A, VN de QZ 3 à 20 mm, 1% Py disséminée et associée aux VN de QZ, CL+

Suite aux observations sur le terrain et aux résultats d'analyse, 2 zones d'intérêts ont été ciblées et sont représentées sur la figure 7 de la page 16.

Zone 1 :

La zone 1 correspond au linéament RG et est localisée dans la partie sud du secteur couvert par la phase 2. Le linéament RG correspond à un corridor d'environ 30 mètres de large d'altération en hématite spéculaire, chlorite ± carbonates et injecté de veinules de quartz-carbonates-spécularite ± pyrite. Cette altération est contrôlée par un système de fractures et de failles fragiles ayant un clivage à N320/60 parallèle à la direction générale du linéament.

Les échantillons ponctuels prélevés ce secteur sont caractérisées par une minéralisation de pyrite variant en abondance entre 1 et 5%, localement jusqu'à 25%, dans les zones variablement altérées en hématite spéculaire et en silice. La minéralisation est généralement disséminée dans les roches intrusives felsiques mais aussi se trouve également diffusée dans les dykes mafiques et en association avec des veines de quartz ± carbonate ± hématite spéculaire, de différentes largeurs, allant de quelques millimètres à un mètre. De nombreux décapages et tranchées, effectués lors de travaux antérieurs, ont été trouvés et ré-échantillonnés.

Lors de cette présente campagne de prospection, la plus haute teneur obtenue dans le secteur du linéament RG est de 5,38 g/t Au sur un ancien décapage. Cela est moindre que la plus haute teneur historique obtenue par prospection soit de 16,56 g/t Au.

Zone 2 :

La zone 2 représente l'échantillon #6379, lequel rapporte une teneur de 423ppb en affleurement. Il s'agit d'un secteur où aucun échantillon aurifère anomal n'avait jamais été récolté. L'échantillon est décrit comme étant des veinules de quartz et des veinules de chlorite et carbonates millimétriques à centimétriques, encaissées dans un intrusif felsique silicifié, hématisé et chloritisé. L'échantillon contient 1% de pyrite disséminée dans l'encaissant mais aussi associée aux veinules.

11 CONCLUSIONS ET RECOMMANDATIONS

11.1 Secteur de la phase 1

Zone 1:

Le ré-échantillonnage des décapages de l'indice Nora confirma la présence de veines minéralisées à fortes teneurs aurifères. Des traverses de prospection pourraient être effectuées selon une maille serrée autour des décapages connus pour rechercher les extensions possibles de ces veines.

De plus, les différents décapages de l'indice Nora n'ont jamais été rainurés. Seulement des échantillons ponctuels au marteau ont été récoltés. Un rainurage systématique des affleurements décapés permettrait d'avoir une meilleure connaissance de ce système aurifère. Préalablement au rainurage, un nettoyage des affleurements voir même une phase de décapage supplémentaire pourrait s'avérer utile.

Zone 2 :

Une veine de quartz similaire à celles de l'indice Nora, rapporte des teneurs aurifères anormales de 360ppb. L'affleurement de petite taille ne permet pas d'observer la continuité ni l'orientation de la veine minéralisée raison pour laquelle un décapage est recommandé.

11.2 Secteur de la phase 2

Zone du linéament RG :

Neuf (9) des dix (10) échantillons aurifères récoltés en affleurement l'ont été sur le linéament RG, lequel était déjà connu. De plus, l'échantillon montrant la plus haute teneur fut récolté sur un ancien décapage. Les autres échantillons, récoltés sur des affleurements non décapés, avaient des teneurs en or relativement faibles comparé aux teneurs historiques retrouvées dans le secteur. Considérant tous ces aspects, comme rien de significatif et de nouveau ne fut mis à jour par cette campagne d'exploration, il est recommandé de ne pas poursuivre les travaux de terrain dans le secteur du linéament RG pour le moment. Le secteur étant peu travaillé, une compilation plus approfondie devrait plutôt être entreprise afin de mieux cibler d'éventuels travaux d'exploration tels que la densification des sondages le long de cette structure aurifère.

Zone 2 :

Bien que la teneur ne soit pas très élevée, l'échantillon #6379 mérite tout de même un suivi puisqu'il s'agit d'un nouveau secteur anomal. Des traverses de prospection pourraient être effectuées selon une maille serrée autour de l'échantillon pour rechercher les extensions possibles de cette minéralisation aurifère.

Guillaume Beaudoin

Guillaume Beaudoin B.Sc., géo.



Ressources Falco Liée.

Résultats de la campagne d'échantillonnage, Été 2014, PROPRIÉTÉ FLAVRIAN

ANNEXE I

TITRES MINIERS

Tableau 3 : Titres miniers de la propriété Flavrian

HOLDER:	<i>Falco Pacific (91115) 100% (responsible)</i>				PROJECT NTS:	32D03 32D06
Disposition No	Township	Work Requirement	Work Credit	Payment	Hectares	Expiry Date
2275591	DUPRAT	2 500,00	1 802,32	54,75	57,27	janv 10, 2015
2275592	DUPRAT	2 500,00	1 802,32	54,75	57,27	janv 10, 2015
2275593	DUPRAT	2 500,00	1 802,63	54,75	57,28	janv 10, 2015
2275594	DUPRAT	1 000,00	2,21	28,00	0,07	janv 10, 2015
2275595	DUPRAT	1 000,00	9,44	28,00	0,30	janv 10, 2015
2275596	BEAUCHASTEL	2 500,00	1 049,22	54,75	33,34	janv 10, 2015
2275597	BEAUCHASTEL	2 500,00	1 782,52	54,75	57,29	janv 10, 2015
2275598	BEAUCHASTEL	2 500,00	1 802,95	54,75	57,29	janv 10, 2015
2275599	BEAUCHASTEL	2 500,00	956,88	54,75	57,29	janv 10, 2015
2275600	BEAUCHASTEL	2 500,00	108,08	54,75	57,29	janv 10, 2015
2275601	BEAUCHASTEL	2 500,00	409,47	54,75	57,29	janv 10, 2015
2275602	BEAUCHASTEL	2 500,00	467,80	54,75	57,29	janv 10, 2015
2275603	BEAUCHASTEL	2 500,00	408,85	54,75	57,29	janv 10, 2015
2275604	BEAUCHASTEL	2 500,00	-	54,75	57,29	janv 10, 2015
2275605	DUPRAT	2 500,00	-	54,75	57,21	janv 10, 2015
2275606	DUPRAT	2 500,00	-	54,75	57,21	janv 10, 2015
2275607	DUPRAT	2 500,00	219,59	54,75	57,21	janv 10, 2015
2275608	DUPRAT	2 500,00	-	54,75	57,21	janv 10, 2015
2275609	DUPRAT	2 500,00	219,59	54,75	57,21	janv 10, 2015
2275610	DUPRAT	2 500,00	0,43	54,75	57,21	janv 10, 2015
2275611	DUPRAT	2 500,00	0,43	54,75	57,21	janv 10, 2015
2275612	DUPRAT	2 500,00	0,43	54,75	57,21	janv 10, 2015
2275613	DUPRAT	2 500,00	1 800,43	54,75	57,21	janv 10, 2015
2275614	DUPRAT	2 500,00	1 800,43	54,75	57,21	janv 10, 2015
2275615	DUPRAT	1 000,00	273,48	28,00	8,69	janv 10, 2015
2275616	DUPRAT	1 000,00	3 461,18	28,00	1,96	janv 10, 2015
2275617	DUPRAT	1 000,00	470,00	28,00	15,65	janv 10, 2015
2275618	DUPRAT	1 000,00	2 270,00	28,00	15,62	janv 10, 2015
2275619	DUPRAT	1 000,00	307,45	28,00	15,59	janv 10, 2015
2275620	DUPRAT	1 000,00	489,36	28,00	15,55	janv 10, 2015
2275621	DUPRAT	1 000,00	-	28,00	15,52	janv 10, 2015
2275622	DUPRAT	1 000,00	48,36	28,00	15,47	janv 10, 2015
2275623	DUPRAT	1 000,00	235,95	28,00	15,43	janv 10, 2015
2275624	DUPRAT	1 000,00	483,38	28,00	15,36	janv 10, 2015
2275625	DUPRAT	1 000,00	480,87	28,00	15,28	janv 10, 2015
2275626	DUPRAT	1 000,00	478,04	28,00	15,19	janv 10, 2015
2275627	DUPRAT	1 000,00	474,26	28,00	15,07	janv 10, 2015
2275628	DUPRAT	1 000,00	470,80	28,00	14,96	janv 10, 2015
2275629	DUPRAT	1 000,00	70,49	28,00	2,24	janv 10, 2015

Tableau 3 : Titres miniers de la propriété Flavrian

HOLDER:	<i>Falco Pacific (91115) 100% (responsible)</i>				PROJECT NTS:	32D03 32D06
Disposition No	Township	Work Requirement	Work Credit	Payment	Hectares	Expiry Date
2275630	DUPRAT	2 500,00	-	54,75	25,48	janv 10, 2015
2275631	DUPRAT	2 500,00	1 386,59	54,75	44,06	janv 10, 2015
2275632	DUPRAT	2 500,00	1 385,96	54,75	44,04	janv 10, 2015
2275633	DUPRAT	2 500,00	6 430,23	54,75	44,03	janv 10, 2015
2275634	DUPRAT	2 500,00	6 429,92	54,75	44,02	janv 10, 2015
2275635	DUPRAT	1 000,00	97,56	28,00	3,10	janv 10, 2015
2275636	BEAUCHASTEL	2 500,00	1 803,89	54,75	57,32	janv 10, 2015
2275637	BEAUCHASTEL	2 500,00	1 803,89	54,75	57,32	janv 10, 2015
2275638	BEAUCHASTEL	2 500,00	6 848,47	54,75	57,32	janv 10, 2015
2275639	BEAUCHASTEL	2 500,00	5 044,58	54,75	57,32	janv 10, 2015
2275640	BEAUCHASTEL	1 000,00	147,59	28,00	4,69	janv 10, 2015
2275641	BEAUCHASTEL	1 000,00	476,78	28,00	15,15	janv 10, 2015
2275642	BEAUCHASTEL	2 500,00	1 803,58	54,75	57,31	janv 10, 2015
2275643	BEAUCHASTEL	2 500,00	-	54,75	57,31	janv 10, 2015
2275644	BEAUCHASTEL	2 500,00	-	54,75	57,31	janv 10, 2015
2275645	BEAUCHASTEL	2 500,00	-	54,75	57,31	janv 10, 2015
2275646	BEAUCHASTEL	2 500,00	11 848,16	54,75	57,31	janv 10, 2015
2275647	BEAUCHASTEL	2 500,00	7 544,58	54,75	57,31	janv 10, 2015
2275648	BEAUCHASTEL	2 500,00	1 668,88	54,75	53,03	janv 10, 2015
2275649	BEAUCHASTEL	1 000,00	209,28	28,00	6,65	janv 10, 2015
2275650	BEAUCHASTEL	1 000,00	-	28,00	7,03	janv 10, 2017
2275651	BEAUCHASTEL	1 000,00	-	28,00	7,43	janv 10, 2017
2275652	BEAUCHASTEL	2 500,00	-	54,75	42,74	janv 10, 2015
2275653	BEAUCHASTEL	2 500,00	-	54,75	56,28	janv 10, 2015
2275654	BEAUCHASTEL	1 000,00	-	28,00	11,36	janv 10, 2015
2275655	BEAUCHASTEL	2 500,00	1 351,35	54,75	42,94	janv 10, 2015
2275656	BEAUCHASTEL	2 500,00	410,42	54,75	57,30	janv 10, 2015
2275657	BEAUCHASTEL	2 500,00	1 606,84	54,75	57,30	janv 10, 2015
2275658	BEAUCHASTEL	2 500,00	24,50	54,75	57,30	janv 10, 2015
2275659	BEAUCHASTEL	2 500,00	821,20	54,75	57,30	janv 10, 2015
2275660	BEAUCHASTEL	2 500,00	828,12	54,75	57,30	janv 10, 2015
2275661	BEAUCHASTEL	2 500,00	1 803,26	54,75	57,30	janv 10, 2015
2275662	BEAUCHASTEL	2 500,00	1 803,26	54,75	57,30	janv 10, 2015
2275663	BEAUCHASTEL	2 500,00	-	54,75	57,30	janv 10, 2017
2275664	BEAUCHASTEL	2 500,00	-	54,75	57,30	janv 10, 2017
2275665	BEAUCHASTEL	2 500,00	-	54,75	57,30	janv 10, 2017
2275666	BEAUCHASTEL	2 500,00	-	54,75	56,57	janv 10, 2017
2275667	BEAUCHASTEL	1 000,00	-	28,00	12,22	janv 10, 2017
2275668	BEAUCHASTEL	2 500,00	-	54,75	57,29	janv 10, 2017
2275669	BEAUCHASTEL	2 500,00	-	54,75	57,29	janv 10, 2017
2275670	BEAUCHASTEL	2 500,00	-	54,75	57,29	janv 10, 2017
2275671	BEAUCHASTEL	2 500,00	1 498,94	54,75	47,63	janv 10, 2015
2275672	DUPRAT	1 000,00	365,06	28,00	11,60	janv 10, 2015

Tableau 3 : Titres miniers de la propriété Flavrian

HOLDER:	<i>Falco Pacific (91115) 100% (responsible)</i>				PROJECT NTS:	32D03 32D06
Disposition No	Township	Work Requirement	Work Credit	Payment	Hectares	Expiry Date
2275673	DUPRAT	2 500,00	1 802,63	54,75	57,28	janv 10, 2015
2275674	DUPRAT	2 500,00	1 802,63	54,75	57,28	janv 10, 2015
2275675	DUPRAT	2 500,00	1 802,63	54,75	57,28	janv 10, 2015
2275676	DUPRAT	2 500,00	1 802,63	54,75	57,28	janv 10, 2015
2275677	DUPRAT	2 500,00	79,03	54,75	57,28	janv 10, 2015
2275678	DUPRAT	2 500,00	407,89	54,75	57,28	janv 10, 2015
2275679	DUPRAT	2 500,00	1 105,26	54,75	57,28	janv 10, 2015
2275680	DUPRAT	2 500,00	-	54,75	57,28	janv 10, 2017
2275681	DUPRAT	2 500,00	-	54,75	57,28	janv 10, 2017
2275682	DUPRAT	2 500,00	-	54,75	57,28	janv 10, 2017
2275683	DUPRAT	2 500,00	1 661,96	54,75	52,81	janv 10, 2015
2275684	DUPRAT	2 500,00	950,10	54,75	30,19	janv 10, 2015
2275685	DUPRAT	1 000,00	98,50	28,00	3,13	janv 10, 2015
2275686	DUPRAT	1 000,00	80,78	28,00	12,69	janv 10, 2015
2275687	DUPRAT	2 500,00	342,73	54,75	33,07	janv 10, 2015
2275688	DUPRAT	1 000,00	-	28,00	10,16	janv 10, 2015
2275689	DUPRAT	1 000,00	63,28	28,00	24,18	janv 10, 2015
2275690	DUPRAT	2 500,00	-	54,75	57,27	janv 10, 2015
2275691	DUPRAT	2 500,00	25 069,79	54,75	57,27	janv 10, 2015
2275692	DUPRAT	2 500,00	69 590,10	54,75	57,27	janv 10, 2015
2275693	DUPRAT	2 500,00	1 802,32	54,75	57,27	janv 10, 2015
2275694	DUPRAT	2 500,00	407,57	54,75	57,27	janv 10, 2015
2275695	DUPRAT	2 500,00	407,27	54,75	57,27	janv 10, 2015
2275696	BEAUCHASTEL	2 500,00	406,96	54,75	57,27	janv 10, 2015
2275697	DUPRAT	2 500,00	-	54,75	57,28	janv 10, 2017
2275698	DUPRAT	2 500,00	-	54,75	57,28	janv 10, 2017
2275699	DUPRAT	2 500,00	-	54,75	57,28	janv 10, 2017
2275700	DUPRAT	2 500,00	1 802,63	54,75	57,28	janv 10, 2015
2275701	DUPRAT	2 500,00	1 802,63	54,75	57,28	janv 10, 2015
2275702	DUPRAT	1 000,00	187,25	28,00	5,95	janv 10, 2015
2275703	DUPRAT	1 000,00	39,83	28,00	21,92	janv 10, 2015
2275704	DUPRAT	2 500,00	-	54,75	57,26	janv 10, 2015
2275705	DUPRAT	2 500,00	479,43	54,75	47,01	janv 10, 2015
2275706	DUPRAT	2 500,00	532,93	54,75	48,71	janv 10, 2015
2275707	DUPRAT	2 500,00	1 802,00	54,75	57,26	janv 10, 2015
2275708	DUPRAT	2 500,00	49 217,13	54,75	57,26	janv 10, 2015
2275709	DUPRAT	2 500,00	72 027,15	54,75	57,26	janv 10, 2015
2275710	DUPRAT	2 500,00	3,68	54,75	57,26	janv 10, 2015
2275711	DUPRAT	2 500,00	3,68	54,75	57,26	janv 10, 2015
2275712	DUPRAT	2 500,00	802,58	54,75	57,27	janv 10, 2015
2275713	DUPRAT	2 500,00	160,68	54,75	57,27	janv 10, 2015
2275714	DUPRAT	2 500,00	-	54,75	57,27	janv 10, 2017
2275715	DUPRAT	2 500,00	-	54,75	57,27	janv 10, 2017

Tableau 3 : Titres miniers de la propriété Flavrian

HOLDER:	<i>Falco Pacific (91115) 100% (responsible)</i>				PROJECT NTS:	32D03 32D06
Disposition No	Township	Work Requirement	Work Credit	Payment	Hectares	Expiry Date
2275716	DUPRAT	2 500,00	-	54,75	57,27	janv 10, 2017
2275717	DUPRAT	2 500,00	-	54,75	57,27	janv 10, 2017
2275718	DUPRAT	2 500,00	-	54,75	57,27	janv 10, 2017
2275719	DUPRAT	1 000,00	-	28,00	23,95	janv 10, 2017
2275720	DUPRAT	1 000,00	17,54	28,00	22,00	janv 10, 2015
2275721	DUPRAT	2 500,00	1,68	54,75	57,25	janv 10, 2015
2275722	DUPRAT	2 500,00	1,68	54,75	57,25	janv 10, 2015
2275723	DUPRAT	2 500,00	-	54,75	57,25	janv 10, 2015
2275724	DUPRAT	2 500,00	-	54,75	57,25	janv 10, 2015
2275725	DUPRAT	2 500,00	-	54,75	57,26	janv 10, 2015
2275726	DUPRAT	2 500,00	-	54,75	57,26	janv 10, 2015
2275727	DUPRAT	2 500,00	1 802,00	54,75	57,26	janv 10, 2015
2275728	DUPRAT	2 500,00	1 802,00	54,75	57,26	janv 10, 2015
2275729	DUPRAT	2 500,00	1 802,00	54,75	57,26	janv 10, 2015
2275730	DUPRAT	2 500,00	1 802,00	54,75	57,26	janv 10, 2015
2275731	DUPRAT	2 500,00	1 802,00	54,75	57,26	janv 10, 2015
2275732	DUPRAT	2 500,00	1 802,00	54,75	57,26	janv 10, 2015
2275733	DUPRAT	2 500,00	1 802,00	54,75	57,26	janv 10, 2015
2275734	DUPRAT	2 500,00	1 802,00	54,75	57,26	janv 10, 2015
2275735	DUPRAT	2 500,00	1 708,22	54,75	54,28	janv 10, 2015
2275736	DUPRAT	2 500,00	1 235,22	54,75	39,25	janv 10, 2015
2275737	DUPRAT	1 000,00	2,10	28,00	13,11	janv 10, 2015
2275738	DUPRAT	2 500,00	-	54,75	56,65	janv 10, 2015
2275739	DUPRAT	2 500,00	1,37	54,75	57,24	janv 10, 2015
2275740	DUPRAT	2 500,00	1,68	54,75	57,25	janv 10, 2015
2275741	DUPRAT	2 500,00	-	54,75	57,25	janv 10, 2015
2275742	DUPRAT	2 500,00	-	54,75	57,25	janv 10, 2015
2275743	DUPRAT	2 500,00	-	54,75	57,25	janv 10, 2015
2275744	DUPRAT	2 500,00	-	54,75	57,25	janv 10, 2015
2275745	DUPRAT	2 500,00	1 801,68	54,75	57,25	janv 10, 2015
2275746	DUPRAT	2 500,00	1 801,68	54,75	57,25	janv 10, 2015
2275747	DUPRAT	2 500,00	1 801,68	54,75	57,25	janv 10, 2015
2275748	DUPRAT	2 500,00	1 801,68	54,75	57,25	janv 10, 2015
2275749	DUPRAT	2 500,00	1 801,68	54,75	57,25	janv 10, 2015
2275750	DUPRAT	2 500,00	1 588,95	54,75	50,49	janv 10, 2015
2275751	DUPRAT	2 500,00	1 568,80	54,75	49,85	janv 10, 2015
2275752	DUPRAT	2 500,00	1 083,21	54,75	34,42	janv 10, 2015
2275753	DUPRAT	1 000,00	251,45	28,00	7,99	janv 10, 2015
2275754	DUPRAT	1 000,00	326,04	28,00	10,36	janv 10, 2015
2275755	DUPRAT	2 500,00	1 551,67	54,75	44,12	janv 10, 2015
2275756	DUPRAT	2 500,00	-	54,75	44,08	janv 10, 2015
2275757	DUPRAT	2 500,00	-	54,75	47,62	janv 10, 2015
2275758	DUPRAT	2 500,00	1,37	54,75	57,24	janv 10, 2015

Tableau 3 : Titres miniers de la propriété Flavrian

HOLDER:	<i>Falco Pacific (91115) 100% (responsible)</i>				PROJECT NTS:	32D03 32D06
Disposition No	Township	Work Requirement	Work Credit	Payment	Hectares	Expiry Date
2275759	DUPRAT	2 500,00	1,37	54,75	57,24	janv 10, 2015
2275760	DUPRAT	2 500,00	1,37	54,75	57,24	janv 10, 2015
2275761	DUPRAT	2 500,00	-	54,75	57,24	janv 10, 2015
2275762	DUPRAT	2 500,00	2,74	54,75	57,24	janv 10, 2015
2275763	DUPRAT	2 500,00	1 801,37	54,75	57,24	janv 10, 2015
2275764	DUPRAT	2 500,00	1 801,37	54,75	57,24	janv 10, 2015
2275765	DUPRAT	2 500,00	1 801,37	54,75	57,24	janv 10, 2015
2275766	DUPRAT	2 500,00	1 616,96	54,75	51,38	janv 10, 2015
2275767	DUPRAT	1 000,00	65,46	28,00	2,08	janv 10, 2015
2275768	DUPRAT	1 000,00	1,26	28,00	0,04	janv 10, 2015
2275769	DUPRAT	1 000,00	-	28,00	15,55	janv 10, 2015
2275770	DUPRAT	2 500,00	-	54,75	57,23	janv 10, 2015
2275771	DUPRAT	2 500,00	-	54,75	57,23	janv 10, 2015
2275772	DUPRAT	2 500,00	1,05	54,75	57,23	janv 10, 2015
2275773	DUPRAT	2 500,00	-	54,75	57,23	janv 10, 2015
2275774	DUPRAT	2 500,00	219,64	54,75	57,23	janv 10, 2015
2275775	DUPRAT	2 500,00	-	54,75	57,23	janv 10, 2015
2275776	DUPRAT	2 500,00	220,24	54,75	57,23	janv 10, 2015
2275777	DUPRAT	2 500,00	1,05	54,75	57,23	janv 10, 2015
2275778	DUPRAT	2 500,00	1,05	54,75	57,23	janv 10, 2015
2275779	DUPRAT	2 500,00	1 801,05	54,75	57,23	janv 10, 2015
2275780	DUPRAT	2 500,00	1 801,05	54,75	57,23	janv 10, 2015
2275781	DUPRAT	2 500,00	1 036,63	54,75	32,94	janv 10, 2015
2275782	DUPRAT	1 000,00	-	28,00	3,29	janv 10, 2015
2275783	DUPRAT	2 500,00	-	54,75	35,62	janv 10, 2015
2275784	DUPRAT	2 500,00	-	54,75	57,22	janv 10, 2015
2275785	DUPRAT	2 500,00	-	54,75	57,22	janv 10, 2015
2275786	DUPRAT	2 500,00	-	54,75	57,22	janv 10, 2015
2275787	DUPRAT	2 500,00	219,64	54,75	57,22	janv 10, 2015
2275788	DUPRAT	2 500,00	-	54,75	57,22	janv 10, 2015
2275789	DUPRAT	2 500,00	-	54,75	57,22	janv 10, 2015
2275790	DUPRAT	2 500,00	292,26	54,75	57,22	janv 10, 2015
2275791	DUPRAT	2 500,00	0,75	54,75	57,22	janv 10, 2015
2275792	DUPRAT	2 500,00	0,75	54,75	57,22	janv 10, 2015
2275793	DUPRAT	2 500,00	1 800,75	54,75	57,22	janv 10, 2015
2275794	DUPRAT	2 500,00	1 800,75	54,75	57,22	janv 10, 2015
2275795	DUPRAT	1 000,00	664,02	28,00	21,10	janv 10, 2015
2275796	DUPRAT	1 000,00	2 530,43	28,00	7,02	janv 10, 2015
2275797	DUPRAT	2 500,00	5 870,00	54,75	57,21	janv 10, 2015
2275798	DUPRAT	2 500,00	-	54,75	57,21	janv 10, 2015
2275799	DUPRAT	2 500,00	1 138,60	54,75	36,18	janv 10, 2015
2275800	DUPRAT	2 500,00	1 755,42	54,75	55,78	janv 10, 2015
2275801	DUPRAT	2 500,00	1 461,50	54,75	46,44	janv 10, 2015

Tableau 3 : Titres miniers de la propriété Flavrian

HOLDER:	<i>Falco Pacific (91115) 100% (responsible)</i>				PROJECT NTS:	32D03 32D06
Disposition No	Township	Work Requirement	Work Credit	Payment	Hectares	Expiry Date
2275802	DUPRAT	1 000,00	1,57	28,00	0,05	janv 10, 2015
2275803	DUPRAT	1 000,00	149,17	28,00	4,74	janv 10, 2015
2275804	DUPRAT	2 500,00	-	54,75	48,87	janv 10, 2015
2275805	DUPRAT	1 000,00	253,25	28,00	13,52	janv 10, 2015
2275806	DUPRAT	1 000,00	529,96	28,00	16,84	janv 10, 2015
2275807	DUPRAT	1 000,00	-	28,00	0,57	janv 10, 2017
2275808	DUPRAT	1 000,00	-	28,00	0,79	janv 10, 2017

Claims

218

9 779,55 hectares

Ressources Falco Ltée.

Résultats de la campagne d'échantillonnage, Été 2014, PROPRIÉTÉ FLAVRIAN

ANNEXE II

HISTORIQUE DES TRAVAUX ANTÉRIEURS

Tableau 4 : Historique des travaux antérieurs (modifié de Savard, 2006)

ANNÉE	COMPAGNIE	TRAVAUX	SECTEUR	RÉFÉRENCES
1939	Howey Gold Mines Ltd	8 sondages (H-20 à H-28) pour 2 033' (619.7 m).	Lots 22-23, rg I, Duprat	
1942	Noranda Mines	Tranchées et 12 sondages (B1 à B-12) pour 1 687.4' (514.3 m) sur Indice Buffam.	Lot 24, rg IX, Beauchastel	GM06119 A-B
1945	Governor Gold Mines Ltd	3 sondages (G-1 à G-3) pour 2 773' (845.2 m).	Lots 40-41, rg X, Beauchastel	GM05887
	Abenakis Mines Ltd	34 sondages (A-101 à A-134).	Lots 25-28, rg VIII, Beauchastel	GM06031
	Phelps Gold Mines Ltd	37 sondages (P-1 à P-37) pour 12 055.3' (3 674.5 m) sur Indice Graham.	Lots 48-49, rg II, Duprat	GM06181 A-B-C
	Beau Pete Gold Mines Ltd	Réseau de lignes et levé géologique.	Lots 25 à 32, rg IX, Beauchastel	
1946	Rico Rouyn Mines Ltd	8 sondages (RR-1A, RR-1 à RR-3, RR-B1, RR-2A, RR-1S, RR-2S) pour 3 032.4' (924.3 m).	Lots 34-35, rg IX, Beauchastel	GM06510
	Emory Gold Mines	1 sondage de 990' (301.8 m).	Lot 40, rg II, Duprat	GM00708-B
	Beau Rand Gold Mines Ltd	4 sondages (BG-1 à BG-4) pour 969' (295.4 m).	Lot 24 rg IX, Beauchastel	GM06114 A-B
	Eplett Mining & Development Co. Ltd	13 sondages sur Indice Eplett et les environs.	Lots 29, 32 à 34, rg X, Beauchastel	GM01166
1948	Beau Rand Gold Mines Ltd	3 sondages (BG-5 à BG-7) pour 1549' (472.1 m).	Lots 24-25, rg VIII, Beauchastel	GM06114-B
1949	Belkor Mines Ltd	Travaux d'exploration, tranchées et 4 sondages (BML-1 à BML-4 pour 1 093' (333.2 m) sur Indice Belkor.	Lot 29, rg X, Beauchastel	GM00620 & GM00681A-B
	Eplett Mining & Development Co. Ltd	5 sondages (1949-1 à 1949-5) pour 846' (257.9 m) sur Indice Eplett.	Lot 31, rg X, Beauchastel	GM01166
1950	Eplett Mining & Development Co. Ltd	4 sondages (1950-2 à 1950-5) pour 1322' (402.9 m).	Lot 30, rg X, Beauchastel	GM06138
	Gamble & Co.	6 sondages (CP-14 à CP-18 et DL-11895, DL-11896) pour 537' (163.7) sur la propriété Cécile Pretty.	Lots 37 à 39, rg I, Duprat	GM00782
	Habitant Gold Mines Ltd	19 sondages (HG-1 à HG-19 pour 12 236.1' (3 729.6 m).	Lots 43 à 45, rg I, Beauchastel	GM00661
1951	Knobhill Gold Mines	12 sondages (5-51 à 16-51).	Lot 37-38, rg I; lots 46-47 rg II; lots 32-33-36-37-40-41-42, rg III, Duprat	GM01670-B
1955	Belfast Mines Ltd	1 sondage pour 228' (69.5).	Lot 37, rg I, Duprat	GM03430
1956	Elvue Mines Ltd	3 sondages (EM-1, EM-2) pour 1 006' (306.6 m).	Lots 46-47, rg I, Duprat	GM04211
1959	Eplett Mining & Development Co. Ltd	11 sondages (1959-1 à 1959-11 pour 2 121.8' (646.7m) sur l'Indice Eplett.	Lots 39 à 31, rg X, Beauchastel	GM09390
1962	Lee-Poirier Claims	Travaux de cartographie (Indice Buffam).	Lots 22 à 25, rg IX (1/2N) – rg X (1/2S), Beauchastel	GM12148

Tableau 4 : Historique des travaux antérieurs (modifié de Savard, 2006)

ANNÉE	COMPAGNIE	TRAVAUX	SECTEUR	RÉFÉRENCES
1963	Eplett Mining & Development Co. Ltd	3 sondages (E-1 à E-3) pour 1 070' (326.1 m) sur Indice Eplett.	Lots 31-32, rg X, Beauchastel	GM13293
	Lenmac Mines Ltd	Tranchées et 10 sondages (L-1 à L-10) pour 1 008.5' (307.4) sur Indice Lenmac.	Lots 29-30, rg IX, Beauchastel	GM13439
1964	Newrich Exploration Ltd	Travaux de géologie et 3 sondages.	Lots 40 à 43, rg IX, Beauchastel	GM14771
1965	Noranda Mines	3 sondages (W-1 à W-3) pour 1 667' (508.1 m) sur la propriété John Wichtacz Claim.	Lots 15 et 18, rg IX, Beauchastel	GM17064
1966	Dasson Copper Corporation Ltd	Option de l'Indice Wichtacz et tranchées.	Lot 26, rg IX, Beauchastel	GM20090 GM19581
	Cicci Claim	Décapage sur l'Indice Buffam.	Lot 24, rg IX, Beauchastel	GM18069
1967	Dasson Copper Corporation Ltd	5 sondages (D-1 à D-5) pour 725.5' (221.1 m) sur Indice Wichtacz.	Lot 26, rg IX, Beauchastel	GM20920
	Noranda Exploration Company Ltd	Coupe de lignes, prospection & tranchées - Option Wichtacz	Lot 21 à 26, rg VIII, Beauchastel	GM20656
	Dasson Copper Corporation Ltd	Tranchées (dynamitage) sur l'Indice Wichtacz.	Lot 26, rg IX, Beauchastel	GM20979
1968	Noranda Exploration Company Ltd	3 sondages (W-68-1 à W-68-3) pour 1 181' (360 m) sur Option Wichtacz.	Lot 21 à 29, rg VIII, Beauchastel	GM22289
1969	East Bay Gold Ltd	Décapage au sud de l'Indice Buffam.	Lot 23-24, rg IX, Beauchastel	GM24788 GM27216
	Madsen Red Lake Gold Mines	1 sondage (MRL-6) pour 122' (37.2 m).	Lot 21, rg IX, Beauchastel	GM25515
1974	Falconbridge Copper Ltd, Division Lac Dufault	5 sondages (EF-1 à EF-4 et EF-3A) pour 2 098' (639.5 m).	Lot 47-48, rg I, Duprat	GM30055
1978	SOQUEM	Levés géophysiques aéroportés : Mag., E.M.H., T.B.F. (1 : 10 000) par Relevés Géophysique Inc.	Sur toute la propriété	
		Levés géophysiques terrestres : Mag., E.M.H., T.B.F. (1 : 2 400) par Géophysique R.M. Lee.	Bloc A 25 à 28, V, Duprat; Bloc B 37 à 40, II Duprat; Bloc C 30-31, III, Duprat Bloc D 40 à 44, X, Beauchastel	
		Levés géophysiques terrestres : Mag., E.M.H. (1 : 2 400).	Bloc E 23 à 26, IX, Beauchastel	
1979	SOQUEM	Levé géologique de reconnaissance, prospection et lithogéochimie (1 : 10 000).	Sur toute la propriété	

Tableau 4 : Historique des travaux antérieurs (modifié de Savard, 2006)

ANNÉE	COMPAGNIE	TRAVAUX	SECTEUR	RÉFÉRENCES
1980	SOQUEM	Levés géologiques de détail (1 : 2 500) et levés géophysiques terrestres : Mag., T.B.F., P.P. (1 : 2 500).	Bloc 3C 29 à 32, (1/2N) III, Duprat; Bloc 4F/5F 48, I & 48-49, II, Duprat; Bloc 5A 17 à 19, I, Duprat; Bloc 4B/5B 20 à 25, II, Duprat Bloc 8B/8C 25 à 29, VIII, Beauchastel	
		Test géophysique P.P. (1 : 2 500) - Géophysique R.M. Lee.	Bloc 4B/5B 20 à 25, II, Duprat	
		Étude altération du granite de Flavrian – L. Kennedy (1980 à 1982).		
		Étude spéciale de la mine Win-Eldrich par P. Trudel.		
		17 sondages (80-1 à 80-17) pour 2 750 m au nord-est de la mine Win-Eldrich.	Bloc 3C 29-30, III, Duprat	
1981	SOQUEM	Levés géologiques détail (1 : 2 500) et levés géophysiques terrestres P.P., Mag., T.B.F. (1 : 2 500).	Bloc 2C/2D nord mine Win-Eldrich Bloc 3C/4C sud Win-Eldrich Bloc 5A 17 à 19, (1/2S), I, Duprat Bloc 5C 26 à 28, (1/4N), I, Duprat Bloc 5E/5F 46 à 48, I, et 46-49, II, Duprat. Bloc 6E 42 à 45, X, Beauchastel Bloc 7B/7C 23 à 31, IX, Beauchastel	
		Levés P.P. (1 : 2 500) par Géophysique R.M. Lee.	Bloc 4B/5B 20 à 25, II, Duprat Bloc 3C/4C sud Win-Eldrich Bloc 2C/2D nord Win-Eldrich	
		Travaux d'exploration.	Blocs 4B, 2C/2D, 4A/4B, 5A, 5C et 7B/7C.	
		13 sondages (81-18 à 81-29, 81-3A) pour 2 301.5m 11 des sondages sont localisés le long de l'extension nord de la structure aurifère de Win-Eldrich. Les deux autres trous visaient à expliquer des anomalies géophysiques.	Lots 29-30, rg III, Duprat Lots 29-24, rg III-IX, Duprat-Beauchastel	

Tableau 4 : Historique des travaux antérieurs (modifié de Savard, 2006)

ANNÉE	COMPAGNIE	TRAVAUX	SECTEUR	RÉFÉRENCES
1982	SOQUEM	Levés P.P.	Blocs St-Jude, Quésabé et lac Méritens.	
		2 sondages (82-30, 82-31) pour 398.5 m. L'objectif était de vérifier l'extension sud de la structure aurifère Win-Eldrich.	Lot 28, rg II, Duprat	
		Travaux de prospection axés sur la brèche de St-Jude et échantillonnage de l'humus prélevé dans différents secteurs de la propriété pour l'or et l'arsenic.		
		Étude spéciale du secteur de la min Eldrich, bref résumé de la géologie du pluton de Flavrian et évaluation du potentiel des minéralisations de type porphyrique à molybdène par Lawrence Kennedy.		
1983	SOQUEM	31 sondages (83-32 à 83-59) pour 5 916.7 m. 20 sondages ont été effectués dans le secteur de la mine Eldrich et les 11 autres, forés au sud de la mine Eldrich.	Lots 27-28, rg II, Duprat	
		Cartographie et évaluation de l'Indice West Gold et des propriétés adjacentes Tagami et Elder par T. Setterfield.		
1984	SOQUEM	Travaux de prospection, de géologie et 11 sondages (84-60 à 84-70) pour 1 919 m.	Lots 26-27, rg II, Duprat Lots 23-25, rg III, Duprat	
		Cartographie détaillée (1 :500) des affleurements situés à l'ouest de la mine Eldrich et dans le secteur de la brèche St-Jude.		
1985	SOQUEM	Travaux de prospection et 8 sondages (85-71 à 85-78) pour un total de 1 905 m.	Lot 27, rg II, Duprat Lot 32, rg III, Duprat Lots 31 à 33, rg IV, Duprat	
1986	SOQUEM	Synthèse de travaux d'exploration sur la propriété Flavrian.		
		Projet de fin d'étude : Étude de la distribution de l'or dans le batholite de Flavrian, Louis Sabourin.		
1987	Mines Sullivan Inc.	Travaux de cartographie.	Propriété Eldrich	
	Cambior	Levé héliporté combiné : magnétique, électromagnétique et T.B.F. par Aerodat Ltd.	Propriété Flavrian	
		Compilation (1 : 5 000 et 1 : 20 000)		
		33 sondages (FV87-79 à 111) pour 7 701.39 m, prospection de linéaments géophysiques et photogéologiques	Zone 1 sud mine Eldrich Zone 2 N-E mine Quésabé Zone 3 ouest mine Quésabé Zone 4 ouest mine Eldrich Zone 5 indices Eplett, Lenmac, et Belkor	

Tableau 4 : Historique des travaux antérieurs (modifié de Savard, 2006)

ANNÉE	COMPAGNIE	TRAVAUX	SECTEUR	RÉFÉRENCES
1988	Cambior	Étude structurale de la mine Eldrich : hypothèse et modèle.		
		Cartographie (1 : 5 000)	Nord-est de la propriété	
		36 sondages (FV88-112 à 147) pour 7 984.3 m.	Secteurs de l'indice #100, NE de la mine Quésabé, et le secteur nord du lac Méritens	
1989	Cambior	36 sondages (FV89-148 à 181, 89-1,89-2) pour 7 518.79 m.	Secteurs des indices #100, #114 et #89. secteur SE du lac Nora. Secteur du lac Méritens. Secteur NW de la propriété. Faille mouilleuse. Extension nord de la mine Pierre-Beauchemin.	
		Travaux de décapage	Indices Nora	
		Cartographie (1 : 5 000)	Nord de la propriété	
		Levé magnétométrique, cartographie (1 :100) avec lithogéochimie et échantillonnage de l'humus sur indices minéralisés.	Sud-est du lac Nora	
1990	Cambior	2 sondages (FV90-182 et 183) pour 618.44 m.	Faille mouilleuse et Mine Pierre-Beauchemin	
1991	Cambior	Levé P.P. effectué par Géola Conseil en Exploration	Lots 22-23, rg I-II, Duprat	
		Cartographie, décapage mécanique indice Sylvie, levé P.P. et 10 sondages (FV91-184 a 193) pour 1 084.93 m.	Secteur de la brèche de St-Jude	
1992	Cambior	Activité de synthèse le porphyre à Au-Mo de St-Jude, A. Carrier.		
	Cambior	16 sondages FV92-194 à 209) pour 3 015.22 m.	Indices Sylvie et #114, brèche de St-Jude	
		Cartographie (1 : 5 000) et échantillonnage systématique de la brèche de St-Jude. Cartographie des intrusions situées dans ou en bordure du pluton de Flavrian dans le but de vérifier l'hypothèse des minéralisations porphyriques.	Unité de Méritens, diorite d'Eldrich, intrusions au sud du lac Lebrun et près de la mine Elder	

Tableau 4 : Historique des travaux antérieurs (modifié de Savard, 2006)

ANNÉE	COMPAGNIE	TRAVAUX	SECTEUR	RÉFÉRENCES
1993	Cambior	36.5 km de levé EM T.B.F. par Val d'Or Géophysique.	Lots 9 à 16, rg IV, Duprat	
		17 sondages (FV93-210 à 226 pour 7 737.29 m.	Mine Quésabé, Zone 114-200, structure NW, structure NS, Zone Nora, Zone McDougall	
		Échantillonnage sur la zone d'altération de l'Indice Buffam.		
	Exploration Cambiex	Rapport de la qualification propriété Flavrian par Géologica.		
	Cambior	Réinterprétation du levé magnétique hélicoptéré (Aerodat, 1987) par Lambert Géosciences Ltée.		
1994	Cambior	5 sondages (FV94-227 à 232) pour 2 397.95 m.	Lots 26, 41-42, rg I, lot 35, rg V, Duprat et mine Quésabé	
		Activité de synthèse : Descriptions des indices aurifères 114/200 en marge du pluton de Flavrian dans la sous-province de l'Abitibi, propriété Flavrian, Denis Vaillancourt.		
		Levés magnétiques et électromagnétiques de type T.B.F. au sol par Val d'or Géophysique.	Sur une grande portion de la propriété Flavrian	
	Exploration Cambiex	Rapport de qualification propriété Flavrian par Géologica.		
1995	Cambior	Cartographie et échantillonnage	Indice Buffam	
1996	Cambior	3 sondages (FV96-233 à 235) pour 1 054.91 m.	Lot 35, rg II, Duprat	
		2 décapages mécaniques, cartographie détaillée et échantillonnage.	Indice Buffam	
	Cambior	Coupe de lignes portion nord de la grille Buffam (24.4 km), de la grille lac Lebrun (13.9 km) et de la grille SE du lac Flavrian (41.7 km). 3 levés P.P. effectués sur la grille Buffam (17 km), la grille lac Lebrun (13 km) et la grille SE du lac Flavrian (36 km) par Géola Conseil en Exploration.		
1997	Cambior-Exploration Azimut	Coupe de lignes portion sud de la grille Buffam (20.6 km) et levé P.P. portion sud de la grille Buffam (17 km) par Bélanger Géophysique. L'interprétation du levé P.P. de la grille Buffam a été faite par Lambert Géosciences Ltée.		
2002	Cambior - Exploration Azimut	Forage (2136m sur 7 forages); échantillonnage lithogéochimique de surface et cartographie détaillée	Indice veine "A" de St-Judes	GM 59958
2005	Corporation minière Alexis	4546m de forage répartis sur 12 forages : FV05-01 à FV05-11; Extension FV93-218	Brèche de St-Jude, indices d'or #200 et #114 le long de la faille Beauchemin	GM 62642
2006	Xstrata cuivre	1 sondage : FV-06-12		GM 63193
2013	Falco Pacific Resources Group	2051,m mètres sur 7 forages : 17903-14-01@17903-14-07	Secteur des indices Lac Flavrian-NO et Saint-Judes	GM 67671

Ressources Falco Ltée.

Résultats de la campagne d'échantillonnage, Été 2014, PROPRIÉTÉ FLAVRIAN

ANNEXE III

LÉGENDE GÉOSCIENTIFIQUE

DESCRIPTIVE CODIFICATION LEGEND

PRIMARY STRUCTURES & TEXTURES				PHYSICAL PROPERTIES			
Aggregates, clusters Amygdules, loidal Banded Bedding Breccias : undefined Flow breccia Pillow breccia Hyaloclastic breccia Injection/intrusion Explosive breccia Tectonic Heterogeneous « debri-flow » Clast Columnar Concentric Contraction fracture Convolute Crystalline Crystal Cyclic Diabasic Disseminated Dyke, dike « Eyes » Fan Flaser Fragmental Fluidal Glomeroporphyritic Granoblastic Heterogeneous Homogeneous Horizon, layer Homfel, contact metamorphism Hyaloclastic Injected or intruded Laminated Lobes, lobated Massive	Agg Amy Ban Bed Bre Brf Brp Brh Brn Brx Brt Brd Cst Col Cnc Cfr Cvl Crs X Cyc Dia Dis D Y Fan Fla Frg Flu Glo Gbl Het Hom Lay Hnf Hyl Inj Lam Lob Mas	Monomictic, monogenic Oolitic Orbicular Pegmatic Phenocryst Perilitic Pillowed, Pillow Poecilitic, poikilitic Polarity, graded bedding Polymictic, polygenic Polygonal fract., mud cracks Porous, partly dissolved Porphyry Porphyritic Porphyroblastic Pumice Rapakivic Recrystallized Remnants Remobilized Replacement Schistose, Schistosity Scoria Sinusoidal, sygmoid Slumping Spherulitic Spinifex Stockwork Streaks Stringer Turbidite Undulated Vacuole (vesicle) Varolitic Vein - Veinlet Tension vein Vitrous Xenolith Zone Zoning, zonation	Mom Ool Orb Peg Phx (X) Per Pil Poe Top Pom Pgn Prs Pph Por Pbl Pmc Rkv Rex Rmn Rem Rpm Sch Sco Sin Slp Sph Spx Swk Stk Stg Tur Und Vac Var VN-VL VT Vit Xen Z Zng	Hardness Magnetic Size-thickness Millimetric Centimetric Decimetric Metric Fine grained Medium grained Coarse grained Aphanitic Shape Angular Sub-angular Rounded Sub-rounded Spherical Ovoid Triangular Cubic Prismatic Acidular Tabular Nodular Radial	H Mag mm cm dm m fg mg cg Aph Ang lAng Rnd lRnd Cir Ovd Tri Cub Psm Aci Tab Nod Rad	Crystallization Xenomorphic Hypidiomorphic Idiomorphic Colors Beige Black Blue Brown Cream Green Grey Milky Opalescent Pink Purple Red Smoky Translucid White Yellow Honey Colour intensity Light Medium Dark Lack of	Xen Hyp Idi BG BK BL BN CM GN MK OP PK PP RD SK TR WH YL HN
STRUCTURAL FEATURES AND ATTITUDES				OVERALL ASPECT			
Anastomozed Brittle Boudinaged Breccias brecciated tectonic injection Broken core Conformable Conjugated Cross-cutting Dextral Downhole displacement downward = dropped upward = uplifted Fault Breccia Dilatant zone Fault Fault gouge Fissile	Ano Btl Bou Bre Brt Bri BC con cnj Xct Dxt Dw Uw Ftb Dlt Fit Ftg Fis	Folded Foliated Fractured Horizontal, flat Inverse movement Normal movement Orientation, strike, trend Plunge (lineation) Polarity, graded bedding Re-activated Schistose Senestral Sense within DDH downhole uphole Shearing Slip Stretching Symmetric Unconformable Vertical, subvertical	Fld Fol Frc HZ Inv Nor Az Plg Top Rac Sch Snt DH UH Shr Sli Stc Sym unc VR	Contact(s) Upper contact Lower contact Vein (>1cm) Veinlets (<1cm) Tension veins chilled conjugated conformable contorted, folded displaced deformed gradational irregular sinusoidal subjective unconformable	C UC LC VN VL VT chi cnj con ctd cut def grd irr sin sub unc	Horizontal, flat Vertical, subvertical Orientation, strike, trend, dir. Plunge (lineation) Polarity, graded bedding Sense within DDH downhole uphole	HZ VR Az Plg Top DH UH
ALTERATIONS				CONTACTS AND VEINS			
Altered Albitized Amphibolitized Ankeritized Biotitized Carbonatized Chloritized Coméenne /homfels Dolomitized	Alt Alb Amp Ank Bio Car Chi Crn Dol	Epidotized Flooding Hematitized Kaolinization Metasomatic Oxidation, rusty Potassic Pyritized	Epi Flo Hem Kao Mes Oxy Pot Pyr	Sausunitized Sencitized Serpentinized Silicified Spilitized Skam Talc Replacement	Sau Ser Spt Sil Spi Skn Tic Rpm	Degree of alteration Low Medium Strong Lack of	Low Medium Strong Lack of
TECHNICAL DATA				SPECIAL SYMBOLS AND « QUALIFIERS »			
Boulders Broken core, blocky core Casing Dip, inclination, plunge Direction End of hole	Bld BC Cas Dip Az E. O. H.	Grinded core, no recovery Lost hole, abandoned Overburden Tubing, size Wedge	NC Lost Ovb AQ BQ NQ HQ Wdg	A? A-B A(B) A-B? A/B/C (ABC) IA mB sC IA I-mB m-sC 15A 7B A35 B42 A : B VZ-Ti \Smp	feature « A » is possible or uncertain feature « B » is associated or related to « A » generally A, but locally B probably A, but could also be B(?) repetition or interlayered sequence of A>B>C locally A>locally B>locally C low, light, pale, few, small or weak A moderate, medium, frequent or fairly B strong, dark, numerous, large or abundant C absence or lack of A low to moderate B medium to strong C 15% A and 5 to 10% B A at 35° C.A. and B between 40° and 45° C.A. feature « A » followed by feature « B » Titanium <i>andesite</i> no sample reported	Low Medium Strong Lack of	Low Medium Strong Lack of

MAGMATIC ROCKS						PYROCLASTIC ROCKS			
Felsic Composition			Intermediate Composition						
I1	Intrusive Rocks	V1	Effusive rocks	I2	Intrusive rocks	I2K	Monzosyenite	T	Undetermined / mixed
I1B	Felsic intr. rocks	V1B	Felsic volcanic rocks	I2C	Intermediate (undef.)	I2P	Interm. porphyry	T1	Felsic
I1C	Granite	V1B	Rhyolite	I2D	Quartz syenite			T1B	Rhyolitic tuff
I1D	Granodiorite	V1C	Rhyodacite	I2E	Syenite			T1C	Rhyodacitic tuff
I1E	Tonalite	V1D	Dacite	I2F	Quartz monzonite	V2	Effusive rocks	T1D	Dacitic tuff
I1F	Aplite			I2G	Monzonite	V2C	Intermediate volc. rocks	T2	Intermediate
I1G	Pegmatite			I2H	Quartz Monzodiorite	V2D	Quartz trachyte	T3	Mafic
I1H	Granophyre			I2I	Monzodiorite	V2E	Trachyte	T4	Ultramafic / ultrabasic
I1P	Felsic porphyry			I2J	Quartz diorite	V2F	Quartz latite		
					Diorite	V2J	Latite		
							Andesite		
Mafic Composition			Ultramafic/Ultrabasic Composition					Qualifying suffixes	
I3	Intrusive rocks	I3L	Norite with olivine	I4	Intrusive rocks	I4O	Ultramafic lamproph.	T1B-F	Rhyolitic fine tuff
I3A	Mafic intrusive rocks	I3O	Mafic lamprophyre	I4A	Ultramafic/ultrabasic	I4P	Kimberlite	T1BC	Rhyolitic coarse tuff
I3B	Gabbro	I3P	Mafic porphyry	I4B	Hornblende	I4Q	Carbonatite	T1BL	Rhyolitic lapilli tuff
I3C	Diabase			I4C	Pyroxenite			T1B-F-C	Rhyolitic fine to coarse tuff
I3D	Monzogabbro	V3	Effusive rocks	I4E	Clinopyroxenite			T1B-F-L	Rhyolitic fine to lapilli tuff
I3E	Ferrogabbro	V3A	Mafic volcanic rocks	I4F	Orthopyroxenite	V4	Effusive rocks	T1B-C-L	Rhyolitic coarse to lapilli tuff
I3F	Gabbro with quartz	V3A	Andesitic basalt	I4G	Clinopyr. w olivine	V4A	Volcanic	T.X	crystal tuff
I3G	Diabase with quartz	V3B	Basalt	I4H	Orthopyr. w olivine	V4A	Komatite	Tcht	cherty tuff
I3H	Anorthosite	V3C	Basalt with quartz	I4I	Peridotite	V4B	Pyroxenitic komatiite		
I3I	Gabbroic anorthosite	V3D	Trachybasalt	I4M	Dunite	V4C	Peridotitic komatiite		
I3J	Anorthositic gabbro	V3E	Basalt with olivine	I4N	Serpentine	V4D	Dunitic komatiite		
I3K	Anorthositic gabbro	V3F	Magnesian basalt						
	Norite	V3G	Picrite						
	Gabbro with olivine								
SEDIMENTARY ROCKS			MIXED CLASTIC ROCKS			METAMORPHIC & TECTONIC		OTHER	
S	Undifferentiated Seds	S5F	Poly. 'matrix sup' breccia	VS	Volcanosedimentary	M	Metamorph/tectonic	MS	Massive Sulphides
S1	Sandstone	S6	Mudrock	VS1	VS of felsic compos.	M1	Gneiss	SMS	Semi-MS
S1A	Quartzitic sandstone	S6A	Siltstone	VS2	VS of intermediate c	M2	Banded gneiss	STZ	Stringer Zone
S1B	Feldspathic sandstone	S6D	Mudstone	VS3	VS of mafic comp.	M3	Orthogneiss	VN	Dominant « veining material »
S1C	Arkose	S7	Limestone			M4	Paragneiss		
S1D	Arkosic sandstone	S7A	Calclutite (clay)			M5	Quartzofelds.gneiss		
S1E	Lithic sandstone	S7B	Calcsiltite (silt)			M6	Granitic gneiss		
S2	Arenite	S7C	Calcarenite (sand)			M7	Granulite		
S2A	Quartzitic arenite	S7D	Calcsiltite (pebble)			M8	Schist		
S2B	Feldspathic arenite	S8	Dolomite			M9	Orthoschist		
S2C	Arkose	S8A	Dololulite			M10	Paraschist		
S2D	Arkosic arenite	S8B	Dolosiltite			M11	Phyllite		
S2E	Lithic arenite	S8C	Dolarenite			M12	Quartzite		
S3	Wacke	S8D	Dolorudite			M13	Marble		
S3A	Quartzitic wacke	S9	Iron formation			M14	Calco-silicated rock		
S3B	Feldspathic wacke	S9B	Oxide iron formation			M15	Metasomatic rock		
S3C	Arkose	S9C	Carbonate iron formation			M16	Amphibolite		
S3D	Arkosic wacke	S9D	Silicate iron formation			M17	Eclogite		
S3E	Lithic wacke	S9E	Sulphide iron formation			M18	Hornfels		
S4	Conglomerate	S10	Chert			M20	Metatexite		
S4A	Monogenic conglom.	S10A	Oxide chert			M21	Diatexite		
S4B	Mono. 'clast supp' cong	S10B	Carbonate chert			M22	Migmatite		
S4C	Mono. 'matrix sup' cong	S10C	Silicate chert			M24	Cataclasite		
S4A	Monogenic breccia	S10D	Sulphide chert			M25	Mylonite		
S5B	Mono. 'clast supp' brecc.	S10E	Carbon/graphitic chert			M26	Tectonic breccia		
S5C	Mono. 'matrix sup' brecc.	S10F	Chert ferruginous						
S5D	Polygenic breccia	S11	Exhalite						
S5E	Poly. 'clast supp' breccia	S12	Evaporite						

ELEMENTS AND MINERALS							
Elements and « economic » minerals				Other Minerals			
Aluminium	Al	Malachite	Mc	Albite	ab	Hornblende	hb
Antimoine	Sb	Manganèse	Mn	Actinote	ac	Limonite	lm
Argent	Ag	Marcasite	Ma	Allanite	all	Leucoxene	lx
Argentite	Ag ₂ S	Mercure	Hg	Amphibole	amp	Mica	mi
Arsenic	As	Molybdenite	Mo	Andalousite	ad	Microcline	ml
Arsenopyrite	As ₂ S ₃	Niobium	Nb	Ankèrite	ak	Muscovite	mv
Barium	Ba	Nickel	Ni	Anorthite	ant	Népheline	ne
Béryllium	Be	Or	Au	Anthophyllite	ah	Olivine	ol
Bismuth	Bi	Visible gold	vg	Antigorite	an	Orthose	or
Bornite	Bo	Pentandite	Ph	Apatite	ap	Orthopyroxène	opx
Brome	Br	Pechblende	Pc	Augite	at	Paragonite	pa
Cadmium	Cd	Pyrite	Py	Barytine	ba	Perthite	pe
Cérium	Ce	Pyrrhotite	Po	Béryl	be	Phlogopite	ph
Césium	Cs	Platine	Pt	Biofite	bt	Prehnite	pn
Chalcopryrite	Cp	Platinum group	Pge	Calcite	ca	Pyrophyllite	pr
Chalcosine	Cc	Rubidium	Rb	Carbonate	c	Pyroxène	px
Chromite	Cr	Ruthénium	Rh	Chert-jaspe	cht	Pumpellyite	pu
Chrysotile	Chy	Samarium	Sm	Chlorite	chl	Quartz	q
Cobalt	Co	Scandium	Sc	Chloritoide	chd	Rhodocrosite	rd
Covelline	Cv	Sélénium	Se	Clinopyroxene	cpx	Sandine	sa
Cuivre	Cu	Sodium	Na	Cordierite	cd	Scheelite	sh
Cuprite	Cup	Specularite	Hs	Corindon	co	Sércite	ser
Étain	Sn	Sphalerite	Sp	Cummingtonite	cg	Serpentine	spt
Europium	Eu	Strontium	Sr	Cyanite	cy	Siderose	sd
Fer	Fe	Sulfure	Su	Diopside	di	Silice	si
Galène	Gn	Tellure	Te	Dolomite	do	Sillimanite	sl
Goethite	Goe	Therbiu	Tb	Enstatite	en	Sphène	spn
Graphite	Gp	Thonium	Th	Epidote	ep	Spodumène	so
Hafnium	Hf	Titane	Ti	Feldspath	f	Staurotide	st
Hématite	Hm	Tungstène ou scheelite	W	Feldspath plagioclase	fp	Talc	tc
Ilménite	Im	Uraninite	Ur	Feldspath potassique	fk	Tantalite	ta
Iridium	Ir	Zinc	Zn	Fluorite	fl	Tourmaline	tm
Lanthane	La	Zirconium	Zr	Forstèrite	fo	Tremolite	te
Lithium	Li	Yttrium	Y	Fuchsite	fu	Wolframite	wf
Lutécium	Lu	Ytterbium	Yb	Glaucophane	gl	Wollastonite	wo
Magnésium	Mg	Vanadium	Va	Grenat	gt	Zéolite	ze
Magnétite	Mt			Gypsum	gy	Zircon	zr
						Zoisite	zo

Ressources Falco Ltée.

Résultats de la campagne d'échantillonnage, Été 2014, PROPRIÉTÉ FLAVRIAN

ANNEXE IV

DESCRIPTION DES ÉCHANTILLONS

Tableau 5.1 : Description des échantillons, Phase 1

ECH_#	geologue	UTM_E_NAD83zn1 7	UTM_N_NAD83zn1 7	Date	Type d'analyse	Type d'échantillon	Type de lieux
2520	CE	632779	5357306	28/07/2014	Au-35	Échantillon ponctuel	Affleurement
2521	CE	632778	5357304	28/07/2014	Lithogéochimie	Échantillon ponctuel	Affleurement
2522	CE	633086	5356968	28/07/2014	Au-35	Échantillon ponctuel	Affleurement
2523	CE	633122	5356968	28/07/2014	Au-35	Échantillon ponctuel	Affleurement
2524	CE	633247	5356772	28/07/2014	Au-35	Échantillon ponctuel	Bloc anguleux 50 cm x 50 cm
2525	CE	634201	5357135	29/07/2014	Lithogéochimie	Échantillon ponctuel	Affleurement
2526	CE	634248	5357151	29/07/2014	Au-35	Échantillon ponctuel	Affleurement
2527	CE	634271	5357250	29/07/2014	Au-35	Échantillon ponctuel	Affleurement
2528	CE	634207	5357034	29/07/2014	Au-35	Échantillon ponctuel	Affleurement
2529	CE	634342	5357032	29/07/2014	Au-35	Échantillon ponctuel	Affleurement
2530	CE	634338	5357033	29/07/2014	Au-35	Échantillon ponctuel	Affleurement
2531	CE	634395	5356987	29/07/2014	Au-35	Échantillon ponctuel	Affleurement
2532	CE	0	0	29/07/2014	Au-35	STD	
2533	CE	634576	5356889	29/07/2014	Au-35	Échantillon ponctuel	Affleurement
2534	CE	634501	5357320	30/07/2014	Au-35	Échantillon ponctuel	affleurement
2535	CE	634813	5357302	30/07/2014	Au-35	Échantillon ponctuel	affleurement
2536	CE	633170	5355897	31/07/2014	Au-35	Échantillon ponctuel	bloc
2537	CE	633184	5355883	31/07/2014	Au-35	Échantillon ponctuel	petit affleurement proche camp
2538	CE	633184	5355883	31/07/2014	Au-35	Échantillon ponctuel	petit affleurement proche camp
2539	CE	633531	5355900	31/07/2014	Lithogéochimie	Échantillon ponctuel	affleurement
2540	CE	633512	5355954	31/07/2014	Au-35	Échantillon ponctuel	affleurement
2541	CE	633871	5355676	31/07/2014	Au-35	Échantillon ponctuel	affleurement
2542	CE	0	0	31/07/2014	Au-35	BLK	
2543	CE	633884	5355655	31/07/2014	Au-35	Échantillon ponctuel	affleurement
2554	PGL	630658	5357015	28/07/2014	Lithogéochimie	Échantillon ponctuel	Affleurement, sous la mousse
2555	PGL	630903	5356723	28/07/2014	Lithogéochimie	Échantillon ponctuel	Affleurement, butte
2556	PGL	634190	5357134	29/07/2014	Lithogéochimie	Échantillon ponctuel	Affleurement, butte
2557	PGL	634257	5357279	29/07/2014	Lithogéochimie	Échantillon ponctuel	Affleurement, butte
2558	PGL	633863	5356588	30/07/2014	Lithogéochimie	Échantillon ponctuel	Affleurement, butte
2559	PGL	634278	5356377	31/07/2014	Lithogéochimie	Échantillon ponctuel	Affleurement, butte
2560	PGL	634055	5356677	31/07/2014	Lithogéochimie	Échantillon ponctuel	Affleurement, butte
2561	PGL	630843	5355932	13/08/2014	Lithogéochimie	Échantillon ponctuel	affleurement, butte
2562	PGL	631086	5356240	13/08/2014	Lithogéochimie	Échantillon ponctuel	affleurement, butte
2563	PGL	630954	5356081	13/08/2014	Lithogéochimie	Échantillon ponctuel	affleurement, butte
2564	PGL	631310	5356206	13/08/2014	Lithogéochimie	Échantillon ponctuel	affleurement, flanc de colline
2565	PGL	631202	5356330	13/08/2014	Lithogéochimie	Échantillon ponctuel	affleurement, colline

Tableau 5.1 : Description des échantillons, Phase 1

ECH_#	geologue	UTM_E_NAD83zn1 7	UTM_N_NAD83zn1 7	Date	Type d'analyse	Type d'échantillon	Type de lieux
2566	PGL	631357	5356525	13/08/2014	Lithogéochimie	Échantillon ponctuel	affleurement, flanc de colline
2567	PGL	631130	5356783	13/08/2014	Lithogéochimie	Échantillon ponctuel	affleurement, butte
2568	PGL	630749	5357214	13/08/2014	Lithogéochimie	Échantillon ponctuel	affleurement, butte
2569	PGL	630766	5357705	13/08/2014	Lithogéochimie	Échantillon ponctuel	affleurement, butte
2570	PGL	631566	5357557	13/08/2014	Lithogéochimie	Échantillon ponctuel	affleurement, butte
2571	PGL	631813	5357817	13/08/2014	Lithogéochimie	Échantillon ponctuel	affleurement, butte
2572	PGL	631982	5357556	13/08/2014	Lithogéochimie	Échantillon ponctuel	affleurement, butte
3071	PGL	634441	5356222	31/07/2014	Au-35	Échantillon ponctuel	Affleurement, butte
3072	PGL	634527	5356217	31/07/2014	Au-35	Échantillon ponctuel	Affleurement, colline
3073	PGL	634586	5356217	31/07/2014	Au-35	Échantillon ponctuel	Affleurement, colline
3074	PGL	634630	5356459	31/07/2014	Au-35	Échantillon ponctuel	Affleurement, butte
3075	PGL	634482	5356480	31/07/2014	Au-35	Échantillon ponctuel	Affleurement, butte
3120	PGL	631152	5356379	28/07/2014	Au-35	Échantillon ponctuel	Affleurement, colline
3121	PGL	631253	5356272	28/07/2014	Au-35	Échantillon ponctuel	Affleurement, flanc de colline
3122	PGL	634586	5356910	29/07/2014	Au-35	Échantillon ponctuel	Affleurement, butte
3123	PGL	634451	5357331	30/07/2014	Au-35	Échantillon ponctuel	Affleurement, butte
3124	PGL	0	0	30/07/2014	Au-35	BLK	
3125	PGL	634517	5357331	30/07/2014	Au-35	Échantillon ponctuel	Décapage 1a
3126	PGL	634529	5357336	30/07/2014	Au-35	Échantillon ponctuel	Décapage 1a
3127	PGL	634337	5357692	30/07/2014	Au-35	Échantillon ponctuel	Affleurement, bordure de lac
3128	PGL	633906	5356546	30/07/2014	Au-35	Échantillon ponctuel	Affleurement, butte
3129	PGL	634098	5356466	30/07/2014	Au-35	Échantillon ponctuel	Affleurement, butte
3189	PGL	634449	5357150	29/07/2014	Au-35	Échantillon ponctuel	Affleurement, butte
3190	PGL	634452	5357116	29/07/2014	Au-35	Échantillon ponctuel	Affleurement, butte
3191	PGL	0	0	29/07/2014	Au-35	STD	
3192	PGL	634422	5357076	29/07/2014	Au-35	Échantillon ponctuel	Affleurement, butte
3193	PGL	634640	5357074	29/07/2014	Au-35	Échantillon ponctuel	Affleurement, butte
3194	PGL	634653	5357080	29/07/2014	Au-35	Échantillon ponctuel	Affleurement, butte
3195	PGL	634153	5356638	31/07/2014	Au-35	Échantillon ponctuel	Affleurement, butte
6001	prélevé par GJH, décrit par CE et PGL	630131	5356679	17/07/2014	Au-35	Échantillon ponctuel	affleurement
6002	prélevé par GJH, décrit par CE et PGL	629831	5357034	17/07/2014	Au-35	Échantillon ponctuel	affleurement
6003	prélevé par GJH, décrit par CE et PGL	629544	5357351	17/07/2014	Au-35	Échantillon ponctuel	affleurement 5 x 2 m
6004	prélevé par GJH, décrit par CE et PGL	630112	5357686	17/07/2014	Au-35	Échantillon ponctuel	affleurement 50 x 30 m

Tableau 5.1 : Description des échantillons, Phase 1

ECH_#	geologue	UTM_E_NAD83zn1 7	UTM_N_NAD83zn1 7	Date	Type d'analyse	Type d'échantillon	Type de lieux
6005	prélevé par GJH, décrit par CE et PGL	630090	5357655	17/07/2014	Au-35	Échantillon ponctuel	affleurement
6006	prélevé par GJH, décrit par CE et PGL	630130	5357604	17/07/2014	Au-35	Échantillon ponctuel	
6007	prélevé par GJH, décrit par CE et PGL	630639	5357938	21/07/2014	Au-35	Échantillon ponctuel	
6008	prélevé par GJH, décrit par CE et PGL	630879	5357967	21/07/2014	Au-35	Échantillon ponctuel	petit affleurement 10 x 5 m
6009	prélevé par GJH, décrit par CE et PGL	632425	5356252	21/07/2014	Au-35	Échantillon ponctuel	affleurement
6010	prélevé par GJH, décrit par CE et PGL	632523	5356144	21/07/2014	Au-35	Échantillon ponctuel	affleurement
6011	prélevé par GJH, décrit par CE et PGL	632128	5356273	21/07/2014	Au-35	Échantillon ponctuel	affleurement 5 x 2 m
6012	prélevé par GJH, décrit par CE et PGL	631636	5356769	21/07/2014	Au-35	Échantillon ponctuel	grand affleurement
6013	prélevé par GJH, décrit par CE et PGL	630845	5357708	21/07/2014	Au-35	Échantillon ponctuel	Affleurement sous mousse
6014	prélevé par GJH, décrit par CE et PGL	630859	5358590	22/07/2014	Au-35	Échantillon ponctuel	Affleurement sous mousse
6015	prélevé par GJH, décrit par CE et PGL	631331	5358072	22/07/2014	Au-35	Échantillon ponctuel	Affleurement sous mousse
6016	prélevé par GJH, décrit par CE et PGL	632698	5358630	23/07/2014	Au-35	Échantillon ponctuel	Affleurement sous mousse
6017	prélevé par GJH, décrit par CE et PGL	632226	5359159	23/07/2014	Au-35	Échantillon ponctuel	affleurement flan colline
6018	prélevé par GJH, décrit par CE et PGL	632029	5359389	23/07/2014	Au-35	Échantillon ponctuel	affleurement hauteur 5 x 5 m
6019	prélevé par GJH, décrit par CE et PGL	632506	5358542	23/07/2014	Au-35	Échantillon ponctuel	affleurement
6020	prélevé par GJH, décrit par CE et PGL	0	0	23/07/2014	Au-35	STD	
6021	prélevé par GJH, décrit par CE et PGL	632790	5358239	23/07/2014	Au-35	Échantillon ponctuel	Affleurement sous mousse 4 x 2 m
6022	prélevé par GJH, décrit par CE et PGL	633052	5357350	24/07/2014	Au-35	Échantillon ponctuel	Affleurement 5 x 5 m
6023	prélevé par GJH, décrit par CE et PGL	633043	5357352	24/07/2014	Au-35	Échantillon ponctuel	Affleurement 4 x 3 m
6024	prélevé par GJH, décrit par CE et PGL	0	0	24/07/2014	Au-35	BLK	

Tableau 5.1 : Description des échantillons, Phase 1

ECH_#	geologue	UTM_E_NAD83zn1 7	UTM_N_NAD83zn1 7	Date	Type d'analyse	Type d'échantillon	Type de lieux
6025	prélevé par GJH, décrit par CE et PGL	633303	5357104	24/07/2014	Au-35	Échantillon ponctuel	Affleurement sous mousse
6026	prélevé par GJH, décrit par CE et PGL	633294	5357345	24/07/2014	Au-35	Échantillon ponctuel	affleurement 10 x 10 m sous mousse
6027	prélevé par GJH, décrit par CE et PGL	632518	5358244	24/07/2014	Au-35	Échantillon ponctuel	affleurement flanc
6028	prélevé par GJH, décrit par CE et PGL	632355	5358408	24/07/2014	Au-35	Échantillon ponctuel	affleurement flanc
6029	prélevé par GJH, décrit par CE et PGL	631887	5358921	24/07/2014	Au-35	Échantillon ponctuel	affleurement
6030	prélevé par GJH, décrit par CE et PGL	631593	5359273	24/07/2014	Au-35	Échantillon ponctuel	bloc
6031	prélevé par GJH, décrit par CE et PGL	634652	5357086	30/07/2014	Au-35	Échantillon ponctuel	
6032	prélevé par GJH, décrit par CE et PGL	634618	5357482	30/07/2014	Au-35	Échantillon ponctuel	affleurement
6033	prélevé par GJH, décrit par CE et PGL	634621	5357464	30/07/2014	Au-35	Échantillon ponctuel	affleurement
6034	prélevé par GJH, décrit par CE et PGL	634770	5357678	30/07/2014	Au-35	Échantillon ponctuel	affleurement sous mousse 2 x 5 m
6035	prélevé par GJH, décrit par CE et PGL	634288	5355959	31/07/2014	Au-35	Échantillon ponctuel	affleurement
6036	prélevé par GJH, décrit par CE et PGL	634374	5356134	31/07/2014	Au-35	Échantillon ponctuel	affleurement
6037	prélevé par GJH, décrit par CE et PGL	633619	5356014	31/07/2014	Au-35	Échantillon ponctuel	affleurement sous mousse
6051	prélevé par FP, décrit par CE	634371	5356677	30/07/2014	Au-35	Échantillon ponctuel	affleurement 50 x 40 m
6052	prélevé par FP, décrit par CE et PGL	634151	5355957	31/07/2014	Au-35	Échantillon ponctuel	affleurement 30 x 10 m
6053	prélevé par FP, décrit par CE et PGL	634282	5355998	31/07/2014	Au-35	Échantillon ponctuel	affleurement 100 x 40 m
6054	prélevé par FP, décrit par CE et PGL	634385	5356108	31/07/2014	Au-35	Échantillon ponctuel	affleurement 100 x 100 m
6055	prélevé par FP, décrit par CE et PGL	634553	5356066	31/07/2014	Au-35	Échantillon ponctuel	affleurement 50 x 20 m
6056	prélevé par FP, décrit par CE et PGL	633981	5356338	31/07/2014	Au-35	Échantillon ponctuel	affleurement 75 x 30 m
6101	prélevé par FP, décrit par PGL	630331	5356493	16/07/2014	Au-35	Échantillon ponctuel	

Tableau 5.1 : Description des échantillons, Phase 1

ECH_#	geologue	UTM_E_NAD83zn1 7	UTM_N_NAD83zn1 7	Date	Type d'analyse	Type d'échantillon	Type de lieux
6102	prélevé par FP, décrit par PGL	630464	5356355	16/07/2014	Au-35	Échantillon ponctuel	
6103	prélevé par FP, décrit par PGL	630551	5356272	16/07/2014	Au-35	Échantillon ponctuel	
6104	prélevé par FP, décrit par PGL	630714	5356061	16/07/2014	Au-35	Échantillon ponctuel	
6105	prélevé par FP, décrit par PGL	630827	5355943	16/07/2014	Au-35	Échantillon ponctuel	affleurement 30 x 15 m
6106	prélevé par FP, décrit par CE et PGL	630851	5355944	16/07/2014	Au-35	Échantillon ponctuel	affleurement 30 x 15 m
6107	prélevé par FP, décrit par CE et PGL	630974	5355978	16/07/2014	Au-35	Échantillon ponctuel	affleurement
6108	prélevé par FP, décrit par CE et PGL	630938	5355917	16/07/2014	Au-35	Échantillon ponctuel	affleurement
6109	prélevé par FP, décrit par CE et PGL	631285	5355422	16/07/2014	Au-35	Échantillon ponctuel	affleurement
6110	prélevé par FP, décrit par CE et PGL	631326	5355369	16/07/2014	Au-35	Échantillon ponctuel	affleurement
6111	prélevé par FP, décrit par CE et PGL	630878	5356135	16/07/2014	Au-35	Échantillon ponctuel	affleurement 10 x 8 m
6112	prélevé par FP, décrit par CE et PGL	630881	5356130	16/07/2014	Au-35	Échantillon ponctuel	affleurement 10 x 8 m
6113	prélevé par FP, décrit par CE et PGL	630872	5356160	16/07/2014	Au-35	Échantillon ponctuel	affleurement
6114	prélevé par FP, décrit par CE et PGL	630196	5356930	17/07/2014	Au-35	Échantillon ponctuel	affleurement 15 x 3 m
6115	prélevé par FP, décrit par CE et PGL	629908	5357254	17/07/2014	Au-35	Échantillon ponctuel	affleurement 1 x 15 m
6116	prélevé par FP, décrit par CE et PGL	629906	5357257	17/07/2014	Au-35	Échantillon ponctuel	affleurement 3 x 4 m
6117	prélevé par FP, décrit par CE et PGL	629874	5357292	17/07/2014	Au-35	Échantillon ponctuel	affleurement 6 x 2 m
6118	prélevé par FP, décrit par CE et PGL	629827	5357341	17/07/2014	Au-35	Échantillon ponctuel	affleurement 6 x 3 m
6119	prélevé par FP, décrit par CE et PGL	630334	5357010	17/07/2014	Au-35	Échantillon ponctuel	affleurement 7 x 4 m
6120	prélevé par FP, décrit par CE et PGL	0	0	17/07/2014	Au-35	BLK	
6121	prélevé par FP, décrit par CE et PGL	630374	5356977	17/07/2014	Au-35	Échantillon ponctuel	affleurement

Tableau 5.1 : Description des échantillons, Phase 1

ECH_#	geologue	UTM_E_NAD83zn1 7	UTM_N_NAD83zn1 7	Date	Type d'analyse	Type d'échantillon	Type de lieux
6122	prélevé par FP, décrit par CE et PGL	630830	5356819	17/07/2014	Au-35	Échantillon ponctuel	affleurement
6123	prélevé par FP, décrit par CE et PGL	0	0	17/07/2014	Au-35	STD	
6124	prélevé par FP, décrit par CE et PGL	630964	5356646	17/07/2014	Au-35	Échantillon ponctuel	affleurement 10 x 2 m
6125	prélevé par FP, décrit par CE et PGL	630603	5357372	21/07/2014	Au-35	Échantillon ponctuel	
6126	prélevé par FP, décrit par CE et PGL	630592	5357388	21/07/2014	Au-35	Échantillon ponctuel	affleurement 2 x 7 m
6127	prélevé par FP, décrit par CE et PGL	630576	5357407	21/07/2014	Au-35	Échantillon ponctuel	affleurement 3 x 10 m
6128	prélevé par FP, décrit par CE et PGL	630363	5357633	21/07/2014	Au-35	Échantillon ponctuel	affleurement
6129	prélevé par FP, décrit par CE et PGL	630215	5357794	21/07/2014	Au-35	Échantillon ponctuel	affleurement
6130	prélevé par FP, décrit par CE et PGL	630362	5357848	21/07/2014	Au-35	Échantillon ponctuel	affleurement
6131	prélevé par FP, décrit par CE et PGL	630467	5357832	21/07/2014	Au-35	Échantillon ponctuel	affleurement 7 x 10 m
6132	prélevé par FP, décrit par CE et PGL	631769	5356374	21/07/2014	Au-35	Échantillon ponctuel	affleurement 3 x 4 m
6133	prélevé par FP, décrit par CE et PGL	632015	5356094	21/07/2014	Au-35	Échantillon ponctuel	affleurement
6134	prélevé par FP, décrit par CE et PGL	631310	5356209	21/07/2014	Au-35	Échantillon ponctuel	affleurement 10 x 6 m
6135	prélevé par FP, décrit par CE et PGL	631252	5357844	22/07/2014	Au-35	Échantillon ponctuel	affleurement 6 x 15 m
6136	prélevé par FP, décrit par CE et PGL	631447	5357634	22/07/2014	Au-35	Échantillon ponctuel	affleurement 10 x 2 m
6137	prélevé par FP, décrit par CE et PGL	631986	5357629	22/07/2014	Au-35	Échantillon ponctuel	affleurement 4 x 1 m
6138	prélevé par FP, décrit par CE et PGL	631570	5358077	22/07/2014	Au-35	Échantillon ponctuel	affleurement 10 x 6 m
6139	prélevé par FP, décrit par CE et PGL	632220	5357649	23/07/2014	Au-35	Échantillon ponctuel	affleurement 3 x 3 m
6140	prélevé par FP, décrit par CE et PGL	632883	5356931	23/07/2014	Au-35	Échantillon ponctuel	affleurement
6141	prélevé par FP, décrit par CE et PGL	633107	5356699	23/07/2014	Au-35	Échantillon ponctuel	affleurement 20 x 10 m

Tableau 5.1 : Description des échantillons, Phase 1

ECH_#	geologue	UTM_E_NAD83zn1	UTM_N_NAD83zn1	Date	Type d'analyse	Type d'échantillon	Type de lieux
		7	7				
6142	prélevé par FP, décrit par CE et PGL	632507	5357051	23/07/2014	Au-35	Échantillon ponctuel	affleurement
6143	prélevé par FP, décrit par CE et PGL	631559	5358721	23/07/2014	Au-35	Échantillon ponctuel	Bloc
6144	CE	0	0	30/07/2014	Au-35	STD	
6145	CE	634538	5357340	30/07/2014	Au-35	Échantillon ponctuel	ancien décapage
6146	CE	634535	5357343	30/07/2014	Au-35	Échantillon ponctuel	ancien décapage
6147	CE	634535	5357336	30/07/2014	Au-35	Échantillon ponctuel	ancien décapage
6148	CE	634529	5357334	30/07/2014	Au-35	Échantillon ponctuel	ancien décapage
6149	CE	0	0	30/07/2014	Au-35	BLK	
6150	CE	634526	5357332	30/07/2014	Au-35	Échantillon ponctuel	ancien décapage

Tableau 5.1 : Description des échantillons, Phase 1

ECH_#	Couleur	Lithologie	Magnetisme	Texture	Mineralogie
2520	gris moyen à verdâtre	I1 ?	non Mag	fine, 15-20% phénocristaux Fp localement et phénocristaux de Qz	
2521	gris moyen à verdâtre	I1 ?	non Mag	fine, 15-20% phénocristaux Fp localement et phénocristaux de Qz	
2522	gris sombre à vert foncé	I3A?	Mag ++	fine	
2523	verte foncée	I3A?	Mag ++	microgrenue	
2524	gris moyen à tendance verdâtre	I3A?	Mag ++	texture fine mais hétérogène (poches de Qz)	
2525	beige à rosée	I1B	Mag -	grenue	90% Qz-Fp, 10% minéraux sombres type Am
2526		I1B	non Mag	grenue	
2527		I1B	non Mag	grenue	
2528		I1B	non Mag	grenue	
2529		I1B	non Mag, Mag - localement	grenue	
2530	blanc verdâtre	I1B?	non Mag	grenue	5-10% minéraux sombre ?
2531		I1B	non Mag	grenue	
2533		I1B	non Mag	grenue	
2534		I1B	non Mag	grenue	
2535	beige rosée	I1B	non Mag	grenue	
2536	gris verte	T2?	Mag-	fragments cm à 15-20% amygdules Qz et bordure diffuse	
2537	blanc	VN Qz-Py	non Mag	texture grossière	
2538	blanc-gris	VN Qz + épontes	non Mag	texture grenue de I1B, grossière de la VN	
2539		I1B	non Mag	grenue	30-40% minéraux mafiques, 60-70% minéraux felsiques
2540	vert sombre	I2J	non Mag	grenue	70% minéraux mafiques, 30% minéraux felsiques
2541	beige rosée	I1B	non Mag	grenue	
2543	beige rosée	I1B	non Mag	grenue	
2554	gris-vert foncé	I3		grains grossiers	FP, Bo
2555	rose	I2B		grains grossiers	FP, AM
2556	gris-vert	I1		porphyrique à FP et QZ	FP, QZ
2557	gris-rose	I1B		grains grossiers	QZ, FP, CL
2558	gris-rose	I1B		grains moyens à grossiers	FP

Tableau 5.1 : Description des échantillons, Phase 1

ECH_#	Couleur	Lithologie	Magnetisme	Texture	Mineralogie
2559	gris-rose	I1B		grains grossiers	
2560	gris-rose	I1B		grains grossiers	
2561	rose	I2B		grains grossiers	
2562	rose	I2D		porphyrique à FK	FK ~1 cm
2563	rose	I2B		grains grossiers	FK ~5 mm (70%), mafique 1 à 3 mm (30%)
2564	rose	I2B?		grains grossiers	FK 5 à 10 mm (90%), mafique 1 à 3 mm (10%)
2565	rose	I2B		grains grossiers	FK ~10 mm (75%), mafique 1 à 3 mm (25%)
2566	rose	I2B		grains grossiers	FK ~5 mm (60%), mafiques 2 à 5 mm (40%)
2567	rose	I2B?		grains grossiers	PX 3 à 8 mm (70%), FK 3 à 5 mm (30%)
2568	rose	I2B		grains moyens à grossiers	FK 1 à 3 mm (50%), BO <1 à 2 mm (35%), mafique 1 à 2 mm (15%)
2569	gris	I2J		porphyrique à AB	AB? ~1 mm (50%), BO <1 mm (50%)
2570	rose	I2B		grains grossiers	FK ~5 mm (90%), mafique 1 à 2 mm (10%)
2571	rose	I2B		grains grossiers	FK ~5 mm (80%), mafiques 1 à 2 mm (20%)
2572	rose	I1B		grains grossiers	FK ~5 mm (65%), QZ ~5 mm (20%), mafique ~3 mm (15%)
3071	rose-rouge	I1B		grains grossiers	
3072	blanche	VN QZ-EP-CL		grains grossiers	
3073	gris-rose	VN QZ-EP		grains moyens	
3074	gris-rose	I1B		grains grossiers	
3075	gris-vert	I1B		grains grossiers	
3120	rose et blanc	VN QZ-CB		grains grossiers	FP, AM
3121	gris-vert foncé et blanc	I3		grains grossiers	FP, Bo
3122	gris pâle et vert	VN QZ-EP		grains grossiers	
3123	gris-rose	I1B		grains grossiers	
3125	blanc	VN QZ-CL		grains grossiers	
3126	gris-vert	I1B		grains grossiers	
3127	gris-rose	I1B		grains grossiers	
3128	blanc-vert	VN QZ-CL		grains grossiers	
3129	blanc et vert	VN QZ-EP		grains grossiers	

Tableau 5.1 : Description des échantillons, Phase 1

ECH_#	Couleur	Lithologie	Magnetisme	Texture	Mineralogie
3189	blanc et vert	VN QZ-EP-CB		grains moyens à grossiers	
3190	blanc et gris-rose	VN QZ-EP-CB		grains grossiers	
3192	blanc et gris-rose	VN QZ-CL		grains grossiers	
3193	blanc et vert	VN QZ-EP		grains grossiers	
3194	gris pâle	VN QZ		grains grossiers	
3195	gris-rose	I1B		grains grossiers	
6001	gris sombre	V2J	Mag +	fine	
6002	gris sombre à vert clair	V2J ?	non Mag	fine, 2% amygdules Qz	
6003	gris sombre	V2J ?	non Mag	fine, 5% amygdules coalescentes ? Qz-Cb- minéral fibroradié vert	
6004	gris sombre à tendance	V2J ?	non Mag	fine	
6005	aspect rouillé en surface, gris sombre en cassure	V2J	Mag++	fine	
6006	blanc gris	VN Qz-Cb	non Mag	moyenne à grossière, hétérogène	
6007	aspect rouillé en surface, gris sombre à vert clair en cassure	V2J ?	non Mag	bréchiq (tecto ?) à fragments mm	
6008	aspect rouillé en surface, gris sombre en cassure	V2J	Mag -	fine, 5% amygdules Qz allongées	
6009		I2J	Mag +	grenue, 60% mafiques, 40% Pg	
6010		I1B ?	Mag +	grenue	35% Qz, 5% minéraux noirs (Am?), 40% Fp
6011	vert sombre	I3 ?	Mag +	fine / aphanitique	
6012	blanc grisâtre	VN Qz	non Mag	moyenne à grossière	
6013	gris sombre à noir	I2J ?	Mag ++	grenue à fine	
6014	gris vert	V2J	non Mag	fine à 5% amygdules Cl-Ep-Qz	
6015	gris vert	V2J	Mag -	fine, 10% amygdules Qz-Ep mm à cm	
6016	gris sombre à verdâtre	V2J ?	Mag +	fine	
6017	gris moyen à verdâtre	V2J	non Mag	fine à moyenne à 5-10% phénocristaux Fp sub- mm, 3% amygdules Qz	
6018	gris clair à verdâtre	V2J	non Mag	10% amygdules allongées Qz-Cl-, 1-3% cristaux, pseudomorphe ? Cl <mm	
6019	gris sombre	V2J	non Mag à Mag + localement	fine	
6021	gris verdâtre	I2J	Mag -	grenue	60% mafiques, 40% Pg
6022	gris verdâtre	I3A	non Mag	grenue	70% mafiques, 30% Pg

Tableau 5.1 : Description des échantillons, Phase 1

ECH_#	Couleur	Lithologie	Magnetisme	Texture	Mineralogie
6023	aspect rouillée en surface, gris moyen à gris sombre en cassure	V2J	non Mag	fine	
6025	gris sombre à verdâtre	V2J	Mag -	fine	
6026	gris vert à blanc	V2J ?	Mag +	bréchique	
6027	vert sombre à gris sombre	I2J ? V2J ?	non Mag	finement grenue	
6028	gris sombre	V2J	Mag +	fine, 5% amygdules Qz-Ep	
6029	gris moyen à vert clair	V2J	Mag -	fine	
6030	semble rouillé en surface, gris vert en cassure	V2J ? I2 ? T2 ?	Mag -	grenue ? bréchique ?	
6031	vert, blanc	VN Qz-CI	non Mag	grossière, hétérogène	
6032	vert, blanc-gris	I1B ?	non Mag	grenue	
6033	gris clair, vert pâle	I1B ?	non Mag	grenue	
6034	gris à tendance verdâtre	I2J	non Mag	grenue	
6035	blanc	VN Qz dans I1B	non Mag	grossière	
6036	gris, beige	I1B	non Mag	grenue	
6037	gris sombre à verdâtre	V2J	Mag +	fine	
6051	rosée	I1B	non Mag	grenue	50% Qz, 45% Fp, 5% Ep/Cl
6052	blanc rosée	I1I	non Mag	grenue	90% Qz, 10% Fp
6053	blanc rosé	I1B	non Mag	grenue	50% Qz, 45% Fp, 5% mafiques
6054	VN de Qz blanc, I1B rosé	VN Qz-CI dans I1B	non Mag	grossière de la VN, Qz laiteux. I1B grenu	
6055	VN Qz blanc	VN Qz-CI dans I1B	non Mag	grossière de la VN, Qz laiteux. I1B grenu	
6056	gris sombre à verdâtre	V2J ?	non Mag	fine à 10% phénocristaux sub-mm Fp	
6101	gris vert	V2J	non Mag	fine	
6102	gris vert foncée	V2J	Mag - à +	fine	
6103	gris vert foncée	V2J	Mag +	fine	
6104	gris vert foncée	V2J	Mag -	fine à phénocristaux Fp <1mm	
6105	gris vert	I2D	non Mag	porphyrique, 30% phénocristaux mm Qz-Fp-minéraux mafiques CL+	
6106	couleur rosée des phénocristaux, gris vert de la matrice	I2D	Mag +	30% Fk mm à cm, 3-5% Am	

Tableau 5.1 : Description des échantillons, Phase 1

ECH_#	Couleur	Lithologie	Magnetisme	Texture	Mineralogie
6107	gris sombre à tendance verdâtre	V2J? Ou I2?	non Mag	fine	
6108	gris sombre à tendance verdâtre	V2J? Ou I2 ?	Mag+	fine, grenue locale	
6109	vert sombre	V2J ?	Mag -	fine	
6110	gris sombre à tendance verdâtre	V2J ?	Mag +	fine, localement phénocristaux mm FP	
6111	rosé, vert clair	I2D	Mag +	30-70% FK mm à cm dans matrice sombre	
6112	gris sombre	I2 ?	Mag +	20-30% phénocristaux FP mm, Cl dans la matrice ?	
6113	gris sombre	I2J	Mag ++	grenue	
6114	gris sombre à tendance verdâtre, localement gris pâle	I2D ? V2J ?	non Mag	porphyrique, <10% phénocristaux Fp mm	
6115	gris sombre à verdâtre	I2D ? V2J ?	Mag +	20-30% phénocristaux Fp mm	
6116	gris moyen	I2D ?	Mag +	5-10% phénocristaux FP	
6117	gris moyen à tendance verdâtre	I2J ? V2J ?	Mag +	fin à moyen, texture poikilithique à cœur mafique et périphérie feldspathique	
6118	gris sombre	I2J ? V2J ?	Mag -	fine,	
6119	gris vert	I2J ?	Mag + à ++	grenue	
6121	noir à verdâtre	Dyke lamprophyre ou pipe d'altération ?	non Mag	grenue	70% Bo, 30% Px, Am, rares Fp
6122	rosé et vert	I2D	non Mag	grenue, 70% phénocristaux FK mm à cm, 30% Px-Am	
6124	rosé, vert	I2D	non Mag	60% FK, 40% Px- Am-Bo	
6125	rose et vert foncé	I2D/(Dyke de lamprophyre ou pipe d'altération)	Mag + à ++	grenue	Dyke lamprophyre ou pipe d'altération à 5% Fp, 95% Bo-Am-Px et I2D à 95% FK et 5% minéraux Cl
6126	noir à verdâtre	Dyke lamprophyre ou pipe d'altération ?	Mag +	grenue	50% Bo, 40% Px-Am, 10% Fp
6127	gris sombre à noir	I2J ?	non mag à Mag -	grenue	80% Am-Px, 20% Fp type PL

Tableau 5.1 : Description des échantillons, Phase 1

ECH_#	Couleur	Lithologie	Magnetisme	Texture	Mineralogie
6128	gris verdâtre	V2J ?	Mag +	fine à phénocristaux Fp	
6129	gris sombre, rosée	I2D ?	Mag +	fine à moyennement grenue à phénocristaux	en moyenne 50% phénocristaux Fk mm
6130	gris moyen verdâtre et rosée	I2D	Mag -	grenue à 60% phénocristaux Fk	
6131	gris sombre à verdâtre	V2J	non Mag	fine	
6132	gris vert localement brun	V2J ?	Mag -	aphanitique, hétérogène	
6133	gris sombre	V2J ?	Mag ++	fine	
6134	vert sombre, aspect rouillé en surface	I2J	Mag ++, magnétite visible	finement grenue	70% minéraux mafiques, 30% Fp
6135	vert sombre	I2J	Mag ++	grenue	60% minéraux Px-Am, 40% Fp
6136	vert sombre	I2J	Mag ++	grenue	60% minéraux Px-Am, 40% Fp
6137	I2J vert sombre, I2D rosée	I2D/I2J	I2J Mag ++, I2D non Mag	grenue	I2D à 95% Fk, 5% mafique, I2J à 60% mafiques et 40% Fp
6138	gris sombre verdâtre	V2J	Mag -	finement grenue	3% amygdules de quartz
6139	I1B rose, I3A vert	I1I/I3A	I1I non Mag, I3A Mag ++	grenue	I1I 80% Qz, 20% Fk, I3A à 60%Px-Am 40% Fp
6140	gris sombre	V2J	Mag +	aphanitique, 1% amygdules Qz	
6141	blanc rosé	I1B	Mag +	grenue	55% Qz, 25%Fp, 20% mafiques
6142	gris sombre	V2J ?	Mag +	fine, 5% phénocristaux Fp type Pg	
6143	gris sombre	V2J	non Mag	fine, 5% phénocristaux Fp type Pg, 3-5% amygdules	
6145	blanche	VN Qz	Mag- localement	texture hétérogène, grossière	
6146	couleur beige de I1B, couleur verte de I2	éponte sud de I2/I1B	non Mag	texture grenue de I1B, texture aphanitique de I2	
6147	blanche à gris moyen, Qz translucide	VN Qz	Mag- localement	texture hétérogène, grossière	
6148	blanche	VN Qz	non Mag	texture hétérogène, grossière	
6150	verte	I2	non Mag	fine	

Tableau 5.1 : Description des échantillons, Phase 1

ECH_#	Alteration	Mineralisation	Veines
2520	EP-, HM- tâcheté ou associée aux VN	tr Py fine disséminée	<1% VN Qz
2522	SI++, CL++, HM- localement	2% Py moyenne dans les VN et disséminée dans l'encaissant	5% VN Qz±Cb±Cl discontinues
2523	CL+ à ++, EP- et HM- associées aux VN	1% Py fine en VN	1-5% VN Qz-Py±Cb
2524	CL+, EP-, HM-	1-3% Py moyenne à grossière associée aux poches de Qz ou en amas massifs cm	
2526	∅	∅	VN et poche de Qz±Cl
2527	HM-, EP-, CL- associée aux VN	∅	VN Qz
2528	∅	∅	VN Qz
2529	EP++, SI++, CL+, HM- à +	∅	poche de Qz
2530	SI++, CL+, HM-, EP-	∅	1% VN Qz et poche de Qz
2531	SI+, EP-, HM-, CL-	∅	∅
2533	HM-, EP- localement	∅	VN Qz
2534	∅	∅	VN Qz irrégulière 5-10 cm d'épaisseur
2535	EP+ localement en patch et HM-	∅	VN Qz
2536	SI-, CL-	3% Po moyenne associée aux amygdules	∅
2537	SI++ de l'encaissant	3% Py fine à moyenne automorphe	VN Qz et 10-15% VN Qz dans toutes les orientations
2538	SI++ de l'encaissant	2-3% Py fine à moyenne automorphe	VN-Qz-Cb-Cl
2539	CL-, HM-, SI-??	∅	∅
2540	CL-	tr Py	<1% VN Qz-Cb
2541	tâches mm à cm EP+, HM+ localement. SI+?	∅	∅
2543	tacheté EP-, HM-	tr Py	VN Qz discontinue
2554	CL-		
2555	CL-		
2556	CL-		
2557	CL+		
2560	CL-		
3071	HM+, CL+	tr PY disséminée	
3072			VN de QZ-EP-CL de forme irrégulière et discontinues
3073	SI+		VN de QZ-EP 2 à 3 cm de forme irrégulière et discontinues
3074	CL-		VN de QZ-CL ~1 cm orientées 280°/abrupte
3075	SI++, CL+	tr PY disséminée	
3120	CL+		VN de CL ~1 mm

Tableau 5.1 : Description des échantillons, Phase 1

ECH_#	Alteration	Mineralisation	Veines
3121	CL+	tr GI à l'intérieur de VN QZ-CL-CB	VN de QZ-CL-CB 3 à 7 cm orientée 260°/faible à modéré
3122			VN de QZ-EP de forme et d'orientation irrégulière
3123	CL-, EP-		VN de QZ ~1 cm orientée 136°/subVNrtical
3125		5% PY moyennement grenue distribuée le long d'horizons fumés dans VN QZ-CL	VN de QZ-CL orientée 043°/modéré
3126	CL+, SR+		VN de QZ 1 à 2 cm démembrées par le cisaillement
3127	CL-		VN de QZ-CB 5 à 10 mm orientée 030°/subVNrtical
3128			VN QZ-CL ~10 cm orientée 220°/70°
3129			VN QZ-EP ~10 cm orientée 090°/faible
3189			VN de QZ-EP-CB 5 à 10 cm de forme irrégulière
3190			VN de QZ-EP 3 à 4 cm orientée 310°/abrupte
3192			VN de QZ-CL 1 à 2 cm orientée 260°/abrupte
3193			VN de QZ-EP de forme et d'orientation irrégulière
3194	SI++	3% PY cubique à l'intérieur et dans les épontes de VN QZ	VN de QZ de forme et d'orientation irrégulière
3195	CL-		VN de QZ ~1 cm 350°/abrupte
6001	SI- ?	2-3% Py fine disséminée	∅
6002	EP+ à ++	1% Py fine disséminée	10% VN Qz-Cb
6003	CL-	tr Py associées aux amygdules	∅
6004	CL-	1% Py en amas	∅
6005	CL-	1% Py en VN	2% VN Qz-Cb
6006		2% Py moyenne disséminée	VN Ep dans VN Qz-Cb. VN semble assimiler l'encaissant
6007	EP++, CL+	2% Py moyenne disséminée	1% VN Qz discontinues
6008	CL-	tr Py fine à moyenne dans VN	<1% VN Qz-Cl subparallèles à la foliation
6009	CL-	tr Py moyenne	∅
6010	CL+, CB+	1% Py moyenne associée à la Cl	1% VN Qz-Cb-Cl
6011	CL+	tr-1% Py fine disséminée et associée aux VN	<1% fines VN Qz
6012		∅	VN Qz légèrement fumé et relativement translucide
6013	EP+ localement	2% Py fine disséminée en en amas	∅

Tableau 5.1 : Description des échantillons, Phase 1

ECH_#	Alteration	Mineralisation	Veines
6014	EP+, CL+	tr Py moyenne disséminée ou associ.e aux amygdules	VN Cl sub-mm
6015	CL+	1% Py moyenne disséminée et en amas	<1% VN Qz discontinues concordantes à la foliation
6016	CL+	tr Py fine disséminée	<1% VN Qz
6017	Cl-	tr-1% Py moyenne dans les VN	1% VN Qz-Cb
6018	CL-, Si+ localement	tr-1% Py moyenne en amas	<1% VN discontinues Cl discordantes
6019	EP+ à ++, CL+	tr py moyenne	Poches Qz-Ep-Cl-micas
6021	CL-	tr Py	∅
6022	CL+	tr Py	<1% VN Qz-Cb
6023	CL+, Si+ localement, EP+	20% Py fine disséminée et en amas	∅
6025	CL+	1% Py moyenne disséminée	∅
6026	Si++, CL+, CB+	tr-1% Py moyenne disséminée, tr Mc ?	stockwerk de Qz (35%)
6027	CL-	∅	∅
6028	EP-, CL-	∅	<1% VN Qz
6029	EP+, Si+, CB+, CL-	tr Py moyenne dans VN	10% VN Qz-Cb-Ep
6030	CL+	1-2% Py-Po moyenne disséminée	<1% VN Qz-Cb discontinue
6031	CL+	2-3% Py moyenne automorphe dans VN	VN Qz-Cl
6032	Si++, CL+	tr Py moyenne	VN discontinue Qz-Cb
6033	CL+, Si+	1% Py moyenne disséminée ou en amas	VN discontinue Qz-Cb
6034	CL-	tr-1% Py moyenne disséminée	<1% VN Qz-Cb
6035	EP+ local	∅	VN/poche Qz 50 cm de longueur x 10 cm de largeur
6036	CL-	1% Py moyenne disséminée et en amas	∅
6037	CL+	tr Py moyenne	<1% VN Qz-Cb
6051	Ep-, Cl-	∅	<1% VN Qz
6052	Ep- en patch	∅	∅
6053	Cl-	∅	∅
6054	CL-	∅	VN Qz-Cl
6055	CL-	∅	VN Qz-Cl
6056	CL-	tr Py dans les fractures	VN Qz
6101	CL+	1% Py disséminée	<1% VN Cl
6102	CL+	tr Py	<1% VN Qz-Cb mm
6103	CL+	tr Py	<1% VN Qz-Cb
6104	CL+	1% Py disséminée et dans les fractures	∅

Tableau 5.1 : Description des échantillons, Phase 1

ECH_#	Alteration	Mineralisation	Veines
6105	CL+, EP-	∅	∅
6106	CL+, EP-	tr Py moyenne en amas très localement	∅
6107	CL+	1-2% Py fine associée aux VN et disséminée	<1% VN Qz
6108	CL+, SI-, HM-?	4-5% Py fine à moyenne en amas et disséminée	∅
6109	CL+	tr-1% Py moyenne disséminé et tr Py dans la VN	VN Qz-Cb-Hm15%
6110	CL+	2% Py fine disséminée	∅
6111	EP+, CL+	tr Py fine à moyenne disséminée	<1% VN Qz-Cb
6112	CL-, SI-?	2% Py moyenne disséminée	<1% VN Qz-Cb
6113	CL-, Ep+ dans VN, CB- en cristaux automorphes	3% Py moyenne disséminée et dans VN Qz-Ep	VN Qz-Ep
6114	EP+, SI+ local	∅	poche Qz-Cb-Ep et fines VN Qz
6115	EP+, CL+	2-3% Py associées aux VN Qz	<1% VN Qz
6116	CL-, EP-	5% Py moyenne en amas ou dans des VN Qz	<1% VN Qz mm
6117	CL+	tr Py	<1% VN Qz-Cb
6118	CL+, EP+ locale	3% Py fine à moyenne disséminée	VN ou poche Ep-Qz aVNc Mg-Am aux épontes
6119	EP++, CL+	tr-1% Py moyenne dans les plans de fracture	2% VN Cb±Cl
6121	CL-	∅	<1% VN ?-Cl
6122	CL+		∅
6124	CL+	∅	∅
6125	CL+	tr Py moyenne	∅
6126	Cl-	∅	1% VN Qz-Cb
6127	CL-, EP+ des VN	1% Py fine à moyenne associée aux VN	1-2% VN Qz
6128	EP+ associée aux VN, CL-	tr Py associée aux VN	2-3% VN Qz-Cl
6129	CB++, CL+	tr Cp	∅
6130	CL+	2% Py fine disséminée et en remplissage de fractures	2% fines VN Qz
6131	CL+	1% Py fine disséminée	∅
6132	SI+, CL+	tr Py, Cp associés aux VN	1% VN Qz-Cb
6133	CL-, EP-	tr Cp dans les fractures	<1% fines VN Qz
6134	Cl+	3-4% Py fine disséminée et associée aux fractures	<1% fines VN Qz
6135	CL+	5% Py moyenne disséminée	∅
6136	CL+, EP-	tr Py moyenne	<1% VN Qz
6137	CL+, EP-	∅	<1% VN Qz

Tableau 5.1 : Description des échantillons, Phase 1

ECH_#	Alteration	Mineralisation	Veines
6138	CL-	5% Py en VNinules, disséminée et associée aux amygdules	∅
6139	EP++, CL++	tr Cp dans I1B	∅
6140	CL-, Ep- associée aux amygdules	tr Py associée aux amygdules et VN	<1% VN Qz
6141	HM-, CL-	∅	∅
6142	CL-	tr Py moyenne disséminée et associée aux VN, tr Py fine dans les VN	<1% VN Qz
6143	CL+	1% Py fine disséminée et associée aux VN et amygdules	<1% VN Qz
6145	HM-, CL-	2% Py grossière disséminée et en amas dans la VNine	VN Qz-Py boudinée
6146	CL+	fine dans I1B, 1% Py moyenne automorphe disséminée da	∅
6147	CB-, CL- localement	3% Py moyenne disséminée et Py fine en amas	VN Qz discontinue
6148	CL- à +	tr Py	VN de Qz discontinue
6150	CB++, CL++	∅	∅

Tableau 5.1 : Description des échantillons, Phase 1

ECH_#	Structure	Commentaires
2522	VN (20/70)	orientation incertaine des veinules
2523	VN 000 060 330	orientation variable des VN mais il semble y avoir 3 orientations principales
2525	∅	contact avec Dyke I3? N070
2526	VN (100)	
2527	VN (93)	
2528	VN (70)	
2529	∅	texture semble oblitérée par la silicification
2530		texture semble oblitérée par la silicification
2531	fracturation faible (184/58)	
2532		OREAS 10c
2535	VN (270)	
2536	∅	Tuf à lapilli intermédiaire
2537	difficile à observer	
2538	difficile à observer	
2541	faiblement fracturée (320/55)	
2542		BLK
2543	Vn (320)	
2556	Contact lintrusif I1B, I1 (247/79)	Le dyke de I1 recoupe le I1B
2562	∅	dyke de I2D recoupant le V2J/I2J orienté 023°/subvertical
2563	foliation moyenne	
2564	foliation moyenne	dyke de I2B recoupant du V2J/I2J orienté 160°/subvertical
2565	foliation faible	
2567	foliation faible	
2568	foliation moyenne (210/modéré)	
2569	foliation moyenne (170/sv)	
3072		Encaissée dans I1B
3073		Encaissée dans I1B
3120		Encaissée dans du I2B
3121	Contact intrusif I2B/I3 (195/abrupte)	Le dyke I3 recoupe le I2B, Un dyke I2 recoupe le dyke I3 et la VN de QZ-CL-CB recoupe I2, I3 et I2B
3122		Encaissée dans I1B

Tableau 5.1 : Description des échantillons, Phase 1

ECH_#	Structure	Commentaires
3124		BLK
3125		Encaissée dans I1B
3126	Fortement cisailé (277/modéré à abrupte)	
3128	Moyennement cisailé (168/sv)	Présence de beaucoup de veines subparallèles de nature identique à celle décrite présentes sur le même affleurement, de 1 à 30 cm, souvent anastomosées ou démembrées par le cisaillement, tous encaissée dans I1B
3129		Encaissée dans I1B
3189		Encaissée dans I1B
3190		Encaissée dans I1B
3191		OREAS 10c
3192		Encaissée dans I1B
3193		Encaissée dans I1B
3194		Encaissée dans I1B
6003	foliation faible	
6005	non observable	Anomalie Beep Mat HFR[1373]
6007	Schistosité moyenne à forte	
6008	allongement faible des amygdules	
6010	foliation faible	
6012		encaissant I1B rose grenu
6013	schistosité moyenne	Anomalie Beep mat
6014	foliation faible, amygdules allongées	
6015	foliation faible	
6016	non observable	
6017	foliation faible	
6018	foliation faible	
6019	foliation faible	
6020		OREAS 201
6023	∅	Anomalie beep Mat HFR[1594]
6024		BLK
6025	∅	Anomalie Beep Mat [2149]
6026		Anomalie beep mat faible
6031		semble assimiler l'encaissant
6032	foliation modérée (0)	VN ? Mesure approximative

Tableau 5.1 : Description des échantillons, Phase 1

ECH_#	Structure	Commentaires
6033	foliation modérée	suite de 6032
6035	Vn (270)	mesure approximative
6037	schistosité moyenne	
6109	Schistosé faible ?	
6110	non observable	
6111	non observable	
6112	non observable	Anomalie Beep Mat ?
6113	légère foliation	Anomalie Beep Mat ?
6114	non observable	
6115	non observable	
6116	non observable	
6117	non observable	
6119	non observable	
6120		BLK
6121		foliation faible
6122		foliation faible ?
6123		OREAS 15d
6125	Contact ? I2D/(Dyke de lamprophyre ou pipe d'altération)	
6126	foliation faible	
6128	non observable	
6132	non observable	
6137	Contact I2J/I2D	
6139	Contact I1I/I3A	
6142	foliation faible	
6143	foliation faible	
6144		OREAS 15d
6145		épointe nord de I2
6146	Dyke (256)	épointe sud de I2/I1B
6148		Vn Qz dans I1B grenu
6149		BLK

Tableau 5.2 : Description des échantillons, Phase 2

ECH_#	geologue	UTM_E_NAD83z n17	UTM_N_NAD83z n17	Date	Type d'analyse	Type d'échantillon	Type de lieux
2573	PGL	633171	5347442	14/08/2014	Lithogéochimie	Échantillon ponctuel	affleurement, colline
3132	PGL	633519	5347427	14/08/2014	Au-35	Échantillon ponctuel	bloc anguleux 1 m x 1 m x 60 cm
3133	PGL	633832	5347444	14/08/2014	Au-35	Échantillon ponctuel	affleurement, butte
3134	PGL	633576	5347476	14/08/2014	Au-35	Échantillon ponctuel	décapage 5 m x 5 m en forme de L
3135	PGL	633576	5347476	14/08/2014	Au-35	Échantillon ponctuel	décapage 5 m x 5 m en forme de L
3136	PGL	633045	5347517	14/08/2014	Au-35	Échantillon ponctuel	affleurement, colline
3137	PGL	633078	5347502	14/08/2014	Au-35	Échantillon ponctuel	affleurement, colline
3138	PGL	633236	5347554	14/08/2014	Au-35	Échantillon ponctuel	bloc subanguleux 1 m x 3 m x 3 m
3139	PGL	633268	5347596	14/08/2014	Au-35	Échantillon ponctuel	affleurement, sous la mousse
3140	PGL	633305	5347697	18/08/2014	Au-35	Échantillon ponctuel	bloc arrondi 3 m x 3 m
3141	PGL	633270	5347669	18/08/2014	Au-35	Échantillon ponctuel	décapage 15 m x 10 m
3142	PGL	633281	5347675	18/08/2014	Au-35	Échantillon ponctuel	décapage 15 m x 10 m
3143	PGL	0	0	18/08/2014	Au-35	STD	
3144	PGL	633203	5347720	18/08/2014	Au-35	Échantillon ponctuel	décapage 20 m x 10 m noyé en son centre
3145	PGL	633201	5347720	18/08/2014	Au-35	Échantillon ponctuel	décapage 20 m x 10 m noyé en son centre
3146	PGL	633142	5347805	18/08/2014	Au-35	Échantillon ponctuel	décapage 30 m x 15 m
3147	PGL	0	0	18/08/2014	Au-35	BLK	
3148	PGL	633231	5347806	18/08/2014	Au-35	Échantillon ponctuel	affleurement, butte
3149	PGL	633333	5347805	18/08/2014	Au-35	Échantillon ponctuel	affleurement, butte
3150	PGL	633481	5347790	18/08/2014	Au-35	Échantillon ponctuel	décapage 150 m x 500 cm, bloc anguleux 150 cm x 200 cm
3334	PGL	633320	5347669	15/09/2014	Au-35	Échantillon ponctuel	affleurement, sous la mousse
3335	PGL	0	0	15/09/2014	Au-35	STD	
3336	PGL	633315	5347668	15/09/2014	Au-35	Échantillon ponctuel	affleurement, butte
3337	PGL	633433	5347648	15/09/2014	Au-35	Échantillon ponctuel	affleurement, butte
3338	PGL	633455	5347663	15/09/2014	Au-35	Échantillon ponctuel	bloc arrondi 80 cm x 60 cm x 40 cm
3339	PGL	633537	5347641	15/09/2014	Au-35	Échantillon ponctuel	affleurement, butte
3340	PGL	633537	5347643	15/09/2014	Au-35	Échantillon ponctuel	affleurement, butte
3341	PGL	0	0	15/09/2014	Au-35	BLK	
3342	PGL	633808	5347641	15/09/2014	Au-35	Échantillon ponctuel	affleurement, butte
3343	PGL	633579	5347764	15/09/2014	Au-35	Échantillon ponctuel	bloc 100 cm x 50 cm x 50 cm dans une tranchée 2 m x 8 m

Tableau 5.2 : Description des échantillons, Phase 2

ECH_#	geologue	UTM_E_NAD83z n17	UTM_N_NAD83z n17	Date	Type d'analyse	Type d'échantillon	Type de lieux
3344	PGL	633274	5347745	15/09/2014	Au-35	Échantillon ponctuel	affleurement, butte
3345	PGL	633299	5347748	15/09/2014	Au-35	Échantillon ponctuel	bloc 50 cm x 50 cm x 50 cm
3346	PGL	633063	5347757	15/09/2014	Au-35	Échantillon ponctuel	affleurement, colline
3347	PGL	633048	5347748	15/09/2014	Au-35	Échantillon ponctuel	bloc subanguleux 50 cm x 40 cm x 30 cm, dans une tranchée 20 m x 2 m
3348	PGL	632687	5347636	15/09/2014	Au-35	Échantillon ponctuel	bloc anguleux 80 cm x 60 cm x 60 cm
3349	PGL	633243	5347630	15/09/2014	Au-35	Échantillon ponctuel	affleurement, sous la mousse
3350	PGL	633310	5347665	15/09/2014	Au-35	Échantillon ponctuel	affleurement, sous la mousse
6046	GJH	633712	5347510		Au-35	Échantillon ponctuel	
6047	GJH	633140	5347611		Au-35	Échantillon ponctuel	
6237	CE	633154	5347998	18/08/2014	Au-35	Échantillon ponctuel	bloc sub en place colline
6238	CE	633068	5348011	18/08/2014	Au-35	Échantillon ponctuel	bloc anguleux
6239	CE	633047	5348011	18/08/2014	Au-35	Échantillon ponctuel	affleurement bois, bordure colline
6240	CE	632957	5347983	18/08/2014	Au-35	Échantillon ponctuel	affleurement bordure colline
6241	CE	632895	5347977	18/08/2014	Au-35	Échantillon ponctuel	bloc anguleux
6242	CE	632770	5348045	18/08/2014	Au-35	Échantillon ponctuel	affleurement haut colline
6243	CE	632678	5347997	18/08/2014	Lithogéochimie	Échantillon ponctuel	affleurement colline
6244	CE	632716	5347971	18/08/2014	Au-35	Échantillon ponctuel	affleurement colline
6245	CE	632658	5348001	18/08/2014	Au-35	Échantillon ponctuel	affleurement bord colline
6246	CE	632669	5347965	18/08/2014	Au-35	Échantillon ponctuel	affleurement colline
6247	CE	632946	5347709	18/08/2014	Lithogéochimie	Échantillon ponctuel	affleurement colline
6248	CE	633196	5347719	18/08/2014	Au-35	Échantillon ponctuel	affleurement proche décapage
6249	CE	633192	5347715	18/08/2014	Au-35	Échantillon ponctuel	affleurement proche décapage
6250	CE	633323	5347653	18/08/2014	Au-35	Échantillon ponctuel	affleurement bois
6312	CE	633307	5347661	18/08/2014	Au-35	Échantillon ponctuel	affleurement bois
6313	CE	0	0	19/08/2014	Au-35	BLK	
6314	CE	633844	5347971	19/08/2014	Au-35	Échantillon ponctuel	Bloc anguleux
6315	CE	633308	5347899	19/08/2014	Au-35	Échantillon ponctuel	bloc bucher subarrondi
6316	CE	633113	5347907	19/08/2014	Au-35	Échantillon ponctuel	affleurement bois
6317	CE	633000	5347888	19/08/2014	Au-35	Échantillon ponctuel	affleurement bordure colline
6318	CE	632904	5347864	19/08/2014	Au-35	Échantillon ponctuel	affleurement colline
6319	CE	632684	5347905	19/08/2014	Au-35	Échantillon ponctuel	affleurement colline

Tableau 5.2 : Description des échantillons, Phase 2

ECH_#	geologue	UTM_E_NAD83z n17	UTM_N_NAD83z n17	Date	Type d'analyse	Type d'échantillon	Type de lieux
6320	CE	632802	5348311	19/08/2014	Au-35	Échantillon ponctuel	bloc subanguleux
6321	CE	633055	5348268	19/08/2014	Au-35	Échantillon ponctuel	bloc subarrondi
6322	CE	0	0	19/08/2014	Au-35	STD	
6323	CE	633362	5348291	19/08/2014	Au-35	Échantillon ponctuel	affleurement trail hiver
6324	CE	633361	5348295	19/08/2014	Au-35	Échantillon ponctuel	bloc subanguleux trail hiver
6325	CE	632835	5348434	20/08/2014	Au-35	Échantillon ponctuel	affleurement bois
6326	CE	632827	5348442	20/08/2014	Au-35	Échantillon ponctuel	affleurement bois
6327	CE	632768	5348417	20/08/2014	Au-35	Échantillon ponctuel	bloc anguleux bois 30 x 30cm
6328	CE	632751	5348396	20/08/2014	Au-35	Échantillon ponctuel	affleurement bois
6329	CE	632652	5348424	20/08/2014	Au-35	Échantillon ponctuel	bloc subanguleux 50 x 50 cm
6330	CE	632607	5348457	20/08/2014	Au-35	Échantillon ponctuel	bloc subanguleux 1 x 1 m
6331	CE	632836	5348502	20/08/2014	Au-35	Échantillon ponctuel	bloc subanguleux 50 x 50 cm
6332	CE	632836	5348508	20/08/2014	Au-35	Échantillon ponctuel	bloc anguleux 50 x 50 cm
6333	CE	632863	5348581	20/08/2014	Au-35	Échantillon ponctuel	affleurement colline
6334	CE	632777	5348587	20/08/2014	Au-35	Échantillon ponctuel	affleurement bois
6335	CE	632685	5348544	20/08/2014	Au-35	Échantillon ponctuel	bloc subanguleux 2 x 1 m
6336	CE	633065	5348569	20/08/2014	Au-35	Échantillon ponctuel	affleurement bordure barrage
6337	CE	633080	5348599	20/08/2014	Au-35	Échantillon ponctuel	affleurement bordure barrage
6338	CE	633151	5349327	21/08/2014	Au-35	Échantillon ponctuel	affleurement bordure chemin
6339	CE	0	0	21/08/2014	Au-35	STD	
6340	CE	633174	5349357	21/08/2014	Au-35	Échantillon ponctuel	affleurement bordure chemin
6341	CE	632877	5349389	21/08/2014	Au-35	Échantillon ponctuel	affleurement colline
6342	CE	632784	5349291	21/08/2014	Au-35	Échantillon ponctuel	affleurement marécage 5 x 10 m
6343	CE	632763	5349120	21/08/2014	Lithogéochimie	Échantillon ponctuel	affleurement marécage
6344	CE	632789	5349070	21/08/2014	Au-35	Échantillon ponctuel	affleurement marécage
6345	CE	633157	5349185	21/08/2014	Au-35	Échantillon ponctuel	affleurement bois
6346	CE	0	0	21/08/2014	Au-35	BLK	
6347	CE	633184	5349257	21/08/2014	Au-35	Échantillon ponctuel	affleurement bois
6348	PGL	633212	5347956	18/09/2014	Au-35	Échantillon ponctuel	bloc subarrondi 50 cm x 40 cm x 30 cm
6349	PGL	633247	5347951	18/09/2014	Au-35	Échantillon ponctuel	bloc subanguleux 1,25 m x 0,75 m x 0,40 m
6350	PGL	633208	5347959	18/09/2014	Au-35	Échantillon ponctuel	bloc subanguleux 1 00 cm x 75 cm x 50 cm

Tableau 5.2 : Description des échantillons, Phase 2

ECH_#	geologue	UTM_E_NAD83z n17	UTM_N_NAD83z n17	Date	Type d'analyse	Type d'échantillon	Type de lieux
6351	PGL	633558	5347771	18/08/2014	Au-35	Échantillon ponctuel	décapage 15 m x 15 m avec fosse 5 m x 5 m
6352	PGL	633555	5347770	18/08/2014	Au-35	Échantillon ponctuel	décapage 15 m x 15 m avec fosse 5 m x 5 m
6353	PGL	633782	5347716	18/08/2014	Au-35	Échantillon ponctuel	affleurement, parois rocheuse, tranchée?
6354	PGL	633706	5347696	18/08/2014	Au-35	Échantillon ponctuel	affleurement, butte
6355	PGL	633595	5347701	18/08/2014	Au-35	Échantillon ponctuel	affleurement, colline
6356	PGL	633560	5347728	18/08/2014	Au-35	Échantillon ponctuel	affleurement, colline
6357	PGL	633406	5348086	19/08/2014	Au-35	Échantillon ponctuel	bloc anguleux 150 cm x 150 cm x 50 cm
6358	PGL	633838	5348288	19/08/2014	Au-35	Échantillon ponctuel	affleurement, colline
6359	PGL	633528	5348214	19/08/2014	Au-35	Échantillon ponctuel	bloc subarrondi 1 m x 2 m x 3 m
6360	PGL	632730	5348113	19/08/2014	Au-35	Échantillon ponctuel	affleurement, colline
6361	PGL	632712	5348111	19/08/2014	Au-35	Échantillon ponctuel	affleurement, colline
6362	PGL	632573	5348095	19/08/2014	Au-35	Échantillon ponctuel	affleurement, flanc de colline
6363	PGL	632465	5348086	19/08/2014	Au-35	Échantillon ponctuel	affleurement, butte
6364	PGL	632464	5348083	19/08/2014	Au-35	Échantillon ponctuel	affleurement, butte
6365	PGL	632561	5348174	19/08/2014	Au-35	Échantillon ponctuel	affleurement, butte
6366	PGL	632626	5348195	19/08/2014	Au-35	Échantillon ponctuel	affleurement, butte
6367	PGL	633406	5348086	19/08/2014	Au-35	Échantillon ponctuel	bloc arrondi 150 cm x 100 cm x 100 cm
6368	PGL	0	0	19/08/2014	Au-35	STD	
6369	PGL	633005	5348124	19/08/2014	Au-35	Échantillon ponctuel	affleurement, butte
6370	PGL	633616	5348300	20/08/2014	Au-35	Échantillon ponctuel	bloc subarrondi 1 m x 1 m x 50 cm
6371	PGL	633617	5348303	20/08/2014	Au-35	Échantillon ponctuel	bloc subanguleux 80 cm x 80 cm x 40 cm
6372	PGL	633648	5348346	20/08/2014	Au-35	Échantillon ponctuel	bloc subarrondi 30 cm x 30 cm x 30 cm
6373	PGL	633803	5348326	20/08/2014	Au-35	Échantillon ponctuel	affleurement, butte
6374	PGL	0	0	20/08/2014	Au-35	BLK	
6375	PGL	633710	5348384	20/08/2014	Au-35	Échantillon ponctuel	bloc subarrondi 50 cm x 50 cm x 50 cm
6376	PGL	633559	5348405	20/08/2014	Au-35	Échantillon ponctuel	bloc subarrondi 150 cm x 100 cm x 75 cm
6377	PGL	633110	5348385	20/08/2014	Au-35	Échantillon ponctuel	affleurement, sous la mousse
6378	PGL	633112	5348415	20/08/2014	Au-35	Échantillon ponctuel	affleurement, sous la mousse
6379	PGL	633114	5348416	20/08/2014	Au-35	Échantillon ponctuel	affleurement, sous la mousse
6380	PGL	633223	5348523	20/08/2014	Au-35	Échantillon ponctuel	bloc subanguleux 60 cm x 60 cm x 60 cm

Tableau 5.2 : Description des échantillons, Phase 2

ECH_#	geologue	UTM_E_NAD83z n17	UTM_N_NAD83z n17	Date	Type d'analyse	Type d'échantillon	Type de lieux
6381	PGL	633653	5348604	20/08/2014	Au-35	Échantillon ponctuel	bloc arrondi 2 m x 1 m x 1 m
6382	PGL	633247	5348716	20/08/2014	Au-35	Échantillon ponctuel	bloc anguleux 80 cm x 40 cm x 40 cm
6383	PGL	633265	5348765	21/08/2014	Au-35	Échantillon ponctuel	affleurement, butte
6384	PGL	633248	5348780	21/08/2014	Au-35	Échantillon ponctuel	affleurement, butte
6385	PGL	633227	5348797	21/08/2014	Au-35	Échantillon ponctuel	affleurement, butte
6386	PGL	633227	5348798	21/08/2014	Au-35	Échantillon ponctuel	affleurement, butte
6387	PGL	633226	5348908	21/08/2014	Au-35	Échantillon ponctuel	affleurement, butte
6388	PGL	633343	5348915	21/08/2014	Au-35	Échantillon ponctuel	affleurement, butte
6389	PGL	633461	5349004	21/08/2014	Au-35	Échantillon ponctuel	affleurement, butte
6390	PGL	633430	5349001	21/08/2014	Au-35	Échantillon ponctuel	bloc subanguleux 150 cm x 100 cm x 75 cm
6391	PGL	632696	5349078	16/09/2014	Au-35	Échantillon ponctuel	affleurement, butte
6392	PGL	632684	5349111	16/09/2014	Au-35	Échantillon ponctuel	bloc subanguleux 40 cm x 30 cm x 30 cm
6393	PGL	632844	5348615	16/09/2014	Au-35	Échantillon ponctuel	bloc anguleux 1,5 m x 1 m x 0,8 m
6394	PGL	632723	5348619	16/09/2014	Au-35	Échantillon ponctuel	bloc arrondi 40 cm x 30 cm x 30 cm
6395	PGL	632642	5348586	16/09/2014	Au-35	Échantillon ponctuel	bloc subanguleux
6396	PGL	632645	5348567	16/09/2014	Au-35	Échantillon ponctuel	bloc anguleux 60 cm x 40 cm x 30 cm
6397	PGL	633123	5348403	16/09/2014	Au-35	Échantillon ponctuel	affleurement, sous la mousse
6398	PGL	633364	5348646	16/09/2014	Au-35	Échantillon ponctuel	bloc anguleux 80 cm x 70 cm x 40 cm
6399	PGL	633294	5348775	16/09/2014	Au-35	Échantillon ponctuel	bloc subarrondi 1,5 m x 1 m x 0,75 m
6400	PGL	633380	5347743	15/09/2014	Au-35	Échantillon ponctuel	bloc arrondi 1.5 m x 1.5 m x 1.5 m
60351	PGL	633022	5347945	18/09/2014	Au-35	Échantillon ponctuel	bloc anguleux 50 cm x 40 cm x 30 cm, dans une tranchée en forme de "L" 10 m x 20 m
60352	PGL	633016	5347955	18/09/2014	Au-35	Échantillon ponctuel	bloc anguleux 50 cm x 30 cm x 20 cm, dans une tranchée en forme de "L" 10 m x 20 m
60353	PGL	633023	5347955	18/09/2014	Au-35	Échantillon ponctuel	bloc anguleux 100 cm x 50 cm x 50 cm, dans une tranchée en L 10 m x 20 m
60354	PGL	632931	5347949	18/09/2014	Au-35	Échantillon ponctuel	affleurement, flanc de colline
60355	PGL	632594	5347948	18/09/2014	Au-35	Échantillon ponctuel	affleurement, parois rocheuse
60356	PGL	632580	5347963	18/09/2014	Au-35	Échantillon ponctuel	affleurement, parois rocheuse
60357	PGL	0	0	18/09/2014	Au-35	STD	

Tableau 5.2 : Description des échantillons, Phase 2

ECH_#	geologue	UTM_E_NAD83z n17	UTM_N_NAD83z n17	Date	Type d'analyse	Type d'échantillon	Type de lieux
60358	PGL	632547	5347956	18/09/2014	Au-35	Échantillon ponctuel	affleurement, parois rocheuse
60359	PGL	632503	5347844	18/09/2014	Au-35	Échantillon ponctuel	bloc anguleux, 50 cm x 50 cm x 30 cm
60360	PGL	632604	5347858	18/09/2014	Au-35	Échantillon ponctuel	bloc subanguleux 50 cm x 40 cm x 20 cm
60361	PGL	632638	5347844	18/09/2014	Au-35	Échantillon ponctuel	affleurement, colline
60362	PGL	632985	5347832	18/09/2014	Au-35	Échantillon ponctuel	affleurement, butte
60363	PGL	632985	5347837	18/09/2014	Au-35	Échantillon ponctuel	affleurement, butte
60364	PGL	632986	5347834	18/09/2014	Au-35	Échantillon ponctuel	affleurement, butte
60365	PGL	632986	5347833	18/09/2014	Au-35	Échantillon ponctuel	affleurement, butte
60366	PGL	0	0	18/09/2014	Au-35	BLK	
60367	PGL	632990	5347831	18/09/2014	Au-35	Échantillon ponctuel	affleurement, butte

Tableau 5.2 : Description des échantillons, Phase 2

ECH_#	Couleur	Lithologie	Magnetisme	Texture	Mineralogie
2573	gris	I3A		grains moyens à grossiers	Mafique 2 à 3 mm (80%), FP 1 à 2 mm (20%)
3132	gris-vert	I1		grains grossiers	QZ, EP, CL
3133	gris-vert	I1		grains grossiers	QZ, FP, CL
3134	blanc	VN QZ-AK-HM spéculaire		grains grossiers	QZ, AK, HM spéculaire
3135	gris-vert	I1		grains grossiers	QZ, FP (AB?), CL
3136	vert	I1	non mag	grains fins à grossiers	QZ ~5 mm. BO ~1 mm, matrice de CL
3137	gris-vert	I1		grains grossiers	
3138	gris-vert	I1		grains grossiers	QZ, FP, CL
3139	gris-vert	I1		grains grossiers, masqué partiellement par l'altération	
3140	beige	I1	Mag+	grains grossiers	FP 5 à 10 mm, QZ ~5 mm, CL 3 à 4 mm
3141	gris-rose	I1	non mag	grains grossiers	FP ~4 mm, QZ 2 à 5 mm
3142	vert et orange	I1	non mag	grains grossiers	FP ~5 mm, QZ ~5 mm
3144	vert	I3	non mag	grains fins	CL <1 mm
3145	rose-orange	I1	non mag	grains grossiers	QZ 5 à 10 mm, FP 2 à 3 mm
3146	gris	I1	non mag	grains grossiers	QZ ~5 mm, FP 5 à 10 mm
3148	gris-vert	I1	non-mag	grains grossiers	QZ ~5 mm, FP 3 à 4 mm
3149	gris-vert	I1	Mag+	grains moyens	
3150	gris	V1B?	Mag+	granulométrie masquée par la silicification	
3334	gris	I1		grains grossiers	FP, QZ
3336	beige	I1		grains grossiers	FP, QZ, CL
3337	gris-rose	I1		grains grossiers	FP, QZ, CL
3338	gris	I3A		grains grossiers	PX (AM?), FP
3339	gris foncé	I1	Mag++	grains grossiers	FP, QZ, MT
3340	brun-rouge	I1	Mag+	porphyrique à FP, cherteux	FP
3342	blanc et vert	VN de QZ-CL-CB		grains grossiers	QZ, CL, CB
3343	brun-rouge foncé	I1?		granulométrie masquée par la silicification	
3344	gris	I1		grains grossiers	FP, QZ, CL

Tableau 5.2 : Description des échantillons, Phase 2

ECH_#	Couleur	Lithologie	Magnetisme	Texture	Mineralogie
3345	gris	I1		grains grossiers	FP, QZ
3346	gris	I1		grains grossiers	FP, QZ, CL
3347	gris	I1		grains grossiers	FP, QZ, CL
3348	gris-vert	I1		grains grossiers	FP, QZ, CL
3349	gris-vert	I1		grains grossiers	FP, QZ, CL
3350	gris	I1		grains grossiers	FP, QZ, CL
6237	gris sombre à verdâtre	I3A ? V2J ?	non Mag	fine	
6238	gris clair à verdâtre	V1B ? I1 ?	non Mag	porphyrique, <5% phénocristaux Qz < mm	
6239	gris verdâtre	I3A	non Mag	grenue	
6240	gris moyen	I1 ?	Mag ++	fine à finement grenue	20% Mg fine en amas à proximité des fractures
6241	gris moyen à rosé	I1 ?	Mag - loc	grenue	
6242	blanc	VN Qz dans I1	non Mag	grossière du Qz, grenue de I1	
6243	gris sombre	V1B ? I1 ?	non Mag	porphyrique à 20% phénocristaux Qz	
6244	vert sombre	I3A	Mag ++	fine aux épontes, grenue au centre	
6245	blanc gris	VN Qz-CI-Cb	non Mag	grossière du Qz	
6246	blanc vert	VN Qz-CI dans I1	non Mag	grossière du Qz, grenue de I1	
6247	gris verdâtre	I1 ?	non Mag	grenue	50% Qz, 50% Minéraux CI ?
6248	blanc gris	VN Qz dans I1	non Mag	grenue de I1	
6249	faiblement rouillé en surface, beige orangé en cassure	I1 ?	Mag - loc	grenue	
6250	blanc vert brun	VN Qz-Cb-CI dans I1B	non Mag	grenue de I1	Cb : Cc + Ak
6312		VN Qz-CI-Hm dans I1		grenue de I2	
6314	gris sombre orangé rosé	I1	Mag + loc	grenue	

Tableau 5.2 : Description des échantillons, Phase 2

ECH #	Couleur	Lithologie	Magnetisme	Texture	Mineralogie
6315	blanc	VN Qz dans I3A	non Mag	grenue de I3A	50% mafiques, 50% Pl
6316	gris moyen à gris sombre	I1 ?	non Mag	grenue	
6317	gris moyen à rosé	I1	non Mag	grenue	50% Qz
6318	vert sombre à grisâtre	I1 ? Dyke plus mafique ?	non Mag	fine à finement grenue	
6319	gris sombre	V1B ?	non Mag	fine à 5-10% phénocristaux Qz-Fp mm	
6320	blanc beige rosé	VN Qz-Cb dans I1	non Mag	grenue de I1	60% Fp, 40% Qz
6321	vert clair à vert sombre	V2J	Mag - loc	fine, 5% amygdules Qz	
6323	spot rouillé en surface	I1?	non Mag		
6324	rose	I1	non Mag	grenue	50% FP, 35% QZ, 15% minéraux mélanocrates
6325	beige à grisâtre	I1	non Mag	finement grenue	
6326	grise à mauve	I1	non Mag	finement grenue	5% phénocristaux de QZ <1 mm
6327	blanc rosé	I1	non Mag	grenue	10-15% HM spéculaire
6328	gris moyen	I3A	non Mag	grenue	60% AM/PX, 40% PG
6329	beige rosé	I1	non Mag	grenue	
6330	gris sombre	V1B?	Mag+	finement grenue	
6331	gris moyen à verdâtre	?	Mag-	texture fine bréchifié par les VN	
6332	gris moyen verdâtre	?	Mag+	fragmentaire, fragments ~mm à ~cm dans la foliation	
6333	vert sombre	I1?	non Mag	finement grenue	
6334	gris moyen	I1	non Mag		
6335	beige rosé	I1	non Mag	grenue	
6336	grisâtre	I1	non Mag	grenue	30% QZ, 65% FP, 5% CL
6337	beige rosé	I1	non Mag	grenue	

Tableau 5.2 : Description des échantillons, Phase 2

ECH_#	Couleur	Lithologie	Magnetisme	Texture	Mineralogie
6338	beige	I1	non Mag	grenue	40% QZ, 40% FP, 20% CL
6340	beige rosé orangé	I1	Mag+	grenue	
6341		I1	non Mag	grenue	
6342		I1	Mag+	grenue	40% QZ, 50% FP, 10% CL
6343	blanc-beige- rosé-vert	I1	non Mag	grenue	20% CL, 40% QZ, 40% FP
6344	gris	I1	Mag-	grenue	
6345	grisâtre	I1	Mag+	grenue	55% QZ, 40% FP
6347		I1	Mag-	grenue	15% CL, 40% QZ, 45% FP
6348	blanc	VN QZ-CB		grains grossiers	QZ, CB
6349	gris	I1		grains grossiers, partiellement masqué par la silicification	FP, QZ, CL
6350	beige	I1		grains grossiers	FP, QZ, CL
6351	gris-rose	I1	Mag+	grains grossiers	QZ ~3 mm, FP ~3 mm, CL ~3 mm
6352	gris	V2J?	Mag-	grains fins	
6353	beige	I1	Mag+	grains grossiers	QZ ~5 mm, FP ~5 mm
6354	vert	I1	Mag-	grains grossiers	QZ ~2 mm
6355	blanc-vert	I1	non mag	grains moyens	QZ ~2 mm, FP, ~1 mm
6356	gris-vert	I1		grains grossiers	QZ ~5 mm, FP ~3 mm, CL ~5 mm
6357	gris-rose	I1	Mag+	grains grossiers	QZ, FP, CL
6358	gris-rose	I1		grains grossiers	QZ 2 à 4 mm, FP 2 à 5 mm
6359	vert	V2J		grains fins, amygdules 1 à 3 mm CB et QZ	
6360	gris-rose	I1	Mag+	grains grossiers	QZ, FP, CL
6361	gris-vert	I1	Mag+	grains grossiers	QZ, FP, CL, MT
6362	gris-vert	I1		grains grossiers	QZ, FP, CL
6363	gris-vert	I1	Mag+	grains grossiers	QZ, FP, CL
6364	noir	I3O?	Mag-	porphyrique à BO	BO 1 à 3 mm
6365	gris-vert	I1	Mag-	grains grossiers	QZ, FP, CL
6366	gris-vert-rose	I1	Mag+	grains grossiers	QZ, FP, CL
6367	vert	I1	non Mag	grains grossiers	QZ, FP, CL
6369	gris-vert	I1	Mag+	grains grossiers	QZ, FP, CL

Tableau 5.2 : Description des échantillons, Phase 2

ECH_#	Couleur	Lithologie	Magnétisme	Texture	Minéralogie
6370	blanc	VN de QZ-AK	non Mag	grains grossiers	QZ, AK
6371	gris-rose	I1	non Mag	grains grossiers	QZ, FP, EP
6372	rose	I1	non Mag	grains moyens	QZ, FP
6373	gris	I1	Mag+	grains grossiers	QZ, FP, CL
6375	gris-vert	V2J	non Mag	grains fins, amygdules 1 à 2 mm QZ et CL	
6376	gris-vert	V2J	non Mag	grains fins	
6377	gris-rose	I1	Mag+	grains grossiers	QZ, FP, CL
6378	gris-rose	I1	Mag+	grains grossiers, partiellement masqués par la silicification	QZ, FP
6379	gris-rose	I1	Mag-	grains grossiers, partiellement masqués par la silicification	QZ, FP
6380	gris-rose	I1	Mag-	grains grossiers	QZ, FP, CL
6381	gris-vert	I1	Mag+	grains grossiers	QZ, FP, CL
6382	gris-rose	I1		grains grossiers	QZ, FP
6383	beige-brun	I1		grains grossiers	QZ, FP, CL
6384	gris-vert	I1	non Mag	grains grossiers	QZ, FP, CL
6385	gris-rose	I1		grains grossiers	QZ, FP, EP
6386	gris-rose	I1		grains grossiers	QZ, FP, EP
6387	gris pâle	I1?		grains fins à moyens, texture sucré	
6388	gris-vert	I3A		grains moyens	FP 1 à 2 mm, mafiques 1 à 2 mm
6389	blanc	VN de QZ		grains grossiers	QZ, HM spéculaire
6390	gris	I1		grains grossiers, partiellement masqués par la silicification	QZ, FP CL
6391	blanc	VN QZ-CL-HM spéculaire		grains grossiers	QZ, CL, HM spéculaire
6392	gris	I1		grains grossiers, partiellement masqués par la silicification	FP, QZ
6393	gris-foncé	I3A		grains moyens	FP, CL
6394	rose	I2		grains grossiers	FK, PL, HM spéculaire
6395	rose	I1	Mag+	grains grossiers	FP, QZ
6396	gris-vert	I1		grains grossiers	FP, QZ, CL
6397	gris-beige	I1		grains grossiers	FP, QZ

Tableau 5.2 : Description des échantillons, Phase 2

ECH_#	Couleur	Lithologie	Magnetisme	Texture	Mineralogie
6398	gris	I1	Mag+	grains grossiers	FP, QZ, CL
6399	gris	I1		grains grossiers	FP, QZ, CL
6400	gris	I1		grains grossiers	FP, QZ, CL
60351	gris	I1		grains grossiers, partiellement masqué par la silicification	FP, QZ
60352	gris	I1		grains grossiers	FP, QZ, CL
60353	gris	I1		grains grossiers, partiellement masqué par la silicification	FP, QZ
60354	gris-vert	I1	Mag+	grains grossiers	FP, QZ, CL
60355	gris-vert	I1	Mag+	grains grossiers	QZ, FP, CL
60356	gris-vert	I1	Mag+	grains grossiers	FP, QZ
60358	gris-vert	I1		grains grossiers	FP, QZ, CL
60359	gris-vert	V2J		grains fins	FP
60360	gris-vert	I1	Mag-	grains grossiers	FP, QZ, CL
60361	gris-vert	I1	Mag+	grains grossiers	FP, QZ, CL
60362	blanc	VN QZ-CB-HM spéculaire		grains grossiers	QZ, CB, HM spéculaire
60363	rose	I1		grains grossiers	FP, QZ, HM spéculaire
60364	rose	I1		grains grossiers	FP, QZ, HM spéculaire
60365	blanc	I1		grains grossiers	FP, QZ
60367	blanc-rose	I1		grains grossiers	FP, QZ

Tableau 5.2 : Description des échantillons, Phase 2

ECH_#	Alteration	Mineralisation	Veines
3132	EP+, CL+, HM spéculaire +	1% Py disséminée	VN de QZ 1 à 3 cm
3133	CL+		VN de QZ 1 à 10 mm orientées 013°/subvertical
3134		10% Py distribuée en bandes	VN de QZ-AK-HM spéculaire métrique, seulement un contact est observé avec l'encaissant, soit du l1
3135	CL+	1% Py disséminée	VN de CL <1 mm
3136	CL++, BO+		VN de QZ-CL-CB ~3 cm orientée 052°/88°
3137	CL+, HM+		VN de QZ-CL-CB ~10 cm orientée 007°/82°
3138	CL+	1% Py disséminée	VN de CL <1 mm
3139	SI++, CL+		VN de QZ 1 à 5 cm subparallèle (15%) orienté 193°/modéré
3140	CL+		
3141	CL+, HM-	25% Py cubique en amas et disséminée	VN de CL <1 à 2 mm
3142	CL++, HM+	5% Py en amas et disséminée	VN de QZ discontinues et irrégulière, VN de CL anastomosée ~3 cm
3144	CL++	2% Py cubique disséminée	
3145	HM+, CL+	tr Py disséminée	VN de QZ 1 à 2 cm orientée 130°/modéré
3146	HM+, CL-		VN de QZ-HM spéculaire 1 à 3 cm orientées 280°/58°, 035°/85° et 324°/64°
3148	CL+	tr Py disséminée	
3149	CL+, SI-		
3150	SI++		VN de CB-CL ~1 cm avec de la magnétite dans les épontes
3334	SI+, HM spéculaire+	tr Py disséminée	
3336	CL+	tr Py disséminée	VN de QZ 1 à 2 cm orientée 224°/50°
3337	CL+, EP-	tr Py disséminée	
3338	CL-, EP-	tr Py disséminée	VN de QZ-CB-CL ~1 cm
3339	MT++	tr Py disséminée	
3340		tr Py disséminée	VN de QZ tout près ~5 mm orientée 214°/subvertical
3342	CB partiellement dissous		VN de QZ-CL-CB ~10 cm orientée 352°/48°
3343	SI++, HM-	2% Py disséminée	VN de CL <1 à 1 mm
3344	HM spéculaire+, CL-	tr Py disséminée	

Tableau 5.2 : Description des échantillons, Phase 2

ECH_#	Alteration	Mineralisation	Veines
3345	HM spéculaire+, CB-	tr Py disséminée	VN de QZ-CB ~1 cm
3346	HM spéculaire+, CL-	tr Py disséminée	
3347	CL+, HM spéculaire-	1% Py disséminée	VN de QZ ~2 cm, VN d'HM spéculaire ~1 mm, VN de CL <1 à 2 mm
3348	CL+	tr Py disséminée et dans les fractures	
3349	CL+		VN de QZ-CL 5 à 20 mm orientée 034°/faible
3350	HM spéculaire+, CL-	tr Py disséminée	VN de QZ 1 à 2 cm orientée 011°/abrupte, VN d'HM spéculaire 1 à 5 mm
6237	CL+, SI-	2-3% Py fine à moyenne disséminée dans la foliation	∅
6238	SI+, CB+, CL-	1% Py moyenne en amas disséminés	1% VN Qz-Cb
6239	CL-	1% Py fine à moyenne disséminée	∅
6240	MG++, SI+, CL-	2% Py grossière associée aux fractures	∅
6241	SI+, HM spéculaire disséminée et dans les fines fractures	tr Py moyenne disséminée et associée aux fines fractures	∅
6242	CL- à +	∅	VN Qz laiteux, irrégulière et discontinue, 1-2 cm épaisseur
6243	SI- ?	∅	∅
6244	CL+	1-2% Py fine en lits dans la foliation	∅
6245	CL+	∅	VN discontinue à tendance N-S
6246	CL + aux épontes	∅	VN 1-2 cm épaisseur
6247	CL-, SI ?	∅	∅
6248	CL+	2% Py moyenne disséminée dans VN et l'encaissant	ensemble de Veines de Qz
6249		2% Py moyenne en amas, disséminée et dans les fines fractures	
6250		tr Py moyenne disséminée dans VN	ensemble de VN, épaisseur apparente 20 cm
6312	Hm spéculaire aux épontes	1% Py moyenne disséminée dans I1, localement 2%	VN 2 cm
6314	EP-, CL-, HM- à 10% Hm spéculaire	tr Py moyenne	∅
6315	CL- de I3A	∅	VN Qz épaisseur inconnue
6316	SI+, CL-, HM- à 10% Hm spéculaire	tr Py moyenne disséminée	2% Fi CI
6317	SI+, EP-, HM- localement à 10% Hm spéculaire	1% Py moyenne disséminée	∅

Tableau 5.2 : Description des échantillons, Phase 2

ECH_#	Alteration	Mineralisation	Veines
6318	CL+ à ++	tr Py moyenne associée aux VN	3% VN Qz <1cm discontinues et irrégulières dans la foliation
6319	SI++?	tr-1% Py très fine en amas disséminés	∅
6320	HM- à 5% Hm spéculaire	tr Py moyenne dans VN et épontes I1	ensemble de VN
6321	SI+, EP+, CL-	tr Py moyenne associée aux poches et disséminée	poches Qz-Cb-Ep
6323	EP-, HM-	tr Py disséminée	VN de QZ orientée 162°/?
6324	HM-	1% Py moyenne disséminée aux épontes de VN dans l'encaissant	VN de QZ-CB-HM spéculaire blanche irrégulière
6325	SI++		
6326	SI+		
6327	HM+, CB+		VN grise-blanche de QZ-CB-HM spéculaire ~1 cm
6328	CL-	2% Py moyenne disséminée localement	
6329		tr Py disséminée dans l'encaissant ou en amas dans VN de QZ-CB-HM spéculaire	VN de QZ-CB-HM spéculaire blanche
6330	SI+, CL-, HM-, CB-	1% Py moyenne à grossière disséminée	2% de VN de CL ~mm
6331	CL+, HM-	3% Py moyenne en amas associés aux VN	10% VN CL+-QZ+-CB non-orientées
6332	SI+, CB+, CL+	4% Py grossière à moyenne en amas disséminés dans la foliation, 1% de Cp (Py?), Py automorphe	
6333	CL++	tr Py grossière dans l'encaissant	5% de VN de QZ
6334	CL-, HM-	tr Py moyenne disséminée et en amas	VN de QZ
6335	HM spéculaire	1% Py dans les VN et en amas disséminée	2% VN de QZ-CB-HM
6336	CL-	3% Py moyenne disséminée en amas	
6337	CL-, SI-	1% Py fine disséminée localement dans les zones chloritisées	
6338	CL-	tr Py fine associée aux fines fractures	
6340	SI+, CL-, HM-	2% Py moyenne à grossière disséminée	
6341	EP-, HM-		VN de QZ
6342	CL-	tr Py moyenne automorphe	1% VN de CL
6343	CL-		
6344	CL++		VN orientée 215°/75°

Tableau 5.2 : Description des échantillons, Phase 2

ECH #	Alteration	Minéralisation	Veines
6345	SI+, HM spéculaire-, CL-	tr Py	
6347	CL-		
6348		tr Py disséminée près des épontes	VN de QZ-CB encaissée dans du I1 CL+
6349	SI++, AK+, CL-, HM spéculaire-	1% Py disséminée	VN de CL <1 à 1 mm
6350	CL-	tr Py associée aux VN de CL-MT	VN de CL-MT 1 à 3 mm
6351	CL+, HM spéculaire+	1% Py disséminée et en VN	VN de CL-CB <1 mm
6352	SR+	tr Py disséminée	VN de HM spéculaire <1 mm
6353	CL-		VN de magnétite ~1 cm 210°/subvertical
6354	CL+, EP-, CB-		VN de QZ-EP orientée 210°/subverticale
6355	CL+, SI+		VN de EP-QZ-HM spéculaire dans les fractures orientée 210°/abrupte
6356	CL+		VN de QZ-CB 1 à 3 cm orientées 360°/subvertical
6357	CL+, HM-	tr Py cubique disséminée	
6358	CL-, HM-		VN de QZ-AK ~1 cm orientées 105°/80°
6359	CL+, SI+	tr Py disséminée	VN de CB <1 mm
6360	HM-, CL-	tr Py à l'intérieur de VN de CL	VN de QZ 1 à 3 cm, VN de CL <1 à 1 mm
6361	CL+	tr Py disséminée, à l'intérieur de VN de CL	VN de CL <1 mm
6362	CL+, EP-	tr Py disséminée	
6363	CL++, HM spéculaire -	1% PY disséminée et à l'intérieur de VN de CL en marge (footwall) d'un dyke mafique ultrapotassique (I3O?)	VN de CL <1 à 2 mm
6364	CL-	1% Py disséminée	
6365	CL+, HM-	tr Py à l'intérieur de VN de CL	VN de CL <1 mm
6366	CL+, HM-	tr Py disséminée	
6367	CL+, EP-	tr Py disséminée	
6369	CL+	tr Py disséminée	
6370		tr Py disséminée	VN de QZ-AK
6371	HM-, EP-	2% Py cubique disséminée	
6372	HM+ spéculaire, AK-	tr Py disséminée	VN de QZ-AK <1 à 1 mm
6373	CL-, HM-	tr Py disséminée	VN de QZ-CB <1 mm
6375	CL+, SI+	2% Py disséminée	VN de CB <1 mm
6376	CL+, SI+	tr Py disséminée	VN de CB-QZ <1 à 1 mm

Tableau 5.2 : Description des échantillons, Phase 2

ECH_#	Alteration	Minéralisation	Veines
6377	CL-, HM-, SI-	tr Py cubique disséminée	VN de CL <1 mm
6378	SI++, HM+	1% Py associée aux VN de CL et disséminée, tr Cp associée aux veinules de CL et disséminée, tr Gn disséminée	VN de QZ-CB 1 à 2 cm orientées 020°/subvertical, VN de CL-CB 1 à 2 mm recoupant les VN de QZ-CB
6379	SI++, HM+, CL-	1% Py disséminée et à l'intérieur de VN de QZ et de CL, tr Cp disséminée	VN de QZ 1 à 3 cm, VN de CL-CB 1 à 3 mm
6380	CL+, HM-	VN de HM spéculaire 1 à 10 mm	
6381	CL+	tr Py disséminée	
6382	HM spéculaire+	2% Py disséminée	VN de CL <1 mm
6383	CL+, HM-	tr Py disséminée	
6384	CL+	tr Py disséminée	VN de QZ-EP-CB ~3 cm discontinue et de forme irrégulière
6385	HM spéculaire+, EP+	1% Py disséminée	VN de QZ ~3 cm orientées 276°/60°, VN d'HM spéculaire parallèles aux VN de QZ
6386	HM spéculaire+, EP+	1% Py disséminée	VN de HM spéculaire 1 à 2 mm orientées 276°/60°
6387		tr Py disséminée	
6388	CL+, EP-	tr Py disséminée	
6389			VN de QZ
6390	SI++, CL+	tr Py disséminée	VN de CB
6391	cavité (CB dissous?)		VN de QZ-CL-HM spéculaire 5 à 10 cm orientée 117°/30° encaissée dans l1
6392	SI+, HM spéculaire+	3% Py disséminée et associée aux VN de QZ-CB-HM spéculaire	VN de QZ-CB-HM spéculaire <1 à 3 mm
6393	CL+	1% Py disséminée et associée aux VN de QZ	VN de QZ 3 à 20 mm
6394	HM spéculaire ++	1% Py idiomorphe en amas	
6395	EP-	tr Py associée à une VN QZ-EP-MT	VN QZ-EP-MT ~4 cm
6396	CL+, HM spéculaire-	tr Py disséminée	
6397	EP-, CL-	tr Py disséminée	VN de CL <1 à 10 mm
6398	CL+, CB-, MT-	tr Py disséminée	
6399	AK++, CL-	tr Py associée aux VN de QZ-AK-HM spéculaire	VN de QZ-AK-HM spéculaire 5 à 20 cm
6400	CL-, HM spéculaire+	tr Py disséminée	

Tableau 5.2 : Description des échantillons, Phase 2

ECH_#	Alteration	Mineralisation	Veines
60351	SI++, HM spéculaire+	4% Py grossière idiomorphe disséminée et en VN	VN de Py ~3 mm
60352	CL+, HM spéculaire+	1% Py grossière idiomorphe disséminée	
60353	SI+, HM spéculaire+	1% Py fine à grossière idiomorphe disséminée et associée aux VN de QZ-HM spéculaire	VN de QZ-HM spéculaire <1 à 3 mm
60354	CL+, MT+, SI-	tr Py disséminée	VN de CL-MT 1 à 5 mm
60355	CL+, HM spéculaire+, MT+	2% Py grossière associée aux VN de CL-EP	VN de CL-EP anastomosée 1 à 10 mm
60356	CL+, MT-	1% Py disséminée et associée aux VN de CL	VN de CL 1 à 2 mm
60358	CL+	1% Py disséminée	VN de QZ ~1 cm
60359	CL+, SI-	1% Py fine disséminée dans les épontes de VN de QZ	VN de QZ ~1 cm
60360	CL+, MT-	tr Py disséminée	
60361	CL+, MT-	tr Py disséminée et associée aux VN de QZ	VN de QZ ~1 mm
60362	HM spéculaire partiellement altérée	tr Py disséminée	VN de QZ-CB-HM spéculaire ~1 m, orientée? 160°/subvertical
60363	HM spéculaire++, Py partiellement altérée	1% Py disséminée et associée aux VN d'HM spéculaire	VN de QZ ~1 mm, VN d'HM spéculaire 1 à 10 mm
60364	HM spéculaire+	1% Py disséminée et associée aux VN de QZ et VN de HM spéculaire	VN de QZ 1 à 5 cm, ~1 mm
60365	HM spéculaire +, Py partiellement oxydée	5% Py disséminée en marge de VN de QZ-CB	VN de QZ-CB ~10 cm
60367	SI-, HM spéculaire-	1% Py associée aux VN de QZ	VN de QZ 1 à 30 mm

Tableau 5.2 : Description des échantillons, Phase 2

ECH_#	Structure	Structure_Azimet N	Structure_inclinaison	Commentaires
3132	foliation faible			
3138	foliation faible			
3139	foliation faible			
3140				a sonné Mag au Beep Mat
3142	schistosité moyenne	254	subverticale	
3143				STD 201
3144				dyke mafique
3147				BLK
3149				échantillonnée dans une dépression orientée 360°
3334				l'échantillon est marqué sur le terrain comme B1509
3335				STD OREAS 10c
3336				l'échantillon est marqué sur le terrain comme C1509
3337				l'échantillon est marqué sur le terrain comme D1509
3338				l'échantillon est marqué sur le terrain comme E1509
3339				l'échantillon est marqué sur le terrain comme F1509
3340	clivage	199°	84°	l'échantillon est marqué sur le terrain comme G1509
3341				BLK
3342				l'échantillon est marqué sur le terrain comme H1509
3343	foliation faible			l'échantillon est marqué sur le terrain comme I1509
3344				l'échantillon est marqué sur le terrain comme J1509
3345				l'échantillon est marqué sur le terrain comme K1509
3346				l'échantillon est marqué sur le terrain comme L1509
3347				l'échantillon est marqué sur le terrain comme M1509
3348				l'échantillon est marqué sur le terrain comme N1509
3349				l'échantillon est marqué sur le terrain comme O1509
3350				l'échantillon est marqué sur le terrain comme P1509
6237	foliation forte			
6240	fracturé	95	62	
6244	foliation modérée	150		I3A discontinu
6246	VN	215		
6247	∅			

Tableau 5.2 : Description des échantillons, Phase 2

ECH_#	Structure	Structure_Azimet N	Structure_inclinaison	Commentaires
6248	VN	161		
6250	VN	196		
6312	VN	214		
6313				BLC
6315	∅			
6316	foliation faible	200		
6317	∅			
6318	foliation forte	178		
6319	fracturé			
6322				STD 15d
6323	foliation faible	162°		
6325				zone de silicification orientée 018°/? avec des contacts diffus
6326				dyke I1 ~10 cm encaissé dans I1 orienté 022°
6332	foliation moyenne			
6338	fines fractures	165°		
6339				STD 201
6346				BLC
6351	foliation faible	300°		
6352	schistosité moyenne	120°	subvertical	
6357	foliation faible			
6359	foliation faible			
6361	foliation faible	025°	modéré	
6363	foliation faible			
6364	foliation faible			dyke encaissé dans I1 orienté 175°/faible
6365	foliation faible			
6366	foliation faible			
6367	foliation faible			
6368				STD 10c
6371	foliation faible			
6372	foliation faible			
6374				BLK

Tableau 5.2 : Description des échantillons, Phase 2

ECH_#	Structure	Structure_Azimet N	Structure_inclinaison	Commentaires
6375	schistosité moyenne			
6376	schistosité moyenne			
6378	fractures	085°	subvertical	
6379	fractures	240°	subvertical	
6383	foliation faible			
6385	foliation faible orientée	345°	abrupte	
6386	foliation faible	345°	abrupte	
6390	foliation faible			
6399	foliation moyenne			
6400				l'échantillon est marqué sur le terrain comme A1509
60357				STD OREAS 15d
60366				BLK

Ressources Falco Ltée.

Résultats de la campagne d'échantillonnage, Été 2014, PROPRIÉTÉ FLAVRIAN

ANNEXE V

CERTIFICATS D'ANALYSES INAA (AU35) + Cu

Quality Analysis ...



Innovative Technologies

Date Submitted: 21-Aug-14
Invoice No.: A14-05808
Invoice Date: 05-Sep-14
Your Reference: 34466 SG14-1330 FALCO PACIFIC

Techni-Lab Abitibi Inc.(Actlabs)
184 Rue Principale
Ste-Germaine-Boule Quebec J0Z 1M0
Canada

ATTN: Andre Caouette

CERTIFICATE OF ANALYSIS

136 Pulp samples were submitted for analysis.

The following analytical package was requested:

Code 1D Enh INAA(INAAGEO)

REPORT **A14-05808**

This report may be reproduced without our consent. If only selected portions of the report are reproduced, permission must be obtained. If no instructions were given at time of sample submittal regarding excess material, it will be discarded within 90 days of this report. Our liability is limited solely to the analytical cost of these analyses. Test results are representative only of material submitted for analysis.

Notes:

For values exceeding the upper limits we recommend assays.

CERTIFIED BY:

A handwritten signature in black ink, appearing to read "Elitsa Hrischeva". The signature is written in a cursive style and is positioned above a horizontal line.

Elitsa Hrischeva, Ph.D.
Quality Control

ACTIVATION LABORATORIES LTD.
41 Bittern Street, Ancaster, Ontario, Canada, L9G 4V5
TELEPHONE +905 648-9611 or +1.888.228.5227 FAX +1.905.648.9613
E-MAIL Ancaster@actlabs.com ACTLABS GROUP WEBSITE www.actlabs.com



Results

Analyte Symbol	Au	Ag	As	Ba	Br	Ca	Co	Cr	Cs	Fe	Hf	Hg	Ir	Mo	Na	Ni	Rb	Sb	Sc	Se	Sn	Sr	Ta
Unit Symbol	ppb	ppm	ppm	ppm	ppm	%	ppm	ppm	ppm	%	ppm	ppm	ppb	ppm	%	ppm	ppm	ppm	ppm	ppm	%	%	ppm
Detection Limit	2	5	0.5	50	0.5	1	1	5	1	0.01	1	1	5	1	0.01	20	15	0.1	0.1	3	0.02	0.05	0.5
Analysis Method	INAA	INAA	INAA	INAA	INAA	INAA	INAA	INAA	INAA	INAA	INAA	INAA	INAA	INAA	INAA	INAA	INAA	INAA	INAA	INAA	INAA	INAA	INAA
2520	< 2	< 5	< 0.5	< 50	< 0.5	< 1	32	118	< 1	5.65	2	< 1	< 5	< 1	2.66	< 20	< 15	< 0.1	19.4	< 3	< 0.02	< 0.05	< 0.5
2522	< 2	< 5	6.3	< 50	< 0.5	< 1	< 1	135	< 1	3.57	7	< 1	< 5	14	3.10	< 20	< 15	0.3	12.6	< 3	< 0.02	< 0.05	< 0.5
2523	< 2	< 5	< 0.5	< 50	< 0.5	4	41	90	< 1	8.22	< 1	< 1	< 5	79	1.86	< 20	< 15	< 0.1	34.2	< 3	< 0.02	< 0.05	< 0.5
2524 BLC	< 2	< 5	6.3	380	< 0.5	< 1	8	152	< 1	5.22	5	< 1	< 5	< 1	2.96	< 20	< 15	< 0.1	15.7	< 3	< 0.02	< 0.05	< 0.5
2526	< 2	< 5	4.2	340	< 0.5	< 1	< 1	285	< 1	1.30	6	< 1	< 5	14	2.07	< 20	< 15	< 0.1	4.3	< 3	< 0.02	< 0.05	< 0.5
2527	< 2	< 5	6.7	190	< 0.5	< 1	< 1	302	< 1	1.32	6	< 1	< 5	18	2.58	< 20	< 15	0.2	4.1	< 3	< 0.02	< 0.05	< 0.5
2528	< 2	< 5	3.8	< 50	< 0.5	< 1	< 1	253	< 1	1.00	6	< 1	< 5	12	3.06	< 20	< 15	< 0.1	5.0	< 3	< 0.02	< 0.05	< 0.5
2529	< 2	< 5	4.4	< 50	< 0.5	< 1	< 1	206	< 1	1.46	6	< 1	< 5	< 1	2.21	< 20	< 15	< 0.1	3.3	< 3	< 0.02	< 0.05	< 0.5
2530	10	< 5	4.6	< 50	< 0.5	< 1	< 1	261	< 1	1.11	12	< 1	< 5	10	3.74	< 20	< 15	< 0.1	4.1	< 3	< 0.02	< 0.05	< 0.5
2531	< 2	< 5	5.0	< 50	< 0.5	< 1	< 1	206	< 1	1.59	6	< 1	< 5	6	3.02	< 20	< 15	< 0.1	8.3	< 3	< 0.02	< 0.05	< 0.5
2532 MR	6990	< 5	3990	480	< 0.5	4	49	146	< 1	11.1	< 1	< 1	< 5	< 1	1.07	< 20	< 15	< 0.1	16.7	< 3	< 0.02	< 0.05	< 0.5
2533	11	< 5	4.2	< 50	< 0.5	< 1	< 1	313	< 1	1.05	5	< 1	< 5	14	1.70	< 20	< 15	< 0.1	2.0	< 3	< 0.02	< 0.05	< 0.5
2534	70	< 5	5.4	< 50	< 0.5	< 1	< 1	435	< 1	0.65	3	< 1	< 5	27	0.94	< 20	< 15	< 0.1	2.3	< 3	< 0.02	< 0.05	< 0.5
2535	< 2	< 5	2.4	< 50	< 0.5	2	< 1	255	< 1	2.16	5	< 1	< 5	11	1.77	< 20	< 15	< 0.1	4.6	< 3	< 0.02	< 0.05	< 0.5
2536	< 2	< 5	4.0	< 50	< 0.5	< 1	30	95	< 1	6.83	3	< 1	< 5	< 1	2.19	< 20	< 15	< 0.1	29.1	< 3	< 0.02	< 0.05	< 0.5
2537	39	< 5	5.6	< 50	< 0.5	< 1	< 1	253	< 1	1.06	5	< 1	< 5	17	2.91	140	< 15	< 0.1	4.7	< 3	< 0.02	< 0.05	< 0.5
2538	360	< 5	5.9	< 50	< 0.5	< 1	< 1	268	< 1	1.23	5	< 1	< 5	16	2.46	< 20	< 15	< 0.1	4.5	< 3	< 0.02	< 0.05	< 0.5
2540	< 2	< 5	1.9	< 50	< 0.5	10	46	374	< 1	6.32	< 1	< 1	< 5	< 1	1.19	< 20	< 15	< 0.1	31.2	< 3	< 0.02	< 0.05	< 0.5
2541	< 2	< 5	1.9	< 50	< 0.5	< 1	< 1	220	< 1	1.46	6	< 1	< 5	17	2.44	< 20	< 15	< 0.1	10.2	< 3	< 0.02	< 0.05	< 0.5
2542 BLC	< 2	< 5	5.4	< 50	< 0.5	11	12	55	3	2.06	2	< 1	< 5	< 1	0.17	< 20	28	< 0.1	5.8	< 3	< 0.02	< 0.05	< 0.5
2543	< 2	< 5	6.8	< 50	< 0.5	< 1	< 1	266	< 1	1.40	7	< 1	< 5	14	3.21	< 20	< 15	< 0.1	5.6	< 3	< 0.02	< 0.05	< 0.5
3071	< 2	< 5	3.9	330	< 0.5	< 1	< 1	202	< 1	2.48	5	< 1	< 5	14	2.49	< 20	< 15	< 0.1	5.2	< 3	< 0.02	< 0.05	< 0.5
3072	7	< 5	3.8	< 50	2.0	< 1	2	479	< 1	1.04	1	< 1	< 5	28	0.12	< 20	< 15	< 0.1	1.5	< 3	< 0.02	< 0.05	< 0.5
3073	9	< 5	2.7	< 50	< 0.5	4	< 1	286	< 1	2.36	6	< 1	< 5	16	2.20	< 20	< 15	< 0.1	5.1	< 3	< 0.02	< 0.05	< 0.5
3074	< 2	< 5	4.2	< 50	< 0.5	< 1	< 1	286	< 1	2.22	5	< 1	< 5	13	2.90	< 20	< 15	< 0.1	1.2	< 3	< 0.02	< 0.05	< 0.5
3075	< 2	< 5	1.5	< 50	< 0.5	< 1	< 1	233	< 1	1.35	5	< 1	< 5	14	3.21	< 20	< 15	< 0.1	5.5	< 3	< 0.02	< 0.05	< 0.5
3120	< 2	< 5	5.7	4810	< 0.5	< 1	9	250	< 1	1.93	2	< 1	< 5	15	1.34	< 20	165	< 0.1	3.4	< 3	< 0.02	< 0.05	< 0.5
3121	7	< 5	5.3	2590	< 0.5	6	50	561	< 1	6.23	3	< 1	< 5	< 1	1.27	< 20	< 15	< 0.1	19.0	< 3	< 0.02	0.18	< 0.5
3122	< 2	< 5	4.6	< 50	< 0.5	4	< 1	276	< 1	1.87	6	< 1	< 5	23	2.44	< 20	< 15	< 0.1	6.2	< 3	< 0.02	< 0.05	< 0.5
3123	< 2	< 5	5.8	< 50	< 0.5	< 1	< 1	354	< 1	0.88	6	< 1	< 5	22	3.05	< 20	< 15	< 0.1	4.4	< 3	< 0.02	< 0.05	< 0.5
3124	< 2	< 5	6.5	< 50	< 0.5	23	12	59	< 1	2.06	2	< 1	< 5	< 1	0.18	< 20	< 15	< 0.1	5.6	< 3	< 0.02	< 0.05	< 0.5
3125	> 30000	< 5	7.0	< 50	< 0.5	< 1	21	417	< 1	2.91	< 1	< 1	< 5	69	1.12	< 20	< 15	0.1	1.8	< 3	< 0.02	< 0.05	< 0.5
3126	296	< 5	5.0	230	< 0.5	< 1	4	282	< 1	1.07	7	< 1	< 5	14	2.57	< 20	< 15	< 0.1	5.5	< 3	< 0.02	< 0.05	< 0.5
3127	33	< 5	4.5	350	< 0.5	< 1	< 1	273	< 1	1.44	5	< 1	< 5	12	2.70	< 20	22	< 0.1	4.2	< 3	< 0.02	< 0.05	< 0.5
3128	26	< 5	5.6	< 50	< 0.5	< 1	5	368	< 1	0.98	1	< 1	< 5	26	0.42	< 20	< 15	< 0.1	2.1	< 3	< 0.02	< 0.05	< 0.5
3129	14	< 5	6.3	< 50	< 0.5	< 1	< 1	377	< 1	1.22	4	< 1	< 5	17	1.65	< 20	< 15	< 0.1	2.2	< 3	< 0.02	< 0.05	< 0.5
3189	20	< 5	5.4	< 50	< 0.5	14	< 1	188	< 1	6.18	5	< 1	< 5	< 1	0.14	< 20	< 15	< 0.1	2.8	< 3	< 0.02	0.10	< 0.5
3190	< 2	< 5	7.2	330	< 0.5	< 1	< 1	266	< 1	1.98	5	< 1	< 5	13	2.94	< 20	< 15	< 0.1	7.0	< 3	< 0.02	< 0.05	< 0.5
3191 MR	6890	< 5	3830	430	< 0.5	5	42	159	< 1	11.2	2	< 1	< 5	< 1	1.07	< 20	< 15	13.3	16.5	< 3	< 0.02	< 0.05	< 0.5
3192	< 2	< 5	3.7	< 50	< 0.5	< 1	< 1	279	< 1	1.12	5	< 1	< 5	12	2.59	< 20	< 15	< 0.1	4.7	< 3	< 0.02	< 0.05	< 0.5
3193	8	< 5	4.7	< 50	< 0.5	4	< 1	303	< 1	2.45	2	< 1	< 5	16	1.34	< 20	< 15	< 0.1	3.8	< 3	< 0.02	< 0.05	< 0.5
3194	713	< 5	5.3	< 50	< 0.5	< 1	5	272	< 1	1.21	5	< 1	< 5	20	2.94	< 20	< 15	< 0.1	6.2	< 3	< 0.02	< 0.05	< 0.5
3195	< 2	< 5	2.2	< 50	< 0.5	< 1	< 1	314	< 1	1.03	8	< 1	< 5	17	3.44	< 20	< 15	< 0.1	4.8	< 3	< 0.02	< 0.05	< 0.5
6001	< 2	< 5	3.3	< 50	< 0.5	2	26	121	< 1	6.23	3	< 1	< 5	< 1	2.83	< 20	< 15	< 0.1	24.5	< 3	< 0.02	< 0.05	< 0.5
6002	< 2	< 5	4.8	< 50	< 0.5	5	13	244	< 1	4.58	3	< 1	< 5	13	1.23	< 20	< 15	< 0.1	16.6	< 3	< 0.02	0.14	< 0.5
6003	< 2	< 5	1.5	< 50	< 0.5	5	26	169	< 1	6.03	< 1	< 1	< 5	< 1	2.01	< 20	< 15	< 0.1	24.2	< 3	< 0.02	< 0.05	< 0.5
6004	< 2	< 5	< 0.5	< 50	< 0.5	3	33	134	< 1	5.85	2	< 1	< 5	< 1	2.62	< 20	< 15	< 0.1	26.0	< 3	< 0.02	< 0.05	< 0.5
6005	< 2	< 5	< 0.5	< 50	< 0.5	4	16	121	< 1	6.34	2	< 1	< 5	< 1	2.21	< 20	69	< 0.1	21.1	< 3	< 0.02	< 0.05	< 0.5
6006	< 2	< 5	2.0	< 50	< 0.5	< 1	7	363	< 1	1.86	2	< 1	< 5	68	1.29	< 20	< 15	0.1	4.7	< 3	< 0.02	< 0.05	< 0.5

Analyte Symbol	Au	Ag	As	Ba	Br	Ca	Co	Cr	Cs	Fe	Hf	Hg	Ir	Mo	Na	Ni	Rb	Sb	Sc	Se	Sn	Sr	Ta
Unit Symbol	ppb	ppm	ppm	ppm	ppm	%	ppm	ppm	ppm	%	ppm	ppm	ppb	ppm	%	ppm	ppm	ppm	ppm	ppm	%	%	ppm
Detection Limit	2	5	0.5	50	0.5	1	1	5	1	0.01	1	1	5	1	0.01	20	15	0.1	0.1	3	0.02	0.05	0.5
Analysis Method	INAA	INAA	INAA	INAA	INAA	INAA	INAA	INAA	INAA	INAA	INAA	INAA	INAA	INAA	INAA	INAA	INAA	INAA	INAA	INAA	INAA	INAA	INAA
6007	13	< 5	7.4	< 50	< 0.5	11	34	145	< 1	8.32	2	< 1	< 5	24	0.73	< 20	< 15	< 0.1	25.5	< 3	< 0.02	0.07	< 0.5
6008	< 2	< 5	1.9	< 50	< 0.5	9	28	113	< 1	6.27	1	< 1	< 5	< 1	2.17	< 20	< 15	< 0.1	29.1	< 3	< 0.02	< 0.05	< 0.5
6009	< 2	< 5	2.9	250	< 0.5	7	48	321	< 1	6.15	< 1	< 1	< 5	< 1	1.28	< 20	< 15	< 0.1	22.7	< 3	< 0.02	< 0.05	< 0.5
6010	< 2	< 5	< 0.5	< 50	< 0.5	< 1	9	243	< 1	3.66	8	< 1	< 5	19	3.61	< 20	< 15	< 0.1	7.4	< 3	< 0.02	< 0.05	< 0.5
6011	< 2	< 5	2.6	< 50	< 0.5	3	32	72	< 1	8.83	2	< 1	< 5	21	1.82	< 20	< 15	< 0.1	33.4	< 3	< 0.02	< 0.05	< 0.5
6012	< 2	< 5	1.5	720	< 0.5	< 1	3	387	< 1	0.75	< 1	< 1	< 5	22	0.84	< 20	< 15	< 0.1	1.0	< 3	< 0.02	< 0.05	< 0.5
6013	< 2	< 5	< 0.5	280	< 0.5	7	43	62	< 1	8.97	2	< 1	< 5	< 1	2.22	< 20	< 15	< 0.1	28.4	< 3	< 0.02	< 0.05	< 0.5
6014	< 2	< 5	3.4	< 50	< 0.5	9	39	111	< 1	8.56	2	< 1	< 5	< 1	0.29	< 20	< 15	< 0.1	38.4	< 3	< 0.02	< 0.05	< 0.5
6015	< 2	< 5	< 0.5	380	< 0.5	2	26	112	< 1	6.30	3	< 1	< 5	< 1	2.07	< 20	53	< 0.1	23.0	< 3	< 0.02	< 0.05	< 0.5
6016	< 2	< 5	< 0.5	< 50	< 0.5	2	27	146	< 1	5.27	2	< 1	< 5	< 1	2.33	< 20	< 15	0.1	24.1	< 3	< 0.02	< 0.05	< 0.5
6017	< 2	< 5	6.2	< 50	< 0.5	< 1	16	232	< 1	3.81	3	< 1	< 5	20	2.88	< 20	< 15	0.4	16.2	< 3	< 0.02	< 0.05	< 0.5
6018	< 2	< 5	< 0.5	< 50	< 0.5	8	19	150	< 1	5.51	1	< 1	< 5	< 1	2.83	< 20	< 15	< 0.1	20.7	< 3	< 0.02	< 0.05	< 0.5
6019	17	< 5	< 0.5	< 50	< 0.5	6	27	166	< 1	5.48	2	< 1	< 5	11	0.70	< 20	< 15	< 0.1	17.8	< 3	< 0.02	< 0.05	< 0.5
6020 MR	524	< 5	297	< 50	< 0.5	2	43	212	< 1	7.18	3	< 1	< 5	< 1	1.66	< 20	< 15	0.6	15.1	< 3	< 0.02	< 0.05	< 0.5
6021	< 2	< 5	2.9	< 50	< 0.5	6	58	374	< 1	6.28	< 1	< 1	< 5	< 1	0.97	< 20	< 15	< 0.1	22.7	< 3	< 0.02	< 0.05	< 0.5
6022	< 2	< 5	1.3	< 50	< 0.5	8	54	309	< 1	6.93	< 1	< 1	< 5	< 1	0.99	120	< 15	< 0.1	26.5	< 3	< 0.02	< 0.05	< 0.5
6023	< 2	< 5	6.6	< 50	< 0.5	< 1	32	127	< 1	7.63	< 1	< 1	< 5	< 1	2.87	< 20	< 15	< 0.1	24.4	< 3	< 0.02	< 0.05	< 0.5
6024 BLC	< 2	< 5	2.1	< 50	< 0.5	15	10	61	< 1	2.02	2	< 1	< 5	< 1	0.13	< 20	< 15	< 0.1	5.5	< 3	< 0.02	< 0.05	< 0.5
6025	< 2	< 5	< 0.5	< 50	< 0.5	< 1	36	84	< 1	8.67	2	< 1	< 5	< 1	2.44	< 20	< 15	< 0.1	31.4	< 3	< 0.02	< 0.05	< 0.5
6026	< 2	< 5	1.8	< 50	< 0.5	< 1	6	260	< 1	2.27	< 1	< 1	< 5	18	1.16	< 20	< 15	< 0.1	6.7	< 3	< 0.02	< 0.05	< 0.5
6027	< 2	< 5	3.1	< 50	< 0.5	5	22	113	< 1	5.01	4	< 1	< 5	< 1	2.47	< 20	< 15	< 0.1	15.2	< 3	< 0.02	< 0.05	< 0.5
6028	< 2	< 5	3.0	< 50	< 0.5	< 1	26	104	< 1	5.54	3	< 1	< 5	< 1	2.35	< 20	< 15	< 0.1	22.9	< 3	< 0.02	< 0.05	< 0.5
6029	< 2	< 5	< 0.5	< 50	< 0.5	< 1	17	172	< 1	4.66	5	1	< 5	< 1	1.23	< 20	< 15	< 0.1	20.7	< 3	< 0.02	< 0.05	< 0.5
6030	< 2	< 5	3.2	< 50	< 0.5	< 1	18	128	< 1	6.46	2	< 1	< 5	< 1	0.81	< 20	< 15	0.8	24.4	< 3	< 0.02	< 0.05	< 0.5
6031	2450	< 5	8.3	< 50	< 0.5	< 1	< 1	208	< 1	2.25	6	< 1	< 5	197	2.64	< 20	< 15	< 0.1	2.4	< 3	< 0.02	< 0.05	< 0.5
6032	< 2	< 5	4.6	< 50	< 0.5	< 1	< 1	244	< 1	1.61	8	< 1	< 5	20	3.18	< 20	< 15	< 0.1	5.9	< 3	< 0.02	< 0.05	< 0.5
6033	501	< 5	4.8	< 50	< 0.5	< 1	< 1	219	< 1	1.81	7	< 1	< 5	< 1	2.97	< 20	< 15	< 0.1	5.6	< 3	< 0.02	< 0.05	< 0.5
6034	< 2	< 5	7.3	< 50	< 0.5	< 1	42	111	< 1	8.36	2	< 1	< 5	< 1	0.83	< 20	< 15	< 0.1	34.0	< 3	< 0.02	< 0.05	< 0.5
6035	< 2	< 5	5.6	< 50	< 0.5	< 1	< 1	326	< 1	2.58	4	< 1	< 5	17	1.95	< 20	< 15	< 0.1	9.0	< 3	< 0.02	< 0.05	< 0.5
6036	< 2	< 5	< 0.5	< 50	< 0.5	< 1	< 1	200	< 1	3.17	7	< 1	< 5	10	3.48	< 20	< 15	< 0.1	9.7	< 3	< 0.02	< 0.05	< 0.5
6037	< 2	< 5	< 0.5	< 50	< 0.5	< 1	7	134	< 1	4.67	6	< 1	< 5	< 1	3.78	< 20	< 15	< 0.1	16.9	< 3	< 0.02	< 0.05	< 0.5
6051	< 2	< 5	1.8	< 50	< 0.5	< 1	< 1	259	< 1	0.83	12	< 1	< 5	23	3.65	< 20	< 15	< 0.1	3.7	< 3	< 0.02	< 0.05	< 0.5
6052	< 2	< 5	< 0.5	< 50	< 0.5	< 1	< 1	236	< 1	1.41	11	< 1	< 5	18	2.93	< 20	< 15	< 0.1	5.3	< 3	< 0.02	< 0.05	< 0.5
6053	< 2	< 5	< 0.5	< 50	< 0.5	< 1	< 1	361	< 1	0.88	9	< 1	< 5	23	2.29	< 20	< 15	< 0.1	5.8	< 3	< 0.02	< 0.05	< 0.5
6054	< 2	< 5	< 0.5	< 50	< 0.5	< 1	< 1	335	< 1	1.73	2	< 1	< 5	15	1.50	< 20	< 15	0.4	6.1	< 3	< 0.02	< 0.05	< 0.5
6055	< 2	< 5	< 0.5	< 50	< 0.5	< 1	< 1	372	< 1	1.22	5	< 1	< 5	29	1.24	< 20	< 15	< 0.1	1.2	< 3	< 0.02	< 0.05	< 0.5
6056	< 2	< 5	< 0.5	760	< 0.5	4	43	145	< 1	8.73	3	< 1	< 5	< 1	1.48	< 20	< 15	0.4	31.1	< 3	< 0.02	< 0.05	< 0.5
6101	< 2	< 5	< 0.5	1410	< 0.5	3	63	318	6	6.67	< 1	< 1	< 5	< 1	1.39	< 20	< 15	< 0.1	23.5	< 3	< 0.02	< 0.05	< 0.5
6102	< 2	< 5	< 0.5	900	< 0.5	< 1	30	67	< 1	6.09	10	< 1	< 5	< 1	3.83	< 20	< 15	< 0.1	22.1	< 3	< 0.02	< 0.05	< 0.5
6103	< 2	< 5	4.5	< 50	< 0.5	< 1	15	87	< 1	5.35	4	< 1	< 5	< 1	4.39	< 20	< 15	< 0.1	22.6	< 3	< 0.02	< 0.05	< 0.5
6104	< 2	< 5	< 0.5	850	< 0.5	< 1	36	135	4	6.72	4	< 1	< 5	< 1	2.70	< 20	< 15	< 0.1	20.8	< 3	< 0.02	< 0.05	< 0.5
6105	< 2	< 5	< 0.5	1980	< 0.5	< 1	14	282	< 1	3.70	4	< 1	< 5	< 1	3.00	< 20	< 15	< 0.1	11.2	< 3	< 0.02	< 0.05	< 0.5
6106	< 2	< 5	< 0.5	4120	< 0.5	< 1	7	68	< 1	2.80	5	< 1	< 5	< 1	1.81	< 20	151	< 0.1	1.4	< 3	< 0.02	< 0.05	< 0.5
6107	< 2	< 5	7.3	< 50	< 0.5	3	32	112	< 1	6.74	3	< 1	< 5	< 1	3.08	< 20	< 15	< 0.1	20.5	< 3	< 0.02	< 0.05	< 0.5
6108	< 2	< 5	< 0.5	430	< 0.5	< 1	23	181	< 1	7.50	4	< 1	< 5	< 1	2.11	< 20	< 15	0.1	20.7	< 3	< 0.02	< 0.05	< 0.5
6109	< 2	< 5	< 0.5	< 50	< 0.5	< 1	46	74	< 1	8.70	< 1	< 1	< 5	< 1	3.25	< 20	< 15	0.1	33.1	< 3	< 0.02	< 0.05	< 0.5
6110	< 2	< 5	3.6	< 50	< 0.5	< 1	29	43	< 1	7.54	2	< 1	< 5	< 1	3.94	< 20	< 15	< 0.1	33.1	< 3	< 0.02	< 0.05	< 0.5
6111	< 2	< 5	< 0.5	< 50	< 0.5	< 1	10	104	< 1	5.93	8	< 1	< 5	11	3.28	< 20	< 15	< 0.1	13.8	< 3	< 0.02	< 0.05	< 0.5
6112	< 2	< 5	< 0.5	< 50	< 0.5	< 1	11	142	< 1	8.15	6	< 1	< 5	< 1	2.56	< 20	< 15	< 0.1	19.0	< 3	< 0.02	< 0.05	< 0.5
6113	< 2	< 5	< 0.5	940	< 0.5	2	16	105	4	8.71	8	< 1	< 5	< 1	3.23	< 20	< 15	< 0.1	22.5	< 3	< 0.02	0.48	< 0.5

Analyte Symbol	Au	Ag	As	Ba	Br	Ca	Co	Cr	Cs	Fe	Hf	Hg	Ir	Mo	Na	Ni	Rb	Sb	Sc	Se	Sn	Sr	Ta
Unit Symbol	ppb	ppm	ppm	ppm	ppm	%	ppm	ppm	ppm	%	ppm	ppm	ppb	ppm	%	ppm	ppm	ppm	ppm	ppm	%	%	ppm
Detection Limit	2	5	0.5	50	0.5	1	1	5	1	0.01	1	1	5	1	0.01	20	15	0.1	0.1	3	0.02	0.05	0.5
Analysis Method	INAA	INAA	INAA	INAA	INAA	INAA	INAA	INAA	INAA	INAA	INAA	INAA	INAA	INAA	INAA	INAA	INAA	INAA	INAA	INAA	INAA	INAA	INAA
6114	< 2	< 5	< 0.5	< 50	< 0.5	4	25	239	< 1	4.89	3	< 1	< 5	15	0.85	< 20	< 15	< 0.1	15.8	< 3	< 0.02	< 0.05	< 0.5
6115	< 2	< 5	< 0.5	< 50	< 0.5	2	11	138	< 1	6.27	4	< 1	< 5	< 1	3.31	< 20	< 15	< 0.1	21.9	< 3	< 0.02	< 0.05	< 0.5
6116	< 2	< 5	< 0.5	400	< 0.5	1	8	138	< 1	5.20	4	< 1	< 5	120	3.45	< 20	< 15	< 0.1	19.5	< 3	< 0.02	< 0.05	< 0.5
6117	< 2	< 5	< 0.5	940	< 0.5	< 1	9	80	< 1	6.38	6	< 1	< 5	< 1	3.63	< 20	< 15	< 0.1	22.0	< 3	< 0.02	< 0.05	< 0.5
6118	< 2	< 5	< 0.5	970	< 0.5	< 1	39	44	< 1	8.40	4	< 1	< 5	< 1	3.20	< 20	< 15	< 0.1	29.0	< 3	< 0.02	< 0.05	< 0.5
6119	< 2	< 5	5.0	1420	< 0.5	< 1	33	72	< 1	6.94	4	< 1	< 5	13	3.88	< 20	< 15	< 0.1	21.3	< 3	< 0.02	< 0.05	< 0.5
6120 BLC	< 2	< 5	4.0	< 50	< 0.5	10	12	57	2	2.20	2	< 1	< 5	< 1	0.18	< 20	59	0.4	6.5	< 3	< 0.02	0.12	< 0.5
6121	< 2	< 5	2.6	1560	< 0.5	5	58	500	6	6.14	3	< 1	< 5	< 1	0.49	< 20	112	< 0.1	37.7	< 3	< 0.02	< 0.05	< 0.5
6122	< 2	< 5	2.1	4240	< 0.5	< 1	20	180	< 1	3.59	5	< 1	< 5	< 1	2.61	< 20	< 15	< 0.1	9.9	< 3	< 0.02	0.49	< 0.5
6123 MR	1750	< 5	2420	< 50	< 0.5	5	50	199	< 1	8.40	3	< 1	< 5	< 1	1.89	< 20	< 15	3.6	16.9	< 3	< 0.02	< 0.05	< 0.5
6124	< 2	< 5	< 0.5	6440	< 0.5	2	21	281	< 1	2.95	6	< 1	< 5	< 1	1.99	< 20	187	< 0.1	7.7	< 3	< 0.02	0.46	< 0.5
6125	< 2	< 5	< 0.5	1210	< 0.5	3	53	342	< 1	7.77	5	< 1	< 5	15	1.37	< 20	< 15	< 0.1	35.2	< 3	< 0.02	< 0.05	< 0.5
6126	< 2	< 5	< 0.5	1870	< 0.5	5	70	261	< 1	11.0	4	< 1	< 5	< 1	0.47	< 20	53	< 0.1	44.7	< 3	< 0.02	< 0.05	< 0.5
6127	< 2	< 5	< 0.5	1140	< 0.5	3	57	340	< 1	7.46	3	< 1	< 5	< 1	1.84	< 20	< 15	< 0.1	31.9	< 3	< 0.02	0.32	< 0.5
6128	< 2	< 5	< 0.5	< 50	< 0.5	< 1	11	110	< 1	5.55	6	< 1	< 5	< 1	2.78	< 20	< 15	< 0.1	18.4	< 3	< 0.02	< 0.05	< 0.5
6129	< 2	< 5	4.7	1200	< 0.5	3	46	111	< 1	8.09	7	< 1	< 5	< 1	1.99	< 20	< 15	< 0.1	30.4	< 3	< 0.02	< 0.05	< 0.5
6130	21	< 5	3.9	380	< 0.5	< 1	24	207	< 1	4.77	2	< 1	< 5	< 1	3.01	< 20	< 15	< 0.1	22.0	< 3	< 0.02	< 0.05	< 0.5
6131	< 2	< 5	1.7	< 50	< 0.5	3	26	121	< 1	6.28	3	< 1	< 5	24	2.38	< 20	< 15	< 0.1	26.8	< 3	< 0.02	< 0.05	< 0.5
6132	< 2	< 5	10.3	570	< 0.5	< 1	11	153	< 1	3.69	5	< 1	< 5	19	2.85	< 20	< 15	0.5	10.6	< 3	< 0.02	< 0.05	< 0.5
6133	< 2	< 5	5.4	< 50	< 0.5	2	28	52	< 1	7.99	2	< 1	< 5	< 1	3.12	< 20	< 15	< 0.1	32.9	< 3	< 0.02	< 0.05	< 0.5
6134	< 2	< 5	4.5	610	< 0.5	5	50	67	< 1	10.9	4	< 1	< 5	< 1	2.00	< 20	< 15	< 0.1	27.1	< 3	< 0.02	< 0.05	< 0.5
6135	< 2	< 5	< 0.5	1050	< 0.5	7	41	146	< 1	9.73	3	< 1	< 5	< 1	1.90	< 20	< 15	< 0.1	42.0	< 3	< 0.02	< 0.05	< 0.5
6136	< 2	< 5	< 0.5	< 50	< 0.5	2	55	65	< 1	10.0	2	< 1	< 5	< 1	2.49	< 20	< 15	< 0.1	39.5	< 3	< 0.02	< 0.05	< 0.5
6137	< 2	< 5	< 0.5	640	< 0.5	2	36	95	< 1	6.39	2	< 1	< 5	< 1	2.95	< 20	98	< 0.1	30.1	< 3	< 0.02	< 0.05	< 0.5
6138	< 2	< 5	3.5	1790	< 0.5	< 1	20	35	< 1	8.05	7	< 1	< 5	< 1	1.74	< 20	< 15	< 0.1	27.2	< 3	< 0.02	< 0.05	< 0.5
6139	< 2	< 5	< 0.5	690	< 0.5	2	39	141	< 1	7.07	3	< 1	< 5	< 1	2.74	< 20	< 15	< 0.1	30.9	< 3	< 0.02	0.35	< 0.5
6140	< 2	< 5	< 0.5	< 50	< 0.5	< 1	9	118	< 1	5.62	4	< 1	< 5	15	2.61	< 20	< 15	< 0.1	19.8	< 3	< 0.02	< 0.05	< 0.5
6141	< 2	< 5	< 0.5	< 50	2.6	< 1	< 1	232	< 1	2.68	6	< 1	< 5	20	3.32	< 20	< 15	< 0.1	7.3	< 3	< 0.02	< 0.05	< 0.5
6142	< 2	< 5	< 0.5	< 50	< 0.5	< 1	6	232	< 1	3.66	7	< 1	< 5	11	2.71	< 20	< 15	< 0.1	10.9	< 3	< 0.02	< 0.05	< 0.5
6143	28	< 5	< 0.5	< 50	< 0.5	3	29	143	< 1	6.73	1	< 1	< 5	< 1	1.86	< 20	< 15	< 0.1	32.2	< 3	< 0.02	< 0.05	< 0.5
6144 MR	1580	< 5	2160	< 50	< 0.5	2	49	204	< 1	7.75	3	< 1	< 5	< 1	1.75	< 20	< 15	4.1	15.9	< 3	< 0.02	< 0.05	< 0.5
6145	17800	< 5	< 0.5	< 50	< 0.5	< 1	15	400	< 1	3.08	< 1	< 1	< 5	32	0.48	< 20	18	< 0.1	4.1	< 3	< 0.02	< 0.05	< 0.5
6146	41	< 5	2.9	450	< 0.5	< 1	5	248	< 1	1.43	8	< 1	< 5	10	3.40	< 20	< 15	< 0.1	9.2	< 3	< 0.02	< 0.05	< 0.5
6147	10600	< 5	< 0.5	< 50	< 0.5	< 1	11	366	< 1	1.74	5	< 1	< 5	86	0.90	< 20	< 15	< 0.1	3.9	< 3	< 0.02	< 0.05	< 0.5
6148	592	< 5	1.4	270	< 0.5	< 1	< 1	351	< 1	0.64	5	< 1	< 5	19	1.43	< 20	< 15	< 0.1	3.4	< 3	< 0.02	< 0.05	< 0.5
6149 BLC	< 2	< 5	4.1	170	< 0.5	13	13	54	4	2.20	3	< 1	< 5	< 1	0.17	< 20	< 15	< 0.1	6.8	< 3	< 0.02	< 0.05	< 0.5
6150	< 2	< 5	< 0.5	490	< 0.5	3	22	147	< 1	4.63	3	< 1	< 5	< 1	1.14	< 20	121	< 0.1	19.3	< 3	< 0.02	< 0.05	< 0.5

Results

Analyte Symbol	Th	U	W	Zn	La	Ce	Nd	Sm	Eu	Tb	Yb	Lu	Mass
Unit Symbol	ppm	ppm	ppm	ppm	ppm	ppm	ppm	ppm	ppm	ppm	ppm	ppm	g
Detection Limit	0.2	0.5	1	50	0.5	3	5	0.1	0.2	0.5	0.2	0.05	
Analysis Method	INAA	INAA	INAA	INAA	INAA	INAA	INAA	INAA	INAA	INAA	INAA	INAA	INAA
2520	3.4	< 0.5	< 1	< 50	12.0	27	< 5	3.3	0.9	< 0.5	2.6	0.07	25.7
2522	5.8	< 0.5	< 1	< 50	20.9	54	24	6.2	0.8	< 0.5	5.9	0.35	25.3
2523	< 0.2	< 0.5	< 1	< 50	4.9	< 3	17	2.2	0.3	< 0.5	1.9	< 0.05	28.6
2524 BLC	2.5	< 0.5	< 1	< 50	15.4	31	< 5	4.6	1.4	< 0.5	3.8	0.14	28.3
2526	3.9	< 0.5	< 1	< 50	5.4	27	< 5	1.8	< 0.2	< 0.5	4.9	0.23	27.2
2527	3.2	< 0.5	< 1	< 50	5.4	30	21	2.9	1.0	< 0.5	4.4	0.24	26.6
2528	3.9	< 0.5	< 1	< 50	9.1	32	< 5	5.4	0.6	< 0.5	5.3	0.33	23.5
2529	8.4	< 0.5	< 1	< 50	26.2	72	23	4.6	1.0	< 0.5	7.5	0.42	28.8
2530	8.2	< 0.5	< 1	< 50	29.5	82	28	6.2	< 0.2	< 0.5	8.0	0.43	24.2
2531	2.3	< 0.5	< 1	< 50	51.8	121	41	11.6	1.9	1.6	7.8	0.40	27.5
2532 MR	< 0.2	< 0.5	< 1	190	23.1	29	< 5	4.6	< 0.2	< 0.5	2.2	0.19	17.7
2533	1.4	< 0.5	< 1	< 50	4.0	15	< 5	3.1	0.9	< 0.5	3.5	0.22	27.7
2534	1.6	< 0.5	< 1	< 50	1.1	< 3	< 5	0.4	< 0.2	< 0.5	2.6	0.13	24.0
2535	4.8	< 0.5	< 1	< 50	10.4	44	< 5	4.0	1.2	< 0.5	5.5	0.32	28.7
2536	1.0	< 0.5	< 1	< 50	8.3	25	< 5	3.0	0.8	< 0.5	3.1	0.07	27.1
2537	2.9	< 0.5	< 1	< 50	23.1	68	23	7.1	1.0	1.3	6.2	0.33	24.8
2538	3.7	< 0.5	< 1	< 50	18.4	66	25	6.7	0.7	< 0.5	5.6	0.30	21.8
2540	< 0.2	< 0.5	< 1	< 50	2.9	17	< 5	1.4	< 0.2	< 0.5	2.0	< 0.05	28.5
2541	7.4	< 0.5	< 1	< 50	12.4	52	28	8.5	0.9	1.4	9.5	0.56	25.6
2542 BLC	5.0	< 0.5	< 1	< 50	22.5	53	21	3.7	1.1	< 0.5	1.7	< 0.05	26.6
2543	4.3	< 0.5	< 1	< 50	13.5	54	23	5.7	1.4	< 0.5	6.3	0.38	21.7
3071	7.0	< 0.5	< 1	< 50	8.2	18	< 5	2.6	1.4	< 0.5	4.3	0.25	25.0
3072	< 0.2	< 0.5	< 1	< 50	1.1	< 3	< 5	0.3	0.5	< 0.5	0.8	< 0.05	24.5
3073	2.4	< 0.5	< 1	< 50	7.4	30	< 5	2.4	1.8	< 0.5	5.1	0.25	28.1
3074	< 0.2	< 0.5	< 1	< 50	3.0	< 3	< 5	1.3	< 0.2	< 0.5	4.3	0.25	23.9
3075	0.6	2.1	< 1	< 50	5.4	23	< 5	2.5	< 0.2	0.6	4.1	0.22	27.6
3120	2.6	< 0.5	< 1	60	53.3	130	70	10.8	< 0.2	0.9	0.9	< 0.05	19.1
3121	4.3	2.1	< 1	270	107	301	131	22.5	4.6	< 0.5	2.4	< 0.05	22.9
3122	3.6	< 0.5	< 1	< 50	15.8	47	14	6.6	1.3	< 0.5	6.1	0.35	23.6
3123	3.5	1.7	< 1	< 50	2.6	18	< 5	3.8	0.6	< 0.5	4.8	0.27	22.6
3124	4.0	< 0.5	< 1	< 50	21.0	50	13	3.6	0.7	< 0.5	1.5	< 0.05	22.8
3125	< 0.2	< 0.5	< 1	< 50	7.5	7	< 5	2.2	< 0.2	< 0.5	1.4	< 0.05	26.8
3126	4.2	< 0.5	< 1	< 50	17.8	59	< 5	4.3	< 0.2	< 0.5	5.8	0.33	20.5
3127	3.4	< 0.5	< 1	< 50	22.1	62	23	6.4	1.2	< 0.5	5.7	0.31	24.0
3128	0.9	< 0.5	< 1	< 50	3.4	11	< 5	1.3	< 0.2	< 0.5	1.6	0.09	23.4
3129	1.5	< 0.5	< 1	< 50	12.5	53	16	3.7	0.9	0.5	3.9	0.25	23.7
3189	3.7	< 0.5	< 1	< 50	25.5	68	33	10.3	3.5	1.4	10.7	0.49	34.1
3190	3.9	< 0.5	< 1	< 50	15.1	58	17	5.4	2.0	< 0.5	5.3	0.30	26.7
3191 MR	2.5	< 0.5	< 1	140	19.7	34	13	4.4	0.6	< 0.5	2.7	0.12	21.2
3192	3.1	< 0.5	< 1	< 50	16.4	58	14	5.7	0.9	< 0.5	5.3	0.31	21.0
3193	2.3	< 0.5	< 1	< 50	10.0	27	14	3.7	1.6	0.6	4.6	0.26	25.7
3194	2.2	< 0.5	< 1	< 50	37.7	107	42	12.3	1.5	0.9	5.4	0.26	22.6
3195	1.1	< 0.5	< 1	< 50	5.7	28	21	4.8	0.4	< 0.5	4.7	0.27	21.6
6001	1.2	< 0.5	< 1	< 50	10.9	23	17	4.4	0.7	< 0.5	3.6	0.14	24.5
6002	1.7	< 0.5	< 1	< 50	13.3	45	14	5.2	1.2	< 0.5	3.6	0.13	23.9
6003	0.9	< 0.5	< 1	< 50	10.5	24	17	2.9	1.1	< 0.5	2.4	0.13	24.9
6004	1.0	< 0.5	< 1	< 50	8.4	21	< 5	2.9	0.6	< 0.5	2.3	0.05	26.4
6005	1.7	< 0.5	< 1	80	12.6	42	22	5.1	1.5	0.7	4.1	0.15	25.1
6006	1.5	2.0	< 1	< 50	5.2	11	< 5	1.3	0.4	< 0.5	1.3	0.05	21.5

Analyte Symbol	Th	U	W	Zn	La	Ce	Nd	Sm	Eu	Tb	Yb	Lu	Mass
Unit Symbol	ppm	ppm	ppm	ppm	ppm	ppm	ppm	ppm	ppm	ppm	ppm	ppm	g
Detection Limit	0.2	0.5	1	50	0.5	3	5	0.1	0.2	0.5	0.2	0.05	
Analysis Method	INAA	INAA	INAA	INAA	INAA	INAA	INAA	INAA	INAA	INAA	INAA	INAA	INAA
6007	< 0.2	< 0.5	< 1	< 50	10.2	29	< 5	2.6	0.9	< 0.5	2.0	< 0.05	27.2
6008	< 0.2	< 0.5	< 1	< 50	9.1	24	< 5	3.4	0.7	< 0.5	2.6	< 0.05	24.2
6009	< 0.2	< 0.5	< 1	110	2.8	< 3	< 5	1.1	< 0.2	< 0.5	1.0	< 0.05	25.6
6010	4.0	< 0.5	< 1	< 50	88.1	220	96	19.5	2.0	< 0.5	6.4	0.37	22.8
6011	< 0.2	< 0.5	< 1	170	7.3	24	< 5	3.0	1.1	< 0.5	2.6	0.09	23.1
6012	< 0.2	< 0.5	< 1	< 50	1.5	< 3	< 5	0.2	< 0.2	< 0.5	< 0.2	< 0.05	23.0
6013	< 0.2	< 0.5	< 1	< 50	22.6	62	21	6.2	1.8	< 0.5	3.0	0.07	27.0
6014	0.5	< 0.5	< 1	150	10.5	28	10	3.5	0.9	< 0.5	2.6	0.05	24.6
6015	1.1	< 0.5	< 1	< 50	9.1	22	< 5	3.5	1.0	< 0.5	2.4	0.10	21.1
6016	< 0.2	< 0.5	< 1	140	6.5	13	< 5	2.3	< 0.2	< 0.5	1.9	0.07	22.0
6017	2.3	< 0.5	< 1	< 50	14.8	47	14	5.5	0.6	0.6	4.1	0.18	22.3
6018	1.2	< 0.5	< 1	< 50	14.2	33	20	4.8	1.2	0.6	3.2	0.14	26.3
6019	1.3	< 0.5	< 1	< 50	8.6	31	11	2.6	0.6	< 0.5	2.0	0.05	28.0
6020 MR	4.5	< 0.5	< 1	< 50	19.6	53	23	5.1	1.2	< 0.5	1.9	< 0.05	19.9
6021	< 0.2	< 0.5	< 1	< 50	1.6	6	< 5	1.0	0.6	< 0.5	1.0	< 0.05	27.8
6022	< 0.2	< 0.5	< 1	< 50	2.3	< 3	< 5	1.3	0.3	< 0.5	1.3	< 0.05	25.5
6023	< 0.2	< 0.5	< 1	< 50	6.7	18	< 5	2.3	0.4	< 0.5	1.6	< 0.05	24.8
6024 BLC	4.8	1.5	< 1	< 50	19.3	35	23	3.1	0.3	< 0.5	1.5	0.13	21.5
6025	< 0.2	< 0.5	< 1	< 50	6.7	12	< 5	2.2	< 0.2	< 0.5	2.8	0.15	25.7
6026	< 0.2	< 0.5	< 1	< 50	6.0	10	< 5	1.6	< 0.2	< 0.5	1.5	0.17	22.1
6027	4.7	< 0.5	< 1	< 50	11.8	22	< 5	2.7	0.6	< 0.5	2.1	0.17	20.8
6028	< 0.2	< 0.5	< 1	< 50	9.4	15	< 5	2.5	0.8	< 0.5	2.8	0.22	21.7
6029	5.8	< 0.5	< 1	< 50	17.4	25	23	4.6	0.8	1.8	3.9	0.36	24.5
6030	4.3	< 0.5	< 1	< 50	9.0	17	< 5	3.1	0.7	< 0.5	2.5	0.22	23.6
6031	4.1	< 0.5	8	< 50	5.9	18	< 5	1.7	0.4	1.3	4.8	0.44	22.6
6032	6.4	< 0.5	< 1	< 50	28.2	61	27	7.2	< 0.2	< 0.5	6.5	0.60	21.9
6033	7.0	< 0.5	< 1	< 50	27.8	66	24	6.7	0.7	< 0.5	6.6	0.64	23.5
6034	< 0.2	< 0.5	< 1	< 50	5.4	9	< 5	2.2	0.8	< 0.5	2.5	0.21	23.6
6035	2.9	< 0.5	< 1	< 50	7.9	19	< 5	2.4	0.7	< 0.5	2.4	0.27	25.7
6036	5.3	< 0.5	< 1	< 50	22.3	49	18	10.3	1.8	< 0.5	7.3	0.67	23.2
6037	< 0.2	< 0.5	< 1	< 50	17.7	36	21	6.0	1.1	< 0.5	4.2	0.36	25.1
6051	15.3	< 0.5	< 1	< 50	10.6	30	9	6.1	< 0.2	< 0.5	5.0	0.51	25.5
6052	5.7	1.8	< 1	< 50	14.0	41	14	7.8	1.5	1.9	10.0	0.88	27.2
6053	5.6	< 0.5	< 1	< 50	7.1	19	12	4.1	1.0	< 0.5	5.3	0.40	27.1
6054	11.9	< 0.5	< 1	< 50	14.6	38	13	6.5	1.1	< 0.5	4.6	0.42	26.6
6055	< 0.2	< 0.5	< 1	< 50	1.1	4	< 5	1.1	0.5	< 0.5	2.2	0.20	28.5
6056	1.6	< 0.5	< 1	< 50	12.6	21	11	5.6	0.9	1.6	4.0	0.28	31.7
6101	< 0.2	< 0.5	< 1	< 50	2.5	< 3	< 5	1.2	< 0.2	< 0.5	1.4	0.09	28.8
6102	16.8	< 0.5	< 1	< 50	63.7	94	26	10.2	2.8	< 0.5	4.8	0.28	29.0
6103	3.8	< 0.5	< 1	< 50	22.2	34	7	5.6	1.8	< 0.5	4.0	0.27	28.6
6104	1.8	< 0.5	< 1	< 50	15.5	32	< 5	5.2	1.4	< 0.5	2.5	0.10	27.5
6105	5.8	1.9	< 1	< 50	25.3	42	17	6.2	1.1	< 0.5	1.6	< 0.05	26.1
6106	2.7	2.5	< 1	150	43.5	74	26	7.7	1.7	1.0	2.6	0.28	27.6
6107	4.0	< 0.5	< 1	< 50	13.5	25	6	4.2	0.6	< 0.5	2.8	0.19	29.9
6108	1.4	< 0.5	< 1	100	18.6	39	18	6.2	2.7	< 0.5	4.3	0.31	26.4
6109	< 0.2	< 0.5	< 1	< 50	3.6	5	< 5	1.7	< 0.2	< 0.5	1.9	0.07	29.3
6110	0.9	< 0.5	< 1	< 50	6.5	11	< 5	3.0	0.5	< 0.5	2.4	0.13	27.8
6111	11.1	3.9	< 1	< 50	32.8	52	17	6.2	1.8	1.2	4.7	0.37	30.1
6112	0.9	< 0.5	< 1	< 50	14.5	30	10	6.0	1.7	< 0.5	4.5	0.45	30.6
6113	3.8	3.8	< 1	< 50	63.4	87	36	9.4	2.8	1.3	4.5	0.26	30.5

Analyte Symbol	Th	U	W	Zn	La	Ce	Nd	Sm	Eu	Tb	Yb	Lu	Mass
Unit Symbol	ppm	ppm	ppm	ppm	ppm	ppm	ppm	ppm	ppm	ppm	ppm	ppm	g
Detection Limit	0.2	0.5	1	50	0.5	3	5	0.1	0.2	0.5	0.2	0.05	
Analysis Method	INAA	INAA	INAA	INAA	INAA	INAA	INAA	INAA	INAA	INAA	INAA	INAA	INAA
6114	1.3	< 0.5	< 1	< 50	12.4	26	15	3.5	1.3	< 0.5	1.9	0.09	28.3
6115	2.1	< 0.5	< 1	< 50	16.2	33	12	4.2	1.1	< 0.5	3.2	0.25	23.1
6116	1.8	< 0.5	< 1	< 50	12.1	19	8	3.5	0.6	< 0.5	2.8	0.19	24.3
6117	2.2	< 0.5	< 1	< 50	22.7	45	21	7.3	2.3	< 0.5	4.9	0.38	27.9
6118	1.8	< 0.5	< 1	< 50	11.6	23	< 5	3.2	0.5	< 0.5	2.6	0.26	25.3
6119	< 0.2	< 0.5	< 1	< 50	13.1	29	9	3.1	1.1	< 0.5	2.2	0.10	23.6
6120 BLC	4.6	0.7	< 1	< 50	19.3	38	18	3.2	0.9	< 0.5	1.5	< 0.05	21.0
6121	1.7	< 0.5	< 1	< 50	58.3	109	66	14.3	3.3	< 0.5	1.3	< 0.05	23.2
6122	5.8	< 0.5	< 1	< 50	124	215	82	19.4	4.6	0.9	2.0	0.23	25.6
6123 MR	4.5	< 0.5	< 1	< 50	17.3	29	< 5	3.9	0.9	< 0.5	1.6	0.05	17.9
6124	1.4	< 0.5	< 1	< 50	97.4	188	80	13.8	3.0	< 0.5	1.9	0.15	23.2
6125	3.5	8.5	< 1	< 50	49.1	98	45	11.5	3.5	1.2	2.8	0.09	26.8
6126	1.4	< 0.5	< 1	120	26.5	60	29	7.8	1.9	< 0.5	2.3	< 0.05	33.6
6127	< 0.2	< 0.5	< 1	< 50	7.3	14	< 5	1.6	0.6	< 0.5	1.2	< 0.05	27.3
6128	1.3	< 0.5	< 1	< 50	10.0	18	< 5	4.2	0.9	1.1	4.1	0.31	26.3
6129	10.0	< 0.5	< 1	< 50	64.4	114	43	12.1	2.9	< 0.5	3.1	0.23	27.1
6130	3.0	1.4	< 1	< 50	5.3	13	< 5	1.3	< 0.2	< 0.5	1.9	0.09	24.0
6131	2.7	< 0.5	< 1	140	7.5	15	13	2.4	0.5	< 0.5	2.1	0.10	24.1
6132	3.4	< 0.5	< 1	< 50	13.7	30	15	3.3	< 0.2	< 0.5	2.8	0.20	20.0
6133	< 0.2	< 0.5	< 1	< 50	6.7	10	< 5	2.4	0.8	< 0.5	2.3	0.15	27.0
6134	3.3	2.8	< 1	< 50	22.5	42	16	5.2	2.0	< 0.5	4.5	0.25	30.1
6135	< 0.2	< 0.5	< 1	< 50	7.9	16	< 5	2.6	0.7	< 0.5	2.4	0.11	30.0
6136	1.9	< 0.5	< 1	< 50	7.0	10	< 5	2.8	0.7	< 0.5	2.6	0.12	28.9
6137	2.8	< 0.5	< 1	< 50	10.6	18	12	2.5	0.6	< 0.5	2.5	0.10	29.8
6138	3.1	< 0.5	< 1	< 50	17.2	37	14	5.9	1.5	< 0.5	5.5	0.42	28.5
6139	3.2	< 0.5	< 1	< 50	7.1	14	< 5	1.8	1.4	< 0.5	1.4	0.10	25.1
6140	2.4	< 0.5	< 1	< 50	8.4	22	< 5	3.8	0.9	< 0.5	3.5	0.32	26.4
6141	4.8	< 0.5	< 1	< 50	16.3	35	11	4.3	0.6	< 0.5	4.7	0.34	22.8
6142	2.9	< 0.5	< 1	< 50	15.0	35	14	4.7	0.8	0.9	4.2	0.51	27.1
6143	< 0.2	< 0.5	< 1	< 50	4.4	9	< 5	1.7	0.3	< 0.5	1.8	0.22	25.6
6144 MR	2.9	< 0.5	< 1	< 50	15.2	25	< 5	3.8	1.0	< 0.5	1.6	0.17	23.4
6145	< 0.2	< 0.5	4580	230	4.0	23	< 5	2.3	0.7	< 0.5	2.9	0.15	24.3
6146	4.7	< 0.5	< 1	< 50	20.6	45	12	5.5	0.6	2.1	6.1	0.57	23.1
6147	2.3	< 0.5	< 1	< 50	8.1	18	< 5	2.2	0.2	< 0.5	2.2	0.14	24.2
6148	2.7	2.1	< 1	200	5.1	15	< 5	1.4	< 0.2	< 0.5	2.9	0.20	22.3
6149 BLC	5.4	< 0.5	< 1	< 50	19.0	41	29	3.7	0.8	< 0.5	1.7	< 0.05	21.5
6150	1.6	< 0.5	< 1	130	9.2	19	13	2.9	0.8	< 0.5	1.8	0.08	25.2

QC

Analyte Symbol	Au	Ag	As	Ba	Br	Ca	Co	Cr	Cs	Fe	Hf	Hg	Ir	Mo	Na	Ni	Rb	Sb	Sc	Se	Sn	Sr	Ta
Unit Symbol	ppb	ppm	ppm	ppm	ppm	%	ppm	ppm	ppm	%	ppm	ppm	ppb	ppm	%	ppm	ppm	ppm	ppm	ppm	%	%	ppm
Detection Limit	2	5	0.5	50	0.5	1	1	5	1	0.01	1	1	5	1	0.01	20	15	0.1	0.1	3	0.02	0.05	0.5
Analysis Method	INAA	INAA	INAA	INAA	INAA	INAA	INAA	INAA	INAA	INAA	INAA	INAA	INAA	INAA	INAA	INAA	INAA	INAA	INAA	INAA	INAA	INAA	INAA
DMMAS 117 Meas	1780		1710	1070			46	72		3.16					1.86			7.0	5.6				
DMMAS 117 Cert	1718		1745	1228			42	76		3.11					1.96			6.7	6.6				
DMMAS 117 Meas	1730		1720	1430			47	87		3.22					1.84			6.3	5.8				
DMMAS 117 Cert	1718		1745	1228			42	76		3.11					1.96			6.7	6.6				
DMMAS 117 Meas	1640		1670	1260			48	69		3.26					1.80			6.1	5.6				
DMMAS 117 Cert	1718		1745	1228			42	76		3.11					1.96			6.7	6.6				
Method Blank	< 2	< 5	< 0.5	< 50	< 0.5	< 1	< 1	< 5	< 1	0.02	< 1	< 1	< 5	< 1	< 0.01	< 20	< 15	< 0.1	0.1	< 3	< 0.02	< 0.05	< 0.5

QC

Analyte Symbol	Th	U	W	Zn	La	Ce	Nd	Sm	Eu	Tb	Yb	Lu	Mass
Unit Symbol	ppm	ppm	ppm	ppm	ppm	ppm	ppm	ppm	ppm	ppm	ppm	ppm	g
Detection Limit	0.2	0.5	1	50	0.5	3	5	0.1	0.2	0.5	0.2	0.05	
Analysis Method	INAA	INAA	INAA	INAA	INAA	INAA	INAA	INAA	INAA	INAA	INAA	INAA	INAA
DMMAS 117 Meas		12.2			15.6	33		1.9					
DMMAS 117 Cert		11.8			15.6	31		2.6					
DMMAS 117 Meas		11.9			15.1	24		2.0					
DMMAS 117 Cert		11.8			15.6	31		2.6					
DMMAS 117 Meas		13.4			16.3	26		2.0					
DMMAS 117 Cert		11.8			15.6	31		2.6					
Method Blank	< 0.2	< 0.5	< 1	< 50	< 0.5	< 3	< 5	< 0.1	< 0.2	< 0.5	< 0.2	< 0.05	30.0



TECHNI-LAB

pyroanalyse
géochimie
environnement

Client :

Monsieur Hugues De Corta

Falco Pacific Ressource Group
93, rue Arsenault, suite 201
Val d'Or (Québec) J9P 0E9

Date d'émission: 21 août 2014

Date de réception: 8 août 2014

Date d'analyses: 21 août 2014

Projet: 17903

Certificat: 34466

CERTIFICAT D'ANALYSE

Notes :

Ce certificat remplace et annule tous certificats antérieurs, le cas échéant.

® Ce document est pour l'usage exclusif du client et ne peut être reproduit, sinon en entier, sans l'autorisation écrite de Techni-Lab S. G. B. Abitibi inc. Si vous avez reçu ce certificat par erreur, soyez avisé que tout usage, reproduction ou distribution de celui-ci est strictement interdit. Les échantillons seront conservés pendant 30 jours à partir de la date du certificat à moins d'avis écrit du client.

® Ces résultats ne se rapportent qu'aux échantillons soumis pour analyse.



Les résultats des échantillons sont vérifiés et approuvés par :


Mathieu RANCOURT, chimiste 2007-109





TECHNI-LAB

pyroanalyse
géochimie
environnement

CERTIFICAT D'ANALYSE

À l'attention de Monsieur Hugues De Corta

Client Falco Pacific Ressource Group
93, rue Arsenault, suite 201
Val d'Or (Québec) J9P 0E9

Date d'émission: 21 août 2014
Date de réception : 8 août 2014
Date d'analyses : 21 août 2014
Projet : 17903
Certificat : 34466

Échantillon #	Cu ppm
------------------	-----------

Méthode utilisée: TMT-G5F

2520	41
2522	16
2523	87
2524	180
2526	6
2527	5
2528	4
2529	16
2530	9
2531	4
2532	186
2533	5
2534	5
2535	3
2536	87
2537	9
2538	15
2540	114
2541	3
2542	15
2543	4
3071	137
3072	5
3073	4
3074	4
3075	4
3120	49
3121	34
3122	3
3123	5
3124	12
3125	13
3126	10
3127	4
3128	3
3129	3
3189	2

217



TECHNI-LAB

pyroanalyse
géochimie
environnement

CERTIFICAT D'ANALYSE

À l'attention de Monsieur Hugues De Corta

Client Falco Pacific Ressource Group
93, rue Arsenault, suite 201
Val d'Or (Québec) J9P 0E9

Date d'émission: 21 août 2014
Date de réception : 8 août 2014
Date d'analyses : 21 août 2014
Projet : 17903
Certificat : 34466

Échantillon #	Cu ppm
------------------	-----------

Méthode utilisée: TMT-G5F

3190	3
3191	189
3192	3
3193	3
3194	5
3195	3
6001	81
6002	5
6003	101
6004	123
6005	29
6006	91
6007	135
6008	95
6009	74
6010	307
6011	111
6012	14
6013	183
6014	43
6015	74
6016	114
6017	26
6018	44
6019	65
6020	54
6021	58
6022	25
6023	72
6024	11
6025	59
6026	53
6027	48
6028	59
6029	9
6030	110
6031	7

3/7



TECHNI-LAB

pyroanalyse
géochimie
environnement

CERTIFICAT D'ANALYSE

À l'attention de Monsieur Hugues De Corta

Client Falco Pacific Ressource Group
93, rue Arsenault, suite 201
Val d'Or (Québec) J9P 0E9

Date d'émission: 21 août 2014
Date de réception : 8 août 2014
Date d'analyses : 21 août 2014
Projet : 17903
Certificat : 34466

Échantillon #	Cu ppm
------------------	-----------

Méthode utilisée: TMT-G5F

6032	4
6033	8
6034	98
6035	2
6036	409
6037	8
6051	3
6052	2
6053	2
6054	2
6055	4
6056	68
6101	147
6102	72
6103	16
6104	77
6105	10
6106	4
6107	169
6108	126
6109	5
6110	116
6111	34
6112	65
6113	37
6114	43
6115	15
6116	22
6117	21
6118	202
6119	9
6120	11
6121	2
6122	22
6123	53
6124	36
6125	201



TECHNI-LAB

pyroanalyse
géochimie
environnement

CERTIFICAT D'ANALYSE

À l'attention de Monsieur Hugues De Corta

Client Falco Pacific Ressource Group
93, rue Arsenault, suite 201
Val d'Or (Québec) J9P 0E9

Date d'émission: 21 août 2014
Date de réception : 8 août 2014
Date d'analyses : 21 août 2014
Projet : 17903
Certificat : 34466

Échantillon #	Cu ppm
------------------	-----------

Méthode utilisée: TMT-G5F

6126	51
6127	109
6128	30
6129	754
6130	41
6131	91
6132	54
6133	48
6134	339
6135	224
6136	124
6137	46
6138	75
6139	9
6140	9
6141	13
6142	273
6143	140
6144	58
6145	27
6146	11
6147	8
6148	4
6149	13
6150	<1
2531-Dup	4
3124-Dup	12
6007-Dup	134
6028-Dup	59
6104-Dup	75
6125-Dup	203
6143-Dup	141
GBM908-5	511
GBM908-5	511
GBM908-5	516
GBM908-5	510

5/7



TECHNI-LAB

pyroanalyse
géochimie
environnement

CERTIFICAT D'ANALYSE

À l'attention de Monsieur Hugues De Corta

Client Falco Pacific Ressource Group
93, rue Arsenault, suite 201
Val d'Or (Québec) J9P 0E9

Date d'émission: 21 août 2014
Date de réception : 8 août 2014
Date d'analyses : 21 août 2014
Projet : 17903
Certificat : 34466

Échantillon #	Cu ppm
------------------	-----------

Méthode utilisée: TMT-G5F

CDN-ME-14	12984
CDN-ME-14	12633
CDN-ME-14	12128
GBM908-10	3779
GBM908-10	3632
GBM908-10	3381
GBM908-10	3698
SU-1b	12252
SU-1b	12113
SU-1b	11222



CERTIFICAT D'ANALYSE - ANNEXE 1

TECHNI-LAB

pyroanalyse
géochimie
environnement

À l'attention de Monsieur Hugues De Corta

Client: Falco Pacific Ressource Group
93, rue Arsenault, suite 201
Val d'Or (Québec) J9P 0E9

Date d'émission: 21 août 2014
Date de réception: 8 août 2014
Date d'analyse: 21 août 2014
Projet: 17903
Certificat: 34466

MÉTHODE ACCRÉDITÉE

- TMT-G5B Au par pyro-analyse, collection avec bouton de plomb, finition par Spectrométrie d'absorption Atomique à la flamme, après digestion d'Aqua Regia par micro-ondes.
- TMT-G5C Au par pyro-analyse, collection avec bouton de plomb finition gravimétrique.
- TMT-G5E Pt, Pd par absorption atomique - four au graphite (GFAA)
- TMT-G5F Métaux par spectroscopie d'émission à plasma couplé par induction (ICP), digestion Aqua Regia

MÉTHODE NON ACCRÉDITÉE

- TMT-G5G Argent par Gravimétrie
- TMT-G2 Densité
- TMT-G5Z Titration du Zinc pour concentrés.

MÉTHODE ACCRÉDITÉE PAR LE CCN

Méthode	Paramètre	Limite de détection	Méthode	Paramètre	Limite de détection
TMT-G5B	Au ppb (5 ml)	8	TMT-G5F	Ag ppm	0.4
TMT-G5B	Au g/t (10 ml)	0.02	TMT-G5F	Co ppm	3
TMT-G5C	Au gravimétrie g/t	0.08	TMT-G5F	Cu ppm	1
TMT-G5E	Pd ppb	2	TMT-G5F	Ni ppm	2
TMT-G5E	Pt ppb	3	TMT-G5F	Pb ppm	4
			TMT-G5F	Zn ppm	1

Ce rapport est pour l'usage exclusif du client et ne peut être reproduit, sinon en entier, sans l'autorisation écrite de Techni-Lab S.G.B. Abitibi inc.



Quality Analysis ...



Innovative Technologies

Date Submitted: 12-Sep-14
Invoice No.: A14-06556
Invoice Date: 26-Sep-14
Your Reference: 34506 SG14-1381 FALCO

Techni-Lab Abitibi Inc.(Actlabs)
184 Rue Principale
Ste-Germaine-Boule Quebec J0Z 1M0
Canada

ATTN: Andre Caouette

CERTIFICATE OF ANALYSIS

108 Pulp samples were submitted for analysis.

The following analytical package was requested:

Code 1D Enh INAA(INAAGEO)

REPORT **A14-06556**

This report may be reproduced without our consent. If only selected portions of the report are reproduced, permission must be obtained. If no instructions were given at time of sample submittal regarding excess material, it will be discarded within 90 days of this report. Our liability is limited solely to the analytical cost of these analyses. Test results are representative only of material submitted for analysis.

Notes:

For values exceeding the upper limits we recommend assays.

CERTIFIED BY:

A handwritten signature in black ink, appearing to be "Emmanuel Esemé". The signature is written in a cursive style and is positioned above a horizontal line.

Emmanuel Esemé , Ph.D.
Quality Control

ACTIVATION LABORATORIES LTD.
41 Bittern Street, Ancaster, Ontario, Canada, L9G 4V5
TELEPHONE +905 648-9611 or +1.888.228.5227 FAX +1.905.648.9613
E-MAIL Ancaster@actlabs.com ACTLABS GROUP WEBSITE www.actlabs.com



Results

Analyte Symbol	Au	Ag	As	Ba	Br	Ca	Co	Cr	Cs	Fe	Hf	Hg	Ir	Mo	Na	Ni	Rb	Sb	Sc	Se	Sn	Sr	Ta
Unit Symbol	ppb	ppm	ppm	ppm	ppm	%	ppm	ppm	ppm	%	ppm	ppm	ppb	ppm	%	ppm	ppm	ppm	ppm	ppm	%	%	ppm
Detection Limit	2	5	0.5	50	0.5	1	1	5	1	0.01	1	1	5	1	0.01	20	15	0.1	0.1	3	0.02	0.05	0.5
Analysis Method	INAA	INAA	INAA	INAA	INAA	INAA	INAA	INAA	INAA	INAA	INAA	INAA	INAA	INAA	INAA	INAA	INAA	INAA	INAA	INAA	INAA	INAA	INAA
3132	579	< 5	< 0.5	< 50	< 0.5	< 1	< 1	254	< 1	2.31	5	< 1	< 5	9	3.79	< 20	< 15	0.3	8.4	< 3	< 0.02	< 0.05	< 0.5
3133	< 2	< 5	4.6	< 50	< 0.5	< 1	< 1	321	< 1	1.56	8	< 1	< 5	21	2.69	< 20	< 15	< 0.1	8.0	< 3	< 0.02	< 0.05	< 0.5
3134	490	22	3.0	< 50	< 0.5	< 1	21	393	< 1	9.58	2	< 1	< 5	100	1.20	< 20	< 15	< 0.1	2.2	11	< 0.02	< 0.05	< 0.5
3135	< 2	< 5	3.8	< 50	< 0.5	< 1	< 1	235	< 1	1.96	8	< 1	< 5	16	3.75	< 20	48	0.3	6.1	< 3	< 0.02	< 0.05	< 0.5
3136	< 2	< 5	4.8	240	< 0.5	< 1	< 1	238	< 1	3.54	6	< 1	< 5	12	0.33	< 20	21	< 0.1	6.3	< 3	< 0.02	< 0.05	< 0.5
3137	72	< 5	2.8	< 50	< 0.5	< 1	2	381	< 1	0.99	3	< 1	< 5	21	1.01	< 20	< 15	0.2	2.0	< 3	< 0.02	< 0.05	< 0.5
3138	< 2	< 5	< 0.5	< 50	< 0.5	< 1	7	238	< 1	3.53	7	< 1	< 5	20	3.88	< 20	< 15	< 0.1	8.5	< 3	< 0.02	< 0.05	< 0.5
3139	< 2	< 5	2.5	< 50	< 0.5	< 1	3	290	< 1	1.01	3	< 1	< 5	17	1.78	< 20	< 15	< 0.1	2.5	< 3	< 0.02	< 0.05	< 0.5
3140	16	< 5	1.7	< 50	< 0.5	< 1	3	292	< 1	3.42	8	< 1	< 5	13	3.66	< 20	< 15	< 0.1	8.1	< 3	< 0.02	< 0.05	< 0.5
3141	5380	< 5	2.5	< 50	< 0.5	< 1	11	123	< 1	6.22	7	< 1	< 5	< 1	6.02	< 20	65	< 0.1	9.6	< 3	< 0.02	< 0.05	< 0.5
3142	597	< 5	3.2	1130	< 0.5	< 1	8	318	< 1	3.94	6	< 1	< 5	9	3.01	< 20	< 15	< 0.1	8.5	< 3	< 0.02	< 0.05	< 0.5
3143	592	< 5	349	450	< 0.5	4	43	221	< 1	8.84	4	< 1	< 5	< 1	2.18	< 20	< 15	0.6	19.3	< 3	< 0.02	< 0.05	< 0.5
3144	< 2	< 5	< 0.5	1830	< 0.5	< 1	16	17	4	8.67	24	< 1	< 5	< 1	0.12	< 20	160	< 0.1	14.3	< 3	< 0.02	< 0.05	2.8
3145	16	< 5	< 0.5	350	< 0.5	< 1	< 1	241	< 1	2.54	6	< 1	< 5	16	3.50	< 20	< 15	0.3	5.3	< 3	< 0.02	< 0.05	< 0.5
3146	8	< 5	2.9	< 50	< 0.5	< 1	5	215	< 1	2.45	5	< 1	< 5	11	3.67	< 20	< 15	0.2	6.5	< 3	< 0.02	< 0.05	< 0.5
3147	< 2	< 5	5.1	< 50	< 0.5	12	10	55	2	2.22	< 1	< 1	< 5	< 1	0.17	< 20	77	0.2	6.7	< 3	< 0.02	< 0.05	< 0.5
3148	< 2	< 5	< 0.5	< 50	< 0.5	< 1	< 1	198	< 1	1.75	7	< 1	< 5	11	4.30	< 20	< 15	< 0.1	4.9	< 3	< 0.02	< 0.05	< 0.5
3149	< 2	< 5	< 0.5	< 50	< 0.5	< 1	< 1	257	< 1	1.53	10	< 1	< 5	17	4.02	< 20	< 15	< 0.1	5.1	< 3	< 0.02	< 0.05	< 0.5
3150	85	< 5	2.0	< 50	< 0.5	< 1	< 1	184	< 1	1.85	3	< 1	< 5	16	4.59	< 20	< 15	< 0.1	2.2	< 3	< 0.02	< 0.05	< 0.5
6046	21	< 5	4.7	280	< 0.5	2	35	57	< 1	9.83	2	< 1	< 5	< 1	1.94	< 20	< 15	< 0.1	45.0	< 3	< 0.02	< 0.05	< 0.5
6047	< 2	< 5	2.7	< 50	< 0.5	< 1	5	230	< 1	3.44	6	< 1	< 5	4	3.82	< 20	< 15	< 0.1	7.5	< 3	< 0.02	< 0.05	< 0.5
6237	< 2	< 5	4.5	< 50	< 0.5	< 1	8	97	< 1	9.36	5	< 1	< 5	< 1	2.87	< 20	< 15	< 0.1	21.6	< 3	< 0.02	< 0.05	< 0.5
6238	< 2	< 5	4.6	< 50	< 0.5	5	36	285	< 1	4.08	2	< 1	< 5	< 1	1.61	< 20	< 15	0.3	24.1	< 3	< 0.02	< 0.05	< 0.5
6239	< 2	< 5	3.7	< 50	< 0.5	5	50	366	< 1	8.43	2	< 1	< 5	< 1	1.29	< 20	< 15	< 0.1	38.7	< 3	< 0.02	< 0.05	< 0.5
6240	< 2	< 5	2.2	< 50	< 0.5	< 1	< 1	208	< 1	3.74	9	< 1	< 5	7	4.20	< 20	< 15	< 0.1	6.9	< 3	< 0.02	< 0.05	< 0.5
6241	< 2	< 5	4.8	< 50	< 0.5	< 1	< 1	227	< 1	3.01	8	< 1	< 5	< 1	5.20	< 20	< 15	0.9	7.3	< 3	< 0.02	< 0.05	< 0.5
6242	< 2	< 5	2.9	< 50	< 0.5	< 1	< 1	376	< 1	1.56	6	< 1	< 5	18	2.25	< 20	< 15	0.2	3.8	< 3	< 0.02	< 0.05	< 0.5
6244	56	< 5	4.0	690	< 0.5	< 1	47	39	5	28.7	12	< 1	< 5	14	0.24	< 20	308	0.2	15.1	< 3	< 0.02	< 0.05	< 0.5
6245	< 2	< 5	2.7	< 50	< 0.5	< 1	6	347	< 1	4.71	5	< 1	< 5	17	1.02	< 20	< 15	< 0.1	7.2	< 3	0.07	< 0.05	< 0.5
6246	12	< 5	3.0	< 50	< 0.5	< 1	4	405	< 1	2.79	3	< 1	< 5	29	1.11	< 20	16	0.3	3.8	< 3	< 0.02	< 0.05	< 0.5
6248	1020	< 5	3.3	< 50	< 0.5	< 1	6	301	< 1	2.27	14	< 1	< 5	19	4.43	< 20	< 15	0.4	5.5	< 3	< 0.02	< 0.05	< 0.5
6249	724	< 5	4.0	490	2.4	< 1	4	317	< 1	2.88	7	< 1	< 5	18	2.76	< 20	< 15	0.2	5.3	< 3	< 0.02	< 0.05	< 0.5
6250	3	< 5	4.5	< 50	2.5	< 1	2	508	< 1	1.15	< 1	< 1	< 5	34	0.21	< 20	< 15	0.2	1.7	< 3	< 0.02	< 0.05	< 0.5
6312	48	< 5	4.8	< 50	< 0.5	< 1	13	317	< 1	2.49	4	< 1	< 5	26	2.60	< 20	< 15	0.2	6.1	< 3	< 0.02	< 0.05	< 0.5
6313	< 2	< 5	5.8	< 50	< 0.5	14	11	51	3	2.26	2	< 1	< 5	< 1	0.19	< 20	99	< 0.1	6.5	< 3	< 0.02	< 0.05	< 0.5
6314	19	< 5	< 0.5	< 50	< 0.5	< 1	5	238	< 1	2.68	7	< 1	< 5	7	4.51	< 20	< 15	< 0.1	7.6	< 3	< 0.02	< 0.05	< 0.5
6315	< 2	< 5	3.6	< 50	< 0.5	2	9	384	< 1	1.66	1	< 1	< 5	28	0.56	< 20	< 15	< 0.1	4.8	< 3	< 0.02	< 0.05	< 0.5
6316	< 2	< 5	< 0.5	< 50	< 0.5	< 1	< 1	240	< 1	2.07	12	< 1	< 5	14	4.06	< 20	< 15	0.3	5.6	< 3	< 0.02	< 0.05	< 0.5
6317	< 2	< 5	< 0.5	< 50	< 0.5	< 1	4	258	< 1	4.11	6	< 1	< 5	17	4.11	< 20	< 15	0.7	8.0	< 3	< 0.02	< 0.05	< 0.5
6318	10	< 5	6.9	< 50	< 0.5	< 1	11	126	< 1	7.78	7	< 1	< 5	< 1	1.46	< 20	< 15	< 0.1	15.9	< 3	< 0.02	0.05	< 0.5
6319	< 2	< 5	5.4	< 50	< 0.5	< 1	3	341	< 1	2.17	6	< 1	< 5	18	3.40	< 20	< 15	< 0.1	6.0	< 3	< 0.02	< 0.05	< 0.5
6320	< 2	< 5	4.3	< 50	< 0.5	< 1	< 1	260	< 1	1.05	6	< 1	< 5	15	4.89	< 20	< 15	< 0.1	2.9	< 3	< 0.02	< 0.05	< 0.5
6321	< 2	< 5	4.1	< 50	< 0.5	7	10	185	< 1	6.61	1	< 1	< 5	< 1	0.07	< 20	< 15	< 0.1	26.6	< 3	< 0.02	< 0.05	< 0.5
6322	1720	< 5	2290	< 50	< 0.5	6	46	235	< 1	9.04	4	< 1	< 5	< 1	2.15	< 20	< 15	4.5	18.9	< 3	< 0.02	< 0.05	< 0.5
6323	< 2	< 5	18.0	160	< 0.5	< 1	< 1	337	< 1	1.22	8	< 1	< 5	18	3.11	< 20	< 15	0.2	4.6	< 3	< 0.02	< 0.05	< 0.5
6324	< 2	< 5	4.6	480	< 0.5	< 1	< 1	344	< 1	1.41	6	< 1	< 5	20	3.20	< 20	< 15	< 0.1	4.9	< 3	< 0.02	< 0.05	< 0.5
6325	< 2	< 5	< 0.5	190	< 0.5	< 1	< 1	254	< 1	0.66	9	< 1	< 5	20	4.36	< 20	< 15	< 0.1	4.0	< 3	< 0.02	< 0.05	< 0.5
6326	< 2	< 5	< 0.5	530	< 0.5	< 1	< 1	276	< 1	1.39	11	< 1	< 5	11	3.28	< 20	52	< 0.1	4.9	< 3	< 0.02	< 0.05	< 0.5
6327	16	< 5	2.8	< 50	< 0.5	< 1	3	253	< 1	3.66	6	< 1	< 5	9	3.39	< 20	< 15	< 0.1	6.3	< 3	< 0.02	< 0.05	< 0.5

Analyte Symbol	Au	Ag	As	Ba	Br	Ca	Co	Cr	Cs	Fe	Hf	Hg	Ir	Mo	Na	Ni	Rb	Sb	Sc	Se	Sn	Sr	Ta
Unit Symbol	ppb	ppm	ppm	ppm	ppm	%	ppm	ppm	ppm	%	ppm	ppm	ppb	ppm	%	ppm	ppm	ppm	ppm	ppm	%	%	ppm
Detection Limit	2	5	0.5	50	0.5	1	1	5	1	0.01	1	1	5	1	0.01	20	15	0.1	0.1	3	0.02	0.05	0.5
Analysis Method	INAA	INAA	INAA	INAA	INAA	INAA	INAA	INAA	INAA	INAA	INAA	INAA	INAA	INAA	INAA	INAA	INAA	INAA	INAA	INAA	INAA	INAA	INAA
6328	< 2	< 5	4.3	< 50	< 0.5	4	44	370	< 1	7.97	1	< 1	< 5	< 1	1.19	< 20	< 15	0.4	38.5	< 3	< 0.02	< 0.05	< 0.5
6329	< 2	< 5	5.1	< 50	< 0.5	< 1	3	340	< 1	1.97	7	< 1	< 5	20	2.81	< 20	< 15	0.2	4.1	< 3	< 0.02	< 0.05	< 0.5
6330	< 2	< 5	4.1	< 50	< 0.5	< 1	12	208	< 1	3.66	6	< 1	< 5	< 1	3.46	< 20	< 15	< 0.1	14.0	< 3	< 0.02	< 0.05	< 0.5
6331	< 2	< 5	3.8	320	< 0.5	< 1	18	196	< 1	5.68	3	< 1	< 5	37	3.54	< 20	< 15	< 0.1	19.6	< 3	< 0.02	< 0.05	< 0.5
6332	< 2	< 5	3.1	< 50	< 0.5	7	59	142	< 1	7.13	1	< 1	< 5	< 1	3.29	< 20	< 15	< 0.1	34.8	< 3	< 0.02	< 0.05	< 0.5
6333	< 2	< 5	2.1	< 50	< 0.5	3	37	129	< 1	8.34	2	< 1	< 5	7	0.78	< 20	< 15	< 0.1	32.8	< 3	< 0.02	< 0.05	< 0.5
6334	< 2	< 5	4.5	560	< 0.5	< 1	6	288	< 1	2.95	7	< 1	< 5	18	2.40	< 20	< 15	< 0.1	6.5	< 3	< 0.02	< 0.05	< 0.5
6335	< 2	< 5	2.1	< 50	< 0.5	< 1	< 1	242	< 1	2.24	6	< 1	< 5	15	4.28	< 20	44	< 0.1	6.5	< 3	< 0.02	< 0.05	< 0.5
6336	< 2	< 5	6.2	580	< 0.5	< 1	10	288	< 1	2.11	7	< 1	< 5	23	3.48	< 20	< 15	0.2	5.7	< 3	< 0.02	< 0.05	< 0.5
6337	< 2	< 5	6.9	390	< 0.5	< 1	10	369	< 1	2.69	7	< 1	< 5	4	3.95	< 20	< 15	< 0.1	7.8	< 3	< 0.02	< 0.05	< 0.5
6338	< 2	< 5	6.9	< 50	< 0.5	< 1	3	281	< 1	3.09	7	< 1	< 5	14	3.18	< 20	< 15	< 0.1	9.3	< 3	< 0.02	< 0.05	< 0.5
6339	601	< 5	318	490	< 0.5	3	43	221	< 1	8.67	3	< 1	< 5	< 1	2.17	< 20	< 15	0.6	18.9	< 3	< 0.02	< 0.05	< 0.5
6340	51	< 5	8.5	< 50	< 0.5	< 1	6	182	< 1	2.07	8	< 1	< 5	14	4.82	< 20	< 15	< 0.1	4.1	< 3	< 0.02	< 0.05	< 0.5
6341	< 2	< 5	3.2	< 50	1.8	< 1	< 1	408	< 1	0.58	2	< 1	< 5	28	1.59	< 20	< 15	< 0.1	1.5	< 3	< 0.02	< 0.05	< 0.5
6342	< 2	< 5	10.8	< 50	< 0.5	3	11	161	< 1	10.7	4	< 1	< 5	170	1.77	< 20	< 15	< 0.1	24.3	< 3	< 0.02	< 0.05	< 0.5
6344	< 2	< 5	5.1	< 50	< 0.5	< 1	6	327	< 1	4.23	4	< 1	< 5	28	0.29	< 20	< 15	0.2	4.8	< 3	< 0.02	< 0.05	< 0.5
6345	< 2	< 5	6.1	< 50	< 0.5	< 1	< 1	192	< 1	3.29	6	< 1	< 5	5	4.17	< 20	< 15	0.1	8.2	< 3	< 0.02	< 0.05	< 0.5
6346	< 2	< 5	4.0	< 50	< 0.5	15	11	55	3	2.38	2	< 1	< 5	< 1	0.17	< 20	48	< 0.1	6.8	< 3	< 0.02	< 0.05	< 0.5
6347	< 2	< 5	< 0.5	< 50	< 0.5	3	< 1	265	< 1	3.08	9	< 1	< 5	8	3.28	< 20	< 15	< 0.1	8.7	< 3	< 0.02	< 0.05	< 0.5
6351	31	< 5	< 0.5	< 50	< 0.5	< 1	8	233	< 1	2.94	6	< 1	< 5	13	4.47	< 20	< 15	< 0.1	8.7	< 3	< 0.02	< 0.05	< 0.5
6352	9	< 5	< 0.5	360	< 0.5	< 1	< 1	168	< 1	2.12	3	< 1	< 5	11	2.14	< 20	67	< 0.1	1.6	< 3	< 0.02	< 0.05	< 0.5
6353	< 2	< 5	< 0.5	< 50	< 0.5	< 1	< 1	241	< 1	2.82	9	< 1	< 5	11	3.86	< 20	< 15	< 0.1	9.7	< 3	< 0.02	< 0.05	< 0.5
6354	< 2	< 5	< 0.5	< 50	< 0.5	2	< 1	254	< 1	4.04	10	< 1	< 5	13	2.23	< 20	< 15	< 0.1	7.8	< 3	< 0.02	< 0.05	< 0.5
6355	< 2	< 5	< 0.5	< 50	< 0.5	2	< 1	248	< 1	2.37	9	< 1	< 5	11	3.33	< 20	< 15	< 0.1	5.2	< 3	< 0.02	< 0.05	< 0.5
6356	< 2	< 5	2.2	< 50	< 0.5	< 1	< 1	344	< 1	1.23	4	< 1	< 5	22	2.76	< 20	< 15	< 0.1	4.8	< 3	< 0.02	< 0.05	< 0.5
6357	< 2	< 5	6.9	< 50	< 0.5	< 1	< 1	226	< 1	2.53	7	< 1	< 5	8	4.86	< 20	< 15	< 0.1	10.3	< 3	< 0.02	< 0.05	< 0.5
6358	< 2	< 5	2.8	790	< 0.5	< 1	< 1	284	< 1	1.14	8	< 1	< 5	10	3.34	< 20	< 15	< 0.1	4.9	< 3	< 0.02	< 0.05	< 0.5
6359	< 2	< 5	3.4	< 50	< 0.5	5	48	334	< 1	4.80	2	< 1	< 5	< 1	2.63	< 20	93	< 0.1	23.6	< 3	< 0.02	< 0.05	< 0.5
6360	< 2	< 5	3.4	< 50	< 0.5	< 1	< 1	310	< 1	2.24	6	< 1	< 5	13	3.43	< 20	< 15	< 0.1	8.4	< 3	< 0.02	< 0.05	< 0.5
6361	< 2	< 5	4.7	< 50	< 0.5	< 1	5	223	< 1	4.52	5	< 1	< 5	14	3.76	< 20	< 15	< 0.1	9.6	< 3	< 0.02	< 0.05	< 0.5
6362	19	< 5	2.5	220	< 0.5	< 1	2	275	< 1	2.40	7	< 1	< 5	7	3.67	< 20	< 15	< 0.1	5.3	< 3	< 0.02	< 0.05	< 0.5
6363	18	< 5	2.5	< 50	< 0.5	< 1	11	235	< 1	3.03	6	< 1	< 5	8	3.70	< 20	< 15	0.3	6.1	< 3	< 0.02	< 0.05	< 0.5
6364	< 2	< 5	4.4	480	< 0.5	2	39	744	6	5.68	4	< 1	< 5	< 1	2.54	< 20	118	< 0.1	19.8	< 3	< 0.02	< 0.05	< 0.5
6365	< 2	< 5	< 0.5	< 50	< 0.5	< 1	< 1	226	< 1	2.13	7	< 1	< 5	12	4.33	< 20	< 15	< 0.1	7.9	< 3	< 0.02	< 0.05	< 0.5
6366	< 2	< 5	4.1	< 50	< 0.5	< 1	3	226	< 1	2.58	7	< 1	< 5	8	3.71	< 20	< 15	< 0.1	8.0	< 3	< 0.02	< 0.05	< 0.5
6367	< 2	< 5	2.8	< 50	< 0.5	< 1	< 1	225	< 1	1.89	7	< 1	< 5	7	3.72	< 20	< 15	< 0.1	8.4	< 3	< 0.02	< 0.05	3.9
6368	7880	< 5	3960	660	< 0.5	3	37	158	< 1	12.1	< 1	< 1	< 5	< 1	1.26	< 20	< 15	15.3	19.4	< 3	< 0.02	0.16	< 0.5
6369	< 2	< 5	2.1	< 50	< 0.5	< 1	7	247	< 1	3.75	7	< 1	< 5	10	3.94	< 20	< 15	< 0.1	10.6	< 3	< 0.02	< 0.05	< 0.5
6370	23	< 5	4.3	< 50	4.1	< 1	3	412	< 1	1.16	1	< 1	< 5	22	0.83	< 20	< 15	< 0.1	2.3	< 3	< 0.02	< 0.05	< 0.5
6371	71	< 5	4.2	110	< 0.5	< 1	< 1	121	< 1	1.96	15	< 1	< 5	< 1	6.32	< 20	< 15	< 0.1	5.3	< 3	< 0.02	< 0.05	< 0.5
6372	< 2	< 5	1.9	< 50	< 0.5	2	10	126	< 1	4.60	2	< 1	< 5	< 1	3.67	< 20	< 15	< 0.1	20.7	< 3	< 0.02	< 0.05	< 0.5
6373	< 2	< 5	3.9	380	< 0.5	< 1	< 1	235	< 1	1.43	7	< 1	< 5	15	3.56	< 20	< 15	< 0.1	5.1	< 3	< 0.02	< 0.05	< 0.5
6374	< 2	< 5	5.4	< 50	< 0.5	11	9	61	1	1.93	1	< 1	< 5	< 1	0.18	< 20	< 15	< 0.1	6.1	< 3	< 0.02	< 0.05	< 0.5
6375	< 2	< 5	7.2	470	< 0.5	< 1	21	91	< 1	6.36	3	< 1	< 5	< 1	2.08	< 20	< 15	< 0.1	20.9	< 3	< 0.02	< 0.05	< 0.5
6376	< 2	< 5	4.9	470	< 0.5	< 1	< 1	227	< 1	2.80	8	< 1	< 5	12	1.81	< 20	85	< 0.1	7.7	< 3	< 0.02	< 0.05	< 0.5
6377	< 2	< 5	3.0	< 50	< 0.5	< 1	< 1	208	< 1	1.42	6	< 1	< 5	19	4.19	< 20	< 15	0.2	7.1	< 3	< 0.02	< 0.05	< 0.5
6378	12	< 5	5.3	< 50	< 0.5	< 1	10	188	< 1	2.09	6	< 1	< 5	9	3.35	< 20	< 15	< 0.1	7.7	< 3	< 0.02	< 0.05	< 0.5
6379	423	< 5	4.2	7260	< 0.5	< 1	7	302	< 1	1.50	5	< 1	< 5	24	2.82	< 20	42	< 0.1	5.8	< 3	< 0.02	< 0.05	< 0.5
6380	< 2	< 5	6.2	1030	< 0.5	< 1	< 1	248	< 1	2.18	5	< 1	< 5	11	3.40	< 20	< 15	< 0.1	5.3	< 3	< 0.02	< 0.05	< 0.5
6381	5	< 5	7.0	< 50	< 0.5	< 1	< 1	224	< 1	2.35	6	< 1	< 5	14	3.52	< 20	< 15	< 0.1	6.6	< 3	< 0.02	< 0.05	< 0.5

Analyte Symbol	Au	Ag	As	Ba	Br	Ca	Co	Cr	Cs	Fe	Hf	Hg	Ir	Mo	Na	Ni	Rb	Sb	Sc	Se	Sn	Sr	Ta
Unit Symbol	ppb	ppm	ppm	ppm	ppm	%	ppm	ppm	ppm	%	ppm	ppm	ppb	ppm	%	ppm	ppm	ppm	ppm	ppm	%	%	ppm
Detection Limit	2	5	0.5	50	0.5	1	1	5	1	0.01	1	1	5	1	0.01	20	15	0.1	0.1	3	0.02	0.05	0.5
Analysis Method	INAA	INAA	INAA	INAA	INAA	INAA	INAA	INAA	INAA	INAA	INAA	INAA	INAA	INAA	INAA	INAA	INAA	INAA	INAA	INAA	INAA	INAA	INAA
6382	423	< 5	4.0	< 50	< 0.5	< 1	< 1	259	< 1	1.87	7	< 1	< 5	14	4.22	< 20	< 15	0.2	5.4	< 3	< 0.02	< 0.05	< 0.5
6383	8	< 5	4.0	620	< 0.5	< 1	7	224	< 1	2.29	6	< 1	< 5	13	3.01	< 20	< 15	< 0.1	5.9	< 3	< 0.02	< 0.05	< 0.5
6384	< 2	< 5	4.8	330	< 0.5	2	< 1	260	< 1	2.53	4	< 1	< 5	12	1.91	< 20	63	< 0.1	6.7	< 3	< 0.02	< 0.05	< 0.5
6385	20	< 5	3.7	< 50	< 0.5	< 1	< 1	291	< 1	1.96	3	< 1	< 5	22	2.69	< 20	< 15	< 0.1	3.7	< 3	< 0.02	< 0.05	< 0.5
6386	50	< 5	5.1	< 50	< 0.5	< 1	11	239	< 1	3.06	7	< 1	< 5	18	3.92	< 20	< 15	< 0.1	6.6	< 3	< 0.02	< 0.05	< 0.5
6387	< 2	< 5	4.6	< 50	< 0.5	< 1	< 1	243	< 1	1.44	6	< 1	< 5	9	4.34	< 20	< 15	0.2	4.6	< 3	< 0.02	< 0.05	< 0.5
6388	< 2	< 5	4.0	< 50	< 0.5	3	47	164	< 1	7.70	3	< 1	< 5	< 1	1.27	< 20	< 15	< 0.1	35.9	< 3	< 0.02	< 0.05	< 0.5
6389	5	< 5	3.3	< 50	1.8	< 1	1	360	< 1	0.36	< 1	< 1	< 5	27	0.06	70	< 15	0.1	0.3	< 3	< 0.02	< 0.05	< 0.5
6390	< 2	< 5	3.7	< 50	< 0.5	< 1	< 1	253	< 1	1.83	5	< 1	< 5	14	4.04	< 20	< 15	0.1	3.6	< 3	< 0.02	< 0.05	< 0.5

Results

Analyte Symbol	Th	U	W	Zn	La	Ce	Nd	Sm	Eu	Tb	Yb	Lu	Mass
Unit Symbol	ppm	ppm	ppm	ppm	ppm	ppm	ppm	ppm	ppm	ppm	ppm	ppm	g
Detection Limit	0.2	0.5	1	50	0.5	3	5	0.1	0.2	0.5	0.2	0.05	
Analysis Method	INAA	INAA	INAA	INAA	INAA	INAA	INAA	INAA	INAA	INAA	INAA	INAA	INAA
3132	3.1	3.7	12	< 50	19.3	64	24	7.8	1.2	< 0.5	5.9	0.41	26.5
3133	2.9	< 0.5	< 1	< 50	9.4	60	13	5.9	1.3	1.4	7.9	0.51	25.4
3134	1.6	2.3	< 1	< 50	3.2	< 3	< 5	1.4	0.3	< 0.5	3.3	0.23	29.0
3135	3.8	< 0.5	< 1	< 50	23.0	79	21	8.3	1.1	< 0.5	7.7	0.52	26.6
3136	5.5	< 0.5	< 1	90	57.8	209	69	18.4	2.0	1.9	7.7	0.55	26.4
3137	1.4	1.4	< 1	< 50	4.3	21	< 5	1.8	< 0.2	< 0.5	2.5	0.17	31.1
3138	2.7	< 0.5	< 1	< 50	20.8	60	9	7.5	1.1	< 0.5	5.7	0.38	30.5
3139	2.4	< 0.5	< 1	< 50	3.5	26	< 5	1.4	0.3	< 0.5	2.4	0.14	26.1
3140	4.0	< 0.5	< 1	< 50	11.6	47	11	4.7	0.9	< 0.5	4.9	0.32	26.0
3141	1.5	< 0.5	< 1	< 50	14.9	56	31	9.1	1.5	2.2	10.4	0.73	29.2
3142	3.5	3.1	< 1	< 50	24.1	69	28	7.2	1.2	< 0.5	5.8	0.45	29.4
3143	5.5	< 0.5	< 1	100	21.9	49	12	5.9	1.2	< 0.5	2.2	0.09	18.8
3144	5.6	5.3	< 1	80	43.5	128	46	14.9	1.6	3.2	21.2	1.57	24.0
3145	3.5	< 0.5	< 1	< 50	15.6	39	15	4.9	0.8	1.2	5.8	0.34	29.0
3146	2.1	< 0.5	< 1	< 50	19.4	48	26	6.7	0.8	< 0.5	3.0	0.21	31.3
3147	4.4	< 0.5	< 1	< 50	18.0	44	12	4.1	0.8	< 0.5	1.5	0.09	27.8
3148	3.6	< 0.5	< 1	< 50	22.0	62	21	6.7	1.0	1.2	6.4	0.43	31.6
3149	3.6	< 0.5	< 1	< 50	27.1	74	27	9.5	1.4	1.4	7.4	0.53	25.4
3150	1.7	< 0.5	< 1	< 50	11.6	27	13	2.3	0.4	< 0.5	1.6	0.09	28.5
6046	< 0.2	< 0.5	< 1	< 50	8.2	25	17	3.4	0.9	< 0.5	2.5	0.09	28.0
6047	2.2	< 0.5	< 1	< 50	20.3	50	21	6.5	1.0	< 0.5	3.9	0.28	26.6
6237	1.7	< 0.5	< 1	< 50	17.2	41	15	6.2	1.1	< 0.5	4.5	0.27	21.0
6238	1.5	< 0.5	< 1	< 50	9.4	28	6	2.6	0.6	< 0.5	1.5	< 0.05	31.2
6239	0.7	< 0.5	< 1	< 50	3.7	9	< 5	2.1	0.6	< 0.5	1.5	< 0.05	27.5
6240	2.6	2.4	< 1	< 50	12.4	47	12	5.4	0.7	1.6	6.8	0.51	25.9
6241	2.0	< 0.5	< 1	< 50	20.2	62	32	6.3	0.7	< 0.5	6.1	0.45	23.0
6242	0.8	< 0.5	< 1	< 50	2.4	14	7	1.7	0.4	< 0.5	3.5	0.19	25.9
6244	5.4	2.0	< 1	160	9.2	68	< 5	4.4	0.6	2.1	24.4	1.82	22.9
6245	5.8	< 0.5	< 1	< 50	77.7	234	76	21.0	1.6	2.7	6.8	0.49	27.1
6246	1.5	< 0.5	< 1	50	2.8	17	< 5	1.5	0.2	< 0.5	2.6	0.18	23.7
6248	5.4	2.9	< 1	< 50	29.1	87	23	10.7	1.4	1.5	8.3	0.59	23.9
6249	2.3	< 0.5	22	< 50	13.4	42	19	5.6	0.8	1.3	5.0	0.36	29.4
6250	0.7	< 0.5	< 1	< 50	5.3	18	< 5	1.8	0.3	< 0.5	0.9	0.07	25.0
6312	2.7	< 0.5	< 1	< 50	4.3	25	< 5	2.3	0.3	< 0.5	3.6	0.24	25.3
6313	4.5	1.0	< 1	< 50	18.1	55	14	4.0	0.8	0.6	1.5	< 0.05	25.6
6314	5.9	2.0	< 1	< 50	24.4	76	30	8.5	0.9	< 0.5	8.0	0.55	26.2
6315	< 0.2	< 0.5	< 1	< 50	2.4	5	< 5	0.7	0.2	< 0.5	0.4	< 0.05	27.1
6316	3.7	< 0.5	< 1	< 50	13.2	50	26	6.2	1.0	1.4	7.9	0.54	26.6
6317	3.3	< 0.5	< 1	< 50	18.1	47	34	7.1	1.0	< 0.5	4.8	0.37	26.0
6318	9.3	5.1	< 1	< 50	53.2	185	65	13.8	1.2	2.1	12.0	0.85	21.9
6319	5.0	< 0.5	< 1	< 50	21.2	69	15	7.3	1.3	0.8	6.1	0.44	27.0
6320	2.8	< 0.5	< 1	< 50	5.7	23	< 5	3.0	0.4	< 0.5	5.8	0.37	25.8
6321	0.4	< 0.5	< 1	< 50	3.4	11	< 5	1.9	0.7	< 0.5	1.7	< 0.05	38.0
6322	3.3	< 0.5	< 1	< 50	15.8	24	< 5	4.9	1.3	< 0.5	1.7	< 0.05	19.2
6323	4.2	< 0.5	< 1	< 50	10.8	34	18	3.8	0.4	< 0.5	4.3	0.25	25.3
6324	5.1	4.6	< 1	< 50	40.0	89	34	7.6	0.9	< 0.5	4.1	0.29	26.2
6325	7.9	< 0.5	< 1	< 50	6.6	29	12	4.8	0.3	< 0.5	4.7	0.32	28.6
6326	10.3	2.8	< 1	< 50	19.4	69	18	7.9	0.4	< 0.5	8.5	0.61	26.6
6327	4.3	< 0.5	< 1	< 50	24.0	58	26	7.8	0.9	< 0.5	4.7	0.31	30.2

Analyte Symbol	Th	U	W	Zn	La	Ce	Nd	Sm	Eu	Tb	Yb	Lu	Mass
Unit Symbol	ppm	ppm	ppm	ppm	ppm	ppm	ppm	ppm	ppm	ppm	ppm	ppm	g
Detection Limit	0.2	0.5	1	50	0.5	3	5	0.1	0.2	0.5	0.2	0.05	
Analysis Method	INAA	INAA	INAA	INAA	INAA	INAA	INAA	INAA	INAA	INAA	INAA	INAA	INAA
6328	< 0.2	< 0.5	< 1	< 50	4.1	9	< 5	2.0	0.4	< 0.5	1.6	0.05	27.3
6329	3.0	< 0.5	< 1	< 50	39.2	97	37	10.3	1.3	1.2	4.8	0.31	24.4
6330	1.5	< 0.5	< 1	< 50	10.3	29	11	3.8	0.9	< 0.5	3.4	0.23	26.2
6331	2.2	< 0.5	< 1	< 50	11.1	33	10	3.8	0.9	< 0.5	2.1	0.08	25.5
6332	0.8	< 0.5	< 1	90	4.5	12	< 5	2.4	0.4	< 0.5	2.0	0.11	26.5
6333	2.0	< 0.5	< 1	80	11.2	36	15	5.3	1.1	< 0.5	4.2	0.20	30.9
6334	4.3	< 0.5	< 1	< 50	20.4	60	45	7.2	0.8	1.6	7.3	0.49	26.1
6335	4.9	2.3	< 1	< 50	13.4	42	19	6.3	1.0	1.6	6.9	0.49	27.0
6336	4.4	< 0.5	< 1	< 50	8.1	23	16	3.4	< 0.2	0.6	4.6	0.36	28.8
6337	5.5	< 0.5	< 1	< 50	11.3	31	9	3.4	0.3	< 0.5	4.1	0.29	26.3
6338	3.5	< 0.5	< 1	< 50	8.8	28	17	5.0	0.9	0.7	4.9	0.37	28.7
6339	6.7	< 0.5	< 1	< 50	20.4	49	12	5.9	1.2	< 0.5	2.2	0.08	19.9
6340	3.8	2.2	< 1	< 50	8.4	24	< 5	3.6	0.6	< 0.5	3.6	0.24	29.6
6341	1.3	< 0.5	< 1	< 50	2.5	8	< 5	1.6	< 0.2	< 0.5	1.3	0.09	26.2
6342	2.2	< 0.5	< 1	< 50	26.7	80	41	14.6	1.4	1.9	9.4	0.68	27.0
6344	1.7	< 0.5	< 1	110	11.6	37	16	4.1	0.7	0.5	2.3	0.16	28.9
6345	3.7	< 0.5	< 1	< 50	18.8	54	19	7.1	1.4	< 0.5	6.1	0.35	26.3
6346	3.3	2.5	< 1	< 50	19.8	52	13	3.9	0.9	< 0.5	1.5	< 0.05	21.8
6347	2.8	< 0.5	< 1	< 50	11.0	53	10	5.6	1.1	< 0.5	5.3	0.32	28.2
6351	2.9	< 0.5	< 1	< 50	19.0	57	24	7.7	1.3	1.5	6.0	0.37	24.8
6352	3.1	< 0.5	< 1	< 50	20.9	47	13	3.9	0.7	< 0.5	1.8	0.10	26.6
6353	3.8	< 0.5	< 1	< 50	32.7	96	28	11.3	1.2	1.5	8.5	0.57	27.1
6354	2.8	1.8	< 1	< 50	63.1	185	37	12.9	2.6	1.7	11.0	0.83	26.9
6355	5.0	< 0.5	< 1	< 50	19.8	75	15	8.2	1.0	1.0	8.6	0.64	28.4
6356	2.1	< 0.5	< 1	< 50	12.9	29	13	4.8	0.6	0.6	3.7	0.27	27.1
6357	3.1	< 0.5	< 1	< 50	24.5	71	21	8.9	1.1	< 0.5	5.2	0.36	26.9
6358	8.8	2.8	< 1	< 50	31.7	107	37	10.7	0.4	2.0	10.7	0.75	28.5
6359	1.7	< 0.5	< 1	< 50	6.7	17	14	1.8	0.5	< 0.5	1.4	< 0.05	28.2
6360	1.5	< 0.5	< 1	< 50	16.8	48	26	9.7	0.7	1.1	7.8	0.42	26.1
6361	3.7	< 0.5	< 1	< 50	10.9	32	14	5.6	0.7	0.7	5.8	0.31	22.3
6362	2.9	< 0.5	< 1	< 50	18.5	45	16	6.5	1.2	0.7	5.9	0.41	28.0
6363	2.0	< 0.5	< 1	80	14.6	37	15	5.5	0.8	0.9	4.9	0.30	27.0
6364	5.6	< 0.5	< 1	< 50	42.0	92	30	10.0	1.7	< 0.5	2.3	0.13	28.8
6365	3.2	< 0.5	< 1	< 50	12.3	30	14	4.3	0.7	< 0.5	5.7	0.37	27.9
6366	2.2	< 0.5	< 1	< 50	4.3	13	< 5	2.5	0.6	< 0.5	4.4	0.28	27.9
6367	4.2	< 0.5	< 1	< 50	37.2	80	28	10.9	0.9	1.6	8.0	0.57	27.3
6368	< 0.2	< 0.5	< 1	< 50	19.7	26	22	4.6	0.6	< 0.5	2.5	0.09	22.4
6369	3.4	< 0.5	< 1	< 50	19.1	47	24	8.1	1.0	0.9	5.3	0.39	25.9
6370	1.1	1.2	3	< 50	5.7	14	5	1.4	0.2	< 0.5	0.9	0.07	29.9
6371	5.0	< 0.5	< 1	< 50	57.3	148	46	12.0	1.4	1.2	8.8	0.58	25.0
6372	2.4	< 0.5	< 1	< 50	9.3	25	< 5	3.6	0.8	< 0.5	2.9	0.13	28.9
6373	4.5	< 0.5	< 1	< 50	2.9	17	< 5	2.0	< 0.2	2.1	8.2	0.61	26.1
6374	3.3	< 0.5	< 1	< 50	19.8	58	18	4.2	0.6	< 0.5	1.2	0.07	26.3
6375	< 0.2	< 0.5	< 1	410	10.4	27	9	3.5	0.6	< 0.5	2.2	0.15	26.8
6376	4.4	< 0.5	< 1	< 50	28.5	81	21	9.8	1.5	1.7	6.9	0.45	30.5
6377	3.9	< 0.5	< 1	< 50	19.2	62	12	6.7	0.7	1.4	5.9	0.38	25.7
6378	4.5	< 0.5	< 1	< 50	23.0	64	21	6.9	< 0.2	0.9	6.5	0.43	32.9
6379	2.9	< 0.5	< 1	< 50	11.6	36	20	3.9	0.4	< 0.5	3.9	0.24	27.8
6380	5.9	< 0.5	< 1	< 50	24.5	76	21	7.5	0.5	1.3	5.5	0.45	26.5
6381	3.2	< 0.5	< 1	< 50	12.6	49	9	4.3	0.4	< 0.5	5.9	0.45	29.5

Analyte Symbol	Th	U	W	Zn	La	Ce	Nd	Sm	Eu	Tb	Yb	Lu	Mass
Unit Symbol	ppm	ppm	ppm	ppm	ppm	ppm	ppm	ppm	ppm	ppm	ppm	ppm	g
Detection Limit	0.2	0.5	1	50	0.5	3	5	0.1	0.2	0.5	0.2	0.05	
Analysis Method	INAA	INAA	INAA	INAA	INAA	INAA	INAA	INAA	INAA	INAA	INAA	INAA	INAA
6382	7.3	< 0.5	< 1	< 50	32.3	88	29	9.4	1.0	0.9	6.7	0.42	28.2
6383	4.6	< 0.5	< 1	< 50	23.0	62	24	7.5	0.9	1.5	6.4	0.44	28.9
6384	4.2	< 0.5	< 1	< 50	13.0	37	14	5.1	1.0	< 0.5	5.3	0.37	31.4
6385	1.4	< 0.5	< 1	< 50	14.4	37	14	4.4	0.8	< 0.5	3.1	0.21	29.1
6386	4.6	< 0.5	< 1	< 50	21.2	57	26	6.8	0.6	< 0.5	5.0	0.38	25.1
6387	5.8	3.4	< 1	< 50	9.0	36	15	3.4	< 0.2	1.1	7.0	0.42	25.9
6388	1.2	< 0.5	< 1	< 50	3.9	8	< 5	2.1	< 0.2	< 0.5	2.0	0.09	28.5
6389	< 0.2	< 0.5	< 1	< 50	< 0.5	< 3	< 5	< 0.1	< 0.2	< 0.5	< 0.2	< 0.05	32.3
6390	6.5	< 0.5	< 1	< 50	37.8	99	40	10.7	< 0.2	2.1	8.0	0.52	27.0

QC

Analyte Symbol	Au	Ag	As	Ba	Br	Ca	Co	Cr	Cs	Fe	Hf	Hg	Ir	Mo	Na	Ni	Rb	Sb	Sc	Se	Sn	Sr	Ta
Unit Symbol	ppb	ppm	ppm	ppm	ppm	%	ppm	ppm	ppm	%	ppm	ppm	ppb	ppm	%	ppm	ppm	ppm	ppm	ppm	%	%	ppm
Detection Limit	2	5	0.5	50	0.5	1	1	5	1	0.01	1	1	5	1	0.01	20	15	0.1	0.1	3	0.02	0.05	0.5
Analysis Method	INAA	INAA	INAA	INAA	INAA	INAA	INAA	INAA	INAA	INAA	INAA	INAA	INAA	INAA	INAA	INAA	INAA	INAA	INAA	INAA	INAA	INAA	INAA
DMMAS 117 Meas	1740		1700	1070			43	71		3.24					2.10			7.3	6.3				
DMMAS 117 Cert	1718		1745	1228			42	76		3.11					1.96			6.7	6.6				
DMMAS 117 Meas	1780		1710	1280			43	71		3.29					2.05			6.2	6.2				
DMMAS 117 Cert	1718		1745	1228			42	76		3.11					1.96			6.7	6.6				
DMMAS 117 Meas	1720		1680	1150			42	80		3.18					2.02			7.0	6.0				
DMMAS 117 Cert	1718		1745	1228			42	76		3.11					1.96			6.7	6.6				
Method Blank	< 2	< 5	< 0.5	< 50	< 0.5	< 1	< 1	< 5	< 1	< 0.01	< 1	< 1	< 5	< 1	< 0.01	< 20	< 15	< 0.1	< 0.1	< 3	< 0.02	< 0.05	< 0.5

QC

Analyte Symbol	Th	U	W	Zn	La	Ce	Nd	Sm	Eu	Tb	Yb	Lu	Mass
Unit Symbol	ppm	ppm	ppm	ppm	ppm	ppm	ppm	ppm	ppm	ppm	ppm	ppm	g
Detection Limit	0.2	0.5	1	50	0.5	3	5	0.1	0.2	0.5	0.2	0.05	
Analysis Method	INAA	INAA	INAA	INAA	INAA	INAA	INAA	INAA	INAA	INAA	INAA	INAA	INAA
DMMAS 117 Meas		10.6			15.2	27		2.5					
DMMAS 117 Cert		11.8			15.6	31		2.6					
DMMAS 117 Meas		11.7			13.8	27		2.2					
DMMAS 117 Cert		11.8			15.6	31		2.6					
DMMAS 117 Meas		10.2			15.3	35		2.4					
DMMAS 117 Cert		11.8			15.6	31		2.6					
Method Blank	< 0.2	< 0.5	< 1	< 50	< 0.5	< 3	< 5	< 0.1	< 0.2	< 0.5	< 0.2	< 0.05	30.0

Quality Analysis ...



Innovative Technologies

Date Submitted: 07-Oct-14
Invoice No.: A14-07417
Invoice Date: 24-Oct-14
Your Reference: 34611 SG14-1562 FALCO

Techni-Lab Abitibi Inc.(Actlabs)
184 Rue Principale
Ste-Germaine-Boule Quebec J0Z 1M0
Canada

ATTN: Andre Caouette

CERTIFICATE OF ANALYSIS

47 Pulp samples were submitted for analysis.

The following analytical package was requested:

Code 1D Enh INAA(INAAGEO)

REPORT **A14-07417**

This report may be reproduced without our consent. If only selected portions of the report are reproduced, permission must be obtained. If no instructions were given at time of sample submittal regarding excess material, it will be discarded within 90 days of this report. Our liability is limited solely to the analytical cost of these analyses. Test results are representative only of material submitted for analysis.

Notes:

For values exceeding the upper limits we recommend assays.

CERTIFIED BY:

A handwritten signature in black ink, appearing to read "Emmanuel Esemé". The signature is written in a cursive style and is positioned above a horizontal line.

Emmanuel Esemé, Ph.D.
Quality Control

ACTIVATION LABORATORIES LTD.
41 Bittern Street, Ancaster, Ontario, Canada, L9G 4V5
TELEPHONE +905 648-9611 or +1.888.228.5227 FAX +1.905.648.9613
E-MAIL Ancaster@actlabs.com ACTLABS GROUP WEBSITE www.actlabs.com



Results

Analyte Symbol	Au	Ag	As	Ba	Br	Ca	Co	Cr	Cs	Fe	Hf	Hg	Ir	Mo	Na	Ni	Rb	Sb	Sc	Se	Sn	Sr	Ta
Unit Symbol	ppb	ppm	ppm	ppm	ppm	%	ppm	ppm	ppm	%	ppm	ppm	ppb	ppm	%	ppm	ppm	ppm	ppm	ppm	%	%	ppm
Lower Limit	2	5	0.5	50	0.5	1	1	5	1	0.01	1	1	5	1	0.01	20	15	0.1	0.1	3	0.02	0.05	0.5
Method Code	INAA	INAA	INAA	INAA	INAA	INAA	INAA	INAA	INAA	INAA	INAA	INAA	INAA	INAA	INAA	INAA	INAA	INAA	INAA	INAA	INAA	INAA	INAA
060351	< 2	< 5	< 0.5	< 50	< 0.5	< 1	< 1	258	< 1	2.71	11	< 1	< 5	15	4.67	< 20	< 15	< 0.1	5.1	< 3	< 0.02	< 0.05	< 0.5
060352	< 2	< 5	2.6	< 50	< 0.5	< 1	< 1	182	< 1	4.07	9	< 1	< 5	< 1	5.30	< 20	< 15	0.8	6.8	< 3	< 0.02	< 0.05	< 0.5
060353	< 2	< 5	1.5	< 50	< 0.5	< 1	< 1	268	< 1	1.99	9	< 1	< 5	14	4.18	< 20	< 15	< 0.1	6.0	< 3	< 0.02	< 0.05	< 0.5
060354	< 2	< 5	2.7	< 50	< 0.5	< 1	< 1	250	< 1	2.21	5	1	< 5	10	3.42	< 20	45	< 0.1	7.1	< 3	< 0.02	< 0.05	< 0.5
060355	16	< 5	3.8	< 50	< 0.5	< 1	8	205	< 1	5.23	7	< 1	< 5	< 1	3.44	< 20	< 15	< 0.1	8.6	< 3	< 0.02	< 0.05	< 0.5
060356	9	< 5	< 0.5	< 50	< 0.5	< 1	6	236	< 1	3.88	6	< 1	< 5	< 1	4.12	< 20	< 15	< 0.1	7.7	< 3	< 0.02	< 0.05	< 0.5
060357	1590	< 5	2240	< 50	< 0.5	3	44	202	< 1	8.17	< 1	< 1	< 5	< 1	2.03	< 20	< 15	3.1	17.6	< 3	< 0.02	< 0.05	< 0.5
060358	18	< 5	3.6	340	< 0.5	< 1	14	213	< 1	2.16	6	< 1	< 5	16	3.47	< 20	58	< 0.1	7.1	< 3	< 0.02	< 0.05	< 0.5
060359	< 2	< 5	3.7	< 50	< 0.5	< 1	10	236	< 1	4.78	6	< 1	< 5	10	2.53	< 20	< 15	< 0.1	11.1	< 3	< 0.02	< 0.05	< 0.5
060360	< 2	< 5	4.4	< 50	< 0.5	< 1	6	252	< 1	3.98	6	< 1	< 5	15	3.80	< 20	< 15	< 0.1	7.2	< 3	< 0.02	< 0.05	< 0.5
060361	< 2	< 5	1.6	250	< 0.5	< 1	< 1	219	< 1	3.85	6	< 1	< 5	16	3.18	< 20	< 15	< 0.1	7.3	< 3	< 0.02	< 0.05	< 0.5
060362	72	< 5	4.0	1560	< 0.5	< 1	3	377	< 1	2.03	2	< 1	< 5	20	1.96	< 20	< 15	< 0.1	1.4	< 3	< 0.02	< 0.05	< 0.5
060363	983	< 5	3.2	1120	< 0.5	< 1	< 1	291	< 1	3.73	3	< 1	< 5	19	4.43	< 20	< 15	< 0.1	2.2	< 3	< 0.02	< 0.05	< 0.5
060364	146	< 5	4.6	980	< 0.5	< 1	< 1	371	< 1	1.33	3	< 1	< 5	29	3.03	< 20	< 15	< 0.1	1.0	< 3	< 0.02	< 0.05	< 0.5
060365	1500	< 5	3.7	1060	< 0.5	< 1	7	433	< 1	3.32	< 1	< 1	< 5	37	1.94	< 20	< 15	< 0.1	1.1	< 3	< 0.02	< 0.05	< 0.5
060366	8	< 5	5.7	< 50	< 0.5	13	11	44	2	2.14	2	< 1	< 5	< 1	0.17	< 20	77	< 0.1	6.4	< 3	< 0.02	< 0.05	< 0.5
060367	484	< 5	4.1	< 50	< 0.5	< 1	3	395	< 1	1.97	4	< 1	< 5	27	2.25	< 20	< 15	< 0.1	1.9	< 3	< 0.02	< 0.05	< 0.5
3334	< 2	< 5	3.7	< 50	< 0.5	< 1	4	239	< 1	3.44	8	< 1	< 5	18	3.06	< 20	< 15	< 0.1	8.9	< 3	< 0.02	< 0.05	< 0.5
3335	6660	< 5	3940	< 50	< 0.5	5	38	177	< 1	12.1	< 1	< 1	< 5	< 1	1.25	< 20	< 15	13.9	19.1	< 3	< 0.02	< 0.05	< 0.5
3336	15	< 5	1.6	< 50	< 0.5	< 1	< 1	200	< 1	2.18	7	< 1	< 5	12	3.30	< 20	< 15	< 0.1	7.9	< 3	< 0.02	< 0.05	< 0.5
3337	< 2	< 5	4.7	< 50	< 0.5	< 1	< 1	242	< 1	2.98	7	< 1	< 5	13	3.87	< 20	< 15	< 0.1	8.8	< 3	< 0.02	< 0.05	< 0.5
3338	18	< 5	3.3	< 50	< 0.5	2	23	159	< 1	5.45	2	< 1	< 5	< 1	2.87	< 20	50	0.3	23.1	< 3	< 0.02	< 0.05	< 0.5
3339	< 2	< 5	4.5	740	< 0.5	< 1	17	181	< 1	7.25	7	< 1	< 5	< 1	2.85	< 20	< 15	< 0.1	7.9	< 3	< 0.02	< 0.05	< 0.5
3340	< 2	< 5	3.4	< 50	< 0.5	< 1	< 1	314	< 1	2.26	10	< 1	< 5	14	4.38	< 20	< 15	< 0.1	5.1	< 3	< 0.02	< 0.05	< 0.5
3341	< 2	< 5	8.5	< 50	< 0.5	14	11	50	2	2.19	2	< 1	< 5	< 1	0.20	< 20	91	0.2	6.6	< 3	< 0.02	< 0.05	< 0.5
3342	< 2	< 5	4.3	< 50	< 0.5	< 1	3	435	< 1	0.97	< 1	< 1	< 5	28	0.61	< 20	< 15	0.2	1.6	< 3	< 0.02	< 0.05	< 0.5
3343	71	< 5	4.9	< 50	< 0.5	< 1	< 1	202	< 1	1.94	3	< 1	< 5	13	4.95	< 20	< 15	< 0.1	1.7	< 3	< 0.02	< 0.05	< 0.5
3344	30	< 5	3.3	< 50	< 0.5	< 1	5	271	< 1	3.14	6	< 1	< 5	12	4.62	< 20	< 15	0.3	7.4	< 3	< 0.02	< 0.05	< 0.5
3345	99	< 5	3.4	< 50	< 0.5	< 1	3	231	< 1	1.42	5	< 1	< 5	16	3.67	< 20	< 15	< 0.1	5.5	< 3	< 0.02	< 0.05	< 0.5
3346	< 2	< 5	4.5	< 50	< 0.5	< 1	6	188	< 1	3.43	6	< 1	< 5	< 1	3.93	< 20	< 15	< 0.1	7.0	< 3	< 0.02	< 0.05	< 0.5
3347	< 2	< 5	3.1	< 50	< 0.5	< 1	6	279	< 1	3.22	7	< 1	< 5	19	3.60	< 20	< 15	< 0.1	4.9	< 3	< 0.02	< 0.05	< 0.5
3348	< 2	< 5	3.8	< 50	< 0.5	< 1	7	227	< 1	3.65	6	< 1	< 5	12	3.37	< 20	< 15	< 0.1	9.4	< 3	< 0.02	< 0.05	< 0.5
3349	< 2	< 5	5.5	< 50	< 0.5	< 1	< 1	289	< 1	2.57	7	< 1	< 5	18	2.28	< 20	< 15	0.2	4.3	< 3	< 0.02	< 0.05	< 0.5
3350	22	< 5	3.2	< 50	< 0.5	< 1	< 1	235	< 1	3.06	6	< 1	< 5	14	3.88	70	< 15	< 0.1	6.2	< 3	< 0.02	< 0.05	< 0.5
6348	31	< 5	4.9	520	3.5	< 1	2	443	< 1	0.62	< 1	< 1	< 5	31	0.46	< 20	< 15	0.1	1.0	< 3	< 0.02	< 0.05	< 0.5
6349	< 2	< 5	4.1	200	< 0.5	< 1	< 1	230	< 1	1.26	7	< 1	< 5	13	4.08	< 20	< 15	< 0.1	6.2	< 3	< 0.02	< 0.05	< 0.5
6350	18	< 5	2.3	290	< 0.5	< 1	< 1	229	< 1	2.14	7	< 1	< 5	9	3.45	< 20	< 15	< 0.1	5.1	< 3	< 0.02	< 0.05	< 0.5
6391	8	< 5	4.1	180	1.3	< 1	2	468	< 1	0.75	< 1	< 1	< 5	41	0.09	< 20	< 15	< 0.1	1.1	< 3	< 0.02	< 0.05	< 0.5
6392	22	< 5	6.7	< 50	< 0.5	< 1	< 1	190	1	4.27	4	2	< 5	11	4.61	< 20	< 15	< 0.1	16.5	< 3	< 0.02	< 0.05	< 0.5
6393	221	< 5	4.1	< 50	< 0.5	< 1	41	189	< 1	7.22	2	< 1	< 5	< 1	2.73	< 20	< 15	< 0.1	33.7	< 3	< 0.02	< 0.05	< 0.5
6394	< 2	< 5	5.8	< 50	< 0.5	< 1	15	117	< 1	4.45	9	< 1	< 5	< 1	6.55	< 20	< 15	0.1	2.2	< 3	< 0.02	< 0.05	< 0.5
6395	< 2	< 5	5.2	< 50	< 0.5	1	< 1	226	< 1	2.40	9	< 1	< 5	15	3.72	< 20	< 15	< 0.1	16.1	< 3	< 0.02	< 0.05	< 0.5
6396	6	< 5	3.6	< 50	< 0.5	< 1	< 1	238	2	3.20	6	1	< 5	9	3.04	< 20	< 15	< 0.1	8.6	< 3	< 0.02	< 0.05	< 0.5
6397	< 2	< 5	5.6	< 50	< 0.5	< 1	< 1	264	< 1	1.25	8	< 1	< 5	15	3.30	< 20	< 15	< 0.1	7.3	< 3	< 0.02	< 0.05	< 0.5
6398	< 2	< 5	10.7	480	< 0.5	< 1	3	257	< 1	2.51	8	< 1	< 5	13	3.34	< 20	< 15	0.4	7.1	< 3	< 0.02	< 0.05	< 0.5
6399	< 2	< 5	7.7	< 50	< 0.5	2	7	534	< 1	2.28	< 1	< 1	< 5	24	0.81	< 20	< 15	0.3	7.5	< 3	< 0.02	0.06	< 0.5
6400	< 2	< 5	6.6	220	< 0.5	< 1	7	221	< 1	4.04	7	< 1	< 5	14	3.52	< 20	103	< 0.1	8.6	< 3	< 0.02	< 0.05	< 0.5

Results

Analyte Symbol	Th	U	W	Zn	La	Ce	Nd	Sm	Eu	Tb	Yb	Lu	Mass
Unit Symbol	ppm	ppm	ppm	ppm	ppm	ppm	ppm	ppm	ppm	ppm	ppm	ppm	g
Lower Limit	0.2	0.5	1	50	0.5	3	5	0.1	0.2	0.5	0.2	0.05	
Method Code	INAA	INAA	INAA	INAA	INAA	INAA	INAA	INAA	INAA	INAA	INAA	INAA	INAA
060351	4.5	< 0.5	< 1	< 50	35.0	84	27	12.1	< 0.2	1.7	8.9	0.63	22.3
060352	3.8	< 0.5	7	< 50	31.0	75	28	9.6	0.9	1.3	7.3	0.56	26.7
060353	6.2	< 0.5	< 1	< 50	49.0	119	48	14.4	1.1	1.6	8.5	0.60	26.8
060354	2.9	< 0.5	< 1	< 50	22.4	58	21	8.0	0.8	1.0	5.0	0.40	27.3
060355	4.7	< 0.5	< 1	< 50	10.5	50	12	3.7	0.8	< 0.5	4.6	0.38	28.5
060356	3.8	1.7	< 1	< 50	17.7	43	< 5	5.8	1.1	0.6	5.2	0.38	31.1
060357	3.7	< 0.5	< 1	< 50	18.4	30	< 5	4.8	< 0.2	< 0.5	2.0	< 0.05	19.2
060358	3.5	< 0.5	< 1	< 50	7.3	20	9	2.9	0.6	< 0.5	5.1	0.35	30.7
060359	2.1	< 0.5	< 1	< 50	18.2	46	12	7.9	1.4	1.7	7.7	0.54	25.0
060360	3.5	< 0.5	< 1	< 50	19.6	51	18	6.5	1.0	< 0.5	4.9	0.33	28.2
060361	4.3	< 0.5	< 1	< 50	12.9	31	17	4.4	0.6	< 0.5	4.9	0.34	31.3
060362	< 0.2	< 0.5	< 1	< 50	4.5	11	< 5	1.0	< 0.2	< 0.5	1.1	0.07	33.0
060363	< 0.2	2.5	8	< 50	6.7	15	11	1.5	< 0.2	< 0.5	2.5	0.16	31.1
060364	1.0	< 0.5	5	< 50	4.9	23	< 5	1.8	< 0.2	< 0.5	2.8	0.14	26.4
060365	< 0.2	< 0.5	5	< 50	5.4	19	15	1.8	< 0.2	< 0.5	2.8	0.15	24.3
060366	4.1	1.0	< 1	< 50	20.2	48	15	3.8	0.7	< 0.5	1.5	< 0.05	28.9
060367	1.6	< 0.5	< 1	< 50	20.0	48	12	3.9	0.5	0.6	2.8	0.26	30.5
3334	2.7	< 0.5	< 1	< 50	21.3	68	17	7.5	1.2	< 0.5	6.7	0.45	21.7
3335	4.5	< 0.5	< 1	< 50	20.2	19	< 5	4.7	0.7	< 0.5	2.7	0.19	21.3
3336	2.8	< 0.5	< 1	< 50	15.5	59	14	5.8	1.0	< 0.5	5.5	0.35	30.0
3337	3.7	< 0.5	< 1	< 50	11.7	38	< 5	4.5	0.8	< 0.5	5.1	0.36	32.3
3338	2.4	2.5	< 1	< 50	12.2	33	11	3.4	0.8	< 0.5	2.9	0.14	34.4
3339	2.9	< 0.5	< 1	< 50	13.7	33	13	5.1	0.9	0.7	3.6	0.28	27.8
3340	6.3	1.6	< 1	< 50	26.9	77	25	8.1	1.1	0.8	11.2	0.80	27.1
3341	4.1	< 0.5	< 1	< 50	20.9	44	10	4.2	0.6	< 0.5	1.4	< 0.05	22.2
3342	< 0.2	< 0.5	< 1	< 50	1.2	6	< 5	0.6	< 0.2	< 0.5	0.8	0.06	21.2
3343	2.0	< 0.5	< 1	< 50	12.2	25	11	2.3	0.5	< 0.5	1.5	0.08	28.9
3344	4.4	1.8	< 1	< 50	24.3	62	23	7.8	0.8	< 0.5	5.8	0.35	23.6
3345	2.9	< 0.5	10	< 50	16.3	46	13	5.7	0.6	0.9	4.6	0.34	32.1
3346	3.0	< 0.5	< 1	< 50	21.4	50	19	7.5	0.7	0.8	5.5	0.38	29.6
3347	2.5	< 0.5	< 1	< 50	19.3	50	17	5.6	0.6	< 0.5	4.3	0.29	29.0
3348	2.7	< 0.5	< 1	< 50	18.3	50	19	6.8	1.2	1.1	6.5	0.46	31.1
3349	3.3	< 0.5	< 1	< 50	12.3	37	15	4.0	0.8	0.9	5.1	0.39	29.2
3350	2.3	< 0.5	< 1	< 50	9.7	31	< 5	4.6	0.7	0.9	5.8	0.34	26.6
6348	0.9	< 0.5	< 1	< 50	2.1	9	< 5	0.7	< 0.2	< 0.5	0.7	< 0.05	25.5
6349	3.0	< 0.5	< 1	< 50	10.3	39	14	6.7	0.9	0.8	6.5	0.46	27.4
6350	4.5	2.0	< 1	70	20.1	65	15	6.5	0.8	< 0.5	7.0	0.45	29.7
6391	0.4	< 0.5	< 1	< 50	1.4	7	< 5	0.6	< 0.2	< 0.5	0.6	< 0.05	28.3
6392	2.0	< 0.5	< 1	< 50	18.4	54	17	7.2	1.3	0.8	4.6	0.24	26.4
6393	< 0.2	< 0.5	< 1	< 50	5.1	11	< 5	2.3	0.4	< 0.5	1.8	0.09	24.3
6394	4.4	< 0.5	31	< 50	17.7	50	22	6.1	1.0	< 0.5	6.3	0.40	29.4
6395	3.1	< 0.5	< 1	< 50	12.5	39	23	4.2	0.8	< 0.5	4.8	0.44	26.5
6396	4.5	< 0.5	< 1	< 50	25.7	75	26	8.5	1.4	1.6	6.3	0.41	26.0
6397	3.8	< 0.5	< 1	< 50	23.1	68	19	7.8	1.1	1.3	5.8	0.41	26.2
6398	5.3	2.2	< 1	< 50	29.5	107	20	9.5	0.9	1.6	7.7	0.54	23.1
6399	2.5	< 0.5	< 1	< 50	10.3	28	< 5	2.6	0.5	< 0.5	0.9	< 0.05	27.3
6400	3.4	< 0.5	< 1	< 50	16.8	60	20	6.1	1.2	< 0.5	6.0	0.38	27.3

QC

Analyte Symbol	Au	Ag	As	Ba	Br	Ca	Co	Cr	Cs	Fe	Hf	Hg	Ir	Mo	Na	Ni	Rb	Sb	Sc	Se	Sn	Sr	Ta
Unit Symbol	ppb	ppm	ppm	ppm	ppm	%	ppm	ppm	ppm	%	ppm	ppm	ppb	ppm	%	ppm	ppm	ppm	ppm	ppm	%	%	ppm
Lower Limit	2	5	0.5	50	0.5	1	1	5	1	0.01	1	1	5	1	0.01	20	15	0.1	0.1	3	0.02	0.05	0.5
Method Code	INAA	INAA	INAA	INAA	INAA	INAA	INAA	INAA	INAA	INAA	INAA	INAA	INAA	INAA	INAA	INAA	INAA	INAA	INAA	INAA	INAA	INAA	INAA
DMMAS 117 Meas	1790		1730	1010			44	70		3.32					2.10			7.6	6.1				
DMMAS 117 Cert	1720		1745	1228			42	76		3.11					1.96			6.7	6.6				
DMMAS 117 Meas	1740		1740	1170			41	66		3.31					2.08			6.6	6.2				
DMMAS 117 Cert	1720		1745	1228			42	76		3.11					1.96			6.7	6.6				
Method Blank	< 2	< 5	< 0.5	< 50	< 0.5	< 1	< 1	< 5	< 1	< 0.01	< 1	< 1	< 5	< 1	< 0.01	< 20	< 15	< 0.1	< 0.1	< 3	< 0.02	< 0.05	< 0.5

QC

Analyte Symbol	Th	U	W	Zn	La	Ce	Nd	Sm	Eu	Tb	Yb	Lu	Mass
Unit Symbol	ppm	ppm	ppm	ppm	ppm	ppm	ppm	ppm	ppm	ppm	ppm	ppm	g
Lower Limit	0.2	0.5	1	50	0.5	3	5	0.1	0.2	0.5	0.2	0.05	
Method Code	INAA	INAA	INAA	INAA	INAA	INAA	INAA	INAA	INAA	INAA	INAA	INAA	INAA
DMMAS 117 Meas		12.1			16.8	27		2.3					
DMMAS 117 Cert		11.8			15.6	31		2.6					
DMMAS 117 Meas		13.1			16.9	38		2.4					
DMMAS 117 Cert		11.8			15.6	31		2.6					
Method Blank	< 0.2	< 0.5	< 1	< 50	< 0.5	< 3	< 5	< 0.1	< 0.2	< 0.5	< 0.2	< 0.05	30.0



TECHNI-LAB

pyroanalyse
géochimie
environnement

Client :

Monsieur Hugues De Corta

Falco Pacific Ressource Group
93, rue Arsenault, suite 201
Val d'Or (Québec) J9P 0E9

Date d'émission: 12 sept. 2014
Date de réception: 25 août 2014
Date d'analyses: 11 sept. 2014
Projet: 17903
Certificat: 34506

CERTIFICAT D'ANALYSE

Notes :

Ce certificat remplace et annule tous certificats antérieurs, le cas échéant.

- Ⓢ Ce document est pour l'usage exclusif du client et ne peut être reproduit, sinon en entier, sans l'autorisation écrite de Techni-Lab S. G. B. Abitibi inc. Si vous avez reçu ce certificat par erreur, soyez avisé que tout usage, reproduction ou distribution de celui-ci est strictement interdit. Les échantillons seront conservés pendant 30 jours à partir de la date du certificat à moins d'avis écrit du client.
- Ⓢ Ces résultats ne se rapportent qu'aux échantillons soumis pour analyse.



Les résultats des échantillons sont vérifiés et approuvés par :


Mathieu RANCOURT, chimiste 2007-109





CERTIFICAT D'ANALYSE

TECHNI-LAB

À l'attention de Monsieur Hugues De Corta

Client Falco Pacific Ressource Group
93, rue Arsenault, suite 201
Val d'Or (Québec) J9P 0E9

Date d'émission: 12 sept. 2014
Date de réception: 25 août 2014
Date d'analyses: 11 sept. 2014
Projet: 17903
Certificat: 34506

pyroanalyse
géochimie
environnement

Échantillon #	Cu ppm
------------------	-----------

Méthode utilisée: TMT-G3F

3132	68
3133	10
3134	3362
3135	149
3136	8
3137	5
3138	10
3139	9
3140	4
3141	3
3142	9
3143	52
3144	85
3145	3
3146	5
3147	10
3148	3
3149	6
3150	9
6046	81
6047	21
6237	88
6238	62
6239	81
6240	14
6241	8
6242	8
6244	2863
6245	30
6246	12
6248	19
6249	14
6250	3
6312	10
6313	20
6314	9
6315	5

2/6



CERTIFICAT D'ANALYSE

TECHNI-LAB

À l'attention de Monsieur Hugues De Corta

Client Falco Pacific Ressource Group
93, rue Arsenault, suite 201
Val d'Or (Québec) J9P 0E9

Date d'émission: 12 sept. 2014
Date de réception: 25 août 2014
Date d'analyses: 11 sept. 2014
Projet: 17903
Certificat: 34506

pyroanalyse
géochimie
environnement

Echantillon #	Cu ppm
------------------	-----------

Méthode utilisée: TMT-G5F

6316	25
6317	26
6318	28
6319	358
6320	5
6321	38
6322	56
6323	5
6324	20
6325	6
6326	10
6327	4
6328	100
6329	7
6330	20
6331	68
6332	469
6333	58
6334	5
6335	4
6336	11
6337	21
6338	13
6339	54
6340	21
6341	7
6342	139
6344	5
6345	76
6346	12
6347	15
6351	3
6352	2
6353	2
6354	3
6355	3
6356	3

3/6



CERTIFICAT D'ANALYSE

TECHNI-LAB

À l'attention de Monsieur Hugues De Corta

Client Falco Pacific Ressource Group
93, rue Arsenault, suite 201
Val d'Or (Québec) J9P 0E9

Date d'émission: 12 sept. 2014
Date de réception : 25 août 2014
Date d'analyses : 11 sept. 2014
Projet : 17903
Certificat : 34506

pyroanalyse
géochimie
environnement

Échantillon #	Cu ppm
------------------	-----------

Méthode utilisée: TMT-G5F

6357	5
6358	3
6359	86
6360	21
6361	5
6362	190
6363	24
6364	32
6365	21
6366	13
6367	8
6368	178
6369	6
6370	4
6371	4
6372	2
6373	2
6374	11
6375	193
6376	15
6377	5
6378	108
6379	14
6380	17
6381	3
6382	6
6383	168
6384	9
6385	11
6386	16
6387	7
6388	109
6389	5
6390	19
3141-Dup	3
6246-Dup	13



CERTIFICAT D'ANALYSE

TECHNI-LAB

À l'attention de Monsieur Hugues De Corta

Client Falco Pacific Ressource Group
93, rue Arsenault, suite 201
Val d'Or (Québec) J9P 0E9

Date d'émission: 12 sept. 2014

Date de réception : 25 août 2014

Date d'analyses : 11 sept. 2014

Projet : 17903

Certificat : 34506

pyroanalyse
géochimie
environnement

Échantillon #	Cu ppm
------------------	-----------

Méthode utilisée: TMT-G5F

6328-Dup	99
6352-Dup	2
6372-Dup	3
6386-Dup	15
CDN-ME-14	12737
CDN-ME-14	13074
CDN-ME-14	12456
GBM908-5	518
GBM908-5	502
GBM908-5	500
GBM908-10	3581
GBM908-10	3741
GBM908-10	3624
SU-1b	11619
SU-1b	11791
SU-1b	11900

**TECHNI-LAB**pyroanalyse
géochimie
environnement**CERTIFICAT D'ANALYSE - ANNEXE 1**

À l'attention de Monsieur Hugues De Corta

Client: Falco Pacific Ressourcé Group
93, rue Arsenault, suite 201
Val d'Or (Québec) J9P 0E9Date d'émission: 12 sept. 2014
Date de réception: 25 août 2014
Date d'analyse: 11 sept. 2014
Projet: 17903
Certificat: 34506**MÉTHODE ACCRÉDITÉE**

- TMT-G5B Au par pyro-analyse, collection avec bouton de plomb, finition par Spectrométrie d'absorption Atomique à la flamme, après digestion d'Aqua Regia par micro-ondes.
- TMT-G5C Au par pyro-analyse, collection avec bouton de plomb finition gravimétrique.
- TMT-G5E Pt, Pd par absorption atomique - four au graphité (GFAA)
- TMT-G5F Métaux par spectroscopie d'émission à plasma couplé par induction (ICP), digestion Aqua Regia

MÉTHODE NON ACCRÉDITÉE

- TMT-G5G Argent par Gravimétrie
- TMT-G2 Densité
- TMT-G5Z Titration du Zinc pour concentrés.

MÉTHODE ACCRÉDITÉE PAR LE CCN

<i>Méthode</i>	<i>Paramètre</i>	<i>Limite de détection</i>	<i>Méthode</i>	<i>Paramètre</i>	<i>Limite de détection</i>
TMT-G5B	Au ppb (5 ml)	8	TMT-G5F	Ag ppm	0.4
TMT-G5B	Au g/t (10 ml)	0.02	TMT-G5F	Co ppm	3
TMT-G5C	Au gravimétrie g/t	0.08	TMT-G5F	Cu ppm	1
TMT-G5E	Pd ppb	2	TMT-G5F	Ni ppm	2
TMT-G5E	Pt ppb	3	TMT-G5F	Pb ppm	4
			TMT-G5F	Zn ppm	1

Ce rapport est pour l'usage exclusif du client et ne peut être reproduit, sinon en entier, sans l'autorisation écrite de Techni-Lab S.G.B. Abitibi inc.





TECHNI-LAB

pyroanalyse
géochimie
environnement

Client :

Monsieur Hugues De Corta

Falco Pacific Ressource Group

93, rue Arsenault, suite 201

Val d'Or (Québec) J9P 0E9

Date d'émission: 8 oct. 2014

Date de réception: 25 sept. 2014

Date d'analyses: 7 oct. 2014

Projet: 17903

Certificat: 34611

CERTIFICAT D'ANALYSE

Notes :

Ce certificat remplace et annule tous certificats antérieurs, le cas échéant.

Ⓢ Ce document est pour l'usage exclusif du client et ne peut être reproduit, sinon en entier, sans l'autorisation écrite de Techni-Lab S. G. B. Abitibi inc. Si vous avez reçu ce certificat par erreur, soyez avisé que tout usage, reproduction ou distribution de celui-ci est strictement interdit. Les échantillons seront conservés pendant 30 jours à partir de la date du certificat à moins d'avis écrit du client.

Ⓢ Ces résultats ne se rapportent qu'aux échantillons soumis pour analyse.



Les résultats des échantillons sont vérifiés et approuvés par :


Samuel APRIL, chimiste 2013-172





TECHNI-LAB

pyroanalyse
géochimie
environnement

CERTIFICAT D'ANALYSE

À l'attention de Monsieur Hugues De Corta

Client Falco Pacific Ressource Group
93, rue Arsenault, suite 201
Val d'Or (Québec) J9P 0E9

Date d'émission: 8 oct. 2014
Date de réception : 25 sept. 2014
Date d'analyses : 7 oct. 2014
Projet : 17903
Certificat : 34611

Échantillon #	Cu ppm
------------------	-----------

Méthode utilisée: TMT-G5F

3334	11
3335	183
3336	8
3337	7
3338	105
3339	39
3340	9
3341	14
3342	7
3343	7
3344	9
3345	15
3346	12
3347	43
3348	352
3349	8
3350	11
6348	46
6349	12
6350	6
6391	6
6392	95
6393	52
6394	3
6395	5
6396	8
6397	7
6398	157
6399	7
6400	5
060351	17
060352	9
060353	24
060354	36
060355	66
060356	26
060357	58

2/4



TECHNI-LAB

pyroanalyse
géochimie
environnement

CERTIFICAT D'ANALYSE

À l'attention de Monsieur Hugues De Corta

Client Falco Pacific Ressource Group
93, rue Arsenault, suite 201
Val d'Or (Québec) J9P 0E9

Date d'émission: 8 oct. 2014
Date de réception : 25 sept. 2014
Date d'analyses : 7 oct. 2014
Projet : 17903
Certificat : 34611

Échantillon #	Cu ppm
------------------	-----------

Méthode utilisée: TMT-GSF

060358	17
060359	3
060360	541
060361	53
060362	15
060363	21
060364	29
060365	20
060366	14
060367	23
3345-Dup	15
060354-Dup	48
060367-Dup	24
CDN-ME-14	12650
GBM908-10	3755
GBM908-10	3682
GBM908-5	506
GBM908-5	510
SU-1b	12119

CERTIFICAT D'ANALYSE - ANNEXE 1



À l'attention de Monsieur Hugues De Corta

Client: Falco Pacific Ressource Group
93, rue Arsenault, suite 201
Val d'Or (Québec) J9P 0E9

Date d'émission: 8 oct. 2014
Date de réception: 25 sept. 2014
Date d'analyse: 7 oct. 2014
Projet: 17903
Certificat: 34611

MÉTHODE ACCRÉDITÉE

- TMT-G5B Au par pyro-analyse; collection avec bouton de plomb, finition par Spectrométrie d'absorption Atomique à la flamme, après digestion d'Aqua Regia par micro-ondes.
- TMT-G5C Au par pyro-analyse, collection avec bouton de plomb finition gravimétrique.
- TMT-G5E Pt, Pd par absorption atomique - four au graphite (GFAA)
- TMT-G5F Métaux par spectroscopie d'émission à plasma couplé par induction (ICP), digestion Aqua Regia

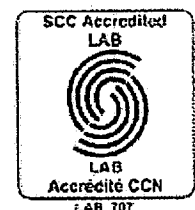
MÉTHODE NON ACCRÉDITÉE

- TMT-G5G Argent par Gravimétrie
- TMT-G2 Densité
- TMT-G5Z Titration du Zinc pour concentrés.

MÉTHODE ACCRÉDITÉE PAR LE CCN

<i>Méthode</i>	<i>Paramètre</i>	<i>Limite de détection</i>	<i>Méthode</i>	<i>Paramètre</i>	<i>Limite de détection</i>
TMT-G5B	Au ppb (5 ml)	8	TMT-G5F	Ag ppm	0.4
TMT-G5B	Au g/t (10 ml)	0.02	TMT-G5F	Co ppm	3
TMT-G5C	Au gravimétrie g/t	0.08	TMT-G5F	Cu ppm	1
TMT-G5E	Pd ppb	2	TMT-G5F	Ni ppm	2
TMT-G5E	Pt ppb	3	TMT-G5F	Pb ppm	4
			TMT-G5F	Zn ppm	1

Ce rapport est pour l'usage exclusif du client et ne peut être reproduit, sinon en entier, sans l'autorisation écrite de Techni-Lab S.G.B. Abitibi inc.



Ressources Falco Ltée.

Résultats de la campagne d'échantillonnage, Été 2014, PROPRIÉTÉ FLAVRIAN

ANNEXE VI

CERTIFICATS D'ANALYSES LITHOGÉOCHIMIQUES

Quality Analysis ...



Innovative Technologies

Date Submitted: 27-Aug-14
Invoice No.: A14-05992
Invoice Date: 09-Sep-14
Your Reference: 34484 SG14-1358 FALCO PROJECT

Techni-Lab Abitibi Inc.(Actlabs)
184 Rue Principale
Ste-Germaine-Boule Quebec J0Z 1M0
Canada

ATTN: Andre Caouette

CERTIFICATE OF ANALYSIS

22 Pulp samples were submitted for analysis.

The following analytical package was requested:

Code 1EX Total Digestion ICP/MS
Code 4C (11+) Whole Rock Analysis-XRF

REPORT **A14-05992**

This report may be reproduced without our consent. If only selected portions of the report are reproduced, permission must be obtained. If no instructions were given at time of sample submittal regarding excess material, it will be discarded within 90 days of this report. Our liability is limited solely to the analytical cost of these analyses. Test results are representative only of material submitted for analysis.

Notes:

Any values for Au are for informational purposes and should be checked by fire assay code 1A2

CERTIFIED BY:

A handwritten signature in black ink, appearing to be "Emmanuel Esemé". The signature is written in a cursive style and is positioned above a horizontal line.

Emmanuel Esemé , Ph.D.
Quality Control

ACTIVATION LABORATORIES LTD.
41 Bittern Street, Ancaster, Ontario, Canada, L9G 4V5
TELEPHONE +905 648-9611 or +1.888.228.5227 FAX +1.905.648.9613
E-MAIL Ancaster@actlabs.com ACTLABS GROUP WEBSITE www.actlabs.com



Results

Analyte Symbol	Al	Ag	As	Au	Ba	Be	Bi	Ca	Cd	Ce	Co	Cr	Cu	Cs	Fe	Hf	K	La	Li	Na	Nb	Ni	P
Unit Symbol	%	ppm	ppm	ppb	ppm	ppm	ppm	%	ppm	ppm	ppm	ppm	ppm	ppm	%	ppm	%	ppm	ppm	%	ppm	ppm	%
Detection Limit	0.01	0.1	1	100	1	1	0.1	0.01	0.1	1	0.2	1	0.1	0.1	0.01	0.1	0.01	0.1	0.1	0.001	0.1	0.1	0.001
Analysis Method	TD-MS	TD-MS	TD-MS	TD-MS	TD-MS	TD-MS	TD-MS	TD-MS	TD-MS	TD-MS	TD-MS	TD-MS	TD-MS	TD-MS	TD-MS	TD-MS	TD-MS	TD-MS	TD-MS	TD-MS	TD-MS	TD-MS	TD-MS
2521	6.79	0.4	< 1	< 100	536	1	< 0.1	3.60	0.1	24	29.4	89	59.1	0.7	5.72	1.4	0.59	9.6	14.7	2.91	0.2	85.8	0.066
2525	5.31	0.2	< 1	< 100	145	2	< 0.1	1.74	< 0.1	41	1.1	172	4.8	< 0.1	1.00	5.9	0.10	15.9	1.4	3.77	13.4	6.8	0.009
2539	5.33	0.2	< 1	< 100	175	< 1	< 0.1	0.38	< 0.1	51	2.8	155	7.9	0.2	1.63	6.1	0.31	20.2	4.6	3.91	13.0	6.8	0.008
2554	3.10	< 0.1	1	< 100	2150	3	< 0.1	9.00	0.2	367	59.5	387	16.4	5.4	8.10	< 0.1	2.84	180	60.5	1.42	0.4	298	0.510
2555	7.43	0.3	< 1	< 100	8910	1	< 0.1	1.52	< 0.1	43	4.9	87	62.8	1.5	1.39	< 0.1	6.14	16.7	2.4	1.89	4.3	20.9	0.031
2556	7.12	< 0.1	< 1	< 100	224	< 1	< 0.1	6.18	< 0.1	29	23.3	159	3.5	0.3	5.06	3.3	0.50	12.1	8.0	1.79	1.3	61.0	0.055
2557	4.85	0.3	< 1	< 100	173	1	< 0.1	1.42	< 0.1	49	1.1	164	4.1	< 0.1	1.09	5.9	0.17	19.4	2.4	3.47	14.5	5.9	0.008
2558	5.41	0.1	< 1	< 100	171	1	< 0.1	1.45	< 0.1	23	1.0	155	6.7	< 0.1	0.73	4.8	0.21	10.3	2.8	3.86	4.3	6.7	0.010
2559	5.26	0.2	< 1	< 100	160	2	< 0.1	1.47	< 0.1	50	1.4	155	3.9	0.2	1.45	4.0	0.10	20.0	0.9	4.06	11.4	6.3	0.007
2560	4.74	0.2	< 1	< 100	152	2	< 0.1	1.04	< 0.1	39	1.3	278	3.5	0.1	1.24	6.6	0.12	11.7	1.7	4.30	15.5	6.8	0.009
2561	7.86	0.5	< 1	< 100	1570	11	0.2	0.99	0.4	71	3.0	126	18.6	0.7	1.85	5.1	1.82	30.3	1.5	4.54	20.5	4.6	0.012
2562	5.24	0.2	< 1	< 100	8120	2	0.1	6.04	< 0.1	277	15.4	90	76.2	1.0	3.82	< 0.1	1.96	122	5.1	1.41	0.4	48.4	0.243
2563	7.45	0.3	< 1	< 100	2800	4	0.2	2.28	0.1	151	7.1	77	72.9	1.1	2.82	< 0.1	2.99	65.5	3.0	2.30	7.1	19.3	0.139
2564	4.59	< 0.1	< 1	< 100	3010	2	0.2	7.41	< 0.1	275	38.9	158	55.4	0.9	6.36	< 0.1	2.55	132	30.1	2.15	0.3	138	0.415
2565	5.71	1.0	5	< 100	7370	1	< 0.1	4.89	< 0.1	301	13.3	90	61.4	1.3	3.56	1.4	5.57	126	4.7	1.93	2.0	41.8	0.270
2566	5.71	0.4	< 1	< 100	6840	2	< 0.1	4.27	< 0.1	187	13.4	109	75.1	0.9	3.83	3.8	3.88	78.5	6.9	2.21	7.9	56.7	0.129
2567	1.80	0.6	1	< 100	1800	2	0.2	10.5	< 0.1	346	39.9	362	159	1.0	7.62	< 0.1	1.30	165	16.8	2.45	1.9	204	0.417
2568	5.43	1.1	< 1	< 100	2960	5	0.2	4.26	< 0.1	235	22.2	126	38.3	3.7	4.74	< 0.1	1.86	114	42.0	2.71	1.2	101	0.198
2569	5.91	0.2	< 1	< 100	4200	2	< 0.1	5.15	< 0.1	230	22.6	164	64.5	1.0	5.53	1.3	1.41	101	12.8	2.77	6.1	83.5	0.236
2570	7.48	< 0.1	< 1	< 100	1870	3	< 0.1	0.83	< 0.1	83	0.5	37	4.3	0.5	0.45	< 0.1	2.68	38.7	0.8	3.70	1.4	3.6	0.339
2571	7.15	0.2	< 1	< 100	1270	4	< 0.1	1.66	< 0.1	22	7.2	60	14.3	0.3	3.33	3.8	2.65	7.6	5.8	3.23	11.7	6.5	0.010
2572	7.56	0.2	< 1	< 100	526	6	< 0.1	0.08	< 0.1	6	0.6	74	5.7	0.2	0.72	5.3	3.09	1.8	0.8	5.34	8.6	4.3	0.006

Results

Analyte Symbol	Rb	Pb	S	Mg	Mn	Mo	Sb	Sc	Sn	Sr	Ta	Th	Ti	Tl	U	V	W	Y	Zn	Zr	Co3O4	CuO	NiO
Unit Symbol	ppm	ppm	%	%	ppm	ppm	ppm	ppm	ppm	ppm	ppm	ppm	%	ppm	ppm	ppm	ppm	ppm	ppm	ppm	%	%	%
Detection Limit	0.1	0.1	0.01	0.01	1	0.1	0.1	1	0.1	1	0.1	0.1	0.001	0.05	0.1	4	0.1	0.1	1	0.1	0.005	0.005	0.003
Analysis Method	TD-MS	TD-MS	TD-MS	TD-MS	TD-MS	TD-MS	TD-MS	TD-MS	TD-MS	TD-MS	TD-MS	TD-MS	TD-MS	TD-MS	TD-MS	TD-MS	TD-MS	TD-MS	TD-MS	TD-MS	FUS-XR F	FUS-XR F	FUS-XR F
2521	27.9	6.4	0.08	2.71	1090	0.3	< 0.1	22	< 0.1	189	< 0.1	1.8	0.128	0.22	0.4	74	< 0.1	23.5	112	59.9	< 0.005	0.006	0.023
2525	1.5	2.2	0.32	0.09	134	20.3	< 0.1	6	1.8	97	0.6	3.7	0.102	< 0.05	1.1	< 4	< 0.1	59.9	5	180	< 0.005	< 0.005	0.008
2539	9.6	2.0	< 0.01	0.44	202	19.2	< 0.1	6	0.7	44	0.5	3.9	0.093	< 0.05	1.8	< 4	< 0.1	46.3	16	222	< 0.005	< 0.005	< 0.003
2554	207	5.4	0.47	7.42	1720	5.1	< 0.1	29	< 0.1	2000	< 0.1	9.8	0.460	0.48	2.0	213	< 0.1	56.0	207	42.4	0.008	< 0.005	0.034
2555	196	3.7	< 0.01	0.60	269	7.7	< 0.1	3	0.7	888	0.3	2.8	0.108	0.66	0.7	27	< 0.1	6.9	23	64.3	< 0.005	0.005	0.004
2556	15.3	1.4	0.20	2.51	585	2.4	< 0.1	20	0.4	166	< 0.1	2.1	0.367	0.07	0.4	110	< 0.1	27.4	34	128	< 0.005	< 0.005	0.005
2557	2.4	1.2	0.56	0.09	155	19.1	< 0.1	5	1.7	77	0.9	4.5	0.083	< 0.05	1.1	< 4	< 0.1	52.2	8	182	< 0.005	< 0.005	< 0.003
2558	2.0	15.1	0.25	0.13	96	21.2	< 0.1	5	1.1	105	0.3	2.5	0.121	< 0.05	0.7	11	< 0.1	17.4	29	156	< 0.005	< 0.005	< 0.003
2559	2.0	4.8	0.40	0.08	248	20.7	< 0.1	7	1.2	83	0.6	3.2	0.103	< 0.05	1.1	< 4	< 0.1	66.0	18	147	< 0.005	< 0.005	< 0.003
2560	1.2	1.7	0.61	0.08	171	23.5	< 0.1	5	1.4	68	1.0	4.6	0.103	< 0.05	1.2	< 4	< 0.1	47.9	7	206	< 0.005	< 0.005	< 0.003
2561	71.1	22.4	0.93	0.31	395	9.6	< 0.1	1	1.3	343	0.4	14.4	0.189	0.47	7.8	32	< 0.1	29.0	86	210	< 0.005	< 0.005	< 0.003
2562	95.2	7.1	0.63	1.77	877	4.7	< 0.1	10	< 0.1	1980	< 0.1	3.8	0.106	0.42	0.7	109	< 0.1	35.5	58	9.3	< 0.005	0.006	0.015
2563	117	42.2	0.58	0.73	619	7.3	< 0.1	2	0.7	753	< 0.1	8.7	0.254	0.87	3.1	75	< 0.1	30.8	61	70.3	< 0.005	0.006	0.012
2564	69.5	25.5	0.25	4.50	1390	4.6	< 0.1	22	< 0.1	1680	< 0.1	7.6	0.275	0.31	1.3	160	< 0.1	46.6	153	51.5	0.005	0.005	0.018
2565	171	4.9	0.07	1.64	740	6.8	< 0.1	9	0.6	1940	< 0.1	3.3	0.405	0.56	0.5	92	< 0.1	40.2	45	138	< 0.005	0.006	0.003
2566	145	4.5	< 0.01	1.64	870	5.6	0.7	9	2.2	1380	0.4	3.7	0.372	0.55	1.0	98	< 0.1	34.0	60	199	< 0.005	0.007	0.004
2567	52.4	3.8	0.07	5.18	1390	5.9	0.1	36	2.6	2600	< 0.1	3.5	0.322	0.22	0.9	223	< 0.1	47.1	94	10.2	< 0.005	0.016	0.024
2568	116	13.6	0.05	2.71	947	5.6	< 0.1	12	0.2	1670	< 0.1	71.9	0.268	0.35	6.9	145	< 0.1	41.5	104	55.1	< 0.005	< 0.005	0.013
2569	53.4	12.8	< 0.01	2.42	1030	6.5	< 0.1	13	1.2	2710	0.2	6.4	0.444	0.30	1.4	150	< 0.1	50.3	95	92.2	< 0.005	0.006	0.030
2570	73.6	3.1	0.55	0.05	58	5.8	< 0.1	< 1	< 0.1	492	< 0.1	1.4	0.017	0.56	0.5	4	< 0.1	7.8	6	2.5	< 0.005	< 0.005	0.005
2571	69.1	12.7	0.85	0.92	569	5.5	< 0.1	8	2.0	128	0.2	0.9	0.193	0.50	0.4	114	< 0.1	9.1	52	147	< 0.005	< 0.005	< 0.003
2572	55.6	3.5	0.44	0.08	65	13.3	< 0.1	< 1	0.9	69	0.2	3.5	0.051	0.31	2.8	10	< 0.1	5.0	18	159	< 0.005	< 0.005	< 0.003

Results

Analyte Symbol	SiO2	Al2O3	Fe2O3(T)	MnO	MgO	CaO	Na2O	K2O	TiO2	P2O5	Cr2O3	V2O5	LOI	Total
Unit Symbol	%	%	%	%	%	%	%	%	%	%	%	%	%	%
Detection Limit	0.01	0.01	0.01	0.001	0.01	0.01	0.01	0.01	0.01	0.01	0.01	0.003		0.01
Analysis Method	FUS-XR F	FUS-XR F	FUS-XR F	FUS-XR F	FUS-XR F	FUS-XR F	FUS-XR F	FUS-XR F	FUS-XR F	FUS-XR F	FUS-XR F	FUS-XR F	FUS-XR F	FUS-XR F
2521	55.90	15.35	9.44	0.167	5.16	5.30	4.04	1.18	1.30	0.19	0.03	0.040	2.52	100.6
2525	78.71	11.52	1.45	0.018	0.11	2.45	5.03	0.31	0.18	0.02	0.05	< 0.003	0.63	100.5
2539	77.63	11.42	2.54	0.030	0.72	0.52	5.21	0.47	0.16	< 0.01	0.04	< 0.003	1.17	99.93
2554	46.02	6.54	11.92	0.231	13.15	12.43	1.60	3.88	1.32	1.67	0.11	0.024	1.56	100.5
2555	63.26	16.72	2.17	0.034	1.14	2.08	2.32	11.48	0.18	0.06	0.01	< 0.003	0.45	99.91
2556	58.57	15.53	7.49	0.077	4.43	8.49	2.06	0.71	0.99	0.13	0.03	0.030	2.15	100.7
2557	78.41	11.42	1.76	0.023	0.11	2.17	4.92	0.38	0.16	< 0.01	0.04	< 0.003	0.68	100.1
2558	79.73	11.39	1.03	0.014	0.16	1.99	4.92	0.42	0.20	0.01	0.04	< 0.003	0.66	100.6
2559	78.11	11.23	2.26	0.036	0.07	2.05	5.42	0.23	0.18	0.01	0.04	< 0.003	0.69	100.3
2560	77.73	11.70	1.99	0.022	0.09	1.64	5.65	0.21	0.17	0.01	0.04	< 0.003	0.74	100.00
2561	65.14	16.81	2.87	0.055	0.48	1.33	5.90	6.17	0.33	0.02	0.02	< 0.003	0.78	99.91
2562	56.60	11.22	5.98	0.123	3.27	8.45	1.71	7.98	0.66	0.99	0.03	< 0.003	2.23	99.26
2563	61.40	15.71	4.16	0.087	1.24	3.00	2.82	9.49	0.44	0.34	0.02	< 0.003	1.14	99.86
2564	51.97	9.62	9.54	0.193	8.02	10.45	2.67	3.90	1.04	1.52	0.05	0.003	1.69	100.7
2565	58.27	12.52	5.48	0.102	2.99	6.81	2.38	8.63	0.95	0.75	0.01	< 0.003	0.58	99.48
2566	59.63	12.54	5.88	0.119	3.03	6.14	2.81	8.22	0.76	0.32	0.02	< 0.003	0.59	100.1
2567	51.61	3.92	11.85	0.195	9.73	15.54	3.22	1.91	0.63	1.12	0.07	0.024	0.61	100.5
2568	56.08	11.95	7.39	0.138	4.99	6.03	3.62	6.96	0.82	0.82	0.03	< 0.003	1.10	99.95
2569	54.70	13.19	8.85	0.150	4.49	7.39	3.72	5.18	0.94	0.66	0.04	< 0.003	0.98	100.3
2570	64.47	17.99	0.65	0.006	0.06	1.24	4.79	9.24	0.03	0.82	< 0.01	< 0.003	0.56	99.86
2571	63.67	14.84	5.01	0.079	1.57	2.22	4.14	8.22	0.32	0.01	0.01	0.007	0.67	100.8
2572	70.06	16.47	1.02	0.009	0.07	0.10	6.86	4.98	0.09	< 0.01	0.02	< 0.003	0.56	100.2

QC

Analyte Symbol	Al	Ag	As	Au	Ba	Be	Bi	Ca	Cd	Ce	Co	Cr	Cu	Cs	Fe	Hf	K	La	Li	Na	Nb	Ni	P
Unit Symbol	%	ppm	ppm	ppb	ppm	ppm	ppm	%	ppm	ppm	ppm	ppm	ppm	ppm	%	ppm	%	ppm	ppm	%	ppm	ppm	%
Detection Limit	0.01	0.1	1	100	1	1	0.1	0.01	0.1	1	0.2	1	0.1	0.1	0.01	0.1	0.01	0.1	0.1	0.001	0.1	0.1	0.001
Analysis Method	TD-MS	TD-MS	TD-MS	TD-MS	TD-MS	TD-MS	TD-MS	TD-MS	TD-MS	TD-MS	TD-MS	TD-MS	TD-MS	TD-MS	TD-MS	TD-MS	TD-MS	TD-MS	TD-MS	TD-MS	TD-MS	TD-MS	TD-MS
GXR-1 Meas	1.86	33.2	457	> 2000	645	< 1	1260	0.92	2.2	13	8.4	12	1230	2.6	24.5	0.2	0.04	6.8	8.3	0.048	0.9	42.8	0.066
GXR-1 Cert	3.52	31.0	427	3300	750	1.22	1380	0.960	3.30	17.0	8.20	12.0	1110	3.00	23.6	0.960	0.050	7.50	8.20	0.0520	0.800	41.0	0.0650
NIST 694 Meas																							
NIST 694 Cert																							
GXR-4 Meas	6.30	3.7	107	500	112	2	18.9	1.06	0.2	96	14.6	45		2.5	2.91	1.3	1.50	51.9	13.3	0.543	8.7	42.1	0.141
GXR-4 Cert	7.20	4.0	98.0	500	1640	1.90	19.0	1.01	0.860	102	14.6	64.0		2.80	3.09	6.30	4.01	64.5	11.1	0.564	10.0	42.0	0.120
SDC-1 Meas	7.48		< 1		584	3		1.08		77	18.7	47	32.9	3.7	4.67	0.8	1.15	36.7	37.6	1.57	0.2	37.0	0.064
SDC-1 Cert	8.34		0.220		630	3.00		1.00		93.00	18.0	64.00	30.000	4.00	4.82	8.30	2.72	42.00	34.00	1.52	21.00	38.0	0.0690
GXR-6 Meas	11.3	0.4	315		1110	1	0.2	0.17	< 0.1	32	14.0	73	76.0	4.1	5.44	2.4	0.84	12.2	38.6	0.098	3.8	26.6	0.041
GXR-6 Cert	17.7	1.30	330		1300	1.40	0.290	0.180	1.00	36.0	13.8	96.0	66.0	4.20	5.58	4.30	1.87	13.9	32.0	0.104	7.50	27.0	0.0350
AC-E Meas																							
AC-E Cert																							
OREAS 13P Meas																							
OREAS 13P Cert																							
MICA-Mg Meas																							
MICA-Mg Cert																							
NCS DC73304 (GBW 07106) Meas																							
NCS DC73304 (GBW 07106) Cert																							
SAR-M (U.S.G.S.) Meas	5.68	3.5	40		743	3	1.7	0.61	4.5	104	11.3	84	363		3.10		1.22	50.5	32.4	1.26	11.3	47.5	0.069
SAR-M (U.S.G.S.) Cert	6.30	3.64	38.8		801	2.20	1.94	0.61	5.27	122.0	10.70	79.7			2.99		2.94	57.4	27.4	1.140	29.9	41.5	0.07
DNC-1a Meas					108						58.9	258	110						3.5	5.4			287
DNC-1a Cert					118						57.0	270	100.00						3.6	5.20			247
SBC-1 Meas			25		614	3	0.6		0.3	53	21.6	95	30.2	4.8		3.2		21.8	164			13.4	84.0
SBC-1 Cert			25.7		788.0	3.20	0.70		0.40	108.0	22.7	109	31.0000	8.2		3.7		52.5	163.0			15.3	82.8
2564 Orig	4.47	< 0.1	< 1	< 100	2940	2	0.2	7.18	< 0.1	267	38.3	145	55.1	0.9	6.30	< 0.1	2.34	128	28.3	2.10	0.3	135	0.401
2564 Dup	4.71	< 0.1	< 1	< 100	3080	3	0.2	7.65	0.1	283	39.6	172	55.6	0.9	6.42	< 0.1	2.77	135	30.9	2.20	0.3	141	0.430
2569 Orig	5.69	0.2	< 1	< 100	4100	1	< 0.1	4.99	< 0.1	228	22.0	161	63.1	0.9	5.34	0.6	1.40	98.9	12.6	2.69	4.5	81.0	0.205
2569 Dup	6.13	0.2	< 1	< 100	4300	2	< 0.1	5.31	< 0.1	232	23.3	167	65.8	1.0	5.71	1.9	1.43	103	13.0	2.85	7.8	86.0	0.266
2572 Orig																							
2572 Dup																							
Method Blank	< 0.01	< 0.1	< 1	< 100	< 1	< 1	< 0.1	< 0.01	< 0.1	< 1	< 0.2	< 1	< 0.1	< 0.1	< 0.01	< 0.1	< 0.01	< 0.1	< 0.1	< 0.001	< 0.1	< 0.1	< 0.001
Method Blank	< 0.01	< 0.1	< 1	< 100	< 1	< 1	< 0.1	< 0.01	< 0.1	< 1	< 0.2	< 1	< 0.1	< 0.1	< 0.01	< 0.1	< 0.01	< 0.1	< 0.1	< 0.001	< 0.1	< 0.1	< 0.001
Method Blank																							

QC

Analyte Symbol	Rb	Pb	S	Mg	Mn	Mo	Sb	Sc	Sn	Sr	Ta	Th	Tl	Tl	U	V	W	Y	Zn	Zr	Co3O4	CuO	NiO
Unit Symbol	ppm	ppm	%	%	ppm	ppm	ppm	ppm	ppm	ppm	ppm	ppm	%	ppm	ppm	ppm	ppm	ppm	ppm	ppm	%	%	%
Detection Limit	0.1	0.1	0.01	0.01	1	0.1	0.1	1	0.1	1	0.1	0.1	0.001	0.05	0.1	4	0.1	0.1	1	0.1	0.005	0.005	0.003
Analysis Method	TD-MS	TD-MS	TD-MS	TD-MS	TD-MS	TD-MS	TD-MS	TD-MS	TD-MS	TD-MS	TD-MS	TD-MS	TD-MS	TD-MS	TD-MS	TD-MS	TD-MS	TD-MS	TD-MS	TD-MS	FUS-XR F	FUS-XR F	FUS-XR F
GXR-1 Meas	2.8	686	0.31	0.21	865	17.8	31.4	1	25.7	285	< 0.1	3.8	0.027	0.37	35.6	89	134	30.9	793	21.4			
GXR-1 Cert	14.0	730	0.257	0.217	852	18.0	122	1.58	54.0	275	0.175	2.44	0.036	0.390	34.9	80.0	164	32.0	760	38.0			
NIST 694 Meas																							
NIST 694 Cert																							
GXR-4 Meas	96.0	49.0	1.84	1.67	160	297	4.0	7	6.5	203	0.6	17.3	0.279	3.04	6.2	93	34.3	14.1	72	44.5			
GXR-4 Cert	160	52.0	1.77	1.66	155	310	4.80	7.70	5.60	221	0.790	22.5	0.29	3.20	6.20	87.0	30.8	14.0	73.0	186			

Analyte Symbol	Rb	Pb	S	Mg	Mn	Mo	Sb	Sc	Sn	Sr	Ta	Th	Ti	Tl	U	V	W	Y	Zn	Zr	Co3O4	CuO	NiO	
Unit Symbol	ppm	ppm	%	%	ppm	ppm	ppm	ppm	ppm	ppm	ppm	ppm	%	ppm	ppm	ppm	ppm	ppm	ppm	ppm	%	%	%	
Detection Limit	0.1	0.1	0.01	0.01	1	0.1	0.1	1	0.1	1	0.1	0.1	0.001	0.05	0.1	4	0.1	0.1	1	0.1	0.005	0.005	0.003	
Analysis Method	TD-MS	TD-MS	TD-MS	TD-MS	TD-MS	TD-MS	TD-MS	TD-MS	TD-MS	TD-MS	TD-MS	TD-MS	TD-MS	TD-MS	TD-MS	TD-MS	TD-MS	TD-MS	TD-MS	TD-MS	FUS-XR F	FUS-XR F	FUS-XR F	
SDC-1 Meas	85.9	22.9		0.98	842		< 0.1	14	0.3	171	< 0.1	11.1	0.178	0.54	2.9	53	< 0.1		105	35.9				
SDC-1 Cert	127.00	25.00		1.02	880.00		0.54	17.00	3.00	180.00	1.20	12.00	0.606	0.70	3.10	102.00	0.80		103.00	290.00				
GXR-6 Meas	59.9	101	< 0.01	0.57	1040	1.4	2.0	25	0.9	36	0.2	5.6		2.06	1.6	179	0.8	13.4	135	97.0				
GXR-6 Cert	90.0	101	0.0160	0.609	1010	2.40	3.60	27.6	1.70	35.0	0.485	5.30		2.20	1.54	186	1.90	14.0	118	110				
AC-E Meas																								
AC-E Cert																								
OREAS 13P Meas																								
OREAS 13P Cert																					0.013	0.324	0.305	
MICA-Mg Meas																								
MICA-Mg Cert																								
NCS DC73304 (GBW 07106) Meas																								
NCS DC73304 (GBW 07106) Cert																								
SAR-M (U.S.G.S.) Meas	99.1	899		0.48	5280	11.1	4.3	8	3.0	148		16.3	0.359	2.42	4.5	73	4.7	31.4	962					
SAR-M (U.S.G.S.) Cert	146	982		0.50	5220	13.1	6.0	7.83	2.76	151		17.2	0.38	2.7	3.57	67.2	9.78	28.00	930.0					
DNC-1a Meas							0.7	30		140			0.291			154		17.5	70	42.5				
DNC-1a Cert							0.96	31		144.0			0.29			148.00		18.0	70.0	38.000				
SBC-1 Meas	27.3	32.5			1.9	0.9	12	3.1	140	0.9			0.459	0.70	4.6	214	1.1	21.4	182	113				
SBC-1 Cert	147	35.0			2.40	1.01	20.0	3.3	178.0	1.10			0.51	0.89	5.76	220.0	1.60	36.5	186.0	134.0				
2564 Orig	66.2	24.6	0.36	4.38	1360	4.3	< 0.1	21	< 0.1	1640	< 0.1	7.1	0.259	0.31	1.2	153	< 0.1	45.6	150	25.0				
2564 Dup	72.9	26.4	0.14	4.63	1420	5.0	< 0.1	22	< 0.1	1720	< 0.1	8.2	0.291	0.31	1.4	167	< 0.1	47.7	155	78.0				
2569 Orig	52.5	12.4	< 0.01	2.34	999	6.3	< 0.1	12	0.8	2650	0.1	7.2	0.402	0.30	1.9	144	< 0.1	49.4	95	78.8				
2569 Dup	54.4	13.2	0.04	2.51	1060	6.8	< 0.1	13	1.6	2770	0.3	5.6	0.487	0.30	0.8	157	< 0.1	51.2	95	106				
2572 Orig																					< 0.005	< 0.005	< 0.003	
2572 Dup																						< 0.005	< 0.005	< 0.003
Method Blank	< 0.1	< 0.1	< 0.01	< 0.01	< 1	< 0.1	< 0.1	< 1	< 0.1	< 1	< 0.1	< 0.1	< 0.001	< 0.05	< 0.1	< 4	< 0.1	< 0.1	< 1	< 0.1				
Method Blank	< 0.1	< 0.1	< 0.01	< 0.01	< 1	< 0.1	< 0.1	< 1	< 0.1	< 1	< 0.1	< 0.1	< 0.001	< 0.05	< 0.1	< 4	< 0.1	< 0.1	< 1	< 0.1				
Method Blank																						< 0.005	< 0.005	< 0.003

QC

Analyte Symbol	SiO2	Al2O3	Fe2O3(T)	MnO	MgO	CaO	Na2O	K2O	TiO2	P2O5	Cr2O3	V2O5	LOI	Total
Unit Symbol	%	%	%	%	%	%	%	%	%	%	%	%	%	%
Detection Limit	0.01	0.01	0.01	0.001	0.01	0.01	0.01	0.01	0.01	0.01	0.01	0.003		0.01
Analysis Method	FUS-XR F	FUS-XR F	FUS-XR F	FUS-XR F	FUS-XR F	FUS-XR F	FUS-XR F	FUS-XR F	FUS-XR F	FUS-XR F	FUS-XR F	FUS-XR F	FUS-XR F	FUS-XR F
GXR-1 Meas														
GXR-1 Cert														
NIST 694 Meas	11.44	1.72	0.85	0.014	0.33	43.88	0.84	0.54	0.13	30.58	0.11	0.289		
NIST 694 Cert	11.2	1.80	0.790	0.0116	0.330	43.6	0.860	0.510	0.110	30.2	0.10	0.311		
GXR-4 Meas														
GXR-4 Cert														
SDC-1 Meas														
SDC-1 Cert														
GXR-6 Meas														

Analyte Symbol	SiO2	Al2O3	Fe2O3(T)	MnO	MgO	CaO	Na2O	K2O	TiO2	P2O5	Cr2O3	V2O5	LOI	Total
Unit Symbol	%	%	%	%	%	%	%	%	%	%	%	%	%	%
Detection Limit	0.01	0.01	0.01	0.001	0.01	0.01	0.01	0.01	0.01	0.01	0.01	0.003		0.01
Analysis Method	FUS-XR F	FUS-XR F	FUS-XR F	FUS-XR F	FUS-XR F	FUS-XR F	FUS-XR F	FUS-XR F	FUS-XR F	FUS-XR F	FUS-XR F	FUS-XR F	FUS-XR F	FUS-XR F
GXR-6 Cert														
AC-E Meas	70.24	15.40	2.59	0.062	0.03	0.39	6.50	4.59	0.12					
AC-E Cert	70.35	14.70	2.56	0.058	0.03	0.34	6.54	4.49	0.11					
OREAS 13P Meas														
OREAS 13P Cert														
MICA-Mg Meas	38.03	15.17	9.41	0.254	19.79	0.09	0.11	9.78	1.66	0.01	0.01			
MICA-Mg Cert	38.30	15.20	9.46	0.26	20.40	0.08	0.12	10.00	1.63	0.01	0.01			
NCS DC73304 (GBW 07106) Meas	88.73	3.60	3.24		0.09	0.35	0.08	0.63		0.22				
NCS DC73304 (GBW 07106) Cert	90.36	3.52	3.22		0.082	0.30	0.061	0.65		0.222				
SAR-M (U.S.G.S.) Meas														
SAR-M (U.S.G.S.) Cert														
DNC-1a Meas														
DNC-1a Cert														
SBC-1 Meas														
SBC-1 Cert														
2564 Orig														
2564 Dup														
2569 Orig														
2569 Dup														
2572 Orig	70.38	16.48	1.02	0.010	0.07	0.10	6.84	5.03	0.09	< 0.01	0.02	< 0.003	0.57	100.6
2572 Dup	69.74	16.45	1.02	0.009	0.08	0.10	6.87	4.93	0.09	< 0.01	0.03	< 0.003	0.54	99.85
Method Blank														
Method Blank														
Method Blank	< 0.01	< 0.01	< 0.01	< 0.001	< 0.01	< 0.01	< 0.01	< 0.01	< 0.01	< 0.01	< 0.01	< 0.003		

Quality Analysis ...



Innovative Technologies

Date Submitted: 12-Sep-14
Invoice No.: A14-06554
Invoice Date: 30-Sep-14
Your Reference: SG14-1421/1422 34529+34530 FAL

Techni-Lab Abitibi Inc.(Actlabs)
184 Rue Principale
Ste-Germaine-Boule Quebec J0Z 1M0
Canada

ATTN: Andre Caouette

CERTIFICATE OF ANALYSIS

15 Pulp samples were submitted for analysis.

The following analytical package was requested:

Code 1EX Total Digestion ICP/MS
Code 4C (11+) Whole Rock Analysis-XRF

REPORT **A14-06554**

This report may be reproduced without our consent. If only selected portions of the report are reproduced, permission must be obtained. If no instructions were given at time of sample submittal regarding excess material, it will be discarded within 90 days of this report. Our liability is limited solely to the analytical cost of these analyses. Test results are representative only of material submitted for analysis.

Notes:

Any values for Au are for informational purposes and should be checked by fire assay code 1A2

CERTIFIED BY:

A handwritten signature in black ink, appearing to be "Emmanuel Esemé". The signature is written in a cursive style with some loops and flourishes.

Emmanuel Esemé , Ph.D.
Quality Control

ACTIVATION LABORATORIES LTD.
41 Bittern Street, Ancaster, Ontario, Canada, L9G 4V5
TELEPHONE +905 648-9611 or +1.888.228.5227 FAX +1.905.648.9613
E-MAIL Ancaster@actlabs.com ACTLABS GROUP WEBSITE www.actlabs.com



Results

Analyte Symbol	Co3O4	CuO	NiO	SiO2	Al2O3	Fe2O3(T)	MnO	MgO	CaO	Na2O	K2O	TiO2	P2O5	Cr2O3	V2O5	LOI	Total	Al	Ag	As	Au	Ba	Be
Unit Symbol	%	%	%	%	%	%	%	%	%	%	%	%	%	%	%	%	%	%	ppm	ppm	ppb	ppm	ppm
Detection Limit	0.005	0.005	0.003	0.01	0.01	0.01	0.001	0.01	0.01	0.01	0.01	0.01	0.01	0.01	0.003		0.01	0.01	0.1	1	100	1	1
Analysis Method	FUS-XR F	FUS-XR F	FUS-XR F	FUS-XR F	FUS-XR F	FUS-XR F	FUS-XR F	FUS-XR F	FUS-XR F	FUS-XR F	FUS-XR F	FUS-XR F	FUS-XR F	FUS-XR F	FUS-XR F	FUS-XR F	FUS-XR F	TD-MS	TD-MS	TD-MS	TD-MS	TD-MS	TD-MS
2573	0.006	0.017	0.005	50.06	13.13	14.05	0.220	6.51	10.37	1.69	0.44	1.23	0.11	0.02	0.065	2.14	100.1	6.01	0.1	4	< 100	68	< 1
6243	< 0.005	< 0.005	< 0.003	76.02	11.17	3.64	0.025	0.31	1.22	4.81	0.47	0.18	0.02	0.03	< 0.003	0.93	98.82	5.25	0.4	2	< 100	157	2
6247	< 0.005	< 0.005	< 0.003	74.40	11.18	5.76	0.029	1.12	0.27	4.26	0.49	0.38	0.06	0.03	0.004	1.37	99.36	5.44	0.3	1	< 100	99	1
6343	< 0.005	< 0.005	< 0.003	74.15	11.69	4.25	0.072	0.41	2.00	4.21	1.08	0.34	0.07	0.03	0.004	1.19	99.50	5.49	0.2	1	< 100	284	1
049536	< 0.005	< 0.005	< 0.003	53.25	17.27	9.71	0.165	5.41	6.18	3.35	0.47	1.15	0.14	0.02	0.050	2.73	99.91	8.36	0.1	< 1	< 100	174	< 1
049537	0.005	< 0.005	< 0.003	53.17	16.71	9.94	0.177	5.64	3.32	4.53	0.39	1.16	0.14	0.02	0.050	3.39	98.64	8.05	0.1	< 1	< 100	151	< 1
049538	0.008	< 0.005	0.007	51.31	20.07	9.00	0.125	4.48	3.53	5.71	0.70	1.19	0.12	0.03	0.052	3.09	99.43	> 20.0	0.1	< 1	< 100	292	< 1
049539	< 0.005	0.006	0.010	56.04	16.63	5.25	0.103	0.79	15.89	0.23	0.16	0.91	0.09	0.05	0.045	3.14	99.35	7.51	0.2	< 1	< 100	25	< 1
049540	0.006	0.008	0.018	46.30	14.95	11.01	0.173	8.30	8.27	1.37	0.48	1.02	0.12	0.04	0.043	7.57	99.68	7.16	< 0.1	< 1	< 100	71	< 1
049541	< 0.005	< 0.005	0.007	56.30	17.63	5.70	0.100	1.40	11.43	2.54	0.47	0.92	0.10	0.04	0.065	2.65	99.36	4.76	< 0.1	< 1	< 100	63	< 1
049542	0.007	0.007	0.011	45.99	18.91	9.18	0.136	7.89	11.91	0.87	1.05	0.66	0.04	0.04	0.043	3.48	100.2	8.41	< 0.1	< 1	< 100	189	< 1
049543	0.005	0.010	0.009	51.12	15.64	9.46	0.145	6.94	9.45	2.12	0.74	0.88	0.10	0.03	0.046	2.95	99.64	6.61	< 0.1	< 1	< 100	220	< 1
049544	< 0.005	0.016	< 0.003	50.48	14.00	14.32	0.231	4.58	8.98	2.30	0.17	1.66	0.25	0.01	0.063	2.99	100.1	6.56	0.1	4	< 100	61	< 1
049545	0.005	0.013	< 0.003	50.07	13.78	14.28	0.252	4.72	7.96	2.53	0.27	1.62	0.23	0.02	0.060	3.06	98.87	6.54	0.1	< 1	< 100	93	< 1
049546	0.007	0.030	0.010	58.07	17.17	6.95	0.134	2.34	7.39	3.92	0.22	0.99	0.11	0.04	0.049	2.21	99.63	7.99	0.2	2	< 100	53	< 1

Results

Analyte Symbol	Bi	Ca	Cd	Ce	Co	Cr	Cu	Cs	Fe	Hf	K	La	Li	Na	Nb	Ni	P	Rb	Pb	S	Mg	Mn	Mo
Unit Symbol	ppm	%	ppm	ppm	ppm	ppm	ppm	ppm	%	ppm	%	ppm	ppm	%	ppm	ppm	%	ppm	ppm	%	%	ppm	ppm
Detection Limit	0.1	0.01	0.1	1	0.2	1	0.1	0.1	0.01	0.1	0.01	0.1	0.1	0.001	0.1	0.1	0.001	0.1	0.1	0.01	0.01	1	0.1
Analysis Method	TD-MS	TD-MS	TD-MS	TD-MS	TD-MS	TD-MS	TD-MS	TD-MS	TD-MS	TD-MS	TD-MS	TD-MS	TD-MS	TD-MS	TD-MS	TD-MS	TD-MS	TD-MS	TD-MS	TD-MS	TD-MS	TD-MS	TD-MS
2573	< 0.1	7.16	0.2	12	49.7	109	154	0.2	9.07	1.6	0.24	4.8	9.6	1.33	2.5	68.0	0.051	8.4	4.5	0.55	3.51	1600	4.1
6243	< 0.1	0.95	0.2	39	2.7	139	15.8	0.2	2.41	7.2	0.23	16.3	3.9	3.92	14.1	4.8	0.014	7.4	3.9	0.39	0.24	199	14.3
6247	< 0.1	0.24	< 0.1	53	5.4	151	27.9	0.2	3.83	4.2	0.30	21.9	8.9	3.51	14.4	4.7	0.033	9.7	2.3	0.43	0.68	222	14.1
6343	0.1	1.51	< 0.1	41	4.6	177	30.4	0.2	2.77	2.3	0.65	18.0	7.4	3.50	9.7	6.1	0.039	18.0	2.2	0.65	0.27	538	16.1
049536	< 0.1	4.59	0.1	23	35.3	121	13.2	0.3	6.72	2.9	0.28	9.9	12.0	2.74	3.9	46.8	0.073	11.0	1.0	0.46	3.08	1270	5.4
049537	< 0.1	2.51	0.3	21	36.8	93	15.8	0.2	6.65	2.4	0.25	8.4	18.8	3.71	3.1	45.7	0.070	9.3	1.4	0.59	3.23	1340	2.5
049538	< 0.1	2.64	0.4	17	51.8	132	< 0.1	0.5	6.08	1.8	0.40	7.5	13.6	4.70	3.5	88.4	0.066	13.5	3.1	0.59	2.52	945	1.9
049539	< 0.1	10.7	< 0.1	16	26.5	178	63.5	< 0.1	3.41	1.3	0.09	7.1	4.9	0.196	2.5	102	0.046	2.2	1.5	0.10	0.43	754	11.0
049540	< 0.1	6.07	< 0.1	15	47.5	265	44.9	0.7	7.58	1.0	0.31	6.0	24.1	1.13	2.3	209	0.065	14.7	2.1	0.38	4.64	1320	1.4
049541	< 0.1	7.80	< 0.1	14	23.8	262	26.3	0.2	3.64	1.3	0.22	6.6	5.5	2.00	3.2	82.2	0.044	4.6	1.6	0.45	0.67	726	13.5
049542	< 0.1	8.02	< 0.1	4	39.1	266	62.3	0.6	5.82	0.4	0.69	1.5	17.9	0.706	0.9	121	0.026	34.3	1.2	0.43	4.17	1000	5.9
049543	< 0.1	6.15	< 0.1	13	39.5	149	85.5	0.4	5.71	1.1	0.43	6.0	12.0	1.55	1.9	83.0	0.048	17.2	1.0	0.66	3.49	964	5.0
049544	< 0.1	6.32	0.1	22	35.9	67	155	0.2	9.68	0.7	0.10	9.4	10.4	1.86	2.1	23.4	0.118	2.1	1.5	0.78	2.56	1720	1.6
049545	< 0.1	5.68	< 0.1	21	34.9	65	129	0.3	9.53	0.8	0.17	8.9	11.8	2.07	2.3	24.1	0.114	5.0	1.0	0.32	2.66	1860	1.9
049546	< 0.1	5.17	0.2	16	45.0	161	257	0.1	4.53	1.5	0.07	7.1	6.3	3.20	2.6	110	0.057	2.0	1.7	0.59	1.32	971	6.8

Results

Analyte Symbol	Sb	Sc	Sn	Sr	Ta	Th	Ti	Tl	U	V	W	Y	Zn	Zr
Unit Symbol	ppm	ppm	ppm	ppm	ppm	ppm	%	ppm	ppm	ppm	ppm	ppm	ppm	ppm
Detection Limit	0.1	1	0.1	1	0.1	0.1	0.001	0.05	0.1	4	0.1	0.1	1	0.1
Analysis Method	TD-MS	TD-MS	TD-MS	TD-MS	TD-MS	TD-MS	TD-MS	TD-MS	TD-MS	TD-MS	TD-MS	TD-MS	TD-MS	TD-MS
2573	< 0.1	40	0.4	110	0.1	1.1	0.556	0.06	0.1	268	< 0.1	25.5	107	58.6
6243	0.1	8	2.2	90	0.7	3.2	0.116	< 0.05	0.8	< 4	0.2	62.7	28	265
6247	0.2	8	1.0	47	0.6	2.7	0.234	< 0.05	0.7	13	0.6	32.2	22	181
6343	0.2	6	1.5	76	0.5	2.6	0.202	< 0.05	0.5	10	< 0.1	51.1	64	75.4
049536	0.1	28	0.5	95	0.2	2.2	0.588	< 0.05	0.3	232	< 0.1	24.8	97	123
049537	< 0.1	28	0.3	74	0.1	1.4	0.528	< 0.05	0.3	201	< 0.1	23.1	121	102
049538	0.1	30	0.3	139	0.2	1.1	0.589	0.07	0.2	216	0.2	15.5	84	84.0
049539	< 0.1	22	0.8	140	0.1	0.9	0.426	< 0.05	0.2	193	< 0.1	13.0	25	51.9
049540	0.2	28	0.3	241	0.1	0.7	0.474	0.06	0.1	183	< 0.1	15.4	111	39.3
049541	0.1	12	0.6	121	0.2	0.7	0.463	0.05	0.2	299	0.2	10.0	44	51.9
049542	0.4	25	0.6	167	< 0.1	0.4	0.366	0.17	< 0.1	206	0.2	6.6	57	18.6
049543	0.2	20	0.4	176	< 0.1	0.8	0.361	0.10	0.2	164	< 0.1	12.0	71	48.2
049544	< 0.1	36	0.3	208	< 0.1	0.9	0.433	< 0.05	0.2	190	< 0.1	20.8	96	26.4
049545	< 0.1	37	0.3	165	< 0.1	0.9	0.440	< 0.05	0.2	182	< 0.1	19.9	109	32.0
049546	0.2	25	0.6	143	0.1	0.9	0.433	< 0.05	0.2	193	< 0.1	14.7	109	61.3

QC

Analyte Symbol	Co3O4	CuO	NiO	SiO2	Al2O3	Fe2O3(T)	MnO	MgO	CaO	Na2O	K2O	TiO2	P2O5	Cr2O3	V2O5	LOI	Total	Al	Ag	As	Au	Ba	Be
Unit Symbol	%	%	%	%	%	%	%	%	%	%	%	%	%	%	%	%	%	%	ppm	ppm	ppb	ppm	ppm
Detection Limit	0.005	0.005	0.003	0.01	0.01	0.01	0.001	0.01	0.01	0.01	0.01	0.01	0.01	0.01	0.003		0.01	0.01	1	100	1	1	1
Analysis Method	FUS-XR F	FUS-XR F	FUS-XR F	FUS-XR F	FUS-XR F	FUS-XR F	FUS-XR F	FUS-XR F	FUS-XR F	FUS-XR F	FUS-XR F	FUS-XR F	FUS-XR F	FUS-XR F	FUS-XR F	FUS-XR F	FUS-XR F	TD-MS	TD-MS	TD-MS	TD-MS	TD-MS	TD-MS
GXR-1 Meas																		1.65	31.0	417	> 2000	716	1
GXR-1 Cert																		3.52	31.0	427	3300	750	1.22
MICA-FE Meas	0.005	< 0.005	0.004	34.49	19.44	25.83	0.354	4.68	0.49	0.34	8.75	2.53	0.40	0.01	0.028								
MICA-FE Cert	0.003	0.001	0.004	34.4	19.5	25.6	0.350	4.55	0.430	0.300	8.75	2.50	0.450	0.01	0.024								
GXR-4 Meas																		6.09	3.4	97	400	783	2
GXR-4 Cert																		7.20	4.0	98.0	500	1640	1.90
AN-G Meas				45.62	28.45	3.28	0.041	1.81	15.80	1.56	0.14	0.22	0.01	0.01	0.014								
AN-G Cert				46.30	29.8	3.36	0.040	1.79	15.90	1.63	0.13	0.22	0.01	0.01	0.012								
SDC-1 Meas																		7.16		< 1		668	3
SDC-1 Cert																		8.34		0.220		630	3.00
GXR-6 Meas																		11.0	0.3	278		1400	1
GXR-6 Cert																		17.7	1.30	330		1300	1.40
BE-N Meas	0.009	0.008	0.036	38.53	10.16	13.07	0.204	13.07	14.06	3.31	1.41	2.71	1.08	0.06	0.046								
BE-N Cert	0.008	0.009	0.034	38.2	10.1	12.8	0.200	13.1	13.9	3.18	1.39	2.61	1.05	0.0500	0.042								
AC-E Meas				69.92	15.31	2.60	0.060	0.03	0.38	6.49	4.57	0.12											
AC-E Cert				70.35	14.70	2.56	0.058	0.03	0.34	6.54	4.49	0.11											
NCS DC73304 (GBW 07108) Meas				90.86	3.63	3.29		0.08	0.28	0.08	0.65		0.23										
NCS DC73304 (GBW 07108) Cert				90.36	3.52	3.22		0.082	0.30	0.061	0.65		0.222										
SAR-M (U.S.G.S.) Meas																		5.33	4.8	38		762	3
SAR-M (U.S.G.S.) Cert																		6.30	3.64	38.8		801	2.20
DNC-1a Meas																						114	
DNC-1a Cert																						118	
SBC-1 Meas																					29	766	3
SBC-1 Cert																					25.7	788.0	3.20
049546 Orig	0.006	0.029	0.010	58.09	17.18	6.95	0.132	2.32	7.39	3.94	0.21	0.99	0.11	0.04	0.048	2.20	99.65						
049546 Dup	0.007	0.030	0.009	58.04	17.17	6.96	0.135	2.35	7.38	3.90	0.23	0.99	0.11	0.04	0.050	2.22	99.62						
Method Blank	< 0.005	< 0.005	< 0.003	< 0.01	< 0.01	< 0.01	< 0.001	< 0.01	< 0.01	< 0.01	< 0.01	< 0.01	< 0.01	< 0.01	< 0.003			< 0.01	< 0.1	< 1	< 100	< 1	< 1
Method Blank																		< 0.01	< 0.1	< 1	< 100	< 1	< 1

QC

Analyte Symbol	Bi	Ca	Cd	Ce	Co	Cr	Cu	Cs	Fe	Hf	K	La	Li	Na	Nb	Ni	P	Rb	Pb	S	Mg	Mn	Mo
Unit Symbol	ppm	%	ppm	ppm	ppm	ppm	ppm	ppm	%	ppm	%	ppm	ppm	%	ppm	ppm	%	ppm	ppm	%	%	ppm	ppm
Detection Limit	0.1	0.01	0.1	1	0.2	1	0.1	0.1	0.01	0.1	0.01	0.1	0.1	0.001	0.1	0.1	0.001	0.1	0.1	0.01	0.01	1	0.1
Analysis Method	TD-MS	TD-MS	TD-MS	TD-MS	TD-MS	TD-MS	TD-MS	TD-MS	TD-MS	TD-MS	TD-MS	TD-MS	TD-MS	TD-MS	TD-MS	TD-MS	TD-MS	TD-MS	TD-MS	TD-MS	TD-MS	TD-MS	TD-MS
GXR-1 Meas	1360	0.86	2.4	15	8.1	10	1160	2.7	23.5	0.3	0.05	7.5	7.9	0.047	0.9	42.7	0.073	2.7	726	< 0.01	0.20	827	17.4
GXR-1 Cert	1380	0.960	3.30	17.0	8.20	12.0	1110	3.00	23.6	0.960	0.050	7.50	8.20	0.0520	0.800	41.0	0.0650	14.0	730	0.257	0.217	852	18.0
MICA-FE Meas																							
MICA-FE Cert																							
GXR-4 Meas	19.3	1.00	0.1	102	14.1	39		2.6	2.85	1.1	1.72	56.4	13.1	0.513	8.7	42.1	0.149	101	50.1	1.22	1.62	153	303
GXR-4 Cert	19.0	1.01	0.860	102	14.6	64.0		2.80	3.09	6.30	4.01	64.5	11.1	0.564	10.0	42.0	0.120	160	52.0	1.77	1.66	155	310
AN-G Meas																							
AN-G Cert																							
SDC-1 Meas		1.05		85	17.9	44	31.8	3.9	4.61	1.1	1.17	40.9	37.8	1.51	11.1	36.6	0.072	85.0	24.9		0.96	820	
SDC-1 Cert		1.00		93.00	18.0	64.00	30.000	4.00	4.82	8.30	2.72	42.00	34.00	1.52	21.00	38.0	0.0690	127.00	25.00		1.02	880.00	

Analyte Symbol	Bi	Ca	Cd	Ce	Co	Cr	Cu	Cs	Fe	Hf	K	La	Li	Na	Nb	Ni	P	Rb	Pb	S	Mg	Mn	Mo
Unit Symbol	ppm	%	ppm	ppm	ppm	ppm	ppm	ppm	%	ppm	%	ppm	ppm	%	ppm	ppm	%	ppm	ppm	%	%	ppm	ppm
Detection Limit	0.1	0.01	0.1	1	0.2	1	0.1	0.1	0.01	0.1	0.01	0.1	0.1	0.001	0.1	0.1	0.001	0.1	0.1	0.01	0.01	1	0.1
Analysis Method	TD-MS	TD-MS	TD-MS	TD-MS	TD-MS	TD-MS	TD-MS	TD-MS	TD-MS	TD-MS	TD-MS	TD-MS	TD-MS	TD-MS	TD-MS	TD-MS	TD-MS	TD-MS	TD-MS	TD-MS	TD-MS	TD-MS	TD-MS
GXR-6 Meas	0.2	0.19	0.2	32	12.8	77	68.5	3.9	4.90	2.4	0.63	12.0	39.0	0.102	3.2	24.6	0.043	48.6	98.5	0.18	0.55	951	1.2
GXR-6 Cert	0.290	0.180	1.00	36.0	13.8	96.0	66.0	4.20	5.58	4.30	1.87	13.9	32.0	0.104	7.50	27.0	0.0350	90.0	101	0.0160	0.609	1010	2.40
BE-N Meas																							
BE-N Cert																							
AC-E Meas																							
AC-E Cert																							
NCS DC73304 (GBW 07106) Meas																							
NCS DC73304 (GBW 07106) Cert																							
SAR-M (U.S.G.S.) Meas	1.8	0.57	5.1	104	11.0	74	346		2.99		1.19	51.9	30.9	1.20	25.1	46.9	0.079	93.5	909		0.47	5100	13.0
SAR-M (U.S.G.S.) Cert	1.94	0.61	5.27	122.0	10.70	79.7		331.0000	2.99		2.94	57.4	27.4	1.140	29.9	41.5	0.07	146	982		0.50	5220	13.1
DNC-1a Meas					56.3	181	103					3.8	5.3			283							
DNC-1a Cert					57.0	270	100.00					3.6	5.20			247							
SBC-1 Meas	0.7		0.4	95	22.5	101		7.8		3.3		46.8	171		14.4	90.7		94.1	37.2				2.6
SBC-1 Cert	0.70		0.40	108.0	22.7	109		8.2		3.7		52.5	163.0		15.3	82.8		147	35.0				2.40
049546 Orig																							
049546 Dup																							
Method Blank																							
Method Blank	< 0.1	< 0.01	< 0.1	< 1	< 0.2	< 1	< 0.1	< 0.1	< 0.01	< 0.1	< 0.01	< 0.1	< 0.1	< 0.001	< 0.1	< 0.1	< 0.001	< 0.1	< 0.1	< 0.01	< 0.01	< 1	< 0.1

QC

Analyte Symbol	Sb	Sc	Sn	Sr	Ta	Th	Tl	Tl	U	V	W	Y	Zn	Zr
Unit Symbol	ppm	ppm	ppm	ppm	ppm	ppm	%	ppm	ppm	ppm	ppm	ppm	ppm	ppm
Detection Limit	0.1	1	0.1	1	0.1	0.1	0.001	0.05	0.1	4	0.1	0.1	1	0.1
Analysis Method	TD-MS	TD-MS	TD-MS	TD-MS	TD-MS	TD-MS	TD-MS	TD-MS	TD-MS	TD-MS	TD-MS	TD-MS	TD-MS	TD-MS
GXR-1 Meas	35.4	< 1	28.4	277	< 0.1		0.026	0.43	32.2	80	138	31.3	830	21.9
GXR-1 Cert	122	1.58	54.0	275	0.175		0.036	0.390	34.9	80.0	164	32.0	760	38.0
MICA-FE Meas														
MICA-FE Cert														
GXR-4 Meas	4.0	4	6.7	201	0.5	18.8	0.269	3.26	5.3	82	36.4	14.4	77	50.7
GXR-4 Cert	4.80	7.70	5.60	221	0.790	22.5	0.29	3.20	6.20	87.0	30.8	14.0	73.0	186
AN-G Meas														
AN-G Cert														
SDC-1 Meas	0.5	12	2.1	169	0.6	11.7	0.420	0.64	2.7	77	0.7		112	49.2
SDC-1 Cert	0.54	17.00	3.00	180.00	1.20	12.00	0.606	0.70	3.10	102.00	0.80		103.00	290.00
GXR-6 Meas	1.8	20	0.9	39	0.2	5.3		2.23	1.3	146	0.9	12.4	133	97.5
GXR-6 Cert	3.60	27.6	1.70	35.0	0.485	5.30		2.20	1.54	186	1.90	14.0	118	110
BE-N Meas														
BE-N Cert														
AC-E Meas														
AC-E Cert														
NCS DC73304 (GBW 07106) Meas														
NCS DC73304 (GBW 07106) Cert														
SAR-M (U.S.G.S.) Meas	5.8	5	2.6	143		16.4	0.349	2.66	4.1	64	6.9	32.6	1020	

Analyte Symbol	Sb	Sc	Sn	Sr	Ta	Th	Tl	Tl	U	V	W	Y	Zn	Zr
Unit Symbol	ppm	ppm	ppm	ppm	ppm	ppm	%	ppm	ppm	ppm	ppm	ppm	ppm	ppm
Detection Limit	0.1	1	0.1	1	0.1	0.1	0.001	0.05	0.1	4	0.1	0.1	1	0.1
Analysis Method	TD-MS	TD-MS	TD-MS	TD-MS	TD-MS	TD-MS	TD-MS	TD-MS	TD-MS	TD-MS	TD-MS	TD-MS	TD-MS	TD-MS
SAR-M (U.S.G.S.) Cert	6.0	7.83	2.76	151		17.2	0.38	2.7	3.57	67.2	9.78	28.00	930.0	
DNC-1a Meas	1.0	27		133			0.296			141		17.6	73	38.8
DNC-1a Cert	0.96	31		144.0			0.29			148.00		18.0	70.0	38.000
SBC-1 Meas	1.1	17	3.3	168	0.9	17.0	0.483	0.95	5.4	211	1.5	33.1	215	129
SBC-1 Cert	1.01	20.0	3.3	178.0	1.10	15.8	0.51	0.89	5.76	220.0	1.60	36.5	186.0	134.0
049546 Orig														
049546 Dup														
Method Blank														
Method Blank	< 0.1	< 1	< 0.1	< 1	< 0.1	< 0.1	< 0.001	< 0.05	< 0.1	< 4	< 0.1	< 0.1	< 1	< 0.1

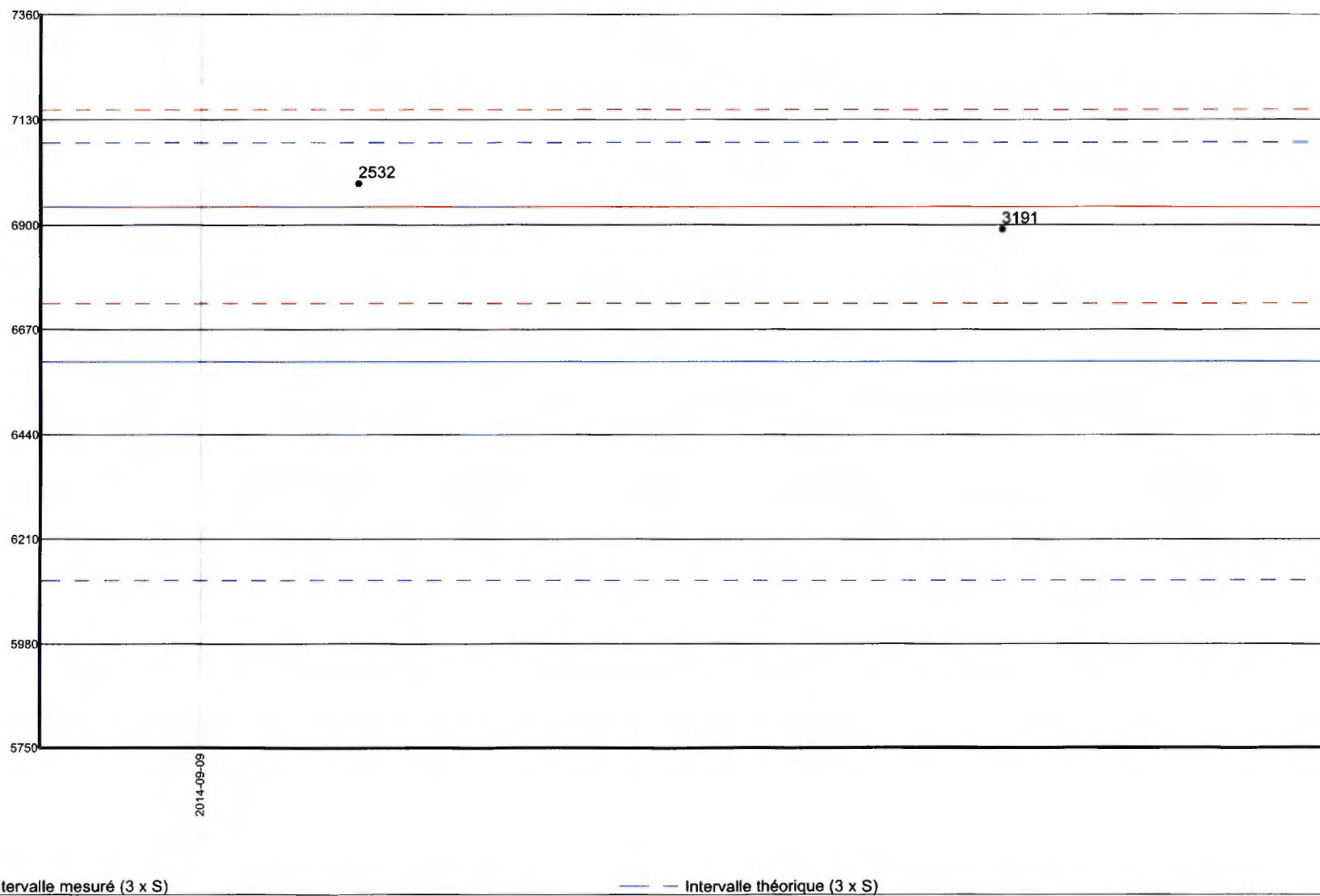
Ressources Falco Ltée.

Résultats de la campagne d'échantillonnage, Été 2014, PROPRIÉTÉ FLAVRIAN

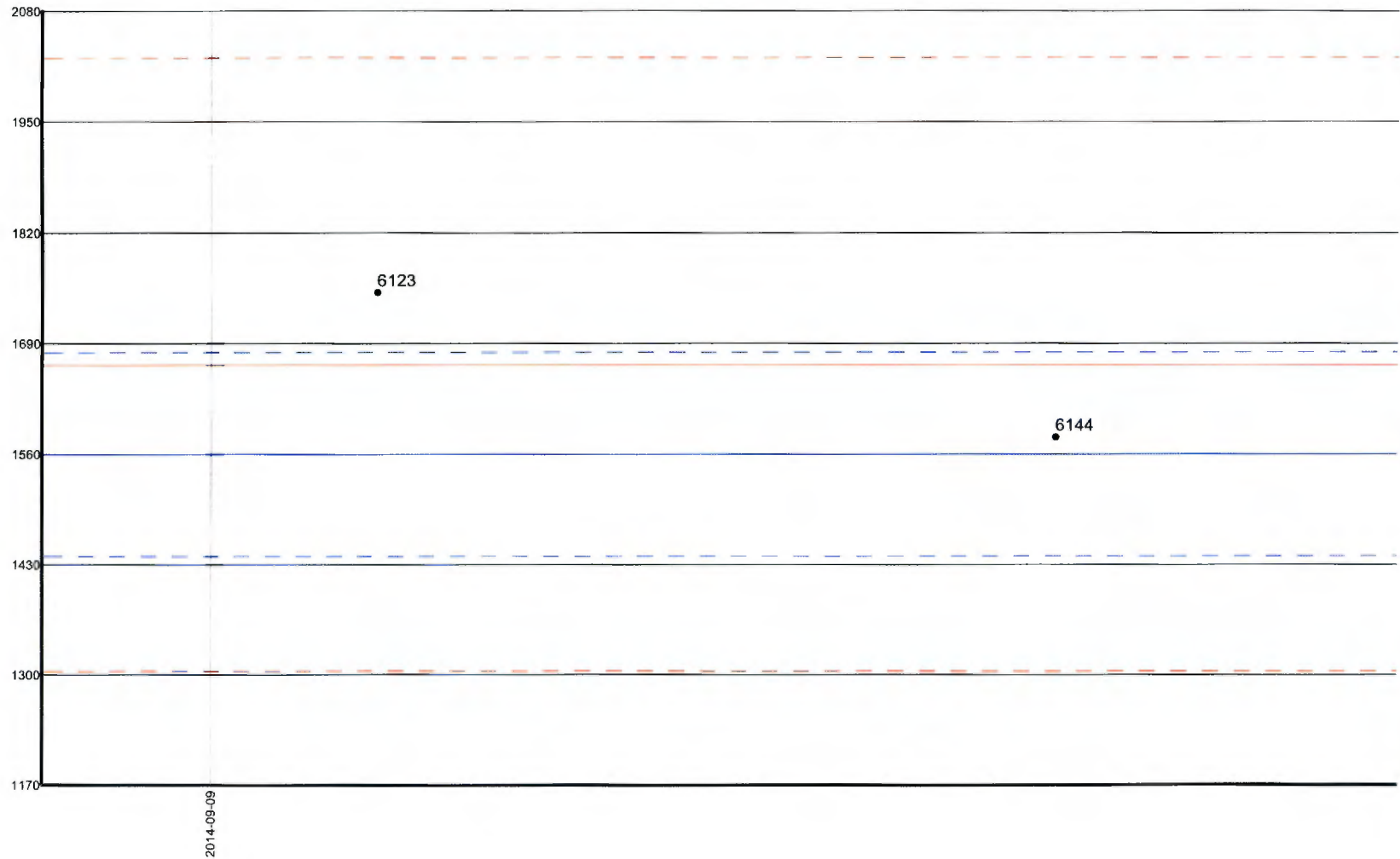
ANNEXE VII

CONTRÔLE DE LA QUALITÉ

Standard OREAS 10c analysé pour Au (ppb) par le laboratoire TECHNI-LAB sur le certificat A14-05808Final
Tous les échantillons ont été utilisés lors des calculs statistiques. Les codes permis et les zéros ont été inclus.
Statistiques : (N=2; Min.=6890; Max.=6990; Moy.=6940; S=70,71)



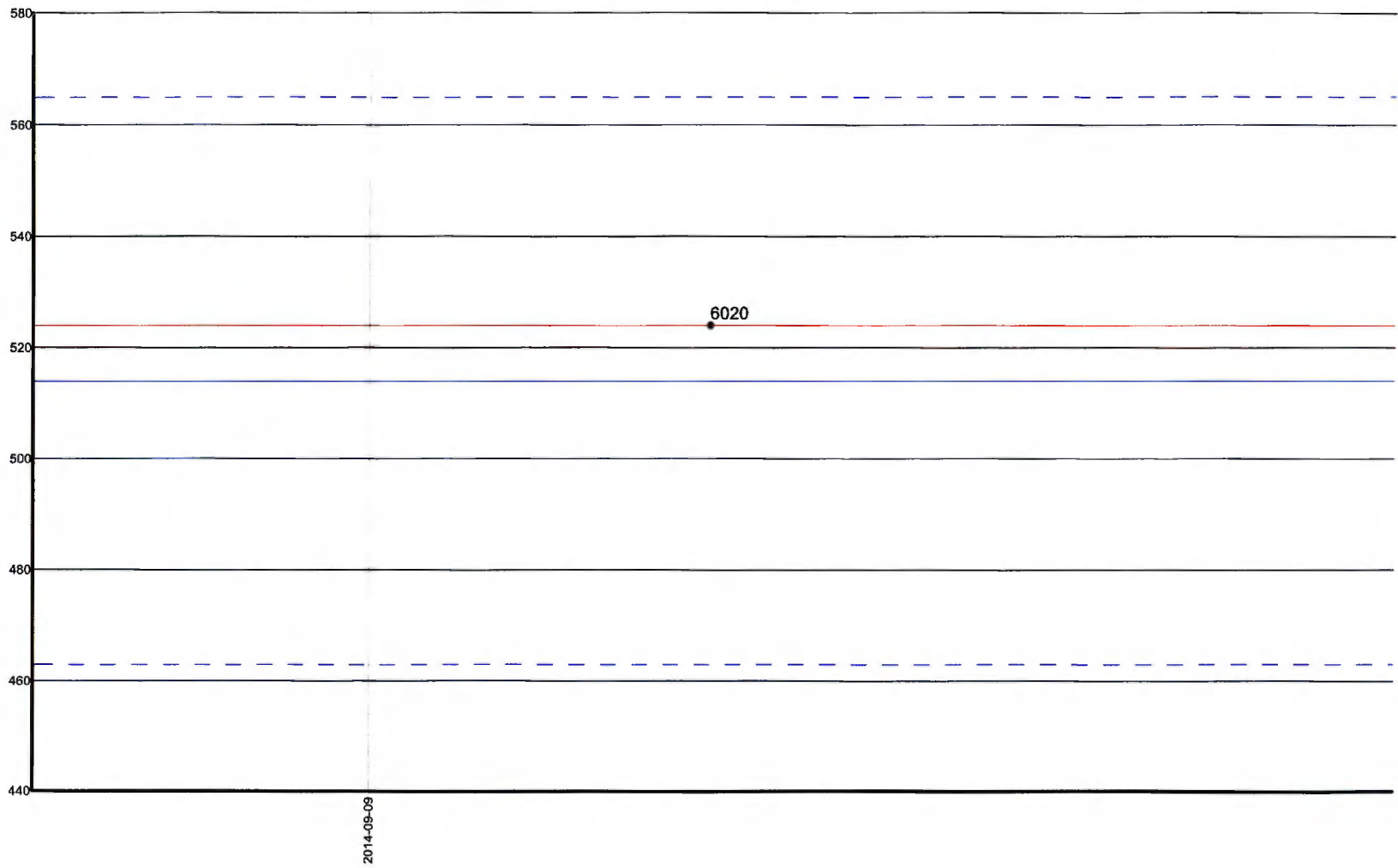
Standard OREAS 15d analysé pour Au (ppb) par le laboratoire TECHNI-LAB sur le certificat A14-05808Final
Tous les échantillons ont été utilisés lors des calculs statistiques. Les codes permis et les zéros ont été inclus.
Statistiques : (N=2; Min.=1580; Max.=1750; Moy.=1665; S=120,21)



— — Intervalle mesuré (3 x S)

— — Intervalle théorique (3 x S)

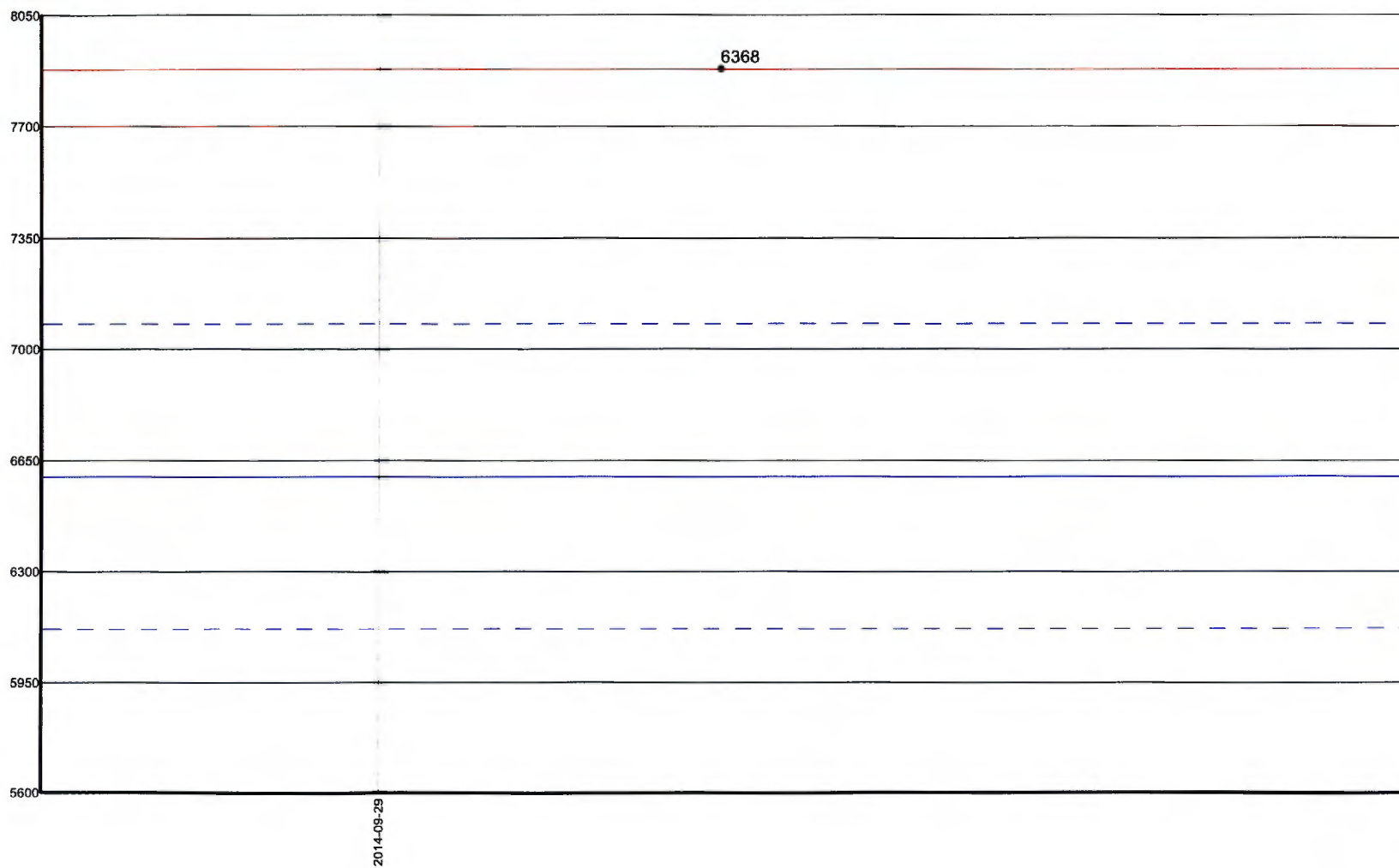
Standard OREAS 201 analysé pour Au (ppb) par le laboratoire TECHNI-LAB sur le certificat A14-05808Final
Tous les échantillons ont été utilisés lors des calculs statistiques. Les codes permis et les zéros ont été inclus.
Statistiques : (N=1; Min.=524; Max.=524; Moy.=524; S=0)



— Intervalle mesuré (3 x S)

— Intervalle théorique (3 x S)

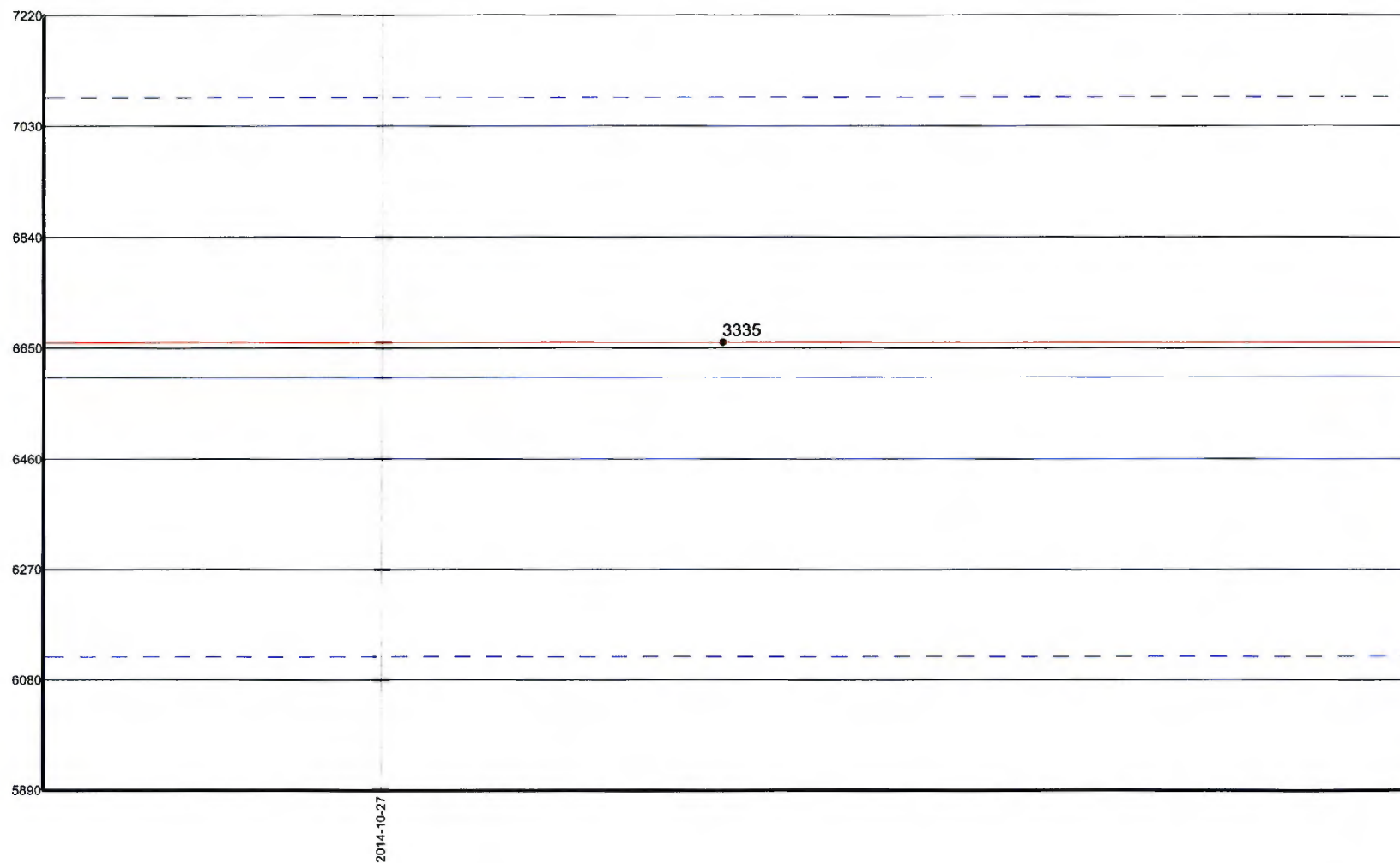
Standard OREAS 10c analysé pour Au (ppb) par le laboratoire TECHNI-LAB sur le certificat A14-06556Final
Tous les échantillons ont été utilisés lors des calculs statistiques. Les codes permis et les zéros ont été inclus.
Statistiques : (N=1; Min.=7880; Max.=7880; Moy.=7880; S=0)



— — Intervalle mesuré (3 x S)

— — Intervalle théorique (3 x S)

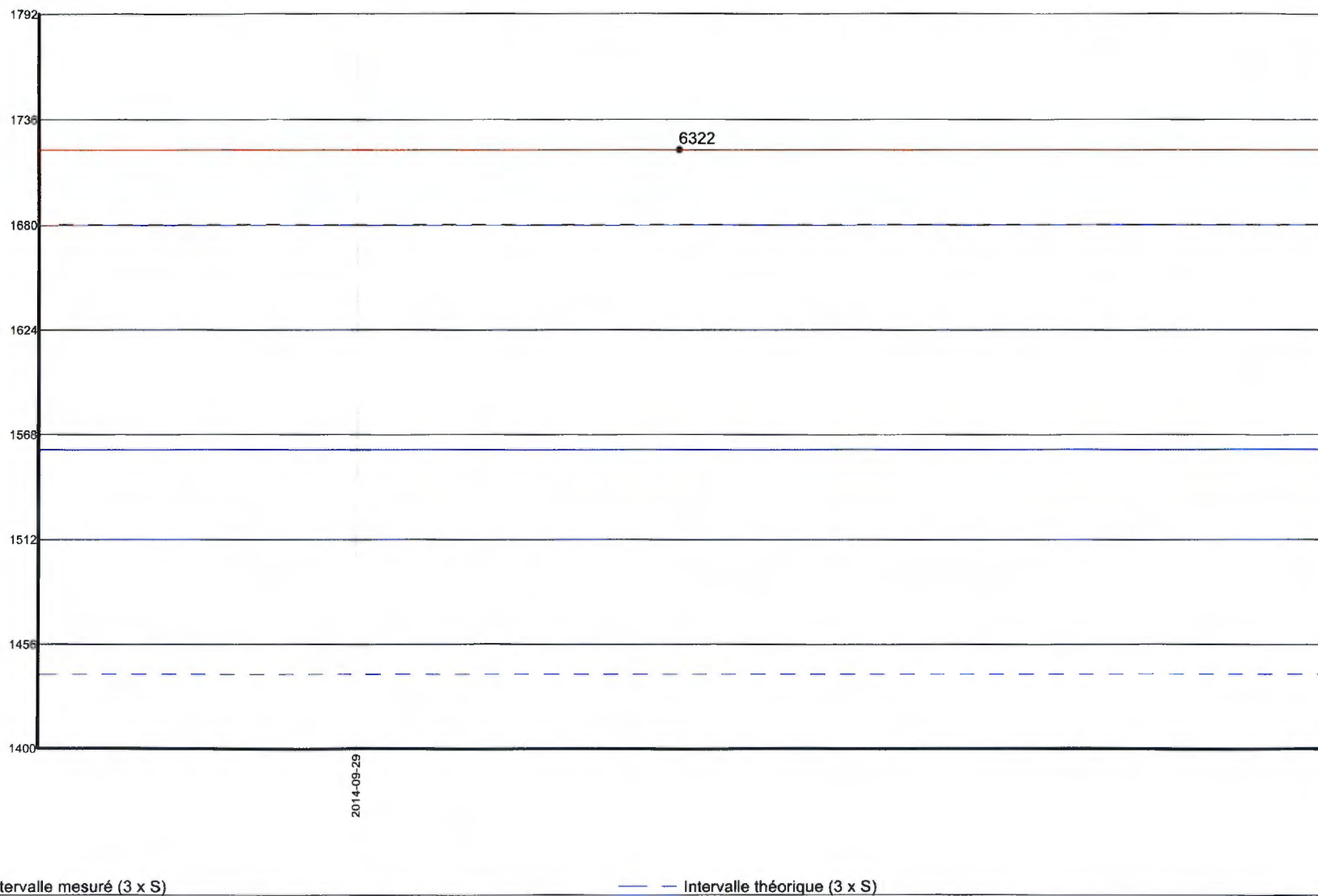
Standard OREAS 10c analysé pour Au (ppb) par le laboratoire TECHNI-LAB sur le certificat A14-07417Final
Tous les échantillons ont été utilisés lors des calculs statistiques. Les codes permis et les zéros ont été inclus.
Statistiques : (N=1; Min.=6660; Max.=6660; Moy.=6660; S=0)



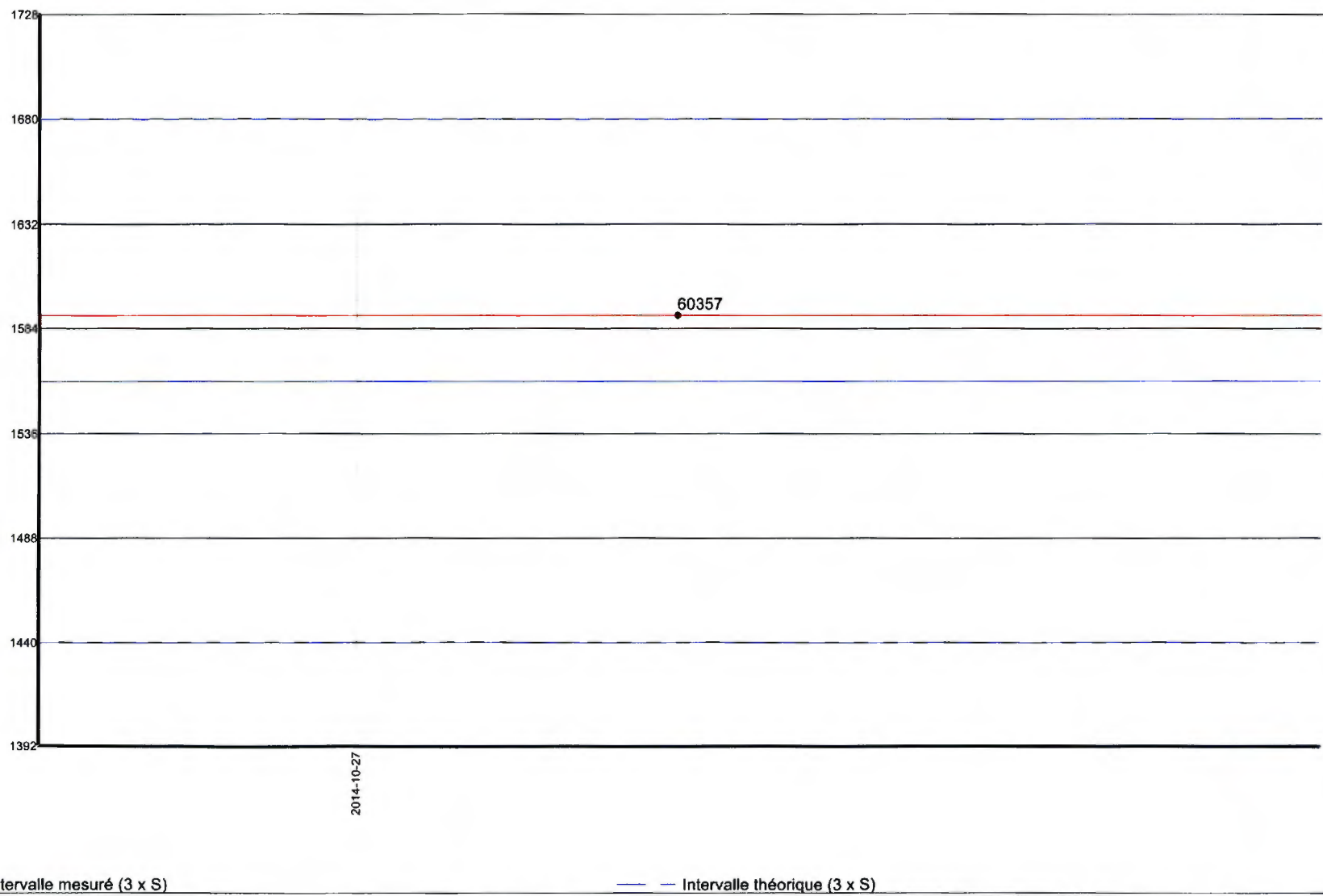
— — Intervalle mesuré (3 x S)

— — Intervalle théorique (3 x S)

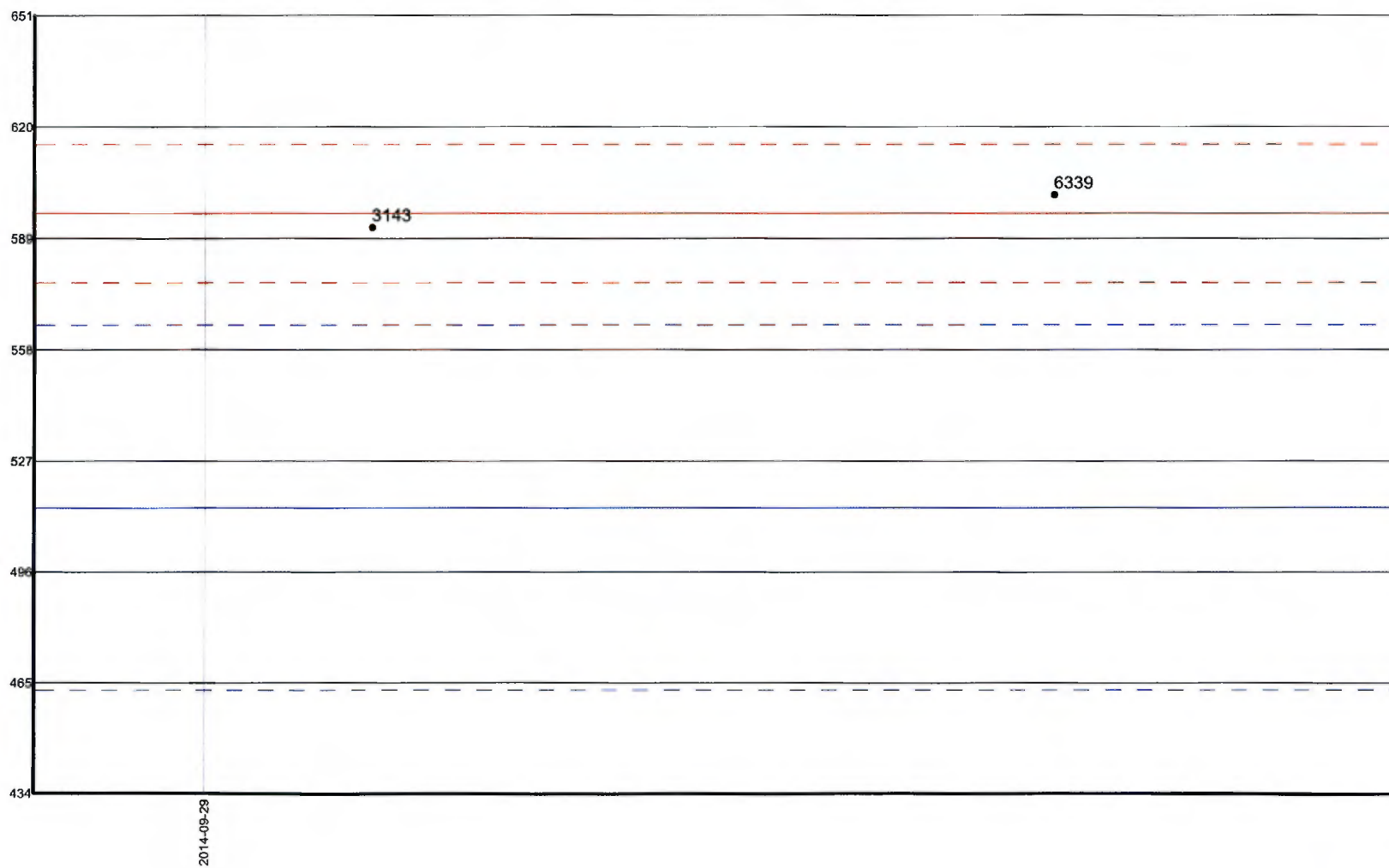
Standard OREAS 15d analysé pour Au (ppb) par le laboratoire TECHNI-LAB sur le certificat A14-06556Final
Tous les échantillons ont été utilisés lors des calculs statistiques. Les codes permis et les zéros ont été inclus.
Statistiques : (N=1; Min.=1720; Max.=1720; Moy.=1720; S=0)



Standard OREAS 15d analysé pour Au (ppb) par le laboratoire TECHNI-LAB sur le certificat A14-07417Final
Tous les échantillons ont été utilisés lors des calculs statistiques. Les codes permis et les zéros ont été inclus.
Statistiques : (N=1; Min.=1590; Max.=1590; Moy.=1590; S=0)



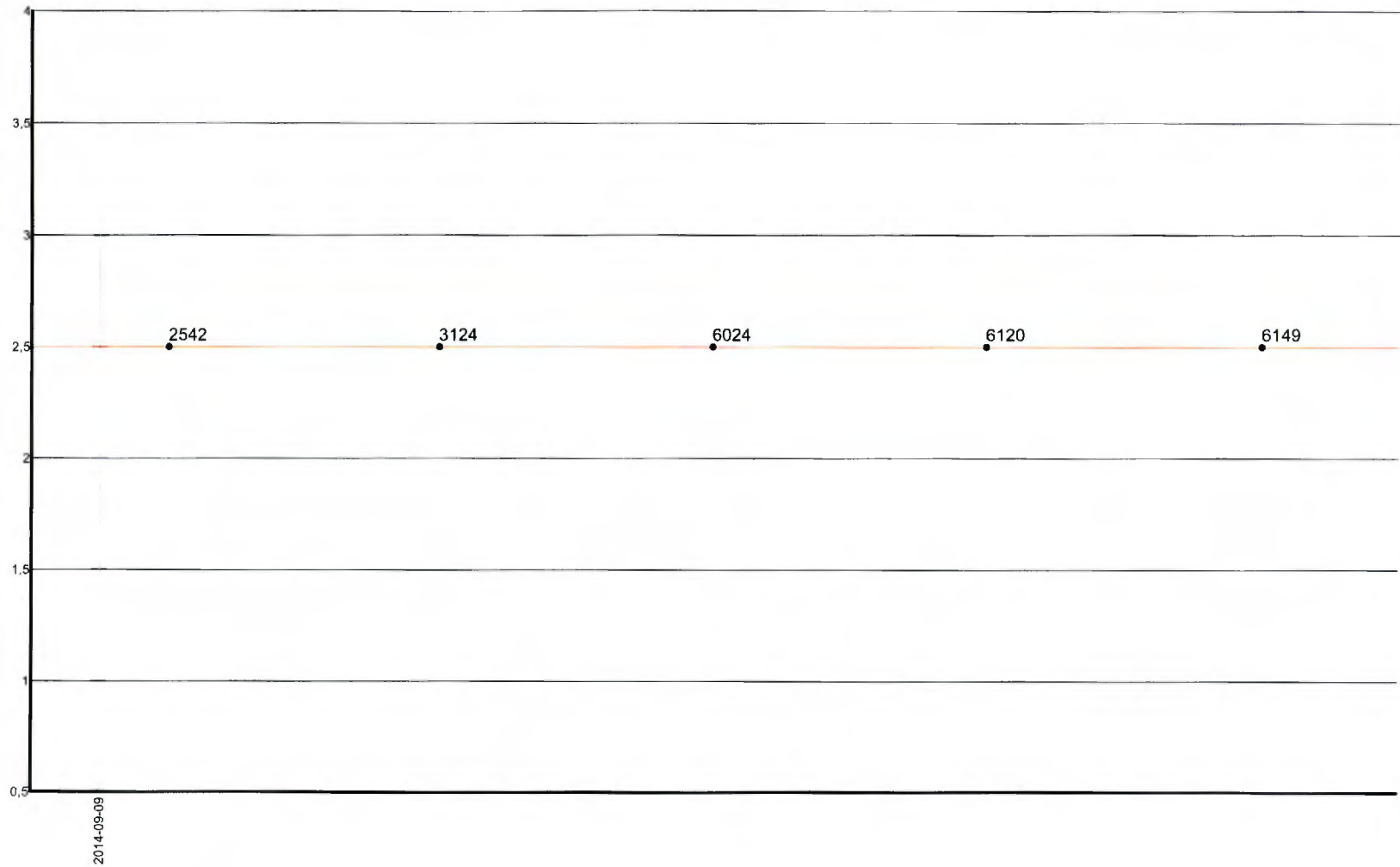
Standard OREAS 201 analysé pour Au (ppb) par le laboratoire TECHNI-LAB sur le certificat A14-06556Final
Tous les échantillons ont été utilisés lors des calculs statistiques. Les codes permis et les zéros ont été inclus.
Statistiques : (N=2; Min.=592; Max.=601; Moy.=596; S=6,4)



— — Intervalle mesuré (3 x S)

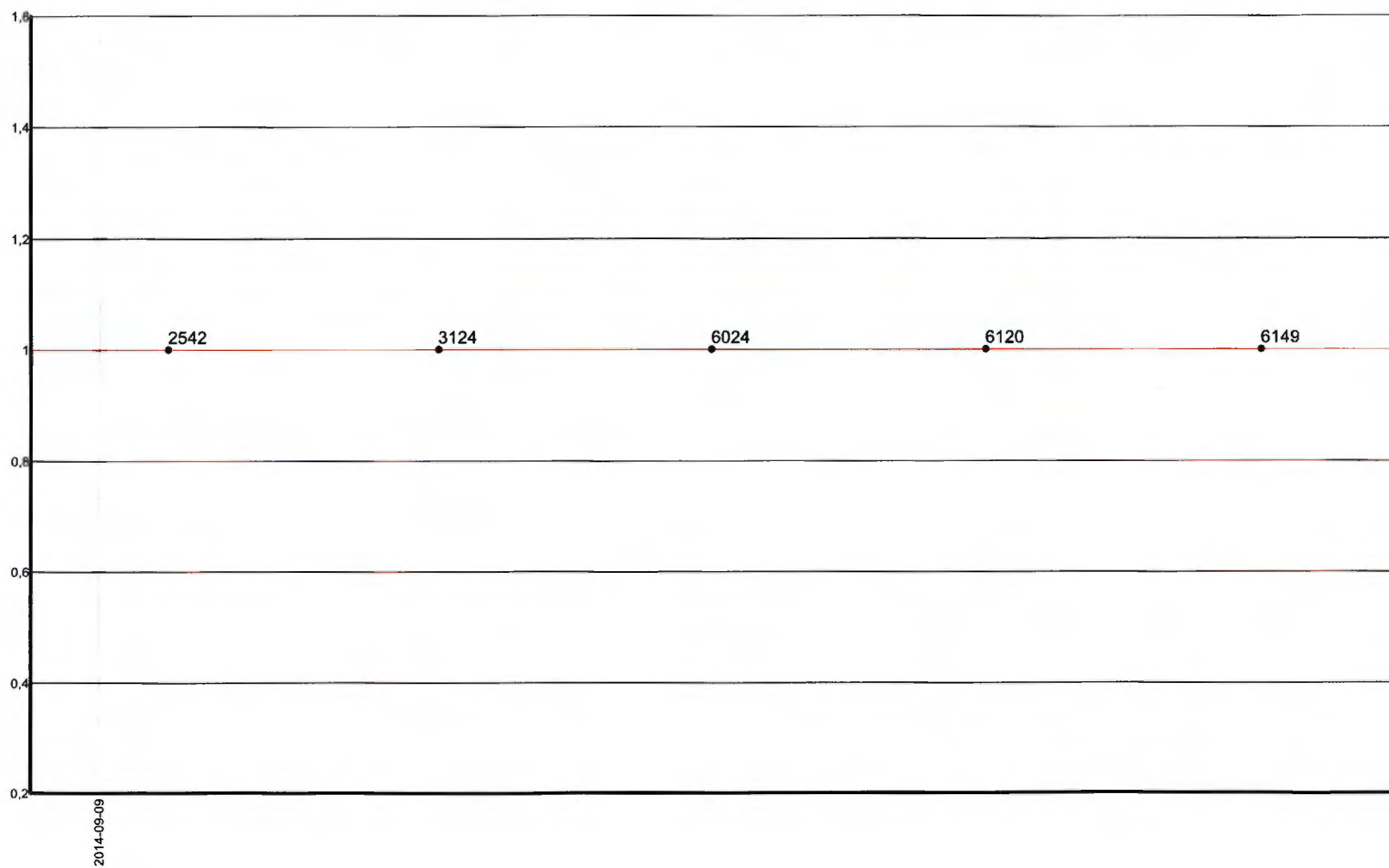
— — Intervalle théorique (3 x S)

Blanc BLANK analysé pour Ag (ppm) par le laboratoire TECHNI-LAB sur le certificat A14-05808Final
Tous les échantillons ont été utilisés lors des calculs statistiques. Les codes permis et les zéros ont été inclus.
Statistiques : (N=5; Min.=2,5; Max.=2,5; Moy.=2,5; S=0)



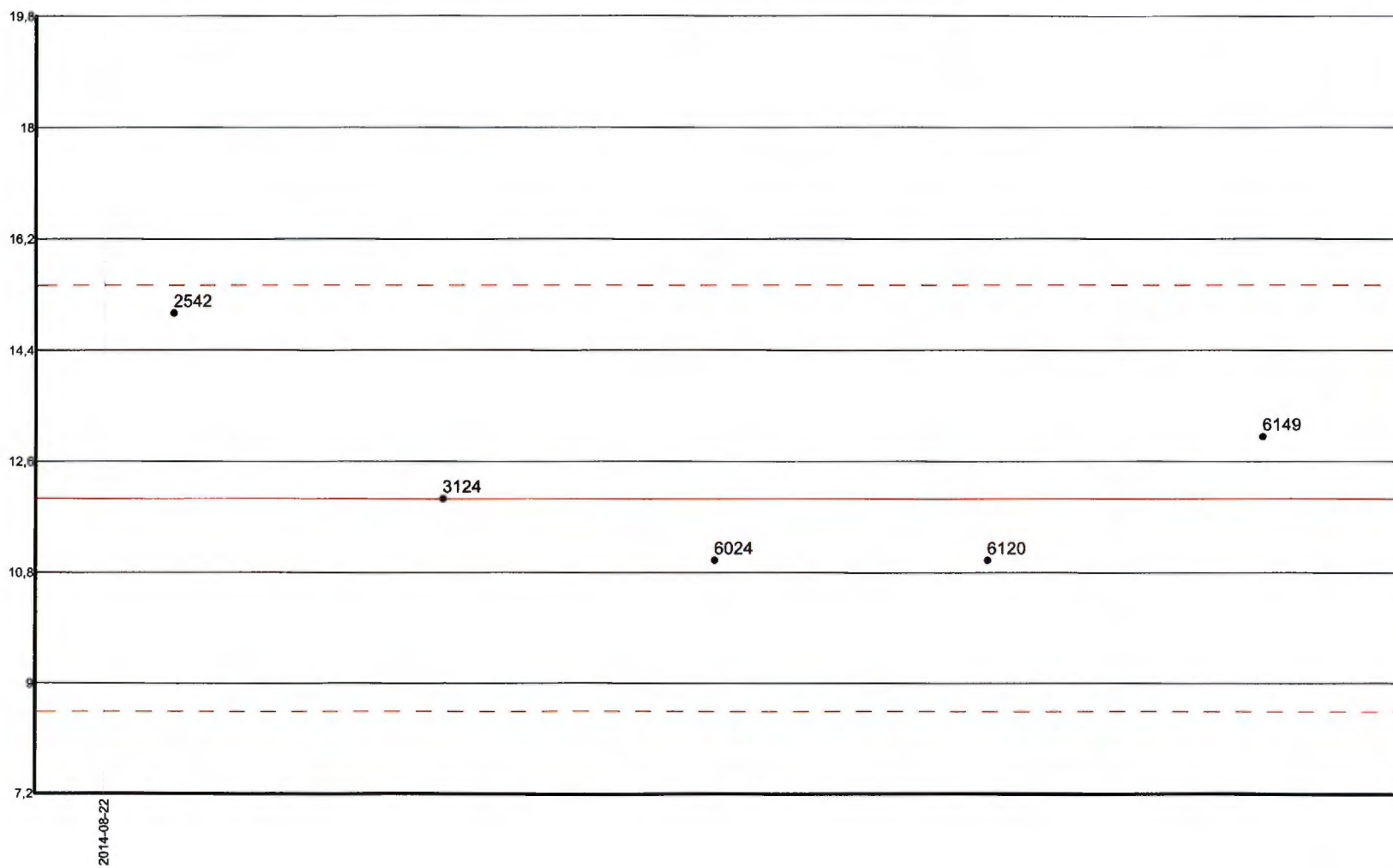
— Intervalle mesuré (3 x S)

Blanc BLANK analysé pour Au (ppb) par le laboratoire TECHNI-LAB sur le certificat A14-05808Final
Tous les échantillons ont été utilisés lors des calculs statistiques. Les codes permis et les zéros ont été inclus.
Statistiques : (N=5; Min.=1; Max.=1; Moy.=1; S=0)



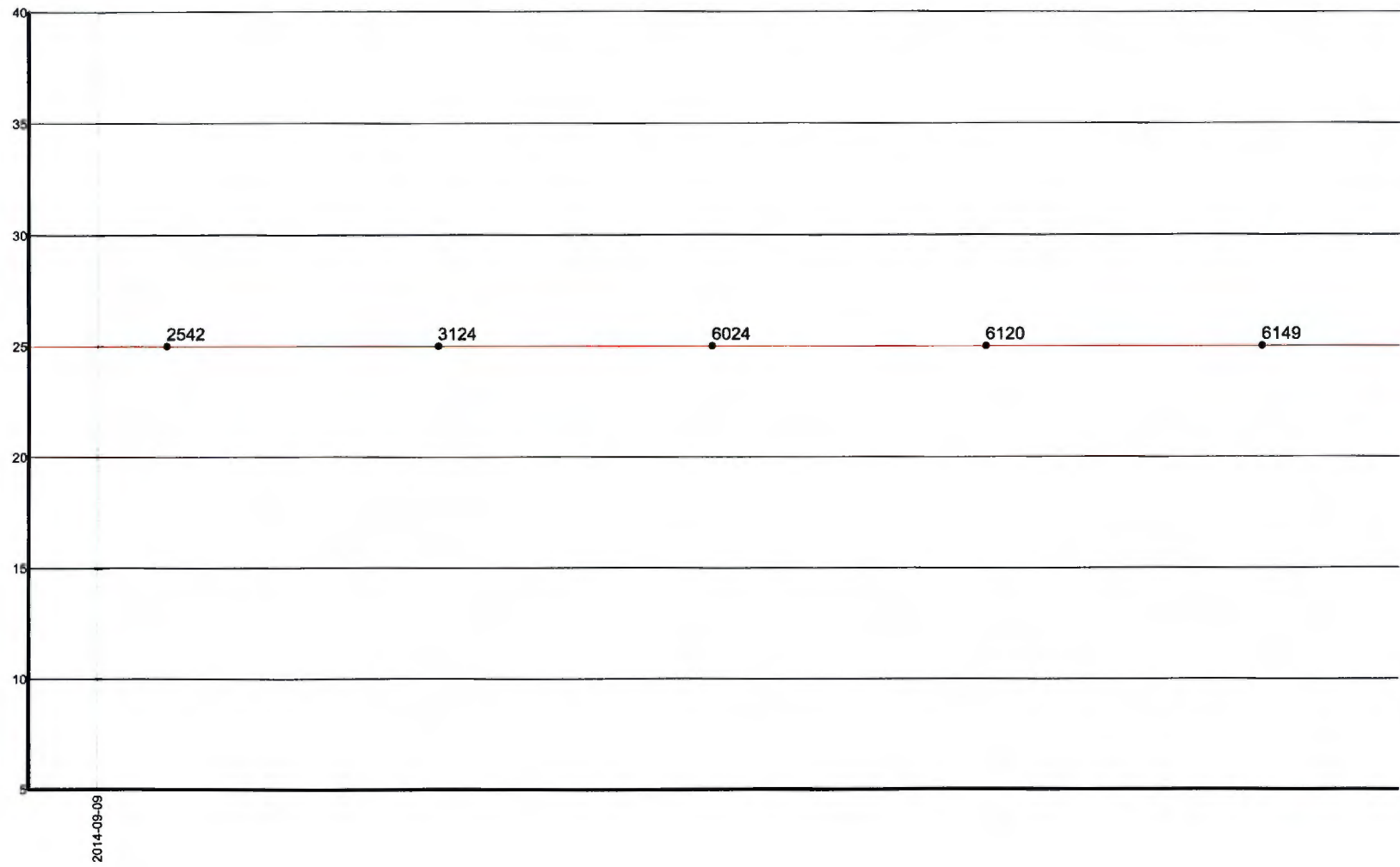
— — Intervalle mesuré (3 x S)

Blanc BLANK analysé pour Cu (ppm) par le laboratoire TECHNI-LAB sur le certificat FAL 34466
Tous les échantillons ont été utilisés lors des calculs statistiques. Les codes permis et les zéros ont été inclus.
Statistiques : (N=5; Min.=11; Max.=15; Moy.=12; S=1,73)



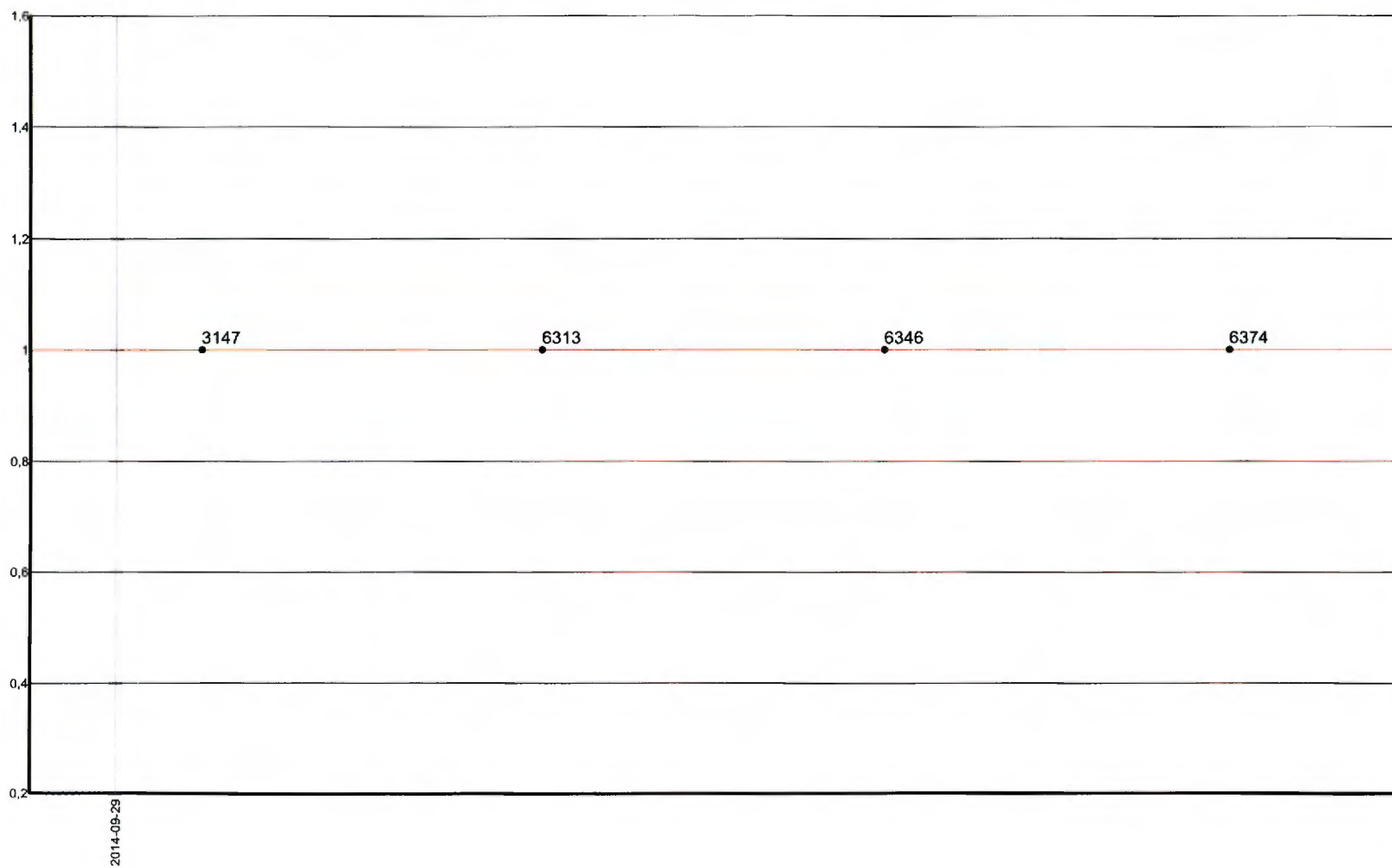
— — Intervalle mesuré (2 x S)

Blanc BLANK analysé pour Zn (ppm) par le laboratoire TECHNI-LAB sur le certificat A14-05808Final
Tous les échantillons ont été utilisés lors des calculs statistiques. Les codes permis et les zéros ont été inclus.
Statistiques : (N=5; Min.=25; Max.=25; Moy.=25; S=0)



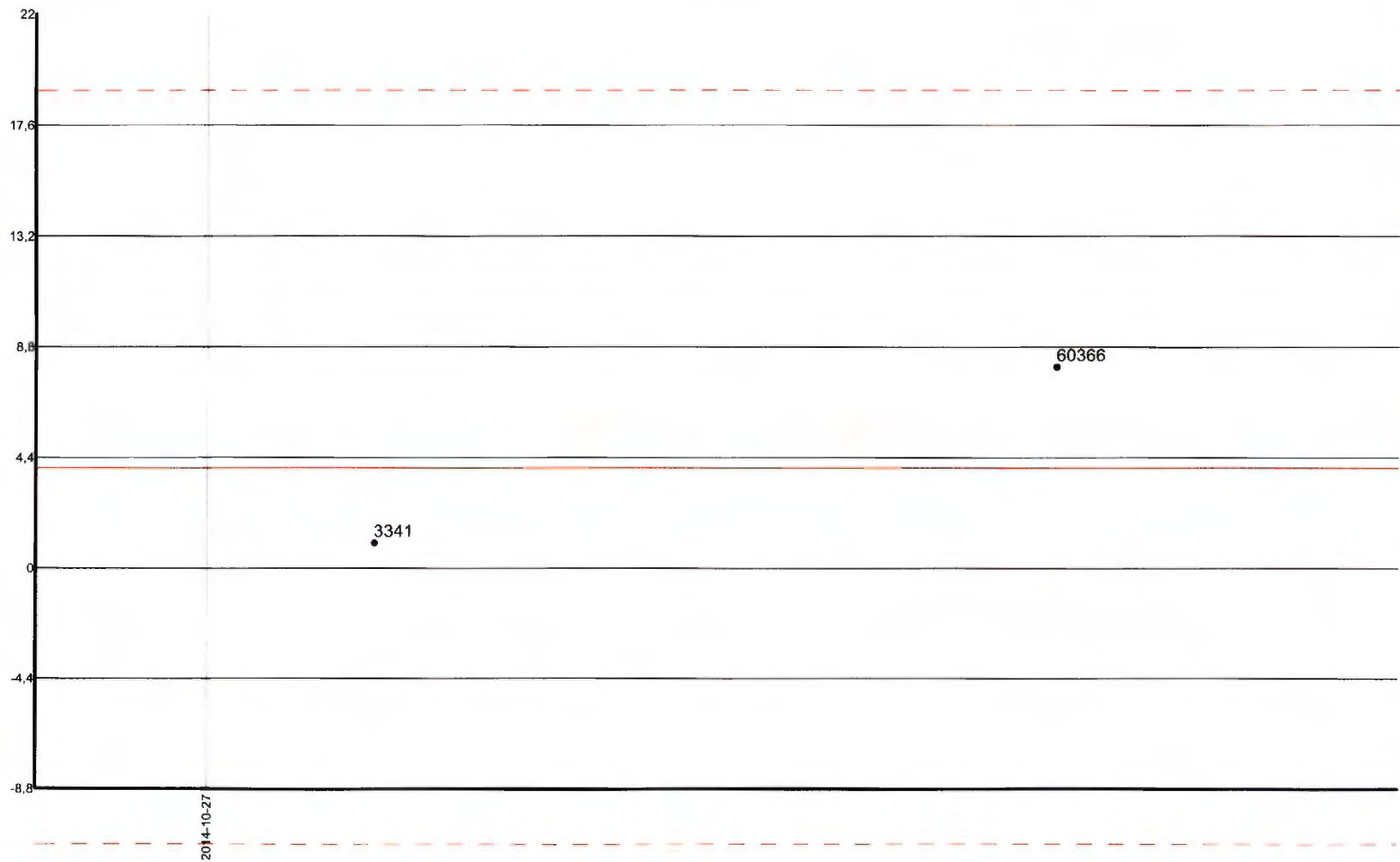
— — Intervalle mesuré (2 x S)

Blanc BLANK analysé pour Au (ppb) par le laboratoire TECHNI-LAB sur le certificat A14-06556Final
Tous les échantillons ont été utilisés lors des calculs statistiques. Les codes permis et les zéros ont été inclus.
Statistiques : (N=4; Min.=1; Max.=1; Moy.=1; S=0)



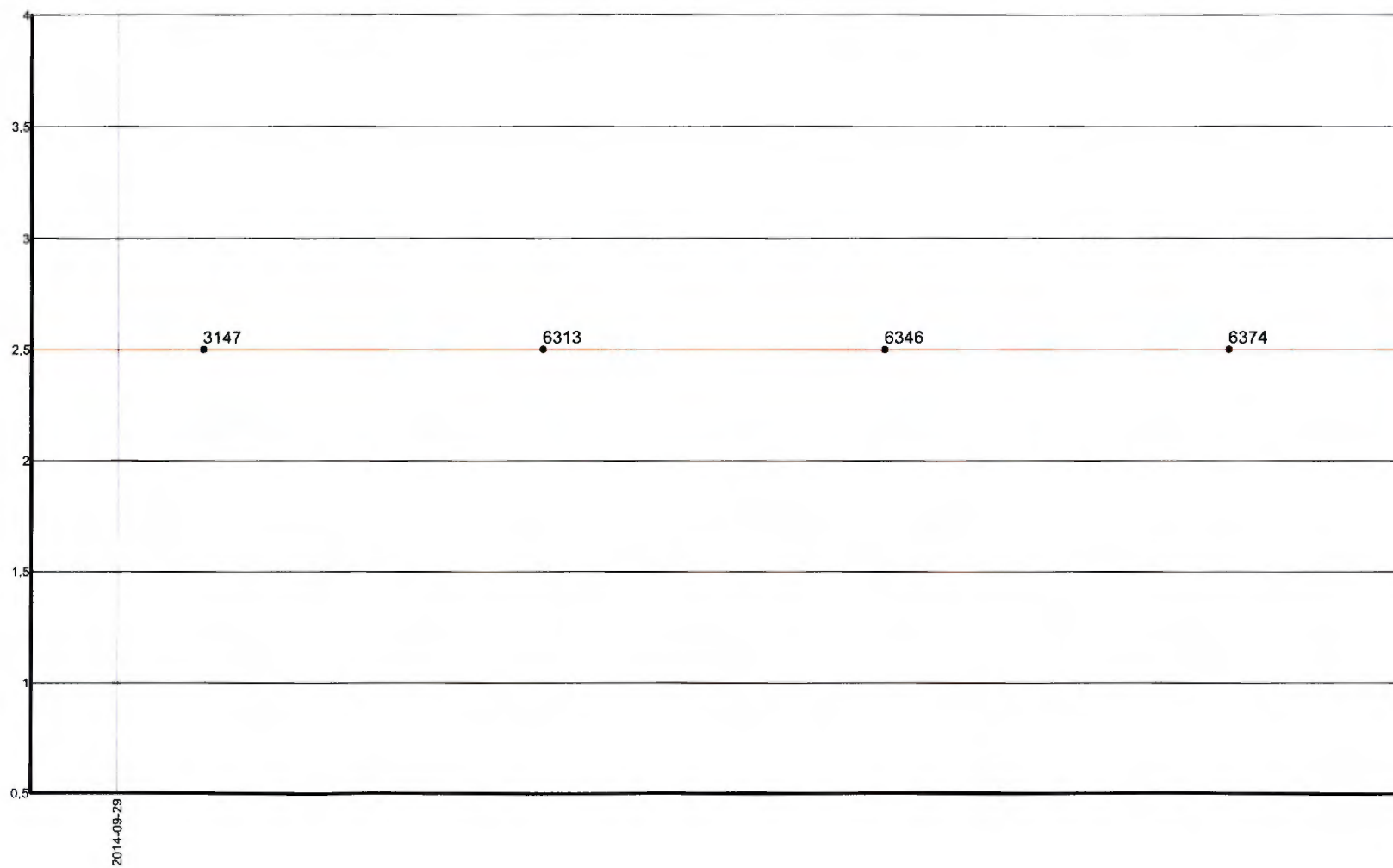
— Intervalle mesuré (3 x S)

Blanc BLANK analysé pour Au (ppb) par le laboratoire TECHNI-LAB sur le certificat A14-07417Final
Tous les échantillons ont été utilisés lors des calculs statistiques. Les codes permis et les zéros ont été inclus.
Statistiques : (N=2; Min.=1; Max.=8; Moy.=4; S=5)



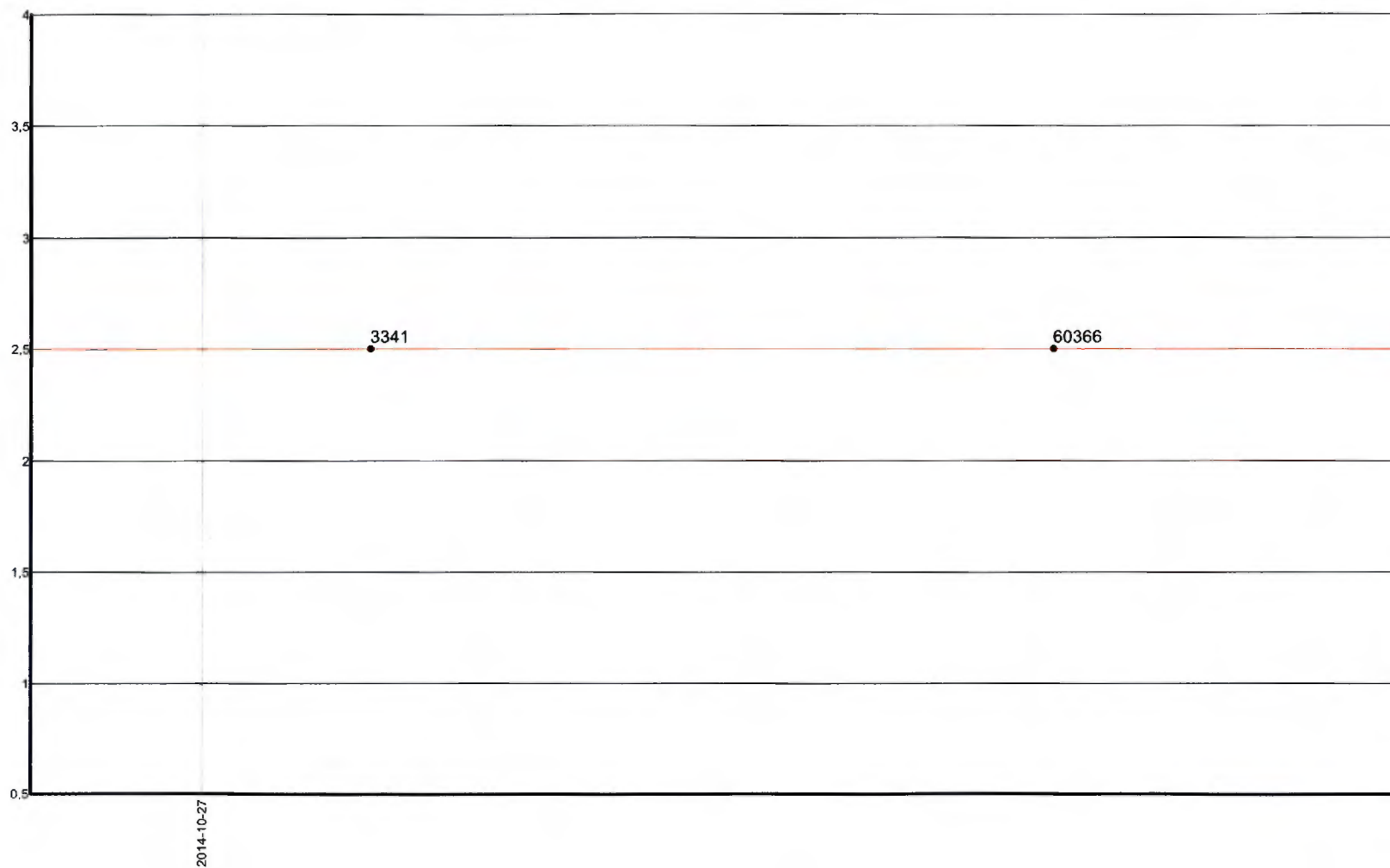
— Intervalle mesuré (3 x S)

Blanc BLANK analysé pour Ag (ppm) par le laboratoire TECHNI-LAB sur le certificat A14-06556Final
Tous les échantillons ont été utilisés lors des calculs statistiques. Les codes permis et les zéros ont été inclus.
Statistiques : (N=4; Min.=2,5; Max.=2,5; Moy.=2,5; S=0)



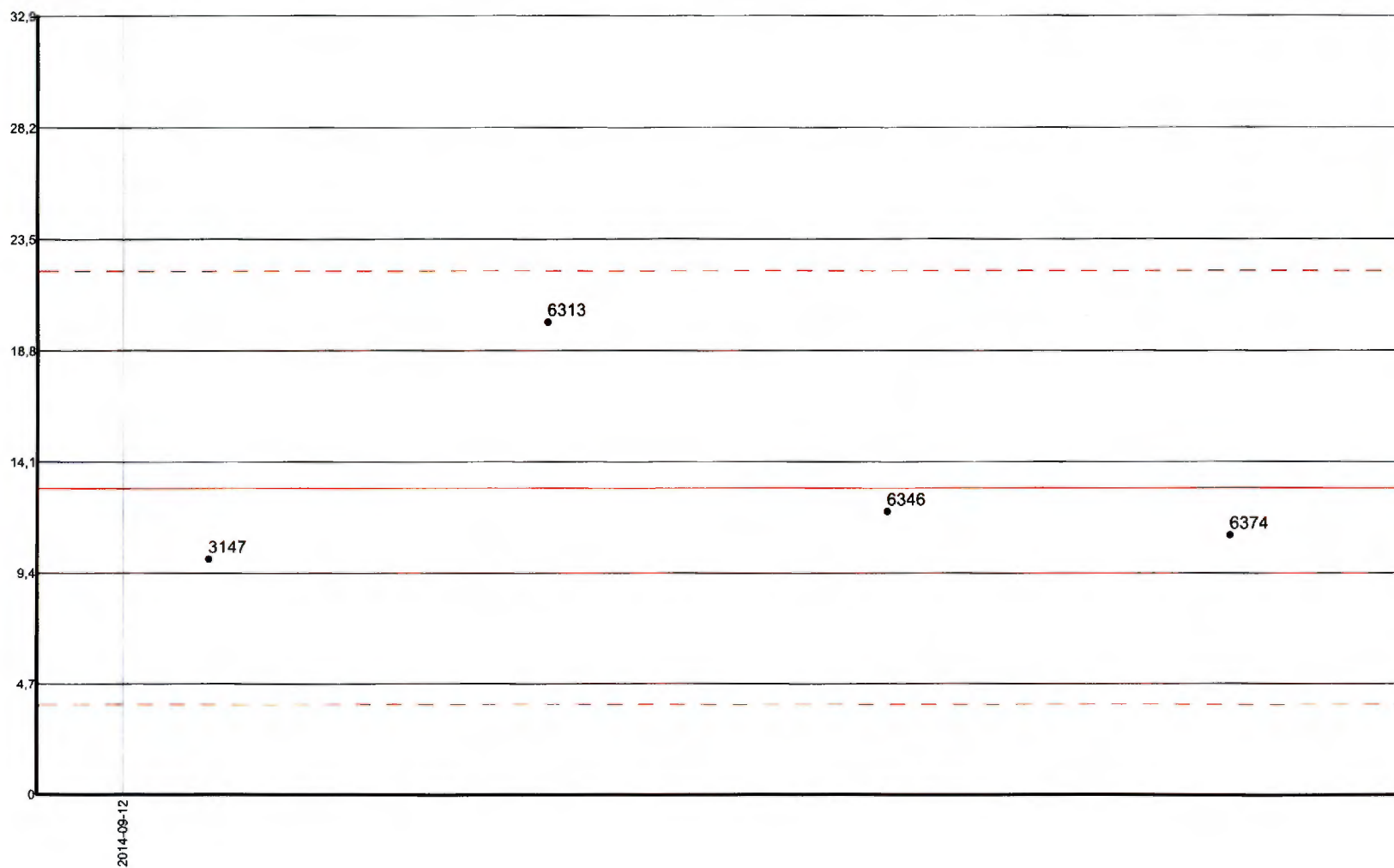
— Intervalle mesuré (3 x S)

Blanc BLANK analysé pour Ag (ppm) par le laboratoire TECHNI-LAB sur le certificat A14-07417Final
Tous les échantillons ont été utilisés lors des calculs statistiques. Les codes permis et les zéros ont été inclus.
Statistiques : (N=2; Min.=2,5; Max.=2,5; Moy.=2,5; S=0)



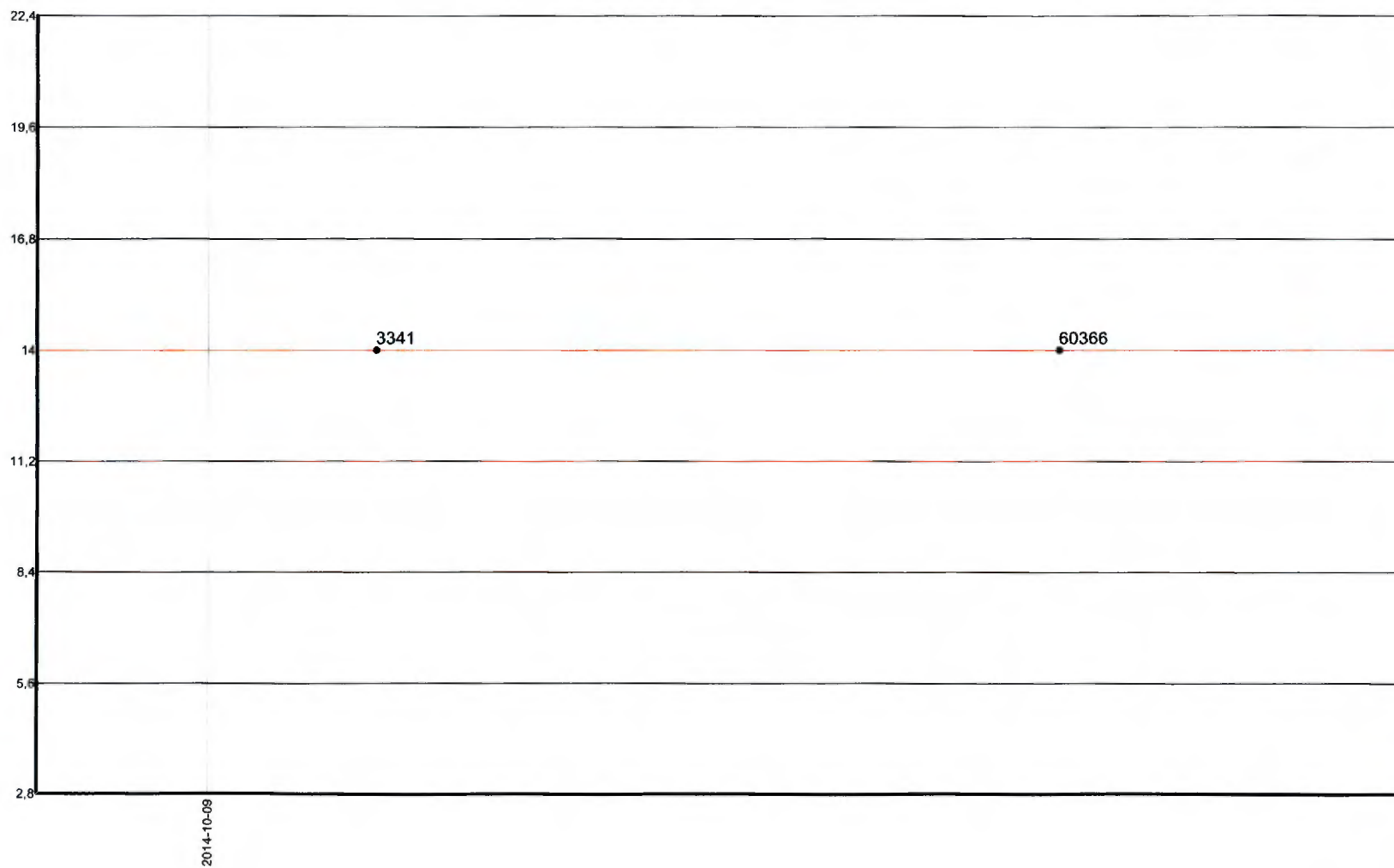
— Intervalle mesuré (3 x S)

Blanc BLANK analysé pour Cu (ppm) par le laboratoire TECHNI-LAB sur le certificat FAL 34506
Tous les échantillons ont été utilisés lors des calculs statistiques. Les codes permis et les zéros ont été inclus.
Statistiques : (N=4; Min.=10; Max.=20; Moy.=13; S=4,58)



— — Intervalle mesuré (2 x S)

Blanc BLANK analysé pour Cu (ppm) par le laboratoire TECHNI-LAB sur le certificat FAL 34611
Tous les échantillons ont été utilisés lors des calculs statistiques. Les codes permis et les zéros ont été inclus.
Statistiques : (N=2; Min.=14; Max.=14; Moy.=14; S=0)



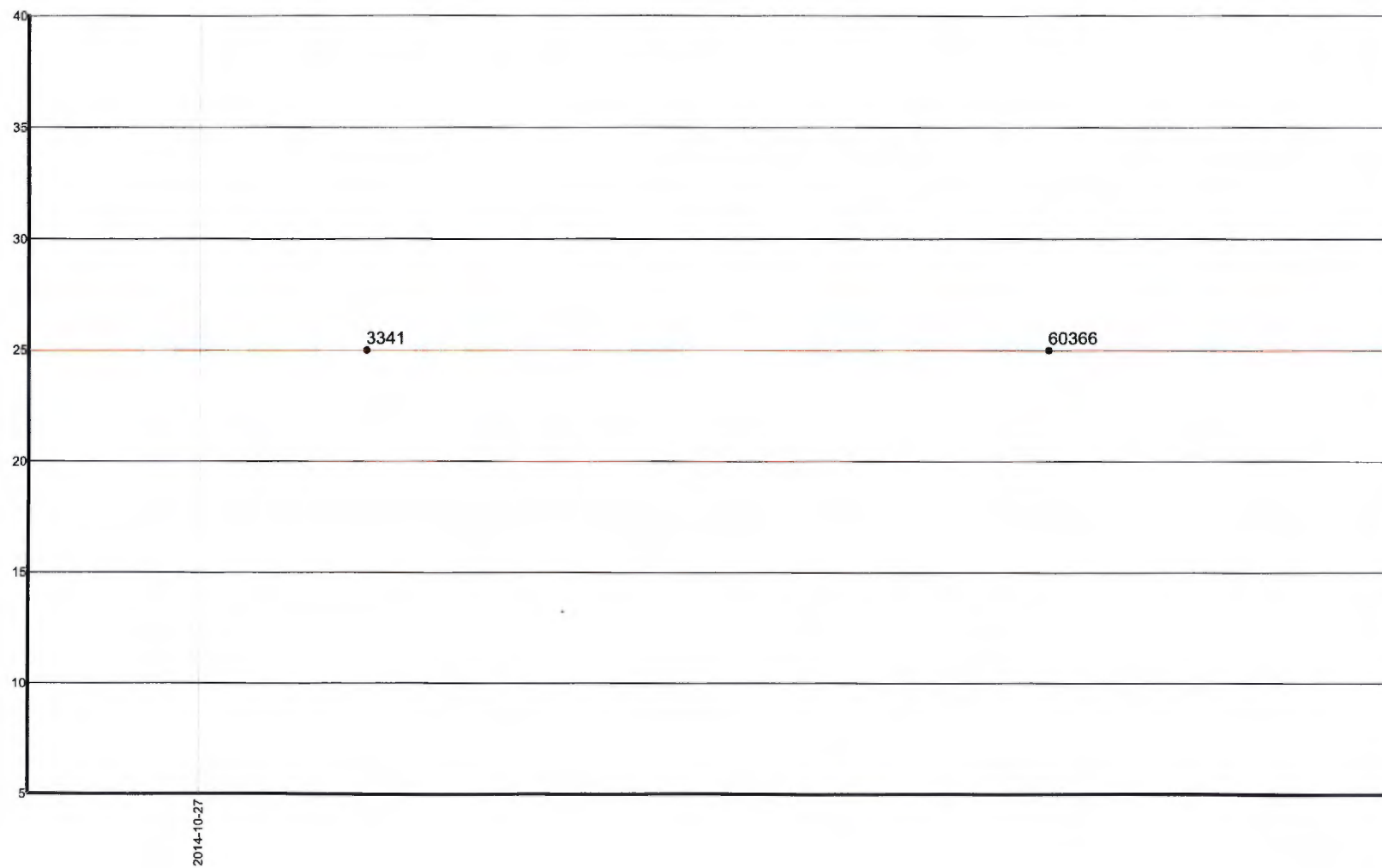
— Intervalle mesuré (2 x S)

Blanc BLANK analysé pour Zn (ppm) par le laboratoire TECHNI-LAB sur le certificat A14-06556Final
Tous les échantillons ont été utilisés lors des calculs statistiques. Les codes permis et les zéros ont été inclus.
Statistiques : (N=4; Min.=25; Max.=25; Moy.=25; S=0)



— Intervalle mesuré (2 x S)

Blanc BLANK analysé pour Zn (ppm) par le laboratoire TECHNI-LAB sur le certificat A14-07417Final
Tous les échantillons ont été utilisés lors des calculs statistiques. Les codes permis et les zéros ont été inclus.
Statistiques : (N=2; Min.=25; Max.=25; Moy.=25; S=0)



— — Intervalle mesuré (2 x S)